LV REUNIÓN CIENTÍFICA ANUAL SAIO

30 - 31 OCT / 01 NOV 22

Buenos Aires
ARGENTINA

LIBRO DE RESÚMENES

SAIO
SOCIEDAD ARGENTINA DE INVESTIGACIÓN ODONTOLÓGICA
División Argentina de la International Association for Dental Research

IADR
International Association for Dental Research

elmex®

Alivio inmediato* de la sensibilidad dental y protección contra los desafíos ácidos.

* para un alivio inmediato aplicar directamente en el diente sensible y masajear por un 1 minuto.

Está prohibida la reproducción total o parcial de esta obra por cualquier método: fotográfico, fotocopia, mecánico, reprográfico, óptico, magnético, o electrónico, sin la autorización expresa y por escrito de los propietarios del copyright.

Fernández Solari, Javier

Libro de Resumenes de la LV Reunión Científica Anual de la Sociedad Argentina de Investigación Odontológica / Javier Fernández Solari ; María del Pilar Martinez ; Pablo Rodriguez; compilación de Cesar Angel Ossola ; Luciana D´Eramo. - 1a ed. - Ciudad Autónoma de Buenos Aires : Sociedad Argentina de Investigación Odontológica, 2022. Libro digital, PDF

Archivo Digital: descarga y online

ISBN 978-987-46399-5-0

1. Odontología. 2. Actas de Congresos. I. Martinez, María del Pilar. II. Rodriguez, Pablo. III. Ossola, Cesar Angel, comp. IV. D´Eramo, Luciana, comp. V. Título. CDD 617.6

ISBN 978-987-46399-5-0

9 789874 639950

Diseño y diagramación: Eidos Estudio SRL
eidosestudio.com
info@eidosestudio.com

Convocados por la LV Reunión Anual de la Sociedad, les doy la bienvenida.

Es un honor, como presidente de la Comisión Directiva, poder colaborar con este espacio de promoción y divulgación científica que aporta prestigio, conocimiento, discusión y camaradería a nuestra comunidad odontológica desde el año 1958.

Desde el comienzo de nuestra gestión hemos adoptado una visión federal de este espacio, mediante la activa participación de colegas provenientes de todo el territorio argentino. Nuestros mayores esfuerzos están puestos en hacer crecer a la Sociedad en cantidad y en calidad y ello es solo posible con la participación de todos ustedes. Con seguridad los lazos internos son los que afianzarán la relevancia de nuestra Sociedad como integrantes activos en la IADR y en la LAR. Por eso apostamos a la formación continua, interdisciplinaria y colaborativa de todos los grupos de investigación.

Como profesionales e investigadores, estamos convencidos de que el salto en informatización que hemos logrado, y por el cual seguimos trabajando, facilitará el alcance de nuestro espacio a más colegas y acercará las fronteras internas y externas, para ayudarnos a crecer y posicionarnos como referentes en investigación odontológica en conjunto con nuestro órgano de difusión, AOL.

Para esta reunión, les deseo una experiencia enriquecedora donde puedan generar nuevos lazos y fortalecer los existentes, apuntando no solo al crecimiento individual y colectivo sino también al trabajo interdisciplinario para que los resultados obtenidos de nuestras investigaciones puedan ver su aporte en la sociedad.

Agradezco públicamente a la Comisión Organizadora de la LV Reunión anual y a todos aquellos miembros que asisten, colaborando incansablemente para que podamos encontrarnos todos aquí y para compartir el conocimiento científico.

Sean bienvenidos.

Pablo Alejandro Rodríguez
Presidente SAIO 2021-2022

Estimados colegas: les brindo una afectuosa bienvenida a nuestra querida Institución, la Facultad de Odontología de la UBA, para desarrollar la LV Reunión Científica Anual de la SAIO.

En primer lugar quiero agradecer al vicepresidente electo a cargo de la Presidencia de la SAIO, el Prof. Dr. Pablo Rodríguez, por proponerme en la Asamblea Ordinaria para presidir la organización de la Reunión Científica de la SAIO 2022, gracias por tu generosidad y tu confianza PR querido; y a todos los socios de nuestra Sociedad por aprobar su propuesta de forma unánime y otorgarme la honorable posibilidad de organizar este evento. También quiero agradecer a todos los integrantes de la Comisión Directiva por recibirme desde el inicio de las reuniones mensuales como un integrante más, por la colaboración brindada y el apoyo a todas mis propuestas. No puedo dejar de agradecer en particular al Dr. Aldo Squassi, quién se brindó íntegramente compartiéndome su vasta experiencia dentro de la SAIO, guiándome para superar cada escollo que se presentó en la organización

Por supuesto que deseo agradecer profundamente a toda la Comisión Organizadora de la reunión Anual SAIO 2022, sin quiénes no hubiera podido salir del blanco inicial que existía en mi cabeza cuando empezamos a organizar este evento. En primer lugar, a quienes me acompañaron en la mesa chica de la organización: Romina Chaintiou Piorno (Secretaria) y Pilar Martínez (Coordinadora general), jugadoras de toda la cancha, quisiera tenerlas siempre en mi equipo. Y por supuesto también al resto del grupo organizador, integrado por Romina De Lucca (Tesorera-Reunión Anual), César Ossola (Coordinador de Áreas Básicas), Alejandra Martínez (Coordinadora de Áreas Clínicas) y Ana Casadoumecq (Relacionista Comercial); y a Lorena Cabirta (Secretaria-SAIO) y Luciana D'Eramo (Tesorera-SAIO) en representación de toda la Comisión Directiva. Gracias a todos por su dedicación denodada a las tareas asignadas. Otro agradecimiento especial para la Comisión Organizadora saliente, representada por Analía Garrofé que estuvo pendiente de cada duda que se nos presentaba. Los audios de Analía tuvieron un valor incalculable, fueron desgrabados para pasar a constituir elementos bíblicos que formarán parte de los Anales de la SAIO.

Quiero agradecer también al comité de premios, a los disertantes invitados, al resto de los colaboradores que no he mencionado por su nombre, a Jimena de EIDOS por su soporte técnico y respuestas inmediatas en el diseño y actualización de Web SAIO y Micrositio Reunión Anual, y a todos los auspiciantes del evento, su participación fue fundamental para la concreción de aquella expectativa que hoy es realidad.

En tiempos donde el autor ha ido perdiendo derechos, teniendo que encargarse de conseguir recursos financieros para costear las investigaciones, mantener motivados a sus colaboradores para que destinen tiempo a investigar y pagar importantes sumas para publicar, para luego ser invitado a revisar trabajos de otros autores por parte de editoriales millonarias, pero en este último caso por amor al arte; mi agradecimiento principal y absoluto a la materia prima de la SAIO, autores y/o pares revisores de los trabajos presentados.

Creo que esta reunión tendrá un tinte especial luego de los años 2020 y 2021 de encuentros virtuales por motivos de pandemia. En esta oportunidad nos reencontramos para compartir el conocimiento científico adquirido durante estos últimos años accidentados, pero creo que más importante aún será poder vernos y hablarnos cara a cara, tocarnos, y hasta besarnos si el cariño entre partes lo amerita.

En nombre de toda la Comisión Organizadora les damos la bienvenida a la Reunión Anual SAIO 2022, esperamos que puedan disfrutar de charlas con colegas, nutrirse de los trabajos presentados en formato poster u oral, aprender algo más de lo que ya saben en las Conferencias Centrales, integrarse a los colegas de mayor afinidad laboral en las reuniones de grupos, tomar ricos cafecitos con amigos, disfrutar la recepción de bienvenida y la cena de clausura, y por qué no tirarse unos pasos en la pista cuando casi todo haya terminado.

Gracias, totales!

Javier Fernández Solari
Presidente de la Comisión Organizadora SAIO 2022

~In memoriam~

Prof. Dra. Raquel Doño

Presidente de la
Sociedad Argentina de Investigación Odontológica
durante el año 1998

LV REUNIÓN CIENTÍFICA ANUAL
SOCIEDAD ARGENTINA DE INVESTIGACIÓN ODONTOLÓGICA
DIVISIÓN ARGENTINA DE LA INTERNATIONAL ASSOCIATION FOR DENTAL RESEARCH
Buenos Aires, Argentina, 30 de octubre a 1 de noviembre de 2022

COMISIÓN DIRECTIVA SAIO 2021-2022

Vicepresidente electo a cargo de la Presidencia
Pablo Alejandro Rodríguez

Presidente Saliente
Gabriel Sánchez

Secretaria
María Lorena Cabirta

Pro-Secretaria
Eugenia Pilar Consoli Lizzi

Tesorera
Luciana D'Eramo

Pro-Tesorera
Romina De Lucca

Vocales
Alejandra Lei
Verónica Paván
Ingrid Guitelman

Secretario de Asuntos Internacionales e Institucionales
Aldo Squassi

Asesora Científica
Noemí Bordoni

ÓRGANO DE FISCALIZACIÓN 2021-2022

Miembros Titulares
Liliana Nicolosi
Ana Biondi
Tammy Steimetz

Miembros Suplentes
Miguel Farías
Carlos Méndez
Sharon Oyhanart

COMISIÓN ORGANIZADORA REUNIÓN ANUAL 2022

Presidente
Javier Fernández Solari

Responsable de Secretaría
Romina Chaintiou Piorno

Tesorera
Romina De Lucca

Coordinadora General de Revisión de Resúmenes
Pilar Martínez

Coordinador de Áreas Básicas
César Ossola

Coordinadora de Áreas Clínicas
Alejandra Migueles

Relaciones Comerciales
Ana Casadoumecq

DELEGADOS PROVINCIALES

CÓRDOBA
Evelin Bachmeier
Fabiana Carletto Korber
Miriam Grenon
Silvia López de Blanc
Gabriela Martín

CORRIENTES
Sandra Martínez

LA PLATA
Emilio Azar
Javier Giménez

MENDOZA
Claudia Fernández

PATAGONIA
Patricia Mulbany
Mariana Preliasco

ROSARIO
Gustavo Feser
Esteban Funosas

TUCUMAN
Sandra Iturre
Luis Wuscovi

AUSPICIOS Y ADHESIONES

La Comisión Directiva y la Comisión Organizadora de la LV Reunión Científica Anual de la Sociedad Argentina de Investigación Odontológica agradecen los siguientes auspicios, adhesiones y declaraciones de interés institucional, brindados para esta reunión.

Declaración de interés institucional por la Facultad de Odontología, Universidad de Buenos Aires.

Adhesión de la Facultad de Odontología, Universidad Nacional de Rosario.

Adhesión de la Facultad de Odontología, Universidad Nacional de La Plata.

Adhesión de la Facultad de Ciencias Médicas, Universidad FASTA.

Adhesión de la Facultad de Odontología, Universidad Nacional de Tucumán.

Auspicio de la Academia Nacional de Odontología.

Auspicio de la Facultad de Ciencias Médicas de la Pontificia Universidad Católica Argentina.

Auspicio de la Universidad Maimónides.

Auspicio de la Universidad Católica de Córdoba.

Auspicio de la Facultad de Medicina, Universidad del Salvador.

Auspicio de la Universidad Abierta Interamericana.

Auspicio de la Facultad de Odontología de la Universidad Nacional de Cuyo.

Declaración de interés académico por la Universidad Nacional de Río Negro.

AGRADECIMIENTOS

La Comisión Directiva y la Comisión Organizadora de la LV Reunión Científica Anual de la Sociedad Argentina de Investigación Odontológica agradecen el aporte brindado por las siguientes instituciones, empresas y personas destacadas.

A la Dra. Silvia Chedid por el dictado de la conferencia "Dispensador para aplicar pequeñas cantidades estandarizadas de pasta de dientes con flúor en bebés".

Al Dr. Pablo Alejandro Rodríguez por el dictado de la conferencia "Estrategias para la gestión de la investigación en el área odontológica".

Al Dr. Rodrigo A. Giacaman Sarah y a la Dra. Soraya León Araya por el dictado de la conferencia "Pilares de la odontogeriatría; propuesta de una nueva filosofía".

A la Dra. Andrea De Laurentiis, al Dr. César Ángel Ossola y a la Od. Mariana Ríos por el dictado del simposio "Cannabis medicinal en odontología".

A la Dra. Luciana D' Eramo y a la Dra. Carla Masoli por el dictado de la mesa redonda "El cuidado e higiene de los aparatos dentales removibles".

Al Dr. Cassiano Kuchenbecker Rösing por el dictado de la conferencia "Hipersensibilidad dentinaria: evidencia aplicada a la epidemiología, etiología y manejo clínico".

A la Sra. Gloria Tumilasci por el aporte económico para el premio "Omar Tumilasci".

A FEDERA S.A. por el aporte económico para el premio "Federa".

A Rosterdent.

A Colgate Palmolive Company.

A Laboratorio GlaxoSmithKline.

A Laboratorio SIDUS.

A Café Martínez.

MAPA DE DISTRIBUCIÓN DE SOCIOS SAIO 2022

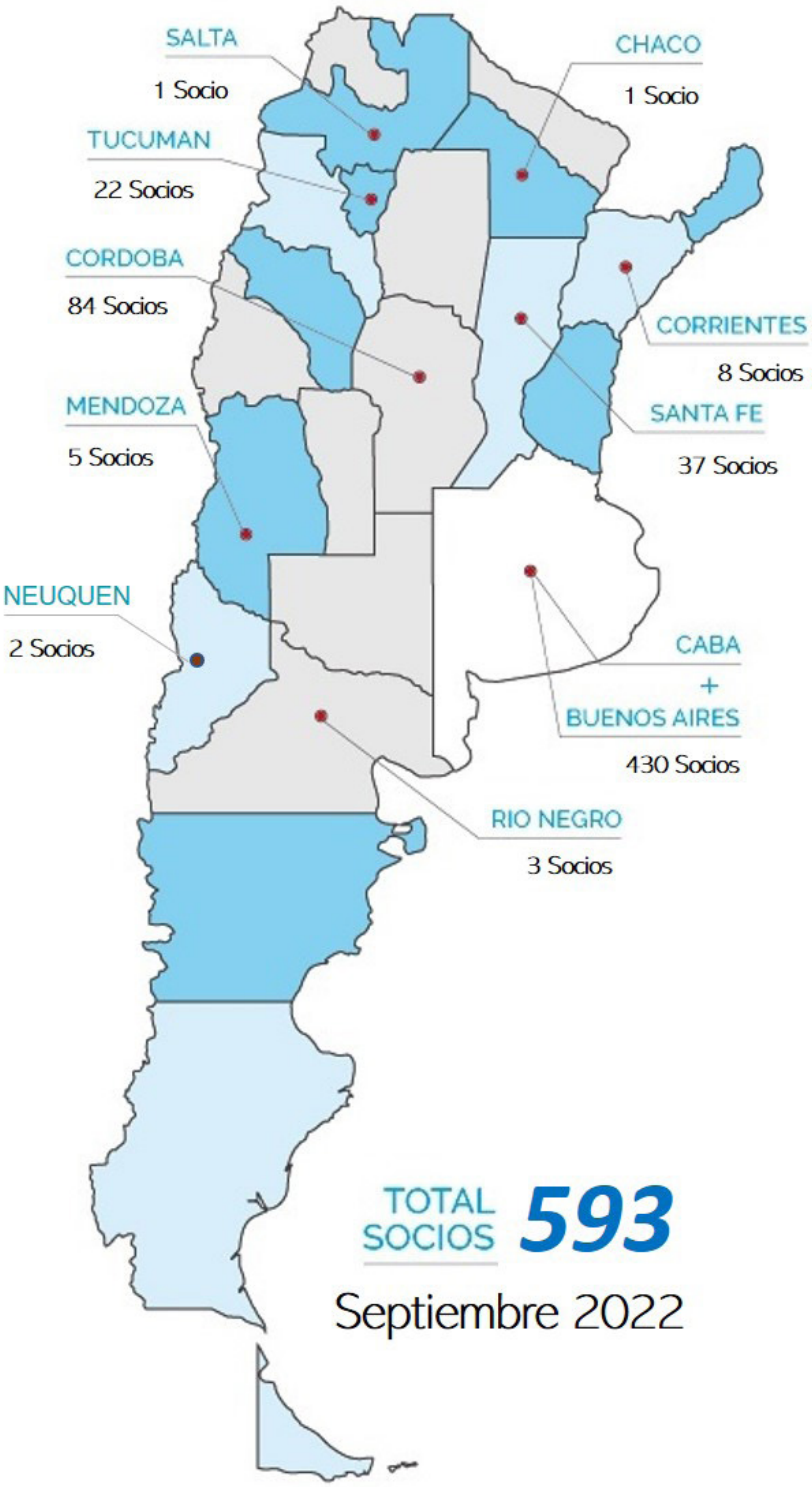

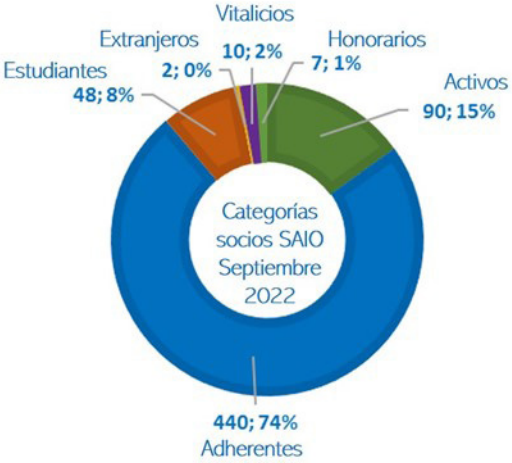

GRUPOS

- Biología pulpar y regeneración
- Cariología y salud pública
- Educación
- Materiales dentales
- Medicina oral y patología
- Odontopediatría
- Ortodoncia
- Periodoncia e implantes

CRONOGRAMA GENERAL

DOMINGO 30 DE OCTUBRE							
08.30 – 12.00 hs	Acreditación AULA CENTRAL 1ER PISO						
10.00 – 12.00 hs	SALONES						
	HOUSSAY	MILSTEIN	PÉREZ ESQUIVEL	LELOIR	SAAVEDRA LAMAS	CABRINI	ERAUSQUIN
	SESIÓN PREMIOS	////////	SESIÓN PREMIOS	SESIÓN PREMIOS	SESIÓN PREMIOS	SESIÓN PREMIOS	SESIÓN PREMIOS
12.00 – 13.00 hs	Conferencia Dra. Chedid Silvia: "Dispensador para aplicar pequeñas cantidades estandarizadas de pasta de dientes con flúor en bebés" SALÓN HOUSSAY						
13.00 – 14.00 hs	Intervalo						
14.00 – 17.00 hs	Reuniones de grupos. Presentación de PROYECTOS DE INVESTIGACIÓN PULMÓN						
	14.00 - 15.00 hs	Odontopediatría, Biología pulpar y regeneración, Periodoncia e implantes					
	15.00 - 16.00 hs	Educación, Materiales dentales, Medicina oral y patología					
	16.00 - 17.00 hs	Cariología y salud pública, Ortodoncia					
17.00 – 18.00 hs	Reunión revista AOL -Acta Odontológica Latinoamericana SALÓN LELOIR						
18.15 – 19.00 hs	Conferencia Dr. Rodríguez Pablo A.: "Estrategias para la gestión de la investigación en el área odontológica" AULA MAGNA						
19.00 – 20.30 hs	Acto inaugural AULA MAGNA						
20.30 hs	Recepción de bienvenida -Cortesía SAIO- PULMÓN						

LUNES 31 DE OCTUBRE							
08.00 - 10.00 hs	Acreditación Piso 6to B						
08.30 – 09.00 hs	Armado de pósteres SALÓN MILSTEIN						
09.00 – 11.30 hs	EXPOSICIONES ORALES SALONES						
	HOUSSAY	MILSTEIN	PÉREZ ESQUIVEL	LELOIR	SAAVEDRA LAMAS	CABRINI	ERAUSQUIN
	ENDODONCIA	/////////	TEJIDOS DENTALES Y PERIODONTALES	MATERIALES DENTALES Y BIOMATERIALES	//////////	CARIOLOGÍA Y EPIDEMIOLOGÍA	EDUCACIÓN ODONTOLÓGICA
12.00 – 13.00 hs	Conferencia Dres. Giacaman Sarah Rodrigo A. y León Araya Soraya: "Pilares de la odontogeriatría; propuesta de una nueva filosofía". Auspiciada por GSK. SALÓN ERAUSQUIN						
13.00 – 14.00 hs	Intervalo						
14.00 – 16.00 hs	EXPOSICIÓN DE PÓSTERES SALÓN MILSTEIN						
16.00 – 17.00 hs	Coffee break						
17.00 – 19.00 hs	Simposio Dres. De Laurentiis Andrea, Ossola César A. y Ríos Mariana: "El sistema endocannabinoide como blanco terapéutico en patologías bucales" SALÓN HOUSSAY						

MARTES 01 DE NOVIEMBRE							
08.00 – 10.00 hs	Acreditación Piso 6to B						
08.00 – 08.30 hs	Armado de pósteres SALÓN MILSTEIN						
08.30 – 10.30 hs	EXPOSICIÓN DE PÓSTERES SALÓN MILSTEIN						
10.30 – 11.30 hs	Mesa redonda: "El cuidado e higiene de los aparatos dentales removibles". Auspiciada por GSK. Coordinadoras: Dras. D'Eramo Luciana y Masoli Carla SALÓN CABRINI						
11.30 – 12.30 hs	Conferencia Dr. Cassiano Kuchenbecker Rösing: "Hipersensibilidad dentinaria: Evidencia aplicada a la epidemiología, etiología y manejo clínico". Auspiciada por ELMEX. SALÓN HOUSSAY						
12.30 – 13.30 hs	Intervalo						
13.30 – 16.30 hs	EXPOSICIONES ORALES SALONES						
	HOUSSAY	MILSTEIN	PÉREZ ESQUIVEL	LELOIR	SAAVEDRA LAMAS	CABRINI	ERAUSQUIN
	TEJIDO ÓSEO/ATM-MÚSCULOS MASTICADORES Y DOLOR OROFACIAL	////////	MUCOSA BUCAL/MICROBIOLOGÍA E INMUNOLOGÍA	ODONTOPEDIATRÍA Y ORTODONCIA	////////	EDUCACIÓN ODONTOLÓGICA	CARIOLOGÍA Y EPIDEMIOLOGÍA
17.00 hs	Asamblea Anual Ordinaria. Primer llamado SALÓN HOUSSAY						
17.30 hs	Asamblea Anual Ordinaria. Segundo llamado SALÓN HOUSSAY						
20.00 hs	Cocktail y entrega de premios - Cortesía SAIO y SIDUS AULA CENTRAL 1ER PISO						

PLANOS DE UBICACIÓN DE SALONES

SUBSUELO

LV REUNIÓN CIENTÍFICA ANUAL SAIO
30 - 31 OCT / 01 NOV 22
Buenos Aires ARGENTINA

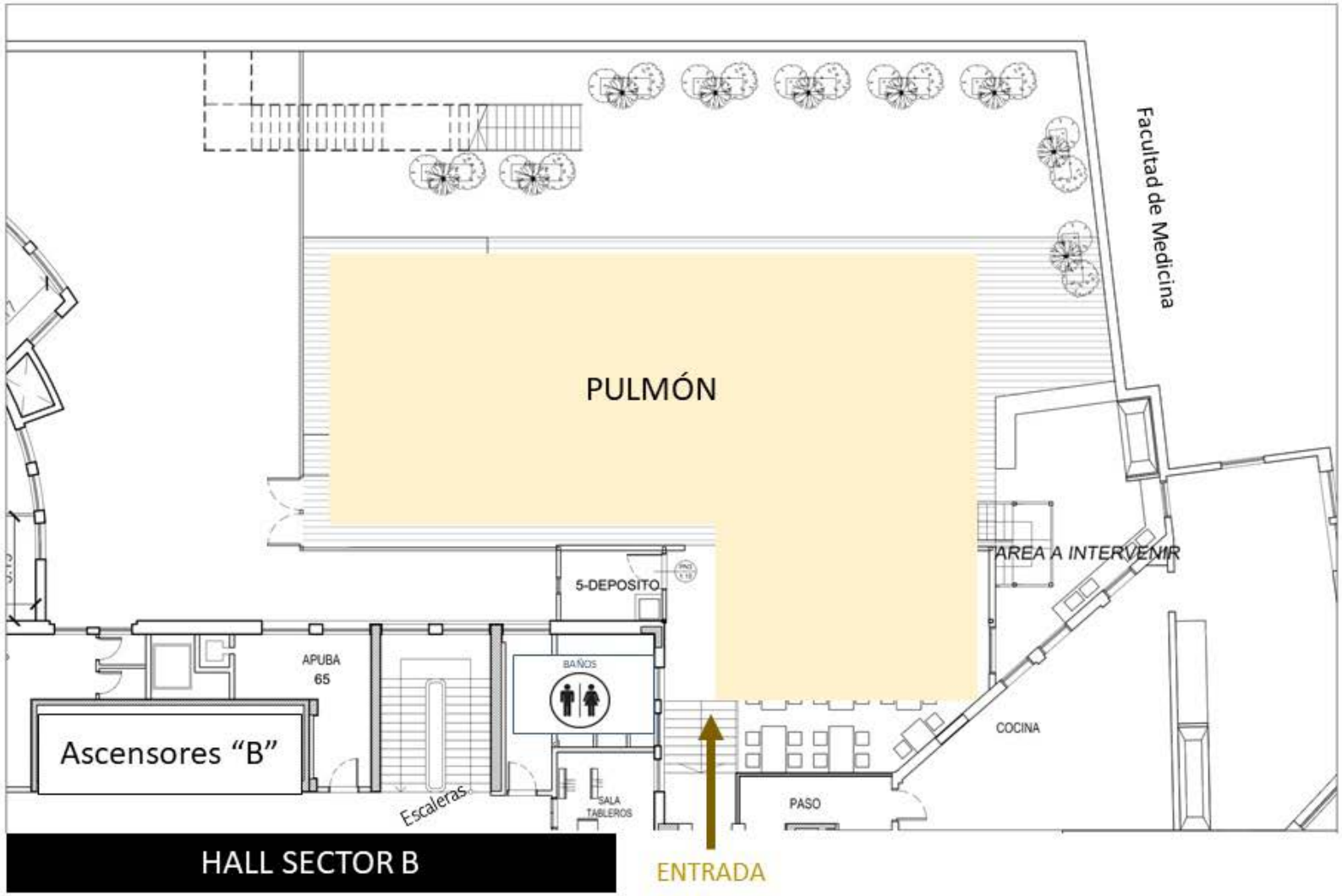

LV REUNIÓN CIENTÍFICA ANUAL SAIO
Buenos Aires ARGENTINA
30 - 31 OCT / 01 NOV 22

PLANTA BAJA

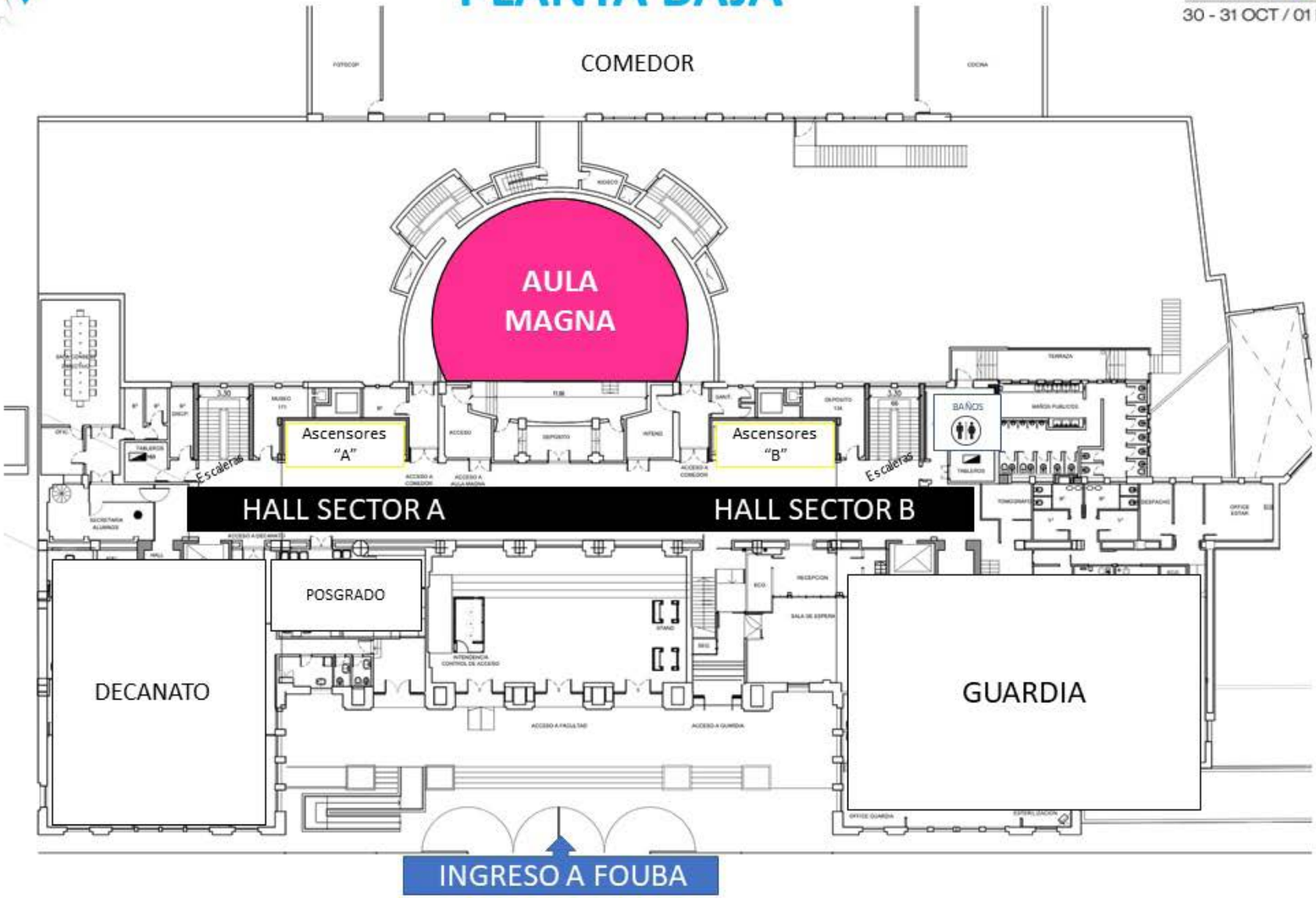

LV REUNIÓN CIENTÍFICA ANUAL SAIO
Buenos Aires ARGENTINA
30 - 31 OCT / 01 NOV 22

PISO 1

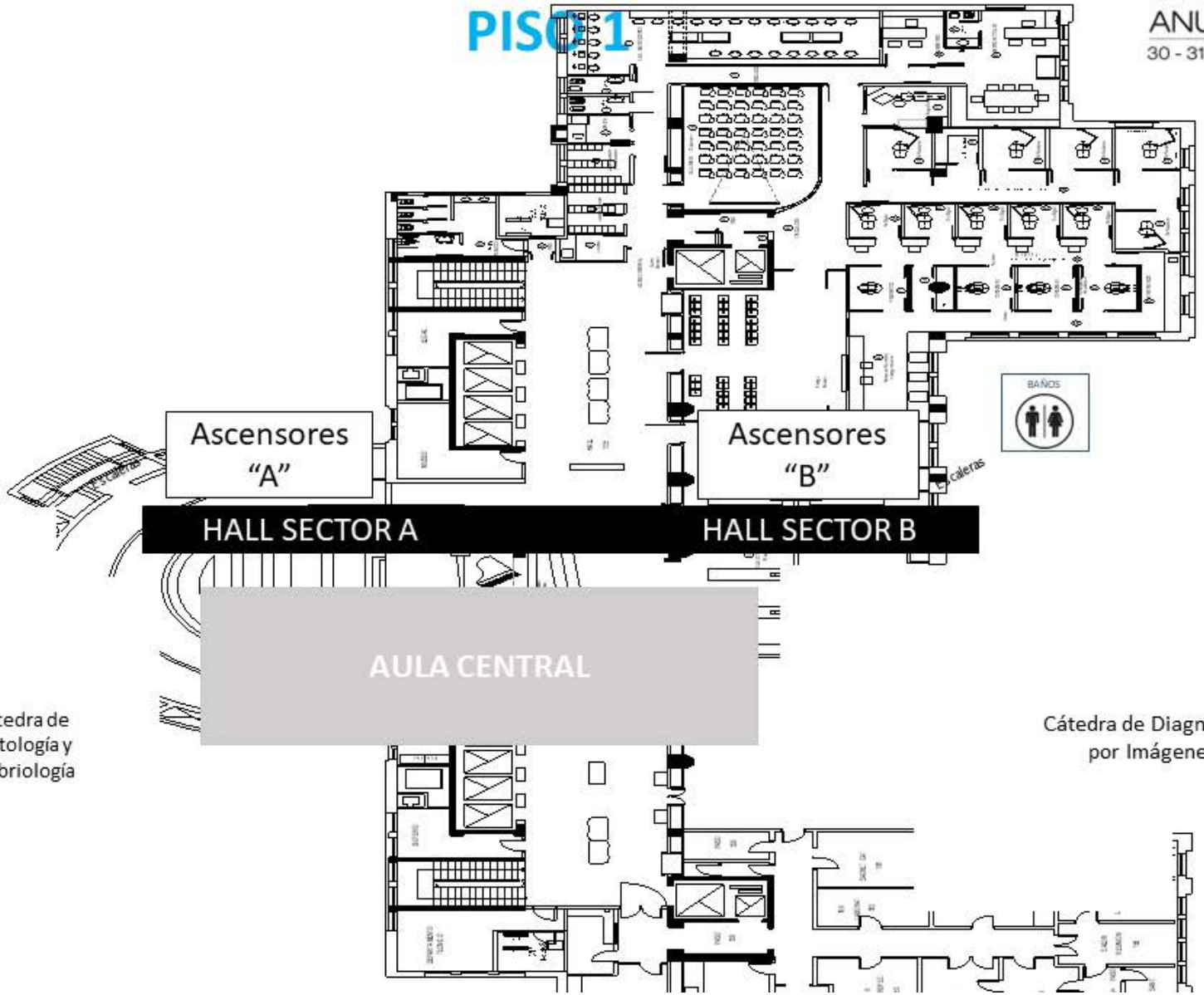

PISO 5

LV REUNIÓN CIENTÍFICA ANUAL SAIO
30 - 31 OCT / 01 NOV 22
Buenos Aires ARGENTINA

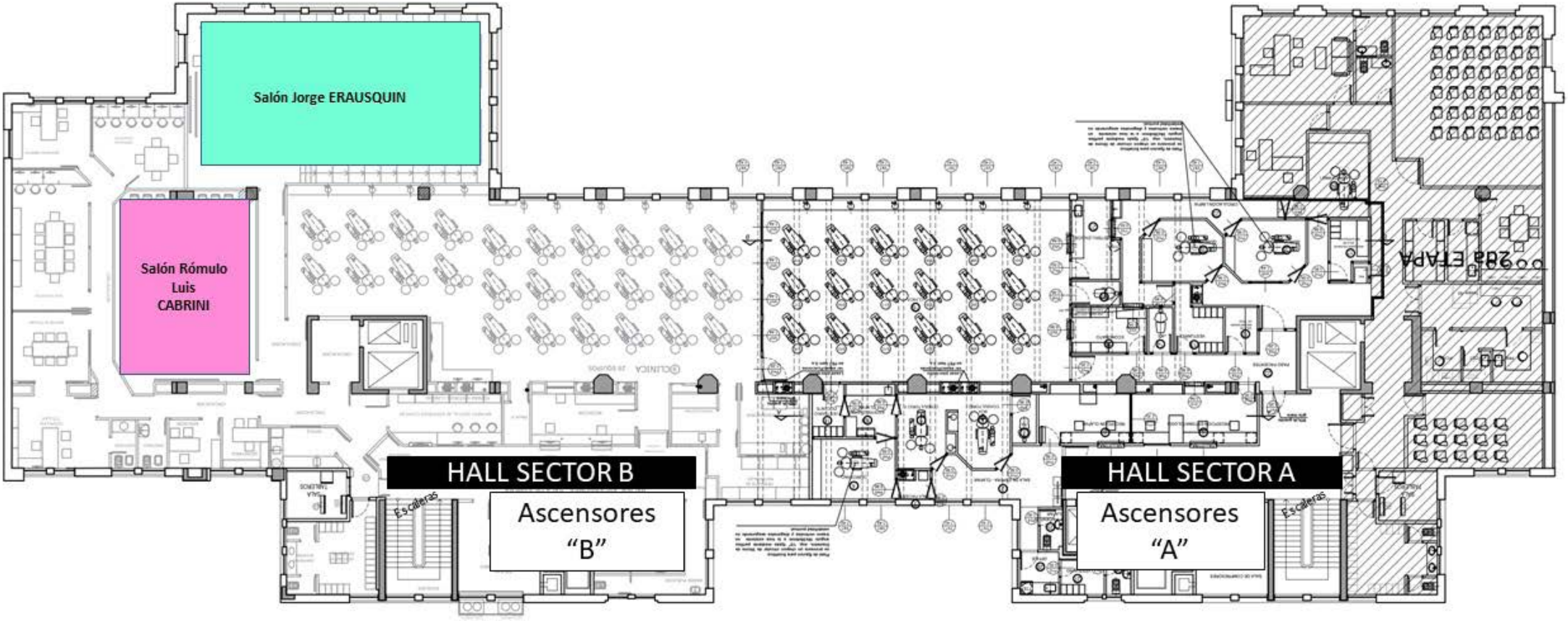

PISO 6

LV REUNIÓN CIENTÍFICA ANUAL SAIO
30 - 31 OCT / 01 NOV 22
Buenos Aires ARGENTINA

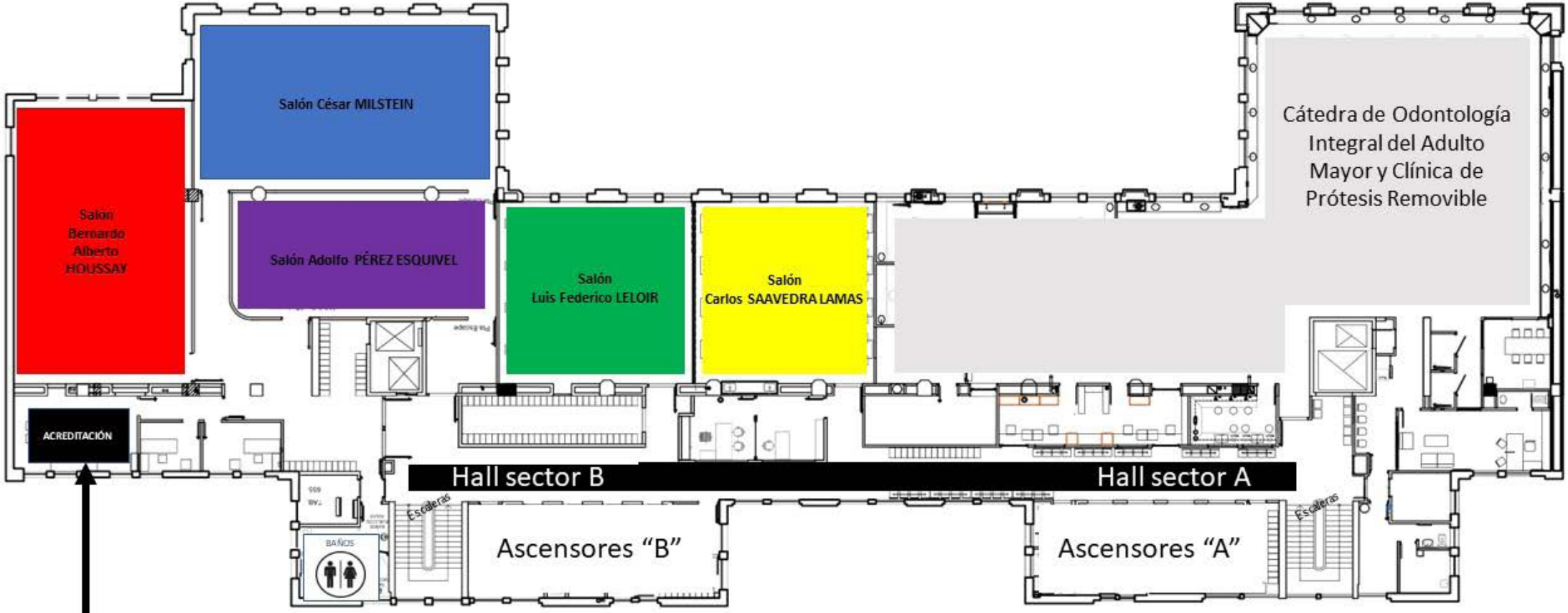

Secretaría SAIO

CONFERENCIAS

Domingo 30 de octubre

SALÓN HOUSSAY
12 a 13 hs.

Dispensador para aplicar pequeñas cantidades estandarizadas de pasta de dientes con flúor en bebés. Silvia Chedid

Moderadora: Verónica Paván

AULA MAGNA
18.15 a 19 hs.

Estrategias para la gestión de la investigación en el área odontológica. Pablo A. Rodríguez

Moderadora: Lorena Cabirta

Lunes 31 de octubre

SALÓN ERAUSQUIN
12 a 13 hs.

Pilares de la odontogeriatría; propuesta de una nueva filosofía. Auspiciada por GSK. Rodrigo A. Giacaman Sarah y Soraya León Araya

Moderador: Jorge Aredes

SALÓN HOUSSAY
17 a 19 hs.

Simposio: "El sistema endocannabinoide como blanco terapéutico en patologías bucales". Andrea De Laurentiis, César A. Ossola y Mariana Ríos

Moderador: Javier Fernández Solari

Martes 1 de noviembre

SALÓN CABRINI
10.30 a 11.30 hs.

Mesa redonda: "El cuidado e higiene de los aparatos dentales removibles". Auspiciada por GSK.

Coordinadoras: Luciana D'Eramo y Carla Masoli

SALÓN HOUSSAY
11.30 a 12.30 hs.

Hipersensibilidad dentinaria: Evidencia aplicada a la epidemiología, etiología y manejo clínico. Auspiciada por ELMEX. Cassiano Kuchenbecker Rösing

Moderador: Aldo Squassi

PREMIOS

Salón Houssay

Premio Suzel M. Scozarro

10.00

Mediadores proinflamatorios en explantos de placenta expuestos al fluido crevicular de gestantes. Autores: Luciana Doga, Brenda Lara, Inaqui Loureiro, Luciana D'Eramo, Sofia Novoa, Guillermina Calo, Laura Gliosca, Pablo Fabiano, Vanesa Hauk, Aldo Squassi, Claudia Pérez Leiros

10.20

Expresión del receptor de oxitocina en tejidos peridentarios de rata y humanos. Autores: Ganna Dmytrenko, Andrea Ochotorena, Ricardo Orzuza, Ana Ticchi, Andrea De Laurentiis

10.40

Recuperación del hueso alveolar resorbido por efecto de la periodontitis experimental con PTH 1-34 a bajas dosis. Autores: María Soledad Bonanno, Estefania Zeni Coronel, Mariana Seijo, Nicolás Bidevich, María Eugenia Avendano, Mariana Preliasco, Ricardo Davison, Susana Zeni

Premio Academia Nacional de Odontología

11.00

PR score aplicado en microcirugía apical con biomateriales bovinos y porcinos. Autores: Pablo Alejandro Rodríguez, María Lorena Cabirta, Eugenia Miklaseusky, Nicolás Alfie, Cristóbal Fresno, Isabel Adler, Valeria Denninghoff

Premio Educación Odontológica - Grupo Educación

11.20

Enseñanza de Farmacología mediada por tecnología en contexto de pandemia. Autores: Vanesa Merhar, Gonzalo Quinteros Villarruel, Daniela Passafaro, María Belén Benítez, Alejandra De Couto Pita, Carlos Méndez

Premio Federa- Grupo Periodoncia e Implantes

11.40

Aplicación de láser en pacientes con injurias nerviosas post quirúrgicas. Evaluación postratamiento. Autores: Jesús Eduardo Fernández Alemán, Ana Clara Casadoumecq, Sebastián Ariel Puia, Romina Chaintiou Piorno, María Agustina Saizar, David Heredia-Veloz, Ebingen Villavicencio-Caparo, Pablo Alejandro Rodríguez

Salón Leloir

Premio Colgate-Palmolive

10.00

El incremento local del endocannabinoide anandamida atenúa mediadores inflamatorios incrementados en periodontitis. Autores: Julieta Rodas, Noelia Balcarcel, Gastón Troncoso, Julia Astraukas, Claudia Mohn, Juan Carlos Elverdin, César Ossola, Javier Fernández Solari

10.20

Expresión de genes de diferenciación en cultivos celulares de pulpa dental humana. Autores: Vanesa Alejandra Merhar, Alejandra De Couto Pita, María Belén Benítez, Mariana Bouchoux, Carlos Méndez

10.40

Melatonina promueve el remodelado óseo en la osteonecrosis provocada por ácido zoledrónico en ratas. Autores: Mabel Abigail Hernández, Sebastián Fontana, Agata Rita Carpentieri

11.00

Estudio de la microbiota oral de infantes menores a 24 meses. Autores: Celina Cornejo, Natalia Pin Viso, Susana Molgatini, Aldo Squassi, Laura Gliosca

11.20

Análisis del fitness en respuesta al estrés en Candida Dubliniensis. Autores: Verónica Dubois, Ewa Ksiezopolska, Laura Gliosca, Susana Molgatini, Toni Gabaldon

Salón Pérez Esquivel

Premio María L. Rins de David

10.00

Respuesta tisular a implantes poliméricos biodegradables (PLA/β-TCP) para ingeniería tisular ósea. Autores: Camila Frosasco, Sandra Renou, Mariela Domingo, Ezequiel Pérez, Pablo Fontanetti, Daniel Olmedo

10.20

Relación de células madre mesenquimales con distintos tratamientos superficiales de Ti. Autores: Rubén Mayocchi, Karina Mayocchi, Nahuel Blasetti, Kyung Won Kang, Adriana Barboza, Juliana Kohan, Carlos Llorente

10.40

Virus papiloma humano (HPV) en carcinomas escamosos de la mucosa bucal. Autores: Natalie Londoño, Rita Correa, Laura Leguina, Gabriela Acosta Haab, María Picconi, María Paparella

11.00

Efecto deletéreo del alcohol crónico sobre el tejido óseo y periodontal. Autores: Gastón Troncoso, Clarisa Bozzini, Ana Clara Casadoumecq, Federico Mucci, Juan Carlos Elverdin, Javier Fernández Solari, Claudia Mohn

11.20

Tratamiento químico de caries: caracterización de micropartículas de papaína. Autores: Fiorella Ventura, Nadia Chiaramoni, Aldo Squassi, Vanesa Merhar, De Couto Pita, Carlos Méndez

Salón Saavedra Lamas

Premio Omar Tumilasci

10.00

Bioactividad de cementos a base de silicato de calcio en cultivos primarios de pulpa dental humana. Autores: María Belén Benítez, Carla Zingoni, Romina Loiacono, Vanesa Merhar, Carolina Anaise, Alejandra De Couto Pita, Valeria Panetta, Laura Pinasco, Pablo Rodríguez, Carlos Méndez

10.20

Caracterización celular de la membrana del quiste dentígero. Autores: Lucas Darrigran, Karina Mayocchi, Nahuel Blasetti, Rubén Mayocchi, Agustina Arcuri, Javier Giménez, Marcelo Arcuri, Naomy Echeverría, María Jose Levalle, Karina Sirimarco, Marcela Molina

10.40

Aplicación de Aceite de cannabis (CBD:THC/1:1) para tratar la periodontitis. Estudio preliminar. Autores: Julieta Rodas, Noelia Balcarcel, Gastón Troncoso, Julia Astrauskas, Claudio Mohn, Juan Carlos Elverdin, César Ossola, Javier Fernández Solari

Premio Prof. Dr. Héctor R. Maddalena

11.20

Microdureza de dentina cariada tratada con una solución de 20% AgNCls/PMAA. Autores: María Belén Cabalén, Ignacio Mazzola, Laura Brain Lascano, Martín Sainz Aja, Mariana Picca, Gustavo Molina

Salón Erausquin

Premio Divisional - IADR Unilever Hatton Divisional Award

10.00

Osteoporosis inducida por glucocorticoides: rol mediador del osteocito en hueso alveolar y tibia. Autores: Juliana Rodríguez, Deborah Tasat, Carola Bozal

10.20

Colonización de patógenos oportunistas en la mucosa bucal en niños de barrios vulnerables de Buenos Aires. Autores: Andrea Muiño, Isabel Adler, Silvia Aguas, Laura Harada, Mariana Díaz, Pablo Tuñon, Federico Galli, Pablo Rodríguez, Cristóbal Fresno, Valeria Denninghoff

Premio Rodolfo Erausquin

10.40

Validación del método Cameriere para estimar mayoría de edad con finalidad forense. Autores: Ailín Gómez, Stephanie Arario, Florencia Arrigo, Maria Julia Carosi, Carla Arias, Johanna Salazar, Pablo Salgado, Diego Vázquez, Luis Rannelucci, Alan Briem Stamm

Premio Inés Egozcue

11.00

Efecto del diaminofluoruro de plata en un modelo de desmineralización de esmalte. Autores: Yamila Sisca Jara, Mariana Picca, Lidia Rocha Valadas, Pablo Salgado, Aldo Squassi, Luciana D'Eramo

Premio Grupo Ortodoncia

11.20

Desarrollo de arcadas con ortodoncia autoligable pasiva vs interactiva. Estudio clínico. Autores: Mahmood Ahmadi, Andrea De Laurentiis, Diana Calabrese, Marina Iglesias, Sandra Benitez Rogé, Alejandra Folco

Salón Cabrini

Premio GSK

10.00

Expectativas de empleabilidad asociadas con percepción de salud bucal en adolescentes. Autores: María Laura Sánchez, María Belén Pérez, Valentina Alberti Cancelo, Macarena Carabajal, Noemi Bordoni, Pablo Salgado, Aldo Squassi, Luciana D'Eramo

10.20

Prevalencia de taurodoncia, dilaceración y análisis de angulación de 1º molar superior. Autores: María Julia Carosi, Ailin Gómez, Alejandra Antoniuk, Florencia Arrigo, Stephanie Arario, Ariel Gualtieri, Sebastián Robledo, Diego Vazquez, Pablo Rodríguez

Premio 75 años FOUBA

11.00

Evaluación inmunohistoquímica de lesiones odontogénicas de células fantasmas. Autores: Lucas Polti, María Luisa Paparella

11.20

Variables asociadas a la concurrencia a controles odontológicos durante la pandemia Covid-19. Autores: Rosario Lonzo, Pablo Salgado, Aldo Squassi, Graciela Klemonskis

Premio Aníbal Cobanera - Grupo Cariología

11.40

Morbilidad por caries dental en infantes de 2 y 3 de edad. Autores: Gabriela Alvaredo, Celina Cornejo, Ximena Pazos, Pablo Salgado, Graciela Klemonskis, Aldo Squassi

CONCURSO FOTOGRAFÍA CIENTÍFICA

Fotografía ganadora

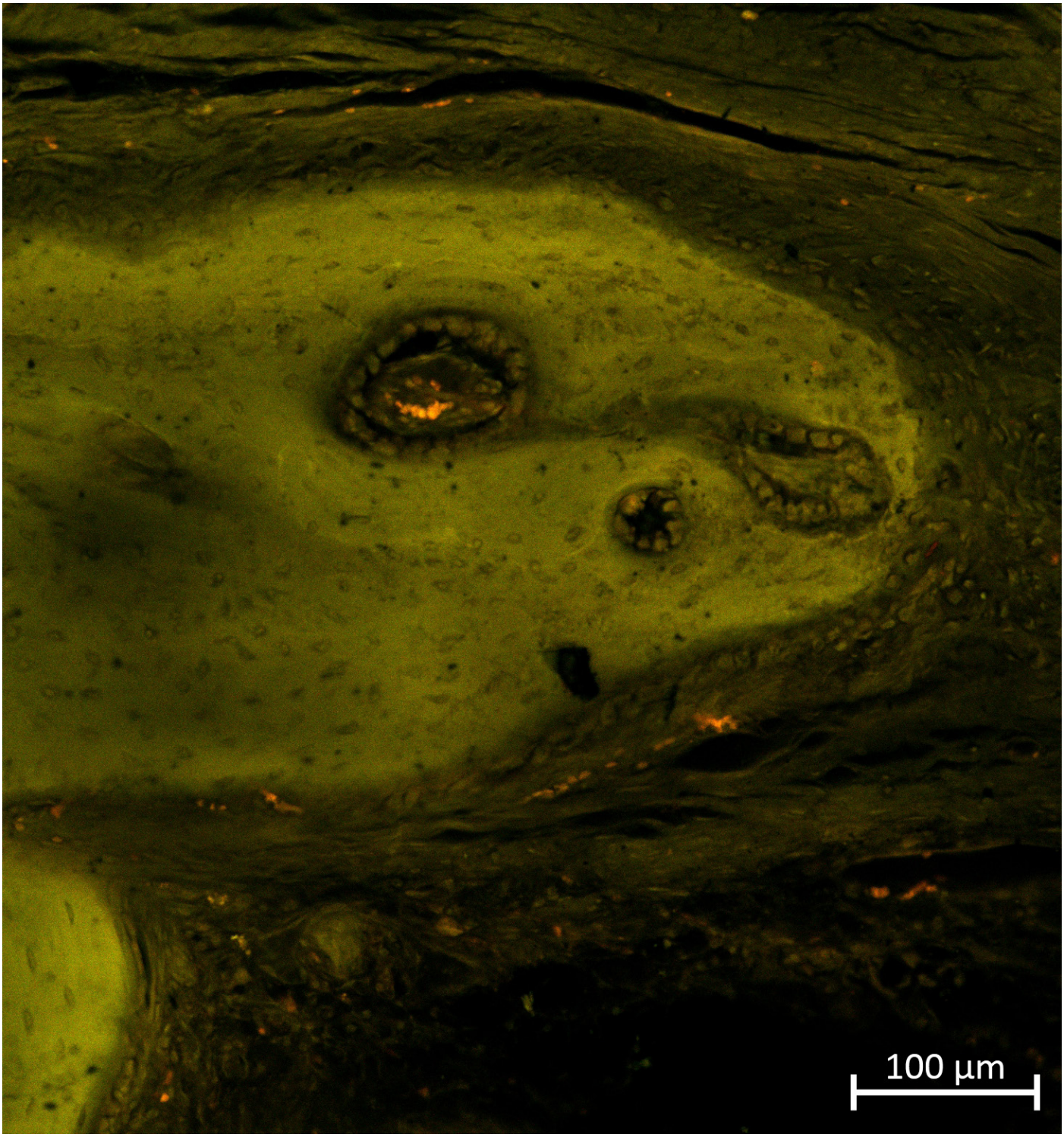

Tucumbonesaurium
Liliana Missana

Fotografía ganadora

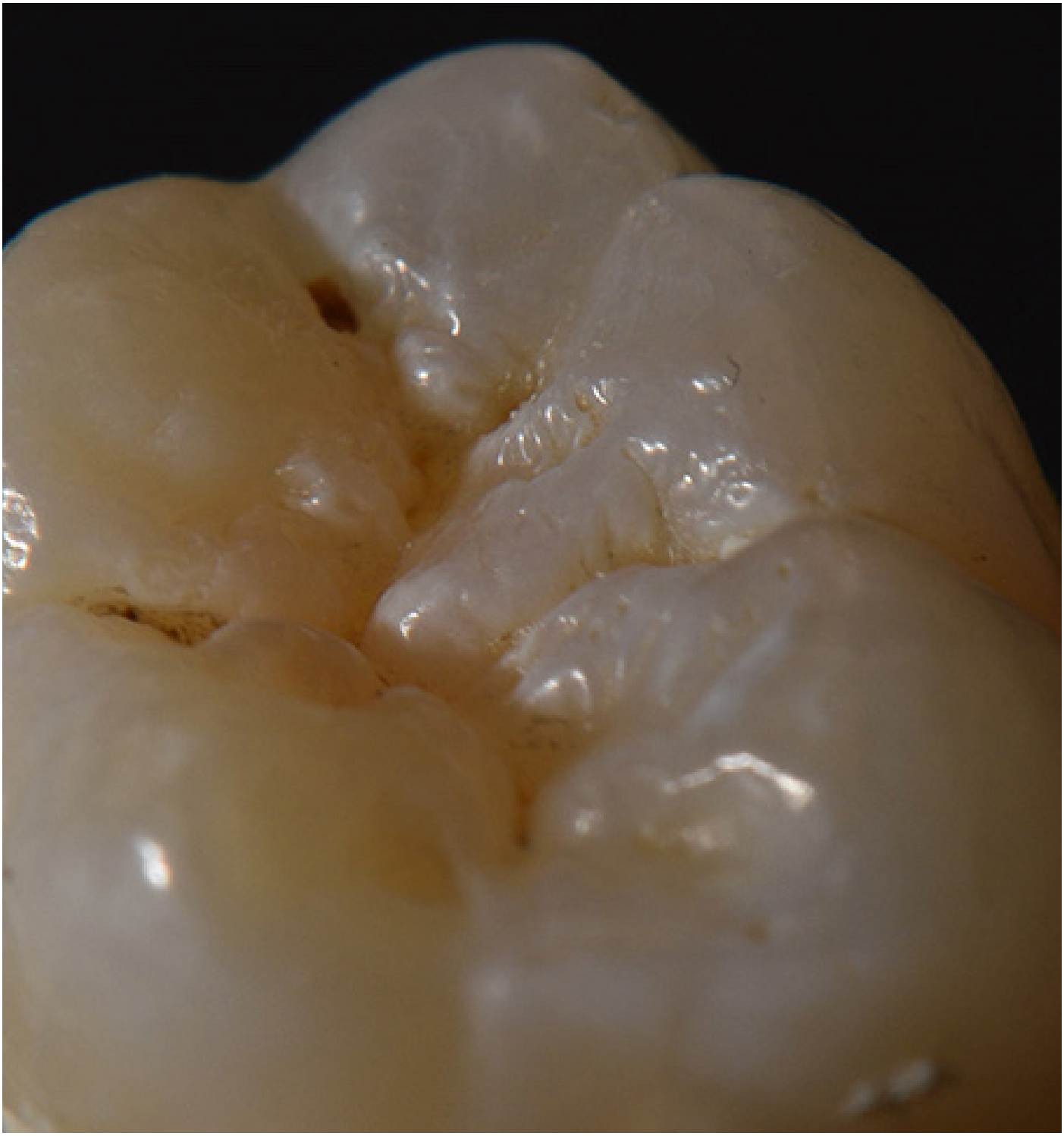

Perspectiva
Yamile Tamuch

PROYECTOS DE INVESTIGACIÓN

1. **Título del Proyecto:**

DISPOSITIVO PALATINO DE DISTALAMIENTO ASISTIDO POR ANCLAJE ESQUELETAL (DPDAAE)

Autor Expositor: JANICK CAVALIERI
Grupo Ortodoncia

2. **Título del Proyecto:**

ESTUDIO PROSPECTIVO DE PREVALENCIA DE PIEZAS RETENIDAS EN LA CÁTEDRA DE ORTODONCIA FOUBA

Autor Expositor: JANICK CAVALIERI
Grupo Ortodoncia

3. **Título del Proyecto:**

ESTIMACIÓN DE LA EDAD DENTAL ANALIZANDO ORTOPANTOMOGRAFÍAS MEDIANTE EL MÉTODO CAMERIERE

Autor Expositor: Alan Diego Briem Stamm
Grupo Educación

PROGRAMA DE PRESENTACIONES

PRESENTACIONES ORALES

Lunes 31 de octubre | 9 a 11:30 hs.

Salón Cabrini

CARIOLOGÍA Y EPIDEMIOLOGÍA

Presidente: Morasso, Ana María
Secretaria: Rossi, Glenda

1. ID 233 9.00-9.15
Efecto del diaminofluoruro de plata en un modelo de desmineralización de esmalte
*Yamila Sisca Jara[1] , Mariana Picca[2], Lidia Audrey Rocha Valadas[1], Pablo Salgado[1,3], Aldo Squassi[1,4], Luciana D'Eramo[1]
1.Cátedra de Odontología Preventiva y Comunitaria, FOUBA. 2. Cátedra de Materiales Dentales, FOUBA. 3. Cátedra de Microbiología y Parasitología. 4. Instituto de Investigaciones en Salud Pública

2. ID 138 9.15-9.30
Probióticos como terapia complementaria para la Candidiasis oral: estudio in vitro
*Silvina Ruth Barembaum[1], Javier Andrés Socolovsky[1], María Gabriela Scatena[2], Ana Isabel Azcurra[2]
1.Cátedra B de Introducción a la Física y Química Biológicas. 2. Cátedra B de Química Biológica UNC

3. ID 141 9.30-9.45 RESUMEN NO PRESENTADO
Ingesta de Fluoruros en niños de un año: Resultados Preliminares
*Camila Pinto, Ismael Yevenes, Andrea Muñoz, Marco Cornejo, Claudio Suazo, Miguel Neira, Pia Fernandez.
Facultad de Odontología, Universidad de Chile.

4. ID 261 9.45-10.00
Buenas prácticas de crianza y estado dentario en infantes
Celina Cornejo[1,2,3], *Constanza Leyes[1], Rocio Lazzati[1], Zulema Pedemonte[1,3], Pablo Salgado[1,2,3], Graciela Klemonskis[1,3], Aldo Squassi[1,3]
1. Cátedra de Odontología Preventiva y Comunitaria, FOUBA. 2. Cátedra de Microbiología y Parasitología, FOUBA.3. Instituto de Investigaciones en Salud Pública, FOUBA.

5. ID 227 10.00-10.15
Relación del gen spa-P de Streptococcus mutans con variables clínicas odontológicas, microbiológicas y moleculares
*Fabiana P.M. Carletto Körber[1], María S. Acosta Jofre[2], Noelia S. Vera[2], María R. Mourelle Martinez[3], María G. Jiménez[1], Juan E. Martínez[1], Lila S. Cornejo[1], Raúl E. González Ittig[2]
1.Facultad de Odontología, Universidad Nacional de Córdoba, Argentina. 2.
Instituto de Diversidad y Ecología Animal (IDEA), CONICET-UNC y Facultad de Ciencias Exactas, Físicas y Naturales, Universidad Nacional de Córdoba, Argentina.3. Facultad de Odontología, Universidad Complutense de Madrid, España.

6. ID 199 10.15-10.30
Variables asociadas a la concurrencia a controles odontológicos durante la pandemia Covid-19
*Rosario Lonzo[1], Pablo Salgado[1,2], Aldo Squassi[1,3], Graciela Klemonskis[1,3]
1. Cátedra de Odontología Preventiva y Comunitaria, FOUBA. 2. Cátedra de Microbiología, Instituto de Investigaciones en Salud Pública, FOUBA. 3. Instituto de Investigaciones en Salud Pública, FOUBA.

7. ID 239 10.30-10.45
Prevalencia de anomalías dentarias de desarrollo y adquiridas observables en radiografías panorámicas.
*Stephanie Lisette Arario[1], Florencia Arrigo[1], Teresita Cifuentes[1], Ailín Gómez[1], María Julia Carosi[1], Pablo Andrés Salgado[2,3], Diego Jorge Vazquez[1], Aldo Fabián Squassi[2]
1.Cátedra de Diagnóstico por imágenes. FOUBA. 2. Cátedra de Odontología Preventiva y Comunitaria. Instituto de Investigaciones en Salud Pública. FOUBA 3.Cátedra de Microbiología y Parasitología. Instituto de Investigaciones en Salud Pública. FOUBA

8. ID 237 10.45-11.00
Índice de trauma dental en niños durante la pandemia de covid-19
*Ana Júlia Milani[1], Isabella Almeida Magalhães[1], Leonardo Alves Antunes[2], Thuanny Castilho[2], Lívia Azeredo Alves Antunes[2].
1. Departamento de Odontopediatría, Centro Universitário FAMINAS, Muriáe, Minas Gerais, Brasil. 2. Departamento de Odontopediatría, Universidade Federal Fluminense, Nova Friburgo, Rio de Janeiro, Brasil

9. ID 262 11.00-11.
Morbilidad por caries dental en infantes de 2 y 3 de edad
*Gabriela Alvaredo[1], Celina Cornejo[1,2], Ximena Pazos[1], Pablo Salgado[1,2], Graciela Klemonskis[1,3], Aldo Squassi[1,3]
1.Cátedra de Odontología Preventiva y Comunitaria, FOUBA.2. Cátedra de Microbiología y Parasitología, Instituto de Investigaciones en Salud Pública. 3. Instituto de Investigaciones en Salud Pública

Salón Leloir

MATERIALES DENTALES Y BIOMATERIALES

Presidente: Picca, Mariana
Secretario: Rozas, Carlos

10. ID 291 9.00-9.15
PR score aplicado en microcirugía apical con biomateriales bovinos y porcinos
*Pablo Alejandro Rodríguez[1], María Lorena Cabirta[1], Eugenia Miklaseusky[1], Nicolas Alfie[1], Germán Tirao[1], Cristóbal Fresno[2], Isabel Adler[3], Valeria Denninghoff[3].
1.Cátedra de endodoncia. Facultad de Odontología. Universidad de Buenos Aires.2. Health and Sciences Research Center (CICSA), Health and Sciences Faculty, Anahuac University, México.3. Cátedra de Clínica Estomatológica FOUBA

11. ID 279 9.15-9.30
Respuesta tisular a implantes poliméricos biodegradables (pla/β-tcp) para ingeniería tisular ósea.
*Camila Lourdes Frosasco[1,2], Sandra Judith Renou[1], Mariela Gisele Domingo[1], Ezequiel Pérez[3], Pablo Alejandro Fontanetti[4], Daniel Gustavo Olmedo[1,2]
1. Cátedra de Anatomía Patológica, FOUBA. 2. CONICET. 3. Instituto de Investigación y Desarrollo en Ingeniería de Procesos y Química Aplicada (IPQA) (CONICET-UNC), Córdoba, Argentina.4. Departamento de Biología Bucal, Facultad de Odontología, Universidad Nacional de Córdoba.

12. ID 313 9.30-9.45
Efecto de altas dosis de fluoruro sobre parámetros bioquímicos del metabolismo fosfocálcico en el proceso de oseointegración de implantes laminares en rata
*Alejandro Jorge Filsinger[1], Fontanetti Pablo Alejandro[2], Plavnik Luis Mario[2], Ponce Rubén[2], Centeno Viviana[2], Gallará Raquel[2].
1. Departamento de Rehabilitación Bucal, UNC. 2. Departamento de Biología Bucal, UNC.

13. ID 265 9.45-10.00
Análisis forense de códigos QR grabados con láser en prótesis dentales acrílicas
*Alan Diego Briem Stamm[1], Marta Alicia Fernández Iriarte[1], Carla Arias[1], Carlos Raimundo Zemborain[1], Luis Reynaldo Rannelucci[1], Ana Clara Casadoumecq[1], Gerardo Jaime[2], Sandra Di Pietro[2], Johanna Salazar[1], César Rodolfo Telechea[1], Julio Bello[1].
1. Cátedra de Odontología Legal, Forense e Historia de la Odontología ,FOUBA. 2. Laboratorio en Prótesis Dental “Jaime”, Ciudad Autónoma de Buenos Aires.

14. ID 351 10.00-10.15
Estrategias utilizadas por estudiantes de la FOUBA para la reproducción del color en restauraciones anteriores
*María Milagros Trigo Humaran[1], Hernan Tartacovsky[1], Alan Agüero Romero[1], Juan Martin García Cuerva[1], María Emilia Iglesias[2]
1.Cátedra de Odontología Restauradora, FOUBA. 2. Cátedra de Materiales Dentales, FOUBA.

15. ID 337 10.15-10.30
Inhibición del desgaste y citotoxicidad de agentes desensibilizantes sobre dentina tratada
*Fernanda de Souza e Silva Ramos, Laryssa de Castro Oliveira, Larissa Albertinazzi, Sávio José Cardoso Bezerra José Cardoso Bezerra, Vanessa Rodrigues dos Santos Rodrigues dos Santos, Erika Mayumi Omoto, Tais Scaramucci, Cristiane Duque, Ticiane Cestari Fagundes
Departamento de Odontología Preventiva y Restauradora, Facultad de Odontología, Universidad del Estado de São Paulo (UNESP), Araçatuba, São Paulo, Brasil.

16. ID 334 10.30-10.45
Evaluación radiográfica de restauraciones existentes en pacientes del Hospital Odontológico Universitario
María Milagros Trigo Humarán[1], *Hernan Tartacovsky[1], Agustina Boaventura Dubovik[1], Juan Martin García Cuerva[1], María Emilia Iglesias[2]
1. Cátedra de Odontología Restauradora, FOUBA. 2. Cátedra de Materiales Dentales, FOUBA.

Salón Pérez Esquivel

TEJIDOS DENTALES Y PERIODONTALES

Presidente: Elverdin, Juan Carlos
Secretaria: Dmytrenko, Ganna

17. ID 163 9.00-9.15
Patologías gingivales no inducidas por biofilm dental: estudio histopatológico, frecuencia y distribución.
*Krissya M. Villegas Padilla, Nathalie Amaya Londoño, María Luisa Paparella.
Cátedra de Anatomía Patológica, Laboratorio Patología Quirúrgica. FOUBA.

18. ID 165 9.15-9.30
Efecto deletéreo del alcohol crónico sobre el tejido óseo y periodontal
*Troncoso Gastón[1], Bozzini Clarisa[1], Casadoumeq Ana[1], Federico Mucci[1], Juan Carlos Elverdin[1], Fernández Solari J[1,2], Mohn Claudia[1,2].
1.Cátedra de Fisiología, FOUBA. 2-Consejo Nacional de Investigaciones Científicas y Técnicas (CONICET).

19. ID 254 9.30-9.45
Apoptosis por auto-anticuerpos de pacientes con periodontitis crónica en fibroblastos gíngivales humanos
*Emmanuel Quinteros Villarruel[1], Debora Gonzalez[2], Cátedra de Farmacología. FOUBA[2], Teresita Ferrary[3], Betina Orman[1].
1. Cátedra de Farmacología. FOUBA. 2. Cátedra de Biofísica y Bioestadística. FOUBA. 3. Cátedra de Medicina Interna. FOUBA

20. ID 355 9.45-10.00
Aplicación de Aceite de cannabis (CBD:THC/1:1) para tratar la periodontitis. Estudio preliminar.
*Julieta Agustina Rodas[1], Noelia Belen Barcalcel[1], Gaston Rodolfo Troncoso[1], Julia Irene Astrauskas[1], Claudia Mohn[1,2], Juan Carlos Elverdin[1], Cesar Angel Ossola[1], Jose Javier Fernandez Solari[1,2].
1. Catedra de Fisiología, FOUBA. 2. CONICET

21. ID 339 10.00-10.15
Mediadores proinflamatorios en explantos de placenta expuestos al fluido crevicular de gestantes.
*Luciana Doga[1], Brenda Lara[2], Iñaki Loureiro[2], Luciana D'Eramo[1], Sofía Novoa[3], Guillermina Caló[2], Laura Gliosca[4], Pablo Fabiano[3], Vanesa Hauk[2], Aldo Squassi[1], Claudia Perez Leiros[2].
1. Cátedra de Odontología Preventiva y Comunitaria, Instituto de Investigaciones en Salud Pública. 2. Laboratorio de Inmunofarmacología - IQUIBICEN-CONICET, Facultad de Ciencias Exactas y Naturales, UBA.3. Hospital General de Agudos Dr. Cosme Argerich de la Ciudad de Buenos Aires, Servicio de Obstetricia. 4. Cátedra de Microbiología y Parasitología, Laboratorio de Diagnóstico Microbiológico, Instituto de Investigaciones en Salud Pública

22. ID 349 10.15-10.30
El incremento local del endocannabinoide anandamida atenúa mediadores inflamatorios incrementados en periodontitis
*Julieta Agustina Rodas[1], Noelia Belen Barcalcel[1], Gaston Rodolfo Troncoso[1], Julia Irene Astrauskas[1], Claudia Mohn[1,2], Juan Carlos Elverdin[1], Cesar Angel Ossola[1], Jose Javier Fernandez Solari[1,2].
1. Catedra de Fisiología, FOUBA. 2. CONICET

23. ID 340 10.30-10.45
Composición bacteriana y efecto proinflamatorio del fluido crevicular en gestantes tempranas
*Luciana D'Eramo[1], Laura Gliosca[2], Luciana Doga[1], Guillermina Caló[3], Brenda Lara[3], Vanesa Hauk[3], Susana Molgatini[2], Aldo Squassi[1], Claudia Perez Leiros[3]
1. Cátedra de Odontología Preventiva y Comunitaria, Instituto de Investigaciones en Salud Pública, FOUBA.2. Cátedra de Microbiología y Parasitología, Laboratorio de Diagnóstico Microbiológico, Instituto de Investigaciones en Salud Pública. 3. Laboratorio de Inmunofarmacología - IQUIBICEN-CONICET, Facultad de Ciencias Exactas y Naturales, UBA.

24. ID 134 10.45-11.00
La melatonina disminuye la esteatohepatitis no alcohólica en el síndrome metabólico
*Vazquez Mosquera AP[1], Fontana S[2], Carpentieri AR[2].
1. Cátedra B de Química Biológica. Facultad de Odontología. UNC. INICSA-UNC/CONICET. 2. Cátedra A Histología y Embriología. Facultad de Odontología. UNC

25. ID 386 11.00-11.15
Aplicación de láser en pacientes con injurias nerviosas post quirúrgicas. Evaluación postratamiento.
*Jesús Eduardo Fernández Alemán[1], Ana Clara Casadoumecq[2], Sebastián Ariel Puia[3], Romina Chaintiou Piorno[1], María Agustina Saizar[1], David Heredia-Veloz[3], Ebingen Villavicencio-Caparo[4], Pablo Alejandro Rodríguez[1].
1. Cátedra de Endodoncia, FOUBA.2. Cátedra de Fisiología, FOUBA.3. Cátedra de Cirugía y Traumatología Bucomaxilofacial I, FOUBA.4. Carrera de Odontología. Universidad Católica de Cuenca-Ecuador.

Salón Erausquin

EDUCACIÓN ODONTOLÓGICA

Presidente: Argentieri, Ángela
Secretaria: Preliasco, Mariana

26. ID 139 9.00-9.15
Estrategias de aprendizaje preferidas por estudiantes del ciclo inicial (carrera de odontologia UNRN/RA): estudio exploratorio
*Preliasco Mariana, Davison Mario Ricardo, Carranza Pablo, Bordoni Noemi.
Carrera de Odontología de la Universidad Nacional de Rio Negro Argentina

27. ID 215 9.15-9.30
Niveles de empatía en estudiantes de Odontología de la Universidad de Buenos Aires
*Pablo Salgado[1,2,3], Patricia Pastorino[1], Mariana Toral[1], Jorge Aredes[4], Aldo Squassi[1,3].
1. Cátedra de Odontología Preventiva y Comunitaria, FOUBA. 2. Cátedra de Microbiología y Parasitología. 3 Instituto de Investigaciones en Salud Pública, FOUBA. 4. Cátedra de Odontología Integral del Adulto Mayor y Clínica de Prótesis Removible, FOUBA.

28. ID 142 9.30-9.45
Percepción del Uso de Zoom en estudiantes de ingreso a la Udelar. Montevideo. Uruguay
*Gabriel Tapia Repetto, Agustín Cataldo, Carla Gutiérrez, Betina Álvarez.
Cátedra de Histología y Embriología BMF. Facultad de Odontología. Universidad de la República
Montevideo – Uruguay

29. ID 186 9.45-10.00
Estrategias de aprendizaje en contextos virtuales en estudiantes de Odontología
*Ximena Pazos, Glenda Rossi, Pablo Salgado, Aldo Squassi. Graciela Klemonskis
Cátedra de Odontología Preventiva y Comunitaria - Instituto de Investigaciones en Salud Pública, FOUBA

30. ID 228 10.00-10.15
Percepción de estrés en la carrera de odontología (UNRN) por Covid 19.
*Gabriel Bove Visuara, Veronica Chafrat
Universidad Nacional de Rio negro, Escuela Odontología, Asignatura Morfofuncion 1y 2

31. ID 214 10.15-10.30
Niveles de conducta prosocial en estudiantes de la carrera de Odontología
*Pablo Salgado[1,2,3], Patricia Pastorino[1], Mariana Toral[1], Jorge Aredes[4], Aldo Squassi[1,3]
1. Cátedra de Odontología Preventiva y Comunitaria. 2. Cátedra de Microbiología y Parasitología. 3. Instituto de Investigaciones en Salud Pública. 4. Cátedra de Odontología Integral del Adulto Mayor y Clínica de Prótesis Removible, FOUBA.

32. ID 253 13.30-13.45
Relato de la experiencia sobre el curso virtual: Prácticas bioseguras en Odontología en tiempo de COVID-19
*María Gabriela Scatena[1], Beatriz Castillo[2], Mónica Mabel Vera[3], Lidia Dora Martínez[1], Inés María Zorrilla[4], Mónica Girardi[5], María Alejandra Bojanich[5], Ignacio Capogrossi[6], Pablo Gigena[7], María Laura Irazuzta[8], Graciela del Valle Castillo[1]
1. Cátedra "B" Química Biológica. 2. Asesoría Pedagógica 3. Cátedra "B" Prostodoncia II. 4. Cátedra "A" Cirugía II. 5. Cátedra "B" Microbiología e Inmunología. 6. Cátedra "B" Anatomía Patológica. 7. Cátedra "B Odontopediatría. 8. Cátedra "B" Ortodoncia. Centro de Bioseguridad de la Facultad de Odontología-UNC

Salón Houssay

ENDODONCIA

Presidente: Migueles, Alejandra
Secretaria: Nastri, María Lorena

33. ID 140 9.00-9.15
Descontaminación de limas de endodoncia: importancia del lavado con detergente enzimático
*Scatena María Gabriela[1], Socolovsky Javier Andrés[2], Azcurra Ana Isabel[1], Barembaum Silvina Ruth[2]
1-Cátedra "B" Química Biológica. Facultad de Odontología. UNC. 2-Cátedra "B" Introducción a la Física y Química Biológica. Facultad de Odontología. UNC

34. ID 201 9.15-9.30
Prevalencia de taurodoncia, dilaceración y analisis de angulacion de 1º molar superior
*Maria Julia Carosi[1], Ailin Gomez[1], Alejandra Antoniuk[1], Florencia Arrigo[1], Stephanie Arario[1], Ariel Gualtieri[2], Sebastian Robledo[3], Diego Vazquez[1], Pablo Rodriguez[3].
1. Catedra de Diagnostico por Imágenes. 2. Catedra de Biofísica. 3. Catedra de Endodoncia. FOUBA

35. ID 315 9.30-9.45
Estudio con CBCT de la instrumentación de premolares inferiores con sistemas mecanizados
*Maria Cecilia Mugnolo, Jorge Alberdi, Analía Vacaflor, Soledad Gartner, Gabriela Berchialla, Gabriela Martin.
Carrera de especialización en endodoncia, UCC, Facultad de ciencias de la salud.

36. ID 211 9.45-10.00
Estudio de interfaz adhesiva entre dentina radicular y cemento de resina autoadhesivo.
*Marcela Roitman[1], Mariana Picca[2], Pablo Rodriguez[1], Ricardo Macchi[2].
1. Cátedra de Endodoncia. FOUBA. 2. Cátedra de Materiales Dentales. FOUBA.

37. ID 222 10.00-10.15
Influencia de la etiología sobre la predictibilidad en endodoncia regenerativa: meta-análisis
*Viviana Báez[1,2], Lorena Corcos[1], Antonella Sciarrota[1], María Pía Visconti[1], Ariel Félix Gualtieri[3]
1. Cátedra de Endodoncia, FOUBA. 2. Centro de Educación Médica e Investigaciones Clínicas CEMIC, Departamento de Odontología.3. Cátedra de Biofísica y Bioestadística. FOUBA

38. ID 287 10.15-10.30
El polimorfismo genético en NOS2 contribuye al dolor postoperatorio en pacientes endodónticos
*Leonardo Santos Antunes, Ludmila Silva Guimarães, Fernanda Garcias Hespanhol, Erlange Andrade Borges da Silva, Vania Gomes Moraes, Lívia Azeredo Alves Antunes
Universidad Federal Fluminense, Programa de Posgrado en Odontología

39. ID 356 10.30-10.45

Evaluación con microtomografía computada de vacíos en la obturación de premolares inferiores

*Gabriela Martín[1], María Lorena Cabirta[2], Cecilia De Caso[1], Analía Vacaflor[1], Cecilia Mugnolo[1], Arnaldo Mangeaud[3], Soledad Salduna[1], Pablo Alejandro Rodriguez[2].
1. Universidad Católica de Córdoba, Facultad de Ciencias de la Salud, Carrera de Especialización en Endodoncia.2. Cátedra de Endodoncia, FOUBA.3. Universidad Católica de Córdoba. Facultad de Ciencias de la Salud. Departamento de Bioestadística y Metodología

40. ID 357 10.45-11.00 RESUMEN NO PRESENTADO

Análisis del terreno endodóntico en dientes en formación

*Carlos Ernesto Cejas Ruiz, Omar Gani
Facultad de Odontología, UNC, Endodoncia

41. ID 354 11.00-11.15

Transporte y centricidad de sistemas mecanizados analizados con microtomografia de Rayos X

*LiTing Lee[1], Maria Lorena Cabirta[1], Ariel Lenarduzzi[1], Maria Eugenia Santillan[1], Eugenia Miklaszewski[1], Paula Corominola[1], Pablo Andres Salgado[2], Pablo Martinez[1], Julia Carosi[3], Liliana Sierra[1], Pablo Alejandro Rodriguez[1].
1. Cátedra de Endodoncia.2. Cátedra de Microbiología y Parasitología. Instituto de Investigaciones en Salud Pública. 3. Cátedra de diagnóstico por imágenes. FOUBA

42. ID 348 11.15-11.30

Estudio anatómico de conductos mesiales de molares inferiores con microtomografía computada

*Valentin Mendoza[1], Gabriela Martin[1], Maria Lorena Cabirta[2], Noelia Tenaglia Chioli[1], Arnaldo Mangeaud[3], Pablo Alejandro Rodríguez[2].
1.Universidad Católica de Córdoba. Facultad de Ciencias de la Salud. Carrera de Especialización en Endodoncia. 2. Cátedra de Endodoncia, FOUBA. 3. Universidad Católica de Córdoba. Facultad de Ciencias de la Salud. Bioestadística y Metodología

PRESENTACIONES POSTERS

Lunes 31 de octubre | 14 a 16 hs.

Salón Milstein

CARIOLOGÍA Y EPIDEMIOLOGÍA

Veedores: Bella, Marcela Inés; Medici, Silvia; Cohen, Alberto

43. ID 172

Conducta de los pacientes ante la necesidad de atención prostodontica en pandemia

*****Pablo Octavio Loyola Gonzalez, Nelson Rugani, Elby Elizondo, Marcela Maurizio, Roberto Lujan, Cristina Escudero Cantcheff, Maria Silvia Oviedo, Stella Maris Peccoud, Cristian Bracamonte.
Universidad Nacional de Córdoba

44. ID 160

Intervenciones Educativas Virtuales: Eficacia en Médicos Perceptivos de Salud Bucal de PVVS

*****Miguel Angel Farias[1], Silvia Andrea Medici[2], Gabriel Antonio Sanchez[1,2]
1. Cátedra de Biofísica y Bioestadística, FOUBA.2. Clínica para la Atención de Pacientes de Alto Riesgo I (CLAPAR I).

45. ID 220

Caries OUT Córdoba: Manejo de caries en niños con CariesCare International

*FPM Carletto-Körber[1], JA Oña[1], FR Vazquez[1], A Martin[1], EO Beltrán[2], A Cortes[2], GVA Douglas[3], JT Newton[4], NB Pitts[4], C Deery[5], S Martignon[2].
1. Universidad Nacional de Córdoba, Facultad de Odontología Odontopediatría “A”. Argentina. 2. Universidad El Bosque, UNICA, Vicerrectoría de Investigaciones, Bogotá, Colombia. 3. University of Leeds, Dental Public Health, Leeds Dental Institute, Leeds, UK. 4. King’s College London, Dental Innovation and Impact, Faculty of Dentistry, Oral and Craniofacial Sciences, London, UK. 5. University of Sheffield, School of Clinical Dentistry, Sheffield, UK

46. ID 307

Uso de tecnología microtomográfica para evaluación densitométrica de modelos ex vivo.

Fiorella Ventura[1,2], *Rocio Lazzati[1], Leonardo Jorge Nart[3], Aldo Squassi[1,2], Carlos Mendez[4],
1. Cátedra de Odontología Preventiva y Comunitaria. 2. Instituto de Investigaciones en Salud Pública. 3. Cátedra de Diagnóstico por Imágenes. 4. Cátedra de Farmacología. FOUBA

47. ID 308

Caracterización clínica y sociodemográfica mediante la utilización de un sistema informático

*****María Florencia Escalante Vila[1], Ana Laura Sorazabal[1,2], Tomas Tajes[1], Luciana D’Eramo[1,2], Pablo Salgado[1,2,3], Aldo Squassi[1,2]
1. Cátedra de Odontología Preventiva y Comunitaria. 2. Instituto de Investigaciones en Salud Pública. 3. Cátedra de Microbiología y Parasitología. FOUBA

48. ID 360

Salud bucal de una comunidad escolar de Córdoba Capital en 2019 y 2022

*Pablo Cristian Gigena, Lila Susana Cornejo, Camila Giraudo, Alejandro Marengo, Verónica Cano, Julieta Ziem, Nora Casanovas, Verónica Vera, Mónica Franchisena, Andrea Fernandez, Fabián Ponce, Marcela Inés Bella.
Facultad de Odontología, UNC

49. ID 208

El proceso de acompañar en el cuidado de la salud bucal

*****Monica Gaiteri, Maria Natalia Copello, Solana Gonzalez, Cristian Steffanini, Viviana Freschi, Griselda Condis, Ana Salas.
Facultad de Odontología Rosario

50. ID 264
Estudio de supervivencia de Streptococcus mutans en un tipo de fomite
*Celia Cutrera[1,2,3], Celina Cornejo[1,2,3], Aldo Squassi[1,3], Susana Molgatini[2,3], Laura Gliosca[2,3]
1.Cátedra de Odontología Preventiva y Comunitaria. 2.Cátedra de Microbiología y Parasitología. 3.Instituto de Investigaciones en Salud Pública

51. ID 274
Prevalencia de caries proximales en pacientes de Odontología Preventiva FOUNT
*Sandra Iturre. López Roxana, Rafael Páez, María Alejandra Granado, Victor Castillo, Abelardo Navarro
Cátedra de Odontología Preventiva de FOUNT.

52. ID 389
Fluorosis dental: relación con la concentración de flúor en saliva en escolares
* Silvia Marta Braschi, Marina Raquel Rocamundi, Agustín Joison, María Jorgelina Ulloque
Facultad de Ciencias de la Salud - Universidad Católica de Córdoba

53. ID 266
Estandarización del inóculo de Streptococcus mutans por medio de curvas de crecimiento
*Celia Cutrera[1], Celina Cornejo[1,2,3], Aldo Squassi[2,4], Susana Molgatini[1,4], Laura Gliosca[1,4]
1. Cátedra de Microbiología y Parasitología. 2. Cátedra de Odontología Preventiva y Comunitaria. 3. Cátedra de Microbiología y Parasitología. 4.Instituto de Investigaciones en Salud Pública

EDUCACIÓN ODONTOLÓGICA
Veedores: Klemonskis, Graciela; Gardey, Mónica; Guitelman, Ingrid; Bertolino, Mariana

54. ID 243
Automedicación en tiempos de pandemia de pacientes que asisten a prostodoncia IVB
*Pablo Loyola González, Nelson Jesús Rugani, Stella Maris Peccoud, Elby Elizondo, MC Maurizio, Roberto Luján, Silvia Oviedo, CG Bracamonte, Cristina Escudero Cantcheff.
Cátedra de Prostodoncia IVB. Facultad de Odontología Universidad Nacional de Córdoba.

55. ID 110
Atención odontopediátrica en Servicio de Urgencias y C.O.I.N. (F.O.U.B.A) durante pandemia COVID-19
Mariana Bertolino, *Cynthia Baggini, Analìa Miño, Lucìa Babino
Cátedra Odontología Integral Niños. FOUBA.

56. ID 146
Asimilación de conocimientos sobre peek (polieter-etercetona) mediante talleres on line
*Basal, R; Butler, T; Lazo, S; Escudero E; Spina M; Bentivenga, N; Pasoz, F; Borrillo, G; Amaro, E; Sararols, V.
Cátedra: Prótesis. Facultad de Odontología. UNLP.

57. ID 92
Estilos de aprendizaje y su relación con el rendimiento académico
* Leandro Juan Tomas; María Mercedes Medina; Paula Mariela Tomas; Lilián Mónica Pollicina; Pablo Guillermo Felipe; Valeria Raquel Vijandi; María Florencia Polo; Paula Erika Murdolo; Cecilia Paola Conte.
Facultad de Odontología de la Universidad Nacional de La Plata

58. ID 246
Dieta, estilo de vida y salud bucal del entorno familiar de estudiantes de odontología
*Karen Rhys, Sandaly Oliveira Da Silva de Pacheco, Evelyn Montes Chañi, Liberth Incahuanaco, Ismael Contreras, Fabio Pacheco.
Universidad Adventista del Plata. Cátedra de Investigación en Odontología

59. ID 345
Legislación en Salud Oral en la República Argentina
*Silvina Di Bastiano, Martín Zemel, Veronica Vanoni, Miguel Ricardo
Instituto en Investigaciones en Educación Superior Facultad de Odontología Universidad Nacional de La Plata

60. ID 344
Rasgos emergentes de estudios en bioética y educación odontológica
*Silvina Di Bastiano, Martín Zemel
Instituto en Investigaciones en Educación Superior Facultad de Odontología Universidad Nacional de La Plata

61. ID 176
Condiciones ambientales y planificación de estudio en estudiantes de Odontología
*Basal, R, Laura Silvia Pilone, María Amelia Paleo, Melina Priscila Bander, Lisandro Astudillo, Silvina Suarez, Viviana Carmen Serrano, Sabrina Degaetano, Pablo Dorati.
Cátedra Biología. Facultad de Odontología. UNLP. Cátedra: Prótesis, Facultad de Odontología. UNLP

62. ID 342
Plataformas digitales en Carreras de Ortodoncia FULL TIME e INTENSIVA I FOUBA
Alejandra Folco[1], Diego Vazquez[2], Marina Iglesias[1], Ezequiel Leone[1], Mahmood Ahmadi[1], *Janick Cavalieri[1]
1. Cátedra de Ortodoncia. 2. Cátedra de Diagnóstico por Imágenes. - FOUBA

63. ID 343
Correlación entre masticación, aprendizaje y memoria en niños y pre adolescentes
*María Eugenia Mendez Bovio, Karen Rhys, Rosana Morelatto, Jorge Escandriolo Nackauzi
Universidad Adventista del Plata

TEJIDO ÓSEO
Veedores: Bozal, Carola; Steimetz, Tammy; Olmedo Daniel; Bozzini, Clarisa

64. ID 221
Desnutrición en hipoxia y rigidez ósea. Efecto del propranolol y de la realimentación en normoxia.
*Alan Agüero Romero, Clarisa Bozzini, Patricia Pintos, Constanza Picasso, Patricia Boyer, Christian Lezón.
Cátedra de Fisiología FOUBA

65. ID 249
Correlación entre estadio de maduración de la sutura media palatina y edad cronológica del paciente.
*Stephanie Lisette Arario[1], Julieta Beraldi[1], María Eugenia Jones[1], Pablo Domingo Mengia[1], Constanza Chervaz[1], Roberto Aisenberg[1], Victoria Azcona[1], Teresita Cifuentes[1], Ailín Gómez[1], Pablo Andrés Salgado[2], Diego Jorge Vazquez[1].
1.Cátedra de Diagnóstico por imágenes, FOUBA.2. Cátedra de Odontología Preventiva y Comunitaria. Cátedra de Microbiología y Parasitología. FOUBA. Instituto de Investigaciones en Salud Pública. UBA

66. ID 203
Biocompatibilidad metabólico-celular de osteoblastos en implantes de titanio y de zirconia
*Germán Mirotti[1], Marisa Julia Sandoval[2], Pablo Hernan Cutini[2], Mario Sezin[1], Virginia Laura Massheimer Virginia Laura[2], Juan Carlos Ibañez[1].
1. Carrera de Especialización en Implantología Oral. Facultad de Medicina, Universidad Católica de Córdoba, Círculo Odontológico de Córdoba. 2. INBIOSUR, Universidad Nacional del Sur (UNS), CONICET, Departamento de Biología, Bioquímica y Farmacia, Bahía Blanca.

67. ID 278
Estudio descriptivo de la concavidad lingual y su relevancia en implantología
*Julieta Beraldi[1], María Eugenia Jones[1], Pablo Domingo Mengia[1], Constanza Chervaz[1], Roberto Aisenberg[1], Teresita Cifuentes[1], Victoria Azcona[1], Stephanie Lisette Arario[1], Ailín Gómez[1], Pablo Andrés Salgado[2], Diego Jorge Vazquez[1].
1. Cátedra de Diagnóstico por imágenes. 2. Cátedra de Odontología Preventiva y Comunitaria, Cátedra de Microbiología y Parasitología. FOUBA. Instituto de Investigaciones en Salud Pública. UBA

68. ID 303
Respuesta mandibular al consumo de aceite termo-oxidado. Estudio experimental en ratas en crecimiento.
*Maria Eugenia Antona[1], Veronica Miksztowicz[1,2], Romina De Lucca[1], Lorena Cabirta[3], Maria Selene Martinez[4], Clarisa Bozzini[5], Andrea Ferreira Monteiro[1], Elisa Vanesa Macri[1], Silvia Maria Friedman[1].
1. Cátedra de Bioquímica General y Bucal. 2. Lab. Patología Cardiovascular Experimental e Hipertensión Arterial. BIOMED:UCA:CONICET. 3. Cátedra de Endodoncia. 4. Cátedra de Diagnóstico por Imágenes. 5. Cátedra de Fisiología. FOUBA

69. ID 277
Análisis de la posición tridimensional del conducto mandibular mediante CBCT, en pacientes dentados
*Teresita Cifuentes[1], Julieta Beraldi[1], María Eugenia Jones[1], Pablo Domingo Mengia[1], Constanza Chervaz[1], Roberto Aisenberg[1], Victoria Azcona[1], Gonzalo Damián Heredia[2], Ailín Gómez[1], Pablo Andrés Salgado[2], Diego Jorge Vazquez[1].
1. Cátedra de Diagnóstico por imágenes. Cátedra de Cirugía y traumatología bucomaxilofacial I. 2. Cátedra de Odontología Preventiva y Comunitaria, Cátedra de Microbiología y Parasitología. FOUBA. Instituto de Investigaciones en Salud Pública. UBA

70. ID 316
Estudio de prevalencia de osteonecrosis de maxilar en una población de Bariloche
*Paola Giglio[1], Santiago Olguin[1], Andrés Anton[2], Marina Benes[2], Alejandro Alvarez[2], Alejandro Menan[2], Adriana Jaraj[3], Daniel Brandizzi[2,4].
1. Clínica de Extensión de Medicina Bucal del Círculo Odontológico Bariloche (COS). 2. Fundación INTECNUS: (Instituto de Tecnologías Nucleares para la Salud). 3. Cátedra de Estomatología de la Facultad de Odontología Universidad Nacional de Rosario. 4. Unidad de Medicina Bucal, División de Oncología del Departamento de Cirugía del Hospital de Clínicas "José de San Martin de la Universidad de Buenos Aires y Comisión Nacional de Energía Atómica (CNEA)

71. ID 323
Bifurcación del conducto dentario inferior. Análisis con tomografía computada Cone Beam
*Mercedes Mabel Jorrat[1], Diego Esteban Agüero[1], Lourdes Mariana Simon[1], Luis Fernando Wuscovi[1], Maria Elena Lopez[2], Hugo Norberto Aragon[1].
Catedra de Radiología de la FOUNT (Fac. de Odontología de la UNT). 2. Catedra de Quimica Biologica de la FOUNT (Fac. de Odontologia de la UNT)

72. ID 306
Incidencia de la patología sinusal en relación con la presencia de variaciones anatómicas nasales.
*Julieta Beraldi[1], María Eugenia Jones[1], Pablo Domingo Mengia[1], Roberto Aisenberg[1], Victoria Azcona[1], Matías De Luca[1], Solana Sanchis[1], Lorena Benítez[1], Ailín Gómez[1], Pablo Andrés Salgado[2], Diego Jorge Vazquez[1].
1. Cátedra de Diagnóstico por imágenes. 2. Cátedra de Odontología Preventiva y Comunitaria, Cátedra de Microbiología y Parasitología. FOUBA. Instituto de Investigaciones en Salud Pública. UBA

73. ID 369
Relación entre distancia faríngea superior y volumen de vías aéreas
*Ailín Gómez[1], Constanza Chervaz[1], Roberto Aisenberg[1], Julieta Beraldi[1], Teresita Cifuentes[1], Cristina Bevk[1], Jaqueline Lizeth Paitan Rodriguez[1], Victoria Elvira Quiroga[1], Leonardo Nart[1], Pablo Andrés Salgado[2], Diego Jorge Vazquez[1].
1. Cátedra de Diagnóstico por imágenes. 2. Cátedra de Odontología Preventiva y Comunitaria, Cátedra de Microbiología y Parasitología. FOUBA. Instituto de Investigaciones en Salud Pública. UBA

74. ID 335
Influencia de posición, lado y sexo en angulación de caninos superiores retenidos
*Luis Fernando Wuscovi[1], Diego Enrique Aguero[1], Hugo Norberto Aragón[1], Maria Elena Lopez[2].
1. Catedra de Radiología de la FOUNT (Facultad de Odontología de la UNT). 2. Cátedra de Química Biológica de la FOUNT (Facultad de Odontologia de la UNT)

75. ID 368
Análisis volumétrico del conducto nasopalatino en CBCT mediante CT analyser
*María Victoria Bielli, María Milagros Trigo Humarán, Alana Elizabeth Reynoso, Leonardo Jorge Nart, Stephanie Calvo, Diego Jorge Vazquez, Victoria Elvira Quiroga, Matias De Luca, Solanas Sanchis, Rocio Iturreria.
Cátedra de Diagnóstico por Imágenes, FOUBA.

76. ID 333
Análisis con CBCT del tercer molar inferior en relación al conducto dentario inferior
*Diego Enrique Agüero[1], Lourdes Mariana Simon[1], Luis Fernando Wuscovi[1], Maria Elena Lopez[2], Graciela Norma Brito[1], Hugo Norberto Aragon[1].
1. Catedra de Radiología de la FOUNT (Facultad de Odontología de la UNT). 2. Cátedra de Química Biológica de la FOUNT (Facultad de Odontología de la UNT)

TEJIDOS DENTALES Y PERIODONTALES
Veedores: Lezon, Christian; Funosas, Esteban; Gómez, Ailín; De Couto Pita, Alejandra

77. ID 116

Evaluación del estado periodontal de pacientes con cáncer de mama sometidas a tratamiento antiestrogénico

Balsamo Maria Fernanda, Jewtuchowicz Virginia, Hansen Alejandro, Blanco Villalba Marcelo, Bramajo Marina, *Brusca Maria Isabel.
FOUBA. Centro Médico Austral. Instituto de Investigaciones en Micología y Parasitología Médica (IMPAM) del departamento de Micología Parasitaria e Inmunología de la Facultad de Medicina de la Universidad de Buenos Aires

78. ID 175

Diagnóstico de enfermedad periodontal mediante un estudio clínico simplificado.

Gustavo Feser, *Patricia Glanzmann, Micaela Radica, Grimoldi Carla, Ernesto Radica, Esteban Rodolfo Funosas
Cátedra de Periodoncia. Facultad de Odontología. Universidad Nacional de Rosario. (UNR)

79. ID 210

Prevención del daño asociado a enfermedad periodontal por acción farmacológica dual en el sistema endocannabinoide

*Sofia Allamprese, Julieta Rodas, Juan Carlos Elverdin, Javier Fernández Solari, Cesar Ángel Ossola
Cátedra de Fisiología, FOUBA

80. ID 241

Caracterización celular de la membrana del quiste dentígero.

*Lucas Darrigran, Karina Alejandra Mayocchi, Nahuel Blasetti, Rubén Martín Mayocchi, Agustina Arcuri, Javier Gimenez, Marcelo Arcuri, Naomy Echeverría, María José Levalle, Karina Sirimarco, Marcela Molina.
Laboratorio de Biología Molecular y Biotecnología FOLP

81. ID 238

Estudio clínico aleatorizado de administración de antibióticos para exodoncias simples en diabéticos

*Teresa Nuñez[1], Matias Garcia Blanco[1], Ariel Felix Gualtieri[2], Sebastian Ariel Puia[1].
1.Cirugía y Traumatología Bucomaxilofacial I, FOUBA. 2. Cátedra de Biofísica y Bioestadística, FOUBA.

82. ID 247

Recuperación del hueso alveolar resorbido por efecto de la periodontitis experimental con PTH 1-34 a bajas dosis.

*Marina Soledad Bonanno[1,2], Estefanía Magalí Zeni Coronel[1,3], Mariana Seijo[1], Nicolás Bidevich[4], María Eugenia Avendaño[5], Mariana Preliasco[4], Ricardo Davison[4], Susana Noemí Zeni[1].
1. Laboratorio de Osteopatías Metabólicas INIGEM/UBA-CONICET. 2. Cátedra de Histología y Embriología FOUBA. 3. Cátedra de Bioestadística FVetUBA. 4. Carrera de Odontología FNRN. 5. Diagnóstico por Imágenes I UNCuyo

83. ID 248

Prevalencia de posición del tercer molar mandibular impactado mediante tomografía computada de haz cónico.

*Julieta Beraldi[1], María Eugenia Jones[1], Pablo Domingo Mengia[1], Roberto Aisenberg[1], Constanza Chervaz[1], Victoria Azcona[1], Teresita Cifuentes[1], Stephanie Lisette Arario[1], Ailín Gómez[1], Pablo Andrés Salgado[2], Diego Jorge Vazquez[1].
1. Cátedra de Diagnóstico por imágenes, FOUBA. 2. Cátedra de Odontología Preventiva y Comunitaria y Cátedra de Microbiología y Parasitología. FOUBA. Instituto de Investigaciones en Salud Pública. UBA.

84. ID 250

Expresión del receptor de oxitocina en tejidos peridentarios de rata y humanos.

*Ganna Dmytrenko[1], Andrea Ochotorena[2], Ricardo Orzuza[3], Ana Julia Ticchi[4], Andrea De Laurentiis[1,4].
1. Cátedra de Fisiología, FOUBA. 2. Universidad de Buenos Aires, Facultad de Odontología, Cátedra de Cirugía y Traumatología Bucomaxilofacial I. 3. Cátedra de Bioquímica, FOUBA. 4. Centro de Estudios Farmacológicos y Botánicos (UBA/CONICET)

85. ID 268

Expresión de genes de diferenciación en cultivos celulares de pulpa dental humana.

*Vanesa Alejandra Merhar[1], Alejandra Karina De Couto Pita[1], Maria Belén Benitez[1], Mariana Bouchoux[1], Carlos Fernando Mendez[1,2].
1. Cátedra de Farmacología.FOUBA. 2. CONICET

86. ID 269

Cambios de expresión en receptores cannabinoides en ratas con hiposalivación y/o periodontitis

*Noelia Belén Balcarcel[1], Gastón Rodolfo Troncoso[1], Julieta Agustina Rodas[1], Julia Irene Astrauskas[1], César Ángel Ossola[1], José Javier Fernandez-Solari[1,2].

1. Cátedra de Fisiología, FOUBA. 2. CONICET.

87. ID 293

Bioactividad de cementos a base de silicato de calcio en cultivos primarios de pulpa dental humana

*María Belén Benítez[1], Carla Micaela Zingoni[1], Romina Loiacono[2], Vanesa Alejandra Merhar[1], Carolina Alexia Anaise[1], Alejandra Karina De Couto Pita[1], Valeria Cecilia Panetta[2], Laura Beatríz Pinasco[2], Pablo Alejandro Rodríguez[2], Carlos Fernando Mendez[1].

1. Cátedra de Farmacología. 2. Cátedra de Endodoncia -FOUBA

88. ID 299 RESUMEN NO PRESENTADO

Movimiento dentario en respuesta a la pérdida ósea en enfermedad periodontal experimental.

Marina Soledad Bonanno[1,2], Estefanía Magalí Zeni Coronel[1,3], *Sebastián Tomás Biagini[2], María Eugenía Avendaño[4], Mariana Preliasco[5], Mario Ricardo Davison[5], Romina De Lucca[2], Susana Noemí Zeni[1].

1. Laboratorio de Osteopatías Metabólicas INIGEM/UBA-CONICET. 2. Cátedra de Histología y Embriología FOUBA. 3. Cátedra de Bioestadística FVetUBA.4. Diagnóstico por Imágenes I Facultad de Odontología UNCuyo.5. Carrera de Odontología FNRN

89. ID 310

Mayoría de edad en Argentina: Estimación mediante un índice de maduración dentaria.

Claudia Marcela Delvechio[1], Gabriel Antonio Sanchez[2], Ana María Collet[3].

1. Cátedra de Anatomía Patológica. 2. Cátedra de Biofísica y Bioestadística.3. Cátedra de Anatomía Patológica.

90. ID 328

Localización de células stem en pulpa dental humana con morfogénesis radicular completa.

Alejandra De Couto Pita, *Franco Dell´Angélica, Vanesa Merhar, María Belén Benitez, Mariana Bouchoux, Carlos Mendez.

Cátedra de Farmacología.FOUBA.

91. ID 338

Estudio longitudinal del efecto de la administración de simvastatina en ratas hipercolesterolémicas con periodontitis

*Maria Eugenia Antona[1], Cecilia Ramos[1], Valeria Zago[2], Andrea Ferreira Monteiro[1], Silvia Maria Friedman[1], Elisa Vanesa Macri[1], Tammy Steimetz[3].

1. Cátedra de Bioquímica General y Bucal. 2. Departamento de Bioquímica Clínica. Laboratorio de Lípidos y Aterosclerosis; Consejo Nacional de Investigaciones Científicas y Técnicas (CONICET), Argentina.3. Cátedra de Anatomía Patológica.

92. ID 347

Efecto del uso de Soja y Palta sobre parámetros clínicos periodontales

Mauricio Kremer, *Miriam Grenón.

Cátedra A de Periodoncia Universidad Nacional de Córdoba

PRESENTACIONES POSTERS

Martes 1 de noviembre | 8.30 a 10.30 hs.

Salón Milstein

MATERIALES DENTALES Y BIOMATERIALES

Veedores: Macchi Ricardo; Picca, Mariana; Zaiden, Silvia

93. ID 144

Microdureza de dentina cariada tratada con una solución de 20% AgNCls/PMAA

*María Belén Cabalén, Ignacio Mazzola, Laura Brain Lascano, Martín Sainz Aja, Mariana Picca, Gustavo Molina.
Cátedra de Materiales Dentales, Facultad de Ciencias de la Salud, Universidad Católica de Córdoba; Cátedra de Materiales Dentales, FOUBA.

94. ID 212

Brecha marginal en restauraciones 2.3 mount-hume con materiales adhesivos. Observados mediante micro-CT.

*Luciana Marcarian[1], Candela Andrada[1], Lucia Lauriola[1], Christian Lezón[2], Silvia Zaiden[1]
1. Preclínica de Odontología Restauradora, FOUBA.2. Cátedra de Fisiología, FOUBA.

95. ID 260

Monómeros compuestos de resina experimental reforzados con nanofibras híbridas de óxido de grafeno

*Marilia Mattar de Amoêdo Campos Velo[1], Alyssa Teixeira Obeid[1], Tatiana Rita de Lima Nascimento[2], Juliana Fraga Soares Bombonatti[1], Rafael Francisco Lia Mondelli[1],
1. Departamento de Odontología Operativa, Endodoncia y Materiales Dentales, Facultad de Odontología de Bauru, Universidad de São Paulo-USP, SP, Brasil.2. Departamento de Química – Universidad Federal de Paraiba, João Pessoa, PB, Brasil.

96. ID 240

Relación de Células Madre Mesenquimales con distintos tratamientos superficiales de Ti

*Rubén Martín Mayocchi[1], Karina Alejandra Mayocchi[1], Nahuel Blasetti[1], Kyung Won Kang[2], Adriana Lemos Barboza[2], Juliana Kohan[2], Carlos Llorrente[2].
1. Laboratorio de Biología Molecular y Biotecnología. Facultad de Odontología UNLP.2. Laboratorio Investigación Metalurgica y Física. Facultad de Ingeniería UNLP

97. ID 192

Análisis de biocompatibilidad de partículas óseas para su uso en ingeniería tisular

Olimpia Ortiz Arrabal[1], Miguel Alaminos[1], Anibal Rodriguez[2], Gerardo Sanchez[2], Belén Ferrer[2], Santiago Daniel Palma[3], Daniel Torassa[1], *Ismael Angel Rodriguez[1,2]
1. Departamento de Histología, Grupo Ingeniería Tisular, Facultad de Medicina, Universidad de Granada, España. 2. Cátedra de Histología y Embriología B, Facultad de Odontología, UNC, Argentina.3. UNITEFA, CONICET, Universidad Nacional de Córdoba, Córdoba, Argentina.

98. ID 283

Evaluación histológica de regeneración ósea mediante un tejido artificial magnético.

*María Belén Ferrer[1], Miguel Alaminos[2], Guadalupe Dorado[1], Mario Anibal Rodriguez[1], Ismael Angel Rodriguez[1,2].
1. Cátedra de Histología B, Facultad de Odontología, Universidad Nacional de Córdoba.2. Grupo de Ingeniería Tisular Departamento de Histología, Facultad de Medicina, Universidad de Granada, Granada, España.

99. ID 285

Preservación alveolar post-exodoncia con aloinjerto expuesto al medio bucal: estudio piloto

*Malena Aguilar Porta[1,2], María Pía Burelli[2], Matías Urdapilleta[2], Mariel V. Gómez[3], Sandra J. Renou[1], Daniel G. Olmedo[1,4]
1. Cátedra de Anatomía Patológica, FOUBA. 2. Cátedra de Odontología Integral Adultos, FOUBA.3. Carrera de Especialización en Periodoncia, Universidad Maimónides, Buenos Aires, Argentina.4.CONICET.

100. ID 286
Estudio longitudinal de pacientes con ros sin injerto con implantes (20 años).
*Alejandro Jorge Filsinger[1], Mabel Brunotto[2].
1. Cátedra de Prostodoncia III "B". FO-UNC. 2. Cátedra de Biología Celular "A". FO-UNC

101. ID 336
Variación dimensional y microdureza luego del endurecimiento de materiales biocerámicos.
*Analia Garrofé, María Alejandra Lei, Mariana Picca.
Cátedra de Materiales Dentales.FOUBA.

102. ID 191
Evaluación "in vivo" de biocompatibilidad y biodegradabilidad de un ácido hialurónico. Estudio preliminar en ratas.
*Rosario Maria Martinez[1], Santiago Daniel Palma[2], Lucas Ontivero[1], Belén Ferrer[1], Lucas Sorbera Ferrer[1], Ismael Angel Rodriguez[1].
1. Cátedra de Histología y Embriología bucodental "B" Facultad de odontología. Universidad Nacional de Córdoba. 2. Unidad de I+D en Tecnología Farmacéutica UNITEFA - CONICET - Departamento de Ciencias Farmacéuticas. Facultad Ciencias Químicas Universidad Nacional de Córdoba

103. ID 331
Radiopacidad y tiempo de fraguado de materiales biocerámicos.
*María Alejandra Lei, Analía Beatriz Garrofé, Mariana Picca.
Cátedra de Materiales Dentales. FOUBA.

104. ID 263
Caracterización histológica y biomecánica de membranas de colágeno humano liofilizadas e irradiadas
*Geraldine Mascolo[1,2], Paula Badino[2], Lucas Sorbera[2], Karina Grunberg[2], Tristan López-Lozano[1], Carolina Lacerra[1], Cecilia Sobrero[1], Ismael Angel Rodriguez[2].
1. Banco de Tejidos del Laboratorio de Hemoderivados, UNC. 2-Cátedra de Histología y Embriología "B", Facultad de Odontología, UNC

105. ID 361
Resistencia adhesiva entre disilicato de litio y diferentes sustratos
Laura Fusaro, *María José Molina, Mariana Picca, Analía Beatriz Garrofé.
Cátedra de Materiales Dentales. FOUBA.

GLÁNDULAS SALIVALES
Veedores: Orman, Betina; Terrizzi, Antonela

106. ID 225
Efecto de melatonina sobre la actividad de amilasa salival en glándula submandibular de ratas tratadas con ciclofosfamida
*Fernando Martin Wietz[1], Evelin Bachmeier[1], Daniela Josefina Porta[2], Lorena Moine[1], Claudio Gastón Dubersarsky[1], María Angelica Rivoira[2], Marcelo Adrián Mazzeo[1].
1.Cátedra de Fisiología. Facultad de Odontología. UNC.2. Instituto de Investigaciones en Ciencias de la Salud. INICSA-CONICET. Facultad de Ciencias Médicas. UNC.

107. ID 173
Efectos comparativos de distintos periodos de hipoxia sobre tejidos orales de rata
*Giuliana Rugolo[1], Ching Ming Lee[2], Clarisa Bozzini[1], María del Pilar Martinez[1], Antonela Romina Terrizzi[1].
1. Cátedra de Fisiología, FOUBA. 2. Cátedra de Preclínica de Rehabilitación Protética, FOUBA

108. ID 123
Patrones diurnos de cortisol y alfa amilasa salival en adultos jóvenes sanos
*Rolando Pablo Alejandro Juárez, Armando Cesar Celia.
Laboratorio de Investigaciones Científicas. Facultad de Odontología. Universidad Nacional del Nordeste.

109. ID 223
Concentración de glucógeno en glándula submandibular de ratas por Citostáticos y Bevacizumab
Claudio Gastón Dubersarsky[1], Evelin Bachmeier[1], Daniela Josefina Porta[2], Emma Gloria Ferreyra Mariani[1], Fernando Martin Wietz[1], Roger Ariel Soria[1], María Angelica Rivoira[2], *Marcelo Adrián Mazzeo[1].
1. Catedra de Fisiología , Facultad de Odontología, UNC. 2. Instituto de Investigaciones en Ciencias de la Salud. INICSA-CONICET. Facultad de Ciencias Médicas. UNC

110. ID 256
Vesículas extracelulares y actividad ATPasa salival: influencia de la periodontitis severa
*Martin Matias Barbieri van Haaster[1], Hernán Bontá[2], Betina Orman[3], Débora Alejandra Gonzalez[1].
1. Cátedra de Biofísica y Bioestadística. 2. Cátedra de Periodoncia. 3. Cátedra de Farmacología. -FOUBA.

ATM - MÚSCULOS MASTICADORES Y DOLOR OROFACIAL MICROBIOLOGÍA E INMUNOLOGÍA
Veedores: Di Croce, Daniel; Ferrary, Teresita

111. ID 122
Prevalencia de trastornos temporomandibulares en población en tratamiento por drogodependencia
*Enrique Rotemberg, Fernando Massa, Marcelo Kreiner
Cátedra de Fisiología General y Bucodental Facultad de Odontología Udelar (Montevideo, Uruguay)

112. ID 235
Evaluación ecográfica de artritis reumatoide en articulaciones temporomandibulares y manos
*Karen Rhys, Carla Gobbi, María Elena Castrillón, Carolina Paulazo, Matías Morón, Verónica Savio, Eduardo Albiero. Rosa Figueroa, Mariana Ittig, Juan Ávila, Paula Alba.
Universidad Nacional de Córdoba. Hospital Córdoba

113. ID 257
Relación entre ruido previo en la ATM y luxación discal sin reducción
*Daniel Aníbal Rodríguez[1], Carolina De La Cal[2], César Ángel Ossola[1], Juan Carlos Elverdin[1].
1. Cátedra de Fisiología. FOUBA. 2. Cátedra de Biofísica. FOUBA.

114. ID 234
Adhesión de Candida albicans en resina acrílica termopolimerizable e impresa en 3D
*Artur Ferronato Soto[1], Michelle Casal Coleta de Barros[1], Rangel Lidani[1], Ricardo Ruiz Mazzon[2], Thais Mageste Duque[1], Maurício Malheiros Badaró[1].
1. Universidad Federal de Santa Catarina (UFSC) - Centro de Ciencias de la Salud (CCS) - Departamento de Odontología (ODT).
2. Universidad Federal de Santa Catarina (UFSC) - Centro de Ciencias Biológicas (CCB)

115. ID 236
Evaluación de articulaciones temporomandibulares en pacientes con artritis reumatoide mediante resonancia magnética
*Karen Rhys, Carla Gobbi, María Elena Castrillón, Carolina Paulazo, Matías Morón, Alejandro Albiero, Verónica Savio, Beatriz Busamia, Eduardo Albiero, Paula Alba, Marcelo Yorio.
Universidad Nacional de Córdoba. Hospital Córdoba

ENDODONCIA
Veedores: Fernández Aleman, Jesús; Labarta, Alicia; Martín, Gabriela

116. ID 179
Apexificación en una cita utilizando material biocerámico como tapón apical
*María Sol Uría, Alicia Beatriz Labarta, Gonzalo Alberto García, Romina Paola Quiroga,Pablo Alejandro Rodriguez.
Cátedra de Endodoncia.FOUBA.

117. ID 258
Análisis descriptivo del primer molar de rata con Microtomografía
*Liz Katherine Garay Avendaño[1], Nicolás Alfie[1], Pablo Pérez Rodríguez[1], Alejandra Migueles[1], Florencia Neput[1], Vazquez María Clara[1], Selene Martinez[2], Ariel Gualtieri[3], Pablo Alejandro Rodriguez[1], María Lorena Cabirta[1].
1. Catedra de Endodoncia, FOUBA. 2. Cátedra de Diagnóstico por imágenes, FOUBA. 3. Cátedra de Biofísica y Estadística, FOUBA

118. ID 259
Evaluación del ápice Post-Microcirugía con Microtomografía de Rayos X.
*Florencia Daira Neput[1], María Lorena Cabirta[1], Nicolás Alfie[1], Maria Laura Giménez del Arco[1], Li Ting Lee[1], Eugenia Miklaszewski[1], Ariel Gualtieri[2], Ailin Gomez[3], Vazquez Diego[3], Pablo Alejandro Rodriguez[1].
1. Catedra de Endodoncia, FOUBA. 2. Cátedra de Biofísica y Estadística, FOUBA. 3. Cátedra de Diagnóstico por imágenes, FOUBA.

119. ID 270
Integridad del medio de fijación para postes de fibra: estudio in vitro
Romina Loiacono[1], *Carolina Alexia Anaise[1], Marcela Laura Roitman[1], Mariana Picca[2], Pablo Alejandro Rodríguez[1], Ricardo Macchi[2].
1. Cátedra de Endodoncia, FOUBA.2. Cátedra de Materiales Dentales, FOUBA.

120. ID 275
Decoloración coronaria inducida por distintos bioceramicos utilizados en procedimientos de regeneración pulpar.
*Camila Duran[1], Melina Punto[1], Ariel Gualtieri[2], Lorena Nastri[1], Paula Corominola[1], Pablo Rodriguez[1].
1. Catedra de Endodoncia, FOUBA. 2. Cátedra de Biofísica y Estadística, FOUBA.

121. ID 309
Análisis cuantitativo microtomográfico de materiales de uso endodóntico en modelo murino: Estudio Comparativo.
*Pablo Javier Pérez Rodriíguez[1], Gabriel Sanchez[2], Pablo Alejandro Rodríguez[1], Nicolás Alfie[1], Lorena Cabirta[1], Alejandra Migueles[1], Augusto Toma[2].
1. Catedra de Endodoncia, FOUBA. 2. Cátedra de Biofísica y Estadística, FOUBA.

122. ID 332
Evaluación in vivo de la respuesta tisular en relación al cemento AH-Plus.
*Alejandra Mabel Migueles[1], Pablo Alejandro Rodriguez[1], Sandra Judith Renou[2].
1. Cátedra de Endodoncia, FOUBA. 2. Cátedra de Anatomía Patológica , FOUBA.

123. ID 353
Regeneración ósea post-microcirugía apical ante la utilización de sustitutos óseos y membranas.
*María Clara Vázquez[1], Nicolas Luis Alfie[1], María Lorena Cabirta[1], Miklaszewski Eugenia[1], Florencia Neput[1], Siragusa Cecilia[1], Ariel Felix Gualtieri[2], Buldo Mauro[1], Lenarduzzi Ariel[1], Renou Sandra[3], Rodriguez Pablo Alejandro[1].
1. Cátedra de Endodoncia, FOUBA. 2. Cátedra de Biofísica y Estadística, FOUBA.3. Cátedra de Anatomía Patológica , FOUBA.

ODONTOPEDIATRÍA Y ORTODONCIA
Veedores: Cortese, Silvina; Pavan, Verónica; Ahmadi, Mahamood; De la Cal, Carolina

124. ID 145
Resinas Bulk Fill vs Nanohíbridas. Tiempos operatorios y longevidad en dentición primaria
*Jimena Anchava, Karina Melian, Adriana Savia, Silvina Arbuco, Gabriela Altamura, Estefania Chiarello.
Cátedra de Odontología Integral Niños, FOUBA.

125. ID 162
Prevalencia de traumatismos dentoalveolares en Cátedra Odontología Integral Niños
*Mariana Bertolino, Karina Melian, Jimena Anchava.
Cátedra de Odontología Integral Niños, FOUBA.

126. ID 177
Perfil de las publicaciones científicas de la Cátedra de Odontología Integral Niños.
*Marina Andrea Toscano, Silvina Gabriela Cortese, Ana María Biondi.
Cátedra Odontología Integral Niños, FOUBA.

127. ID 184
Motivo de elección para asistencia en Odontología Integral Niños.
*Karina Lorena Martínez, Silvina Gabriela Cortese, Ana María Biondi.
Cátedra Odontología Integral Niños, FOUBA.

128. ID 194
Erupción de piezas dentarias retenidas asociadas a quistes dentigeros en niños.
*****Melina Alejandra García, Lucia Babino, Mónica Pantyrer, Eduardo Bava.
Catedra Odontología Integral Niños FOUBA

129. ID 195
Análisis de urgencias en la cátedra de odontología integral niños.
*Mariana Laura Crespo, Melina Alejandra García, Catalina Farah, Melisa Ienco, Yanina Castro Graziani.
Cátedra Odontología Integral Niños, FOUBA.

130. ID 196
Tratamiento rehabilitador de la Caries de la Infancia Temprana.
*Diana Carolina Mejía Abad, David Alejandro Caicedo Proaño, Adriana Stephanie García Escalante,
Silvina Cortese, Ana María Biondi.
Cátedra Odontología Integral Niños, FOUBA.

131. ID 197
Caracterización de Caries de la Infancia Temprana
*David Alejandro Caicedo Proaño, Adriana Stephanie García Escalante, Diana Carolina Mejía Abad, Ana María Biondi, Silvina Cortese.
Cátedra Odontología Integral Niños, FOUBA.

132. ID 217
Grado de desgaste dentario en piezas primarias antes y al finalizar el recambio
*****Diana Fridman, Ana María Biondi, Silvina Cortese.
Cátedra Odontología Integral Niños, FOUBA.

133. ID 244
Análisis de la calcificación intraconducto en los Procedimientos Endodónticos Regenerativos
*Ingrid Clarisa Guitelman, Karina Lorena Martínez, Silvia Alvarez, Marcela Adriana Moya.
Cátedra Odontología Integral Niños, FOUBA.

134. ID 252
Odontomas en pacientes pediátricos
*Manuela Guanzini, Melisa Ienco, Betania Ceccenaro, Veronica Pavan,
Catedra Odontología Integral Niños. FOUBA

135. ID 282
Estado dentario y riesgo cariogénico en niños de 0 a 2 años.
*Teresa Levy, Valeria Matyus, Julia Fuks, Marcelo Fernandez, Nancy Mendel.
Cátedra de Odontología Integral Niños, FOUBA.

136. ID 284
Estudio comparativo del estado dentario y riesgo cariogénico en bebes.
*Valeria Matyus, Teresa Levy, Julia Fuks, Marcelo Fernandez, Nancy Mendel.
Cátedra de Odontología Integral Niños, FOUBA.

137. ID 294
Evaluación de los resultados obtenidos en procedimientos Endodónticos Regenerativos.
*Marcela Moya, Karina Martinez, Acosta Sheila, Ingrid Guitelman.
Cátedra de Odontología Integral Niños, FOUBA.

138. ID 311
Lesiones en mucosas de labio inferior y lengua en odontopediatría.
*Patricia Ivana Alurralde, Ana Gabriela Arrebola, Maria Florencia Safuri, Luciana Avallone, Veronica Herminia Pavan.
Cátedra de Odontología Integral Niños, FOUBA.

139. ID 312
Traumatismos dentoalveolares en niños y adolescentes: conocimiento y actitud del acompañante.
*Soledad Daniela Bojaminsky Fontana, Patricia Ivana Alurralde, Adriana Ferrante, Jimena Anchava.
Cátedra de Odontología Integral Niños, FOUBA.

140. ID 317
Estudio clínico prospectivo sobre expansión transversal de maxilares con ortodoncia autoligante interactiva
Mahmood Ahmadi[1], Andrea de Laurentiis[2], *Marina Iglesias[1], Alejandra Folco.
1. Cátedra de Ortodoncia FOUBA. 2. Cátedra de Fisiología FOUBA.

141. ID 324
Pacientes con fisuras orales en Odontopediatría.
*Natalia Millán, Prenitune Sofía, Bojaminsky Soledad, Pavan Verónica.
Cátedra de Odontología Integral Niños, FOUBA.

142. ID 352
Evaluación de la densidad mineral adamantina de piezas dentarias afectadas con Amelogénesis imperfecta
Sharon Oyhanart[1], Mariana Crespo[2], Melina García[2], *Carola Bozal[1], Andrea Ortolani[2].
1. Cátedra de Histología y Embriología, FOUBA. 2. Cátedra de Odontopediatría, FOUBA.

PRESENTACIONES ORALES

Martes 1 de noviembre | 13.30 a 16:30 hs.

Salón Erausquin

CARIOLOGÍA Y EPIDEMIOLOGÍA

Presidente: Sánchez, Gabriel
Secretaria: Sorazabal, Ana

143. ID 290 13.30-13.45
Colonización de patógenos oportunistas en la mucosa bucal en niños de barrios vulnerables de Buenos Aires
*Andrea Cecilia Muiño[1], Isabel Adler[1], Silvia Aguas[1], Laura Harada[1], Mariana Diaz[1], Pablo Turón[1], Federico Galli[5], Pablo Rodríguez[2], Cristóbal Fresno[3], Valeria Denninghoff [1,4].
1.Cátedra de Clínica Estomatológica, FOUBA. 2.Cátedra de endodoncia, FOUBA. 3. Health and Sciences Research Center (CICSA), Health and Sciences Faculty, Anahuac University, México. 4. CONICET.5. Cátedra de periodoncia, FOUBA.

144. ID 304 13.45-14.00
Validación del método Cameriere para estimar mayoría de edad con finalidad forense
*Ailín Gómez[1], Stephanie Lisette Arario[1], Florencia Arrigo[1], María Julia Carosi[1], Carla Arias[2], Johanna Denise Salazar[2], Pablo Andrés Salgado[3], Diego Jorge Vazquez[2], Luis Reinaldo Rannelucci[2], Briem Stamm Alan Diego[2].
1. Cátedra de Diagnóstico por imágenes, FOUBA. 2. Cátedra de Odontología Legal, Forense e Historia de la Odontología, FOUBA. 3. Cátedra de Odontología Preventiva y Comunitaria y Cátedra de Microbiología y Parasitología, FOUBA.

145. ID 305 14.00-14.15
Tratamiento químico de caries: caracterización de micropartículas de papaina.
*Fiorella Ventura[1], Nadia Chiaramoni[2], Aldo Squassi[1], Vanesa Merhar[3], Alejandra De Couto Pita[3], Carlos Mendez[3].
1. Cátedra de Odontología Preventiva y Comunitaria, Instituto de Investigaciones en Salud Pública. 2. Laboratorio de Bionanotecnología, Universidad Nacional de Quilmes. 3. Cátedra de Farmacología, FOUBA.

146. ID 298 14.15-14.30
Calidad de vida relacionada con salud bucal en personas que demandan atención odontológica
*Cynthia Rodriguez[1], Braian Saya[1], Camila Mercado[1], Camila Grunstadt[1], Patricia Jara[1], Salomon Alberto Cohen[1], Maria Belen Perez[1], Maria Laura Sanchez[1], Luciana D'Eramo[1,2], Pablo Salgado[1,2,3], Aldo Squassi[1,2].
1. Cátedra de Odontología Preventiva y Comunitaria, FOUBA. 2. Instituto de Investigaciones en Salud Pública, UBA. 3. Cátedra de Microbiología y Parasitología, FOUBA.

147. ID 297 14.30-14.45
Expectativas de empleabilidad asociadas con percepción de salud bucal en adolescentes
*María Laura Sanchez[1], María Belen Perez[1], Valentina Alberti Cancelo[1], Macarena Carabajal[1], Noemi Bordoni[1,2], Pablo Salgado[1,2,3], Aldo Squassi[1,2], Luciana D'Eramo[1,2].
1. Cátedra de Odontología Preventiva y Comunitaria, FOUBA. 2. Instituto de Investigaciones en Salud Pública, UBA. 3. Cátedra de Microbiología y Parasitología, FOUBA.

148. ID 302 14.45-15.00
Fluoruro en agua de consumo y prevalencia de fluorosis en provincia de La Rioja
*Ana Laura Sorazabal[1,2], Eliana Gonzalez[1,2], Celina Cornejo[1,2,3], Mauricio Nieto[1], Mariana Picca[4], Lidia Audrey Rocha Valadas[1,2], Pablo Salgado[1,2,3], Aldo Squassi[1,2].
1. Cátedra de Odontología Preventiva y Comunitaria, FOUBA. 2. Instituto de Investigaciones en Salud Pública, UBA. 3. Cátedra de Microbiología y Parasitología, FOUBA. 4. Cátedra de Materiales Dentales, FOUBA.

149. ID 301 15.00-15.15
Estudio de la microbiota oral de infantes menores a 24 meses
*Celina Cornejo[1,2,3], Natalia Pin Viso[4], Susana Molgatini[1,2,3], Aldo Squassi[1,2], Laura Gliosca[1,2,3].

1. Cátedra de Odontología Preventiva y Comunitaria, FOUBA. 2. Instituto de Investigaciones en Salud Pública, UBA. 3. Cátedra de Microbiología y Parasitología, FOUBA. 4. Instituto Nacional de Tecnología Agropecuaria (INTA).Unidad de Genómica.

150. ID 375 15.15-15.30

Evaluación longitudinal de técnicas de protección pulpar directa en lesiones de caries en adultos

*Myriam Boldrini[1], Pablo Salgado[2,3,4], Aldo Squassi[2,3].
1. Cátedra de Preclínica de Odontología Restauradora. 2. Cátedra de Odontología Preventiva y Comunitaria, FOUBA. 3. Instituto de Investigaciones en Salud Pública, UBA. 4. Cátedra de Microbiología y Parasitología, FOUBA.

151. ID 300 15.30-15.45

Impacto del COVID-19 sobre la calidad de vida relacionada con salud bucal

*Camila Peralta[1], Agustin Buffa[1], Tamara Flores[1], María Victoria Fragola[1], Celeste González Bugallo[1], Abigail Lipovich[1], Gabriela Mariño[1], María Silvina Vega[1], Sofía Villegas[1], Rosario Zalazar[1], Yanina Anagua[1], Salomón Alberto Cohen[1], María Belén Pérez[1], María Laura Sánchez[1], Luciana D'Eramo[1,2], Pablo Salgado[1,2,3],
Aldo Squassi[1,2].
1. Cátedra de Odontología Preventiva y Comunitaria, FOUBA. 2. Instituto de Investigaciones en Salud Pública, UBA. 3. Cátedra de Microbiología y Parasitología, FOUBA.

Salón Houssay

TEJIDO ÓSEO / ATM-MÚSCULOS MASTICADORES Y DOLOR OROFACIAL

Presidente: Renou, Sandra
Secretaria: Sánchez, Luciana

152. ID 96 13.30-13.45

La prilocaína inhibe a SERCA (Ca-ATPasa de retículo sarcoendoplásmico) en pterigoideo interno.

*Daniel Eduardo Di Croce, Augusto Francisco Toma, Carolina de la Cal, Gabriel Antonio Sánchez.
Cátedra de Biofísica y Bioestadística. FOUBA.

153. ID 232 13.45-14.00

Cegamiento de pacientes empleando nuevo dispositivo de acupuntura placebo en ensayo clínico

*Alejandro Francia[1], Virginia Machado[1], Ignacio Fernandez[1], Emilia Pena[1], Fernando Massa[2], Marcelo Kreiner[1].
1. Cátedra de Fisiología – Facultad de Odontología – Universidad de la República – Uruguay. 2. Servicio de Epidemiología y Estadística – Facultad de Odontología – Universidad de la República - Uruguay

154. ID 322 14.00-14.15

Efecto de la reflexología en discapacidad mental previo al abordaje odontológico.

*Mariana Armada[1], Maite Echaide[2], Jesica Rudzinsky[1], Silvina Sherar[1], Yamila Carlomagno[1], Angelica Castro Escalante[2], Mayra Alvarez[1], Maria Lis Bianchi[1], Betina Orman[2], Teresita Ferrary[1].
1. Area Discapacidad- Clapar 2- Medicina Interna, FOUBA. 2. Catedra de Farmacología, FOUBA.

155. ID 159 14.15-14.30

Alteración de la longitud de contracción muscular y estructurales en músculo masetero por anestésicos locales

*Carolina de la Cal, Daniel Eduardo Di Croce, Delia Takara.
Cátedra de Biofísica y Bioestadística.FOUBA.

156. ID 359 14.30-14.45

Rol de CB1 en el mecanismo analgésico del paracetamol a nivel del núcleo trigeminal.

*Mariela C. Canzobre[1,2], Alejandra Paganelli[2], Hugo Rios[2].
1. Catedra de Histología y Embriología. FOUBA. 2. Instituto de Biología Celular y Neurociencias "Prof. E. De Robertis ", Facultad de Medicina, UBA.

157. ID 273 14.45-15.00
Melatonina promueve el remodelado óseo en la osteonecrosis provocada por ácido Zoledrónico en ratas
*Mabel Abigail Hernández[1,2], Sebastian Fontana[3], Agata Rita Carpentieri[2,4].
1. Cátedra de Anatomía, Facultad de Odontología, UNC. 2. INICSA-UNC. CONICET. 3. Cátedra de Histología, Facultad de Odontología, UNC. 4. Cátedra de Química Biológica, Facultad de Odontología, UNC.

158. ID 251 15.00-15.15
Evaluación inmunohistoquímica de lesiones odontogénicas de células fantasmas.
*Lucas Polti, María Luisa Paparella.
Cátedra de Anatomía Patológica- FOUBA

159. ID 267 15.15-15.30
Osteoporosis inducida por glucocorticoides: rol mediador del osteocito en hueso alveolar y tibia.
*Juliana Rodriguez, Debora Ruth Tasat, Carola Betina Bozal.
Cátedra de Histología y Embriología, FOUBA.

Salón Pérez Esquivel

MUCOSA BUCAL / MICROBIOLOGÍA E INMUNOLOGÍA

Presidente: Gliosca, Laura
Secretaria: Cutrera, Celia

160. ID 367
Dieta con aceite de chía: su relación con carcinogénesis lingual en ratones. TRABAJO RETIRADO
*Cesar Nicolas Combina Herrera[1], David Cremonezzi[2], María Eugenia Pasqualini[3], Adriana Beatriz Actis[3].
1. Cátedra B de Anatomía - Facultad de Odontología – UNC. 2. Cátedra de Biología Celular, Histología y Embriología – Facultad de Ciencias Médicas – UNC. 3. Instituto de Investigaciones en Ciencias de la Salud (INICSA) – CONICET – UNC.

161. ID 365
Ácidos grasos dietarios n-3 e inflamación en la carcinogénesis lingual en ratones.
*Barbara Agustina Luciano[1], Costantino Evangelina[1], Combina Herrera Cesar Nicolas[1], Cremonezzi David[2], Pasqualini María Eugenia[3], Actis Adriana Beatriz[3].
1. Cátedra B de Anatomía, Facultad de Odontología, UNC. 2. Cátedra de Biología Celular, Histología y Embriología, Facultad de Ciencias Médicas, UNC. 3. Instituto de Investigaciones en Ciencias de la Salud (INICSA) – CONICET – UNC.

162. ID 364
Prevalencia de lesiones estomatológicas en dos períodos de estudio. Análisis de patologías infecciosas.
*Adrián Allende, Ricardo Caciva, Belardinelli Paola, Robledo Graciela, Liandro María Fernanda,
Bachmeier Evelin, Chaguri Guadalupe, Valdez Jesica, Rosana Morelatto, Silvia Adriana López de Blanc.
Cátedras de Estomatología A y B Dpto Patología Bucal FO UNC.

163. ID 229
Virus papiloma humano (HPV) en carcinomas escamosos de la mucosa bucal.
*Nathalie Amaya Londoño[1], Rita M Correa[2], Laura Leguina[3], Gabriela Acosta Haab[3], María A Picconi[2], María L Paparella[1].
1. Cátedra de Anatomía Patológica, Laboratorio Patología Quirúrgica. FOUBA. 2. Instituto Nacional de Enfermedades Infecciosas INEI-ANLIS Malbrán, Servicio Virus Oncogénicos, Laboratorio Nacional y Regional de Referencia de HPV OPS/OMS. 3. Hospital Municipal de Oncología Marie Curie, Servicio de Anatomía Patológica.

164. ID 167
Análisis del fitness en respuesta al estrés en Candida dubliniensis
*Verónica Angeles Dubois[1,2], Ewa Ksiezopolska[1,3], Laura Alejandra Gliosca[2], Susana Liliana Molgatini[2], Toni Gabaldón[1,3].
1. Institute for Research in Biomedicine (IRB Barcelona), Mechanisms of Disease Program, The Barcelona Institute of Science and Technology, Baldiri Reixac 10, 08028 Barcelona, Spain. 2. Cátedra de Microbiología y Parasitología, FOUBA. 3. Barcelona Super-

computing Centre (BSC-CNS), Life Sciences Department, Jordi Girona 29, 08034 Barcelona, Spain.

165. ID 362
Estudio de Trastornos Orales Potencialmente Malignos (TOPM) durante dos períodos
*Silvia Adriana López de Blanc, Belardinelli Paola, Caciva Ricardo, Robledo Graciela, Bachmeier Evelin, Chaguri Guadalupe, Valdez Jesica, Morelatto Rosana.
Estomatología B Dpto Patología Bucal FO UNC

Salón Leloir

ODONTOPEDIATRÍA Y ORTODONCIA

Presidente: De Lucca, Romina
Secretario: Bava, Eduardo

166. ID 292 13.30-13.45
Estudio prospectivo de tratamiento ortodóncico con avance mandibular.
*Maria Sol Poladian, Marina Iglesias, Mahmood Ahmadi, Alejandra Folco
Cátedra Ortodoncia, FOUBA.

167. ID 314 13.45-14.00
Evaluación CONE BEAM de pacientes tratados con ortodoncia autoligable interactiva
*Mahmood Ahmadi[1], Matías de Luque[2], Diego Vazquez[3], Andrea de Laurentiis[4], Alejandra Folco[1].
1. Cátedra de Ortodoncia FOUBA. 2. Cátedra de Diagnóstico por imágenes FOUBA. 3. Cátedra de Fisiología FOUBA.

168. ID 288 14.00-14.15
Polimorfismos genéticos de MMP y tiempo de aparición de dientes temporales
*Lívia Azeredo Alves Antunes, Barbara Alves da Fonseca, Dalila Ferreira Silvano de Moura, Thais de Oliveira Fernandes, Leonardo dos Santos Antunes.
Universidad Federal Fluminense, Programa de Posgrado en Odontología

169. ID 319 14.30-14.45
Desarrollo de arcadas con ortodoncia autoligable pasiva vs interactiva. Estudio clínico.
*Mahmood Ahmadi[1], Andrea de Laurentiis[2], Diana Calabrese[1], Marina Iglesias[1], Sandra Benitez Rogé[1], Alejandra Folco[1].
1. Cátedra de Ortodoncia FOUBA. 2. Cátedra de Fisiología FOUBA

Salón Cabrini

EDUCACIÓN ODONTOLÓGICA

Presidente: Iglesias, María Emilia
Secretario: Fontanetti, Pablo

170. ID 295 13.45-14.00
Enseñanza de Farmacología mediada por tecnología en contexto de pandemia
*Vanesa Alejandra Merhar[1], Gonzalo Emmanuel Quinteros Villarruel[1], Daniela Passafaro[1], María Belén Benítez[1], Alejandra Karina De Couto Pita[1], Carlos Fernando Mendez[1,2].
1. Cátedra de Farmacología. 2. CONICET.

171. ID 366 14.00-14.15

Implicancias éticas de prácticas clínicas odontológicas desde la perspectiva de estudiantes.

Lila Susana Cornejo, Irma Moncunill, Pablo Cristian Gigena, *Marcela Inés Bella.

Facultad de Odontología, UNC

172. ID 296 14.15-14.30

Estrategias de autorregulación del aprendizaje en contextos virtuales de cursantes de odontología

*Glenda Rossi[1,2], Pablo Salgado[1,2,3], Aldo Squassi[1,2], Graciela Klemonskis[1,2].

1. Cátedra de Odontología Preventiva y Comunitaria, FOUBA. 2. Instituto de Investigaciones en Salud Pública, UBA. 3. Cátedra de Microbiología y Parasitología, FOUBA.

173. ID 363 14.30-14.45

Estudio de caso: la clínica ampliada en el cuidado de salud bucal.

*Marcela Inés Bella, Pablo Cristian Gigena, Lila Susana Cornejo, Elena Hilas, Natalia Agüero, Irma Moncunill.

Facultad de Odontología, UNC

174. ID 341 14.45-15.00

Cariología en el Currículo de las Facultades de Odontología de la República Argentina

*Silvia Medici[1,2], Ana Laura Sorazabal[1,2], Sofía Ali[3], María Barrionuevo[4], Noemi Bordoni[1,2], Juana Cardozo[3], Analia Cucchi[5], Luciana D'Eramo[1,2], Jorge Escandriolo[6], Pablo Fontanetti[7], Shirley Garcia[8], Rodrigo Giacaman[9], Adriana Lombardo[10], Alejandra Mardenlli[11], Carla Masoli[10], Patricia Mulbany[12], Lía Pereira[13], Silvia Pérez[4], Mariana Preliasco[11], Glenda Rossi[1,2], Luciana Sánchez[14], Aldo Squassi[1,2], Jorgelina Ulloque[15], Patricia Vaculik[3], Verónica Ventrera[4], Carolina Zelarrayán[16], Fabiana Carletto Körber[17].

1. Cátedra de Odontología Preventiva y Comunitaria, FOUBA. 2. Instituto de Investigaciones en Salud Pública, UBA. 3. Universidad Nacional del Nordeste, Facultad de Odontología, GID Salud Bucal y Epidemiología. 4. Universidad Nacional de Cuyo, Facultad de Odontología, Cátedra Preclínica de Operatoria Dental. 5. Universidad Maimónides, Carrera de Odontología, Cariología y Periodontología. 6. Universidad Adventista del Plata, Facultad de Ciencias de la Salud, Licenciatura en Odontología. 7. Metodología de la Investigación en Ciencias de la Salud, FO-UNC. 8. Universidad Abierta Interamericana, Facultad de Medicina y Ciencias de la Salud, Carrera de Odontología, Clínica y Cirugía Integrada Niño y Adolescente III. 9. Universidad de Talca, Facultad de Odontología, Departamento de Rehabilitación Buco Maxilofacial, Unidad de Cariología. 10. Universidad del Salvador/Asociación Odontológica Argentina, Cátedra de Cariología. Escuela de Odontología. 11. Universidad Nacional de Rosario, Facultad de Odontología, Clínica de Operatoria Dental. 12. Universidad Nacional de Río Negro, Escuela de Salud y Desarrollo Humano. Carrera de Odontología. 13. Universidad Abierta Interamericana, Facultad de Medicina y Ciencias de la Salud, Carrera de Odontología, Clínica y Cirugía Integrada Niño y Adolescente I y II. 14. Universidad Católica Argentina, Facultad de Ciencias Médicas, Carrera de Odontología. 15. Universidad Católica de Córdoba, Facultad de Ciencias de la Salud, Carrera de Odontología. 16. Universidad Nacional de Tucumán, Facultad de Odontología, Cátedra Técnica de Operatoria Dental. 17. Universidad Nacional de Córdoba, Facultad de Odontología, Cátedra de Odontopediatría A.

RESÚMENES DE PRESENTACIONES

001
ID 233

EFECTO DEL DIAMINOFLUORURO DE PLATA EN UN MODELO DE DESMINERALIZACIÓN DE ESMALTE

*Yamila Sisca Jara[1] , Mariana Picca[2], Lidia Audrey Rocha Valadas[1], Pablo Salgado[1,3], Aldo Squassi[1,4], Luciana D'Eramo[1]
1.Cátedra de Odontología Preventiva y Comunitaria, FOUBA. 2. Cátedra de Materiales Dentales, FOUBA. 3. Cátedra de Microbiología y Parasitología. 4. Instituto de Investigaciones en Salud Pública

Objetivo/s Evaluar el efecto de 2 soluciones con diamino fluoruro de plata al 38% (DFP) sobre la dureza del esmalte desmineralizado. **Materiales y Métodos** Estudio ex vivo sobre 3º molares no erupcionados con integridad coronaria y sin defectos estructurales extraídos por indicación odontológica. Sobre 10 piezas, mantenidas en solución fisiológica, esterilizadas en autoclave y seccionadas con disco de diamante a alta velocidad, en sentido mesio-distal. Cada trozo fue cubierto con esmalte acido resistente a excepción de un área de 3 x 6 mm. Las piezas fueron asignadas a dos grupos (G1 y G2). Se registró la microdureza basal (T0) del esmalte mediante un durómetro Microhardness tester FM-300. Todas las muestras fueron expuestas a dos ciclos de desmineralización mediante una solución de CaCl2 (2,2 mM), NaH2PO4 (2,2 mM), ácido acético (0,05 M) con un pH 4,5, durante 96 h y mantenidas a 37°C, y se realizó la determinación de dureza al finalizar cada ciclo (T1 y T2). Entre cada ciclo se mantuvieron en solución fisiológica a temperatura ambiente. Posteriormente, las muestras se conservaron en suspensión en saliva artificial y fueron tratadas con dos productos con DFP: G1: Fagamin ® y G2: RivaStar ®, en dos ciclos de remineralización consecutivos, registrándose la dureza en ambas sesiones (T3 y T4). Se obtuvieron medias y dispersión y se utilizaron las pruebas de t de Student para muestras independientes y ANOVA de medidas repetidas para comparar los valores entre ambos grupos y en diferentes tiempos, respectivamente. **Resultados** Los registros de microdureza para el total de las muestras fueron: T0= 542,7 ±11,1; T1= 182,2 ±4 ; T2= 177,4 ±8,8; T3= 245,2 ±12,4; y T4= 291,6 ±14,3. Para G1: T0= 553,1 ±12; T1= 181,7 ±6,1 ; T2= 189,2 ±15,5; T3= 214,6 ±16,1; y T4= 283,3 ±19,2. Para G2: T0= 531,8 ±19; T1= 182,7 ±5,3 ; T2= 165,1 ±7,6; T3= 277,1 ±17; y T4= 300,3 ±21,5. Se registraron diferencias significativas entre T1 y T3 para el G2 (p=0,001), pero no para el G1 (p=0,157). No se registraron diferencias en la microdureza entre ambos grupos en T0, T1 y T2 y T4; mientras que se observaron entre G1 y G2 en T3 (p=0,013). **Conclusión/es** La aplicación de soluciones con DFP permitió alcanzar modificaciones en la microdureza del esmalte en el modelo de desmineralización ex vivo desarrollado, con diferencias entre marcas comerciales.

002
ID 138

PROBIÓTICOS COMO TERAPIA COMPLEMENTARIA PARA LA CANDIDIASIS ORAL: ESTUDIO IN VITRO

*Silvina Ruth Barembaum[1], Javier Andrés Socolovsky[1], María Gabriela Scatena[2], Ana Isabel Azcurra[2]
1.Cátedra B de Introducción a la Física y Química Biológicas. 2. Cátedra B de Química Biológica

Objetivo/s Evaluar el efecto de L. acidophilus (LA) y L rhamnosus (LR) y de sobrenadantes de cultivo (Sob-LA y Sob-LR) sobre la capacidad de formación de biofilm (CFB) de C. albicans (CA). **Materiales y Métodos** CFB: CA (NCPF 5314 y ATCC 10231) desarrollaron biofilm en presencia de LA (ATCC 4356), LR (ATCC 53103) o sobrenadantes (Sob-LA y Sob-LR al 15 y 30% v/v) a dos tiempos (t=0 y t= 1,5 h) . La CFB se cuantificó mediante el método de reducción del XTT 2,3-bis (2-metoxi-4-nitro- 5-sulfofenil)-2H-tetrazolio-5-carboxanilida) que mide la actividad metabólica de las células. El cambio colorimétrico se midió a 490 nm que se relacionó directamente con la actividad metabólica (lector de placas Thermo Scientific Multiskan® FC Microplate Photometer) Los datos fueron analizados mediante el test de t, p ≤ 0,05. **Resultados** Se evaluó previamente la CFB de CA 10231 y 5314 sin tratamiento, las cuales fueron mayores que la de LA y LR (p< 0,05). Al comparar a CFB entre ambas cepas de lactobacillus, se observó que la de LA fue mayor que la de LR(p=0,0133) A t=0: La CFB de CA5314 disminuyó con el agregado de Sob LR al 30 % (p=0,05) y la de CA 10231 con el agregado de la suspensión de LA (p=0,0139). A t= 1,5 h : La CFB de CA 5314 y 10231 disminuyó con el agregado de suspensión de LA y LR (p<0,0148), para 5314 de SobLA al 30 % (p=0,0465) y SobLR el 15% (p= 0,0076). Para CA 10231 la CFB fue inihibida proporcionalmente con la concentración de sobrenadante (p<0,0003 p= 0,0003) El efecto inhibitorio de LA y LR, los sobrenadantes y de CLX fue mayor a la 1,5 h (p< 0,0387). **Conclusión/es** Los resultados de este trabajo muestran un efecto inhibitorio de los probióticos y de sus productos solubles utilizados sobre factores de virulencia de CA como es la capacidad de formación de biofilm , abriendo la posibilidad de nuevos campos de estudio sobre la microbiota bucal. Trabajo subsidiado por SECyT UNC Res. 411/18.

003
ID 141

RESUMEN NO PRESENTADO

004
ID 261

BUENAS PRÁCTICAS DE CRIANZA Y ESTADO DENTARIO EN INFANTES

Celina Cornejo[1,2,3], *Constanza Leyes[1], Rocio Lazzati[1], Zulema Pedemonte[1,3], Pablo Salgado[1,2,3], Graciela Klemonskis[1,3], Aldo Squassi[1,3]
1. Cátedra de Odontología Preventiva y Comunitaria, FOUBA. 2. Cátedra de Microbiología y Parasitología, FOUBA.3. Instituto de Investigaciones en Salud Pública, FOUBA.

Objetivo/s Relacionar buenas prácticas de crianza con el estado dentario de infantes que concurren a instituciones educativas. **Materiales y Métodos** Sobre una muestra de 151 infantes de 3 años de edad (43 % femenino) asistentes a centros de primera infancia y jardines de infantes del Area Metropolitana de Buenos Aires (AMBA) que se encuentran bajo programa de atención odontológica, se realizó una entrevista estructurada a los adultos responsables de cada infante, destinada a relevar datos sobre buenas prácticas de crianza referidas al cuidado de la salud del infante, en particular higiene y dieta. El estado dentario fue evaluado por odontólogos entrenados utilizando criterios ICDAS II. Para las variables cualitativas se calcularon frecuencias y porcentajes, y para las variables cuantitativas promedio y desvío estándar. Se utilizó la prueba de Chi-cuadrado para establecer asociaciones entre variables. **Resultados** Las buenas prácticas que los padres desarrollan referidas al cuidado del infante que mostraron las mayores frecuencias fueron: el cepillado de la boca del infante a cargo de un adulto (74,2%), uso de un elemento adecuado para la higiene bucal del infante (90,1%), una frecuencia de higiene de 2 o + veces diarias (69%), uso regular de pasta dental (70.5%), ingesta regular de agua (76,7%) y el uso de mamadera/chupete sin agregados de azucares (74.2%). El 53% de los infantes examinados se encontraban libres de caries. El grupo de infantes sin lesiones de caries, comparado con el grupo que presentó lesiones, mostró una frecuencia significativamente mayor para las siguientes prácticas de cuidado parental: cepillado a cargo de un adulto (p=0.035), frecuencia de 2 o más veces diarias (p=0.005) y técnica de cepillado eficaz (p=0.006). **Conclusión/es** El instrumento aplicado permitió establecer una asociación positiva entre la implementación de buenas prácticas de crianza referidas al cuidado parental de la higiene bucal de los infantes y la ausencia de lesiones de caries.

005
ID 227

RELACIÓN DEL GEN SPA-P DE STREPTOCOCCUS MUTANS CON VARIABLES CLÍNICAS ODONTOLÓGICAS, MICROBIOLÓGICAS Y MOLECULARES

*Fabiana P.M. Carletto Körber[1], María S. Acosta Jofre[2], Noelia S. Vera[2], María R. Mourelle Martinez[3], María G. Jiménez[1], Juan E. Martínez[1], Lila S. Cornejo[1], Raúl E. González Ittig[2]
1.Facultad de Odontología, Universidad Nacional de Córdoba, Argentina. 2. Instituto de Diversidad y Ecología Animal (IDEA), CONICET-UNC y Facultad de Ciencias Exactas, Físicas y Naturales, Universidad Nacional de Córdoba, Argentina.3. Facultad de Odontología, Universidad Complutense de Madrid, España.

Objetivo/s Determinar si la variabilidad del gen spa-P se correlaciona con los índices ceod y CPOD de niños, con las UFC/mL y con los diferentes serotipos de *S. mutans*. **Materiales y Métodos** La población de estudio estuvo constituida por niños (n=45) de ambos sexos de 6-8 años de diferentes localidades de Córdoba y Madrid. Se realizó examen clínico odontológico siguiendo el procedimiento de rutina tacto-visual, registrándose los elementos dentarios sanos, cariados, con extracción indicada o perdido y obturados en dentición temporaria y permanente. Se calcularon los índices ceod y CPOD según el criterio de la OMS. Muestras de saliva estimulada fueron sembradas en Agar Mitis Salivarius para el desarrollo de *S. mutans* y posterior recuento de UFC/mL. La extracción de ADN se realizó según el método de Bollet. Se identificaron los serotipos por PCR multiplex. Se amplificó por PCR y se secuenció el gen de virulencia spa-P. Se identificaron sus haplotipos con el programa DNAsp y sus relaciones genealógicas se establecieron con el método de Median-joining utilizando el programa PopArt. Para correlacionar las variantes genéticas y la experiencia de caries se aplicó análisis de Spearman utilizando el programa PAST. Protocolo aprobado por el Comité de Ética FO-UNC Nº3755/2019. **Resultados** Se identificaron 29 haplotipos del gen spa-P, siendo el 4 el más frecuente y compartido por cepas de 10 niños. La red reveló una combinación de haplotipos con poca diferenciación genética y otros separados por numerosas mutaciones. La correlación entre los haplotipos del gen spa-P y UFC/mL de *S. mutans* resultó significativa ($r=0.421$; $p<0.01$). En tanto las correlaciones entre los haplotipos con ceod+CPOD y con los serotipos no fueron significativas ($r=0.189$; $p=0.22$) y ($r=0.076$; $p=0.62$), respectivamente. **Conclusión/es** El gen spa-P se diferencia de otros genes de *S. mutans* estudiados por su elevado nivel de diferenciación genética y su correlación con las UFC/mL de *S. mutans* en saliva.

006
ID 199

VARIABLES ASOCIADAS A LA CONCURRENCIA A CONTROLES ODONTOLÓGICOS DURANTE LA PANDEMIA COVID-19

*Rosario Lonzo[1], Pablo Salgado[1,2], Aldo Squassi[1,3], Graciela Klemonskis[1,3]
1. Cátedra de Odontología Preventiva y Comunitaria, FOUBA. 2. Cátedra de Microbiología, Instituto de Investigaciones en Salud Pública, FOUBA. 3. Instituto de Investigaciones en Salud Pública, FOUBA.

Objetivo/s Relacionar la concurrencia de niños al control de salud bucal durante la pandemia covid-19 con variables de uso de servicios y percepción parental de riesgo de contagio de covid-19 en la consulta odontológica. **Materiales y Métodos** La muestra estuvo constituida 340 individuos con edad entre 1 y 16 años. Se administró un cuestionario de auto reporte a los responsables de los menores 18 meses luego de declarada la pandemia. La recolección de datos de realizo entre los meses de septiembre 2021 y febrero 2022. El instrumento fue validado por este equipo de trabajo en 2021 (α de Cronbach = 0,662). En esta muestra el alfa de C fue de 0,781. Incluyó: 6 ítems sobre asistencia médica y dental con opciones de respuesta dicotómica (sí/no) y 14 ítems cada uno con 5 opciones de respuesta (escala de Likert) agrupados en 4 dimensiones 1) percepción de riesgo del odontólogo al contagio COVID-19 II) riesgo percibido de que el niño contraiga COVID-19 por asistir a una cita odontológica III) Riesgo de contagio versus postergación del tratamiento odontológico VI) Actitudes y creencias frente a las medidas de control de contagio por COVID-19. Para el estudio estadístico se estratifico la muestra por edad (G1=hasta 6 años-G2=más de 6 años). Para estudiar asociaciones entre variables se usó el test de chi cuadrado. Se calculó el OR(IC95%) para las asociaciones significativas. Se utilizó el test de Mantel-Haenszel para establecer homogeneidad de OR a través de estratos. Para comparar percepción entre grupos se usó el test U de Mann-Whitney. **Resultados** La concurrencia efectiva de los menores al control odontológico en pandemia (n=67-19,9%) se asoció con: la concurrencia de los menores a controles médicos en pandemia en el G2 ($X^2$5,72 p= 0,02 OR=2,44 [IC95% 1,17-5,11]) y la concurrencia al odontólogo por urgencia ($X^2$26,9 p=0,001 OR=4,99 [IC95% 2,61-9,56]). Se observaron diferencias significativas (p=0,045) entre concurrentes y no concurrentes al control de salud bucal durante la pandemia covid-19 en la dimensión 1 del cuestionario de percepción. **Conclusión/es** Entre los concurrentes por control al odontólogo se observó una menor percepción parental del riesgo de contagio de Covid-19 del odontólogo y un mayor de uso de servicios médicos y odontológicos.

007 ID 239

PREVALENCIA DE ANOMALÍAS DENTARIAS DE DESARROLLO Y ADQUIRIDAS OBSERVABLES EN RADIOGRAFÍAS PANORÁMICAS.

*Stephanie Lisette Arario[1], Florencia Arrigo[1], Teresita Cifuentes[1], Ailín Gómez[1], María Julia Carosi[1], Pablo Andrés Salgado[2,3], Diego Jorge Vazquez[1], Aldo Fabián Squassi[2]
1.Cátedra de Diagnóstico por imágenes. FOUBA. 2. Cátedra de Odontología Preventiva y Comunitaria. Instituto de Investigaciones en Salud Pública. FOUBA 3.Cátedra de Microbiología y Parasitología. Instituto de Investigaciones en Salud Pública. FOUBA

Objetivo/s Establecer la prevalencia de anomalías dentarias de desarrollo y adquiridas, observables en radiografías panorámicas y su asociación con factores sociodemográficos, en pacientes concurrentes por demanda estimulada a la Cátedra de Diagnóstico por imágenes FOUBA. **Materiales y Métodos** Se realizó un estudio descriptivo, observacional y transversal de 200 individuos concurrentes a la Cátedra de Diagnóstico por imágenes FOUBA, para realización de radiografía panorámica, que respondieron una autoencuesta sobre datos sociodemográficos. Se adquirieron las imágenes con equipo Planmeca Promax® y se procesaron con software Romexis. Dos operadores calibrados observaron y registraron las anomalías en instrumento ad hoc. Para describir variables cuantitativas se utilizó media, mediana, DS mínimo y máximo, test de Student para muestras independientes. Para evaluar asociación se utilizó test de Chi cuadrado; Correlación lineal de Pearson para evaluar correlación y prueba Kolmogorov-Smirnov para muestras independientes. **Resultados** La edad de los pacientes estuvo entre 4 y 82 años, con una mediana de 27. No se encontraron diferencias en edad p= 0,895. La distribución según sexo fue 64% femenino. Refirió enfermedades crónicas 14,9% y medicación crónica 16,4%. Datos sociales: 77,1% de los pacientes no presenta hacinamiento, 14,6% recibe planes sociales, 12,4% se encuentra desocupado y 45,2% se atiende en sistema público de salud exclusivamente. Las anomalías más frecuentes fueron ausencia de al menos una pieza 65,5%, mesioversión 24,4%, caries con compromiso pulpar 21,0%, lesión periapical 18,1%. El 99% de las piezas ausentes fueron permanentes. Hubo correlación significativa y positiva entre edad y ausencia de piezas dentarias, R de Pearson=0,647 p<0,001. La mediana de edad de pacientes con compromiso pulpar fue 36 años, y los que no tenían compromiso pulpar 30 años, p=0,033. No se encontraron diferencias significativas en hacinamiento y planes sociales para caries con compromiso pulpar, fracturas y lesión periapical. **Conclusión/es** La radiografía panorámica es confiable para estudiar anomalías dentarias de desarrollo y adquiridas. En una población con variables sociales y de atención de salud homogéneas, la edad fue la única variable que afectó la presencia de anomalías dentarias adquiridas.

008 ID 237

ÍNDICE DE TRAUMA DENTAL EN NIÑOS DURANTE LA PANDEMIA DE COVID-19

*Ana Júlia Milani[1], Isabella Almeida Magalhães[1], Leonardo Alves Antunes[2], Thuanny Castilho[2], Lívia Azeredo Alves Antunes[2].
1. Departamento de Odontopediatría, Centro Universitário FAMINAS, Muriáe, Minas Gerais, Brasil. 2. Departamento de Odontopediatría, Universidade Federal Fluminense, Nova Friburgo, Rio de Janeiro, Brasil

Objetivo/s Informar el índice y las causas de los traumatismos dentales (TD`s) en niños durante el período de la pandemia del coronavirus (covid-19) en la ciudad de Muriaé, Minas Gerais, Brasil mediante un estudio epidemiológico para orientar acciones futuras en Salud y Educación. **Materiales y Métodos** Con aprobación del Comité de Ética en Investigación (CAAE: 44372021.7.0000.5105) El trabajo se hizo recolectando datos de un formulario en línea a través de la plataforma Google Forms, entre mayo y junio de 2021. Participaron odontólogos del sector público y privado, quienes estuvieron de acuerdo con el Término de Consentimiento Libre e Informado y respondieron al sondeo que contenía 12 preguntas. Las variables comprendidas fueron índice de trauma dentario en la pandemia, sexo y edades más afectadas, tipo de TD más frecuente, búsqueda de atendimiento mediato o inmediato, impacto en la calidad de vida y etiología. Se excluyeron los cuestionarios incompletos. Los datos fueron procesados en hojas de cálculo de Microsoft Excel y representados en gráficos. **Resultados** La muestra fue de 18 cuestionarios. El porcentaje promedio de aumento de TD en niños fue de 4 comparando con los años previos a la pandemia, alcanzando el 73,7%. El sexo más afectado fue el masculino, con edades de (uno) 1 a 4 años, y la fractura de esmalte y dentina el trauma más frecuente, alcanzando el 44,4% de los casos. Se constató que la mayoría consultó un odontólogo el día del incidente, representando el 38,9%. El cien por ciento de los profesionales reportó que la TD en la infancia impacta negativamente la calidad de vida de los pacientes y sus familias. En cuanto a la etiología, el 72% de los eventos se originó por caída desde la propia altura. **Conclusión/es** Se concluye que el índice de TD en el período del COVID-19 aumentó en la ciudad de Muriaé; sin embargo, es difícil comparar los resultados con otros lugares del mundo ya que hasta ahora no disponemos de suficiente literatura científica publicada. Se recomienda hacer más investigaciones y se destaca la relevancia de las estrategias de promoción de la salud basadas en evidencia científica sólida para la prevención y tratamiento de la TD en infantes.

009

ID 262

MORBILIDAD POR CARIES DENTAL EN INFANTES DE 2 Y 3 DE EDAD

*Gabriela Alvaredo[1], Celina Cornejo[1,2], Ximena Pazos[1], Pablo Salgado[1,2], Graciela Klemonskis[1,3], Aldo Squassi[1,3]
1.Cátedra de Odontología Preventiva y Comunitaria, FOUBA.2. Cátedra de Microbiología y Parasitología, Instituto de Investigaciones en Salud Pública. 3. Instituto de Investigaciones en Salud Pública

Objetivo/s Describir la morbilidad por caries dental en infantes de 2 - 3 años de edad. **Materiales y Métodos** Se realizó un estudio epidemiológico descriptivo de corte transversal. Se reclutó una muestra no probabilística de 151 individuos (43% femenino) entre infantes de 2 y 3 años de edad asistentes a centros de primera infancia y nivel inicial de AMBA. Para participar del estudio se solicitó la autorización de los tutores legales y el asentimiento del infante. Se incluyeron en el estudio los individuos que presentaron un mínimo de 68 superficies dentarias primarias al momento del examen clínico. El estado dentario fue relevado por odontólogos entrenados. Se evaluó: extensión de lesiones de caries con criterios ICDAS II (Pitts, 2005) y severidad de caries con criterios INTC (Bordoni, 1992). Las medidas de resumen utilizadas para variables cualitativas fueron frecuencia y porcentaje e IC 95%. Se utilizó la prueba de Chi-cuadrado y OR para estudiar asociación entre presencia de lesiones incipientes y cavitadas. **Resultados** La frecuencia de caries en la muestra fue de 47% [IC95%=39,2%-55,0%]. El 15,2% [IC95%=10,2%-21,6%] presentó exclusivamente lesiones incipientes activas (L= 1 y 2 A=2), el 31,8% [IC95%=24,8%-39,5%] presentó exclusivamente lesiones cavitadas (L=3 a 6 A=2) y 16,6% [IC95%=11,3%-23,1%] presentó tanto lesiones incipientes como cavitadas (L= 1 a 6 A=2). La media de superficies afectadas fue de 3 [IC95%=2-3]. El INTC agrupado según la complejidad del tratamiento de caries requerido mostro la siguiente distribución de frecuencias: 0-2=62,9% [IC95%=55,0%-70,3%]; 3-6=35,1% [IC95%=27,8%-42,9%]; 7 o +=2% [IC95%=0,6%-5,2%]. Los infantes que presentaron lesiones incipientes de caries mostraron mayor probabilidad (OR=3,78 [IC 95%=1,81-7,86]) de presentar también lesiones cavitadas que aquellos que no presentaron lesiones incipientes. **Conclusión/es** A los 2 y 3 años de edad, se observó una alta frecuencia de lesiones de caries activas en infantes, con un predominio de lesiones de baja severidad que podrían resolverse con tratamientos de baja complejidad.

010

ID 291

PR SCORE APLICADO EN MICROCIRUGÍA APICAL CON BIOMATERIALES BOVINOS Y PORCINOS

*Pablo Alejandro Rodríguez[1], María Lorena Cabirta[1], Eugenia Miklaseusky[1], Nicolas Alfie[1], Germán Tirao[1], Cristóbal Fresno[2], Isabel Adler[3], Valeria Denninghoff[3].
1.Cátedra de endodoncia. Facultad de Odontología. Universidad de Buenos Aires.2. Health and Sciences Research Center (CICSA), Health and Sciences Faculty, Anahuac University, México.3. Cátedra de Clínica Estomatológica.

Objetivo/s Evaluar la respuesta de regeneración ósea guiada utilizando biomateriales bovinos y porcinos, para clasificar la respuesta post-quirurgica de pacientes, a través de un análisis de imágenes de CBCT mediante el puntaje de recuperación pronóstica (PR score), previamente descrito en 2021. **Materiales y Métodos** Se reclutaron 61 pacientes en la Cátedra de Endodoncia de la Facultad de Odontología de la Universidad de Buenos Aires (022/2019-CETICA FOUBA). Se les realizó microcirugía apical con implante de matriz ósea bovina (OstiumMAX, Bioxen, Argentina) y membrana de colágeno de origen porcino (Ostium Max Cover, Bioxen, Argentina). La estructura mineral osteoconductora bovina es comparable al hueso humano mineralizado (apatita nanocristalina natural). La matriz proteica altamente purificada se elabora a partir de colágeno porcino natural a través de un proceso de múltiples etapas de purificación que cumple estrictamente con los estándares de seguridad. Mediante CBCT se midió el volumen de la lesión a los 0, 6, 12, 18 y 24 meses y se calculó el volumen porcentual (VP) de la lesión. Rodríguez y col. en 2021 definieron que el tratamiento fue exitoso si VP_{24} < 25% y determinaron tres categorías: PR_0 (fracaso) si VP_6 > 75%; PR_1 (vigilancia a los 12 meses) si 75% >= VP_6 > 50%, y PR_2 (éxito) si PV_6 <= 50%. **Resultados** Se aplicó el uso del PR score diseñado para biomateriales en humanos a biomateroales bovino-porcino, cuyo éxito fue del 100%, con PR_0 de 0% (0/61), PR_1 9,8% (5/61) y PR_2 90% (56/61). No se encontraron diferencias significativas entre edad-género y puntaje PR. El puntaje PR permitió clasificar a los pacientes respondedores y no respondedores a la microcirugía periapical mediante CBCT, incluso con biomateriales bovino-porcino. **Conclusión/es** Este trabajo soporta que el puntaje PR, podría ser utilizado como factor pronóstico de regeneración ósea y reducir la exposición de radiación al solo utilizar CBCT a los 0 y 6 meses. Este puntuje podría reducir los costos de seguimiento de los pacientes y la exposición a la radiación, permitiéndonos comparar objetivamente la efectividad de la regeneración ósea guiada periapical. Este trabajo valida la propuesta original con un tratamiento diferente al de los biomateriales humanos utilizados para el diseño original del puntaje PR.

011 ID 279

RESPUESTA TISULAR A IMPLANTES POLIMÉRICOS BIODEGRADABLES (PLA/B-TCP) PARA INGENIERÍA TISULAR ÓSEA.

*Camila Lourdes Frosasco[1,2], Sandra Judith Renou[1], Mariela Gisele Domingo[1], Ezequiel Pérez[3], Pablo Alejandro Fontanetti[4], Daniel Gustavo Olmedo[1,2]
1. Cátedra de Anatomía Patológica, FOUBA. 2. CONICET. 3. Instituto de Investigación y Desarrollo en Ingeniería de Procesos y Química Aplicada (IPQA) (CONICET-UNC), Córdoba, Argentina.4. Departamento de Biología Bucal, Facultad de Odontología, Universidad Nacional de Córdoba.

Objetivo/s Los polímeros biodegradables constituyen una alternativa terapéutica para la rehabilitación de defectos óseos. El ácido poliláctico (PLA) reforzado con β- fosfato tricálcico (β-TCP) es un potencial sustituto óseo y su evaluación biológica resulta de interés para establecer su biocompatibilidad. El objetivo del presente estudio de tipo descriptivo fue evaluar la respuesta tisular de un novel biomaterial polimérico biodegradable (PLA/β-TCP al 2.5%), desarrollado en nuestro país, utilizando dos modelos experimentales murinos, 30 días post-implantación. **Materiales y Métodos** El PLA/β-TCP-2.5% se utilizó en forma de láminas (n:10) y de discos (n:10). Se realizó la caracterización del biomaterial mediante MEB-EDS. Para la evaluación biológica se utilizaron ratas Wistar macho (n:10) a las que se les implantó en cada animal un disco en el tejido celular subcutáneo del lomo (grupo subcutáneo-GSC) y una lámina en la médula ósea hematopoyética de la tibia (grupo intramedular-GIM). Se practicó la eutanasia a los 30 días post-implantación. En el GSC se realizó la evaluación histológica mientras que en el GIM se realizaron estudios radiográficos e histológicos. **Resultados** El análisis por MEB evidenció las partículas del β-TCP inmersas en la matriz de PLA, cuyo análisis por EDS mostró O y C (polímero) y Ca y P (partículas). Histológicamente el GSC mostró tejido fibrovascular periférico al biomaterial sin infiltrado inflamatorio. Respecto del GIM se observaron áreas de tejido óseo de tipo laminar y de tipo reticular en contacto con la superficie del biomaterial, sin cuadro inflamatorio. En ambos grupos (GSC y GIM) se observaron células gigantes multinucleadas asociadas a ciertas zonas del biomaterial, indicativas de inicio de biodegradación. **Conclusión/es** El biomaterial presentó adecuada biocompatibilidad y neoformación ósea, posicionándolo como un potencial sustituto para regeneración tisular ósea. Se requieren de tiempos experimentales más prolongados para continuar evaluando la biodegradación, el reemplazo del tejido óseo de tipo reticular a tipo laminar y su posterior evaluación histomorfométrica.

012 ID 313

EFECTO DE ALTAS DOSIS DE FLUORURO SOBRE PARÁMETROS BIOQUÍMICOS DEL METABOLISMO FOSFOCÁLCICO EN EL PROCESO DE OSEOINTEGRACIÓN DE IMPLANTES LAMINARES EN RATA

*Alejandro Jorge Filsinger[1], Fontanetti Pablo Alejandro[2], Plavnik Luis Mario[2], Ponce Rubén[2], Centeno Viviana[2], Gallará Raquel[2].
1. Departamento de Rehabilitación Bucal, UNC. 2. Departamento de Biología Bucal, UNC.

Objetivo/s El éxito de ciertas prácticas odontológicas depende de las propiedades estructurales del tejido óseo las que pueden estar alteradas por exposición a dosis elevadas de F-. El objetivo fue estudiar el efecto de la exposición a F- sobre parámetros bioquímicos del metabolismo fosfocálcico en un modelo experimental para el estudio de las propiedades metabólicas del tejido óseo durante la oseointegración de implantes laminares tibia de rata. **Materiales y Métodos** Ratas Wistar macho (n=6 por grupo) bebieron agua durante 6 semanas con diferentes concentraciones de F- en forma de NaF: a) control, 0,3mg/L F- y b) tratado, 22 mg/L F- (50mg/L NaF). A 2 semanas de iniciado el tratamiento se realizó la instalación quirúrgica del implante laminar en la tibia izquierda de animales de ambos grupos (Cabrini et al., 1993) Los animales continuaron el tratamiento según el grupo y se les practicó eutanasia a los 28 días post cirugía. Se registró peso corporal e ingesta de comida y agua. Se valoró la fluoruria y creatinuria y se analizaron parámetros bioquímicos del metabolismo fosfocálcico. Se extrajeron las tibias implantadas, se radiografíaron y se procesaron para análisis cualitativo de oseointegración a través de microscopia electrónica de barrido (MEB) del tejido en la interfase hueso-implante. **Resultados** El tratamiento con F- no modificó la creatinuria, el peso corporal ni la ingesta de agua y comida. Los animales tratados mostraron niveles de fluoruria más elevados en comparación con sus controles ($p<0,05$). La calcemia y los niveles de fosfatasa alcalina fueron significativamente mayores en el grupo tratado ($p<0,01$) mientras que no se observaron diferencias en los niveles de fosfatemia. Las radiografías y microfotografías por MEB mostraron oseointegración en ambos grupos. **Conclusión/es** Los animales incorporaron F- sistémico evidenciado por los niveles de fluoruria. El tratamiento no generó toxicidad en los animales tratados. Los resultados sugieren que el tratamiento con fluoruro ejerce influencia sobre el metabolismo fosfocálcico pudiendo estimular la formación ósea. La evidencia de oseointegración sugiere que el modelo es eficiente y permitirá evaluar en el futuro parámetros indicadores de oseointegración.

013
ID 265

ANÁLISIS FORENSE DE CÓDIGOS QR GRABADOS CON LÁSER EN PRÓTESIS DENTALES ACRÍLICAS

*Alan Diego Briem Stamm[1], Marta Alicia Fernández Iriarte[1], Carla Arias[1], Carlos Raimundo Zemborain[1], Luis Reynaldo Rannelucci[1], Ana Clara Casadoumecq[1], Gerardo Jaime[2], Sandra Di Pietro[2], Johanna Salazar[1], César Rodolfo Telechea[1], Julio Bello[1].
1. Cátedra de Odontología Legal, Forense e Historia de la Odontología ,FOUBA. 2. Laboratorio en Prótesis Dental "Jaime", Ciudad Autónoma de Buenos Aires.

Objetivo/s Evaluar el comportamiento del grabado láser de códigos QR sobre soportes metálicos adaptados a prótesis dentales acrílicas sometidas a injurias térmicas y ácidas. **Materiales y Métodos** Estudio observacional, cualitativo, de tipo descriptivo. Se confeccionaron 150 prótesis acrílicas termopolimerizables. Se expusieron 120 prótesis a la acción de temperaturas de 200ºC, 400ºC, 800ºC y 1000ºC durante 30, 60 y 120 minutos (Grupo 1). Este grupo se dividió en un subgrupo 1.A que incluía 60 prótesis con el código QR grabado sobre un soporte de cromo cobalto adaptado al acrílico y un subgrupo 1.B con la otra mitad de aparatos protésicos, que tenían en su estructura un soporte de acero para bandas de ortodoncia con el código QR. Las 30 prótesis restantes componían el Grupo 2 y se dividieron en el subgrupo 2.A (15 prótesis con soporte de cromo cobalto) y el subgrupo 2.B (15 prótesis con soporte de acero para bandas de ortodoncia), todas ellas sumergidas en ácido clorhídrico al 40% a temperatura ambiente, durante 30, 60 y 120 minutos. El análisis de datos incluyó las pruebas Chi-cuadrado de Pearson, exacta de Fisher y regresión logística múltiple. **Resultados** En el Grupo 1, la lectura positiva de los códigos QR fue del 75% para el Subgrupo 1.A y del 12% en el subgrupo 1.B. Para el Grupo 2, la lectura positiva de los códigos QR resultó en un 66% en el subgrupo 2.A y un 0% en el subgrupo 2.B. **Conclusión/es** A pesar de la acción vulnerante física y química sobre el acrílico, bajo ciertas condiciones es posible leer e interpretar códigos QR grabados con láser sobre soportes metálicos adaptados a la estructura protésica, constituyendo una alternativa para la identificación humana.

014
ID 351

ESTRATEGIAS UTILIZADAS POR ESTUDIANTES DE LA FOUBA PARA LA REPRODUCCIÓN DEL COLOR EN RESTAURACIONES ANTERIORES

*María Milagros TRIGO HUMARAN[1], Hernan TARTACOVSKY[1], Alan AGÜERO ROMERO[1], Juan Martin GARCIA CUERVA[1], María Emilia IGLESIAS[2]
1.Cátedra de Odontología Restauradora, FOUBA. 2. Cátedra de Materiales Dentales, FOUBA.

Objetivo/s El objetivo de este estudio fue valorar las estrategias empleadas, por estudiantes de la FOUBA, en la manipulación de composites para la reproducción del color en restauraciones del sector anterior. **Materiales y Métodos** Se confeccionó un formulario en Google Forms (F) para recolectar y sistematizar la información que los alumnos y alumnas registran en la historia clínica (HC) de cada paciente durante el desarrollo de la actividad restauradora. Luego de completada la validación del formulario en pequeños grupos se obtuvo un código QR para facilitar el acceso. Se indicó a los estudiantes de una comisión de la asignatura Clínica de Odontología Restauradora en la FOUBA que, una vez finalizada cada sesión, completaran el F en sus celulares con la información correspondiente de la HC. Los datos fueron volcados a una planilla de cálculo y se obtuvieron tasas e IC 95% **Resultados** La comisión tiene 57 estudiantes 87,72% de mujeres (IC95%: 76,76% - 93,92%). Se registraron 97 restauraciones en el sector anterior (% (IC95%)): 9,28 (4,96 - 16,7) de fosas y fisuras, 57,73 (47,79 - 67,09) proximales sin compromiso del ángulo incisal y 21,65 (14,62 - 30,84) que lo involucraban y 11,34 (6,45 - 19,17) en el tercio cervical de caras verstibulares. En 97,94% de las restauraciones se utilizó Brilliant new line (Coltene), en el 93,81 (87,15 - 97,13) se utilizó composite de opacidad esmalte (E) mientras que en el 77,32 (68,04 - 84,52) de núcleo o dentina (D). En la mayor parte de las restauraciones 73,19 (63,63 - 81,01) se utilizaron al menos dos opacidades E y D. Los colores de E más utilizados fueron A2 y A3, 31,87 (23,19 - 42,01) y 37,36 (28,12 - 47,62) respectivamente, y el A3 de D 54, 67 (43,45 - 65,43). En cuanto a los criterios para la combinación de colores y opacidades, se pudo observar una amplia variedad de estrategias que se agruparon en tres: el empleo de colores iguales en ambas opacidades, y el uso de opacos de mayor o de menor intensidad; entre las que no se encontró ninguna predominante. **Conclusión/es** Dentro del marco del presente estudio se puede afirmar que en la mayoría de las restauraciones del sector anterior se emplean composites de al menos dos opacidades y que no hay una estrategia de asociación de opacidad y color predominante.

015 ID 337

INHIBICIÓN DEL DESGASTE Y CITOTOXICIDAD DE AGENTES DESENSIBILIZANTES SOBRE DENTINA TRATADA

*Fernanda de Souza e Silva Ramos, Laryssa de Castro Oliveira, Larissa Albertinazzi, Sávio José Cardoso Bezerra José Cardoso Bezerra, Vanessa Rodrigues dos Santos Rodrigues dos Santos, Erika Mayumi Omoto, Tais Scaramucci, Cristiane Duque, Ticiane Cestari Fagundes
Departamento de Odontología Preventiva y Restauradora, Facultad de Odontología, Universidad del Estado de São Paulo (UNESP), Araçatuba, São Paulo, Brasil.

Objetivo/s El objetivo de este estudio fue evaluar el desgaste y la citotoxicidad de diferentes agentes desensibilizantes cuando se aplican a la dentina. **Materiales y Métodos** Se establecieron los siguientes grupos: barniz placebo (PLA), barniz flúor (FLU), barniz NaF + TMP (TMP); sistema adhesivo universal (SBU), barniz de partículas S-PRG (SPRG); Solución de biosilicato (BIOS) y solución de amelotina (AMTN). 70 bloques de dentina de raíz bovina (4x4x2 mm) tenían la mitad de su superficie protegida con barniz ácido-resistente, creando un área de prueba y control. Los túbulos dentinarios se abrieron con solución de EDTA 0,5M, simulando un área de hipersensibilidad. Después de la aplicación de los tratamientos, se realizó un desafío erosivo-abrasivo y se determinó el desgaste con un perfilómetro óptico. Para el análisis de citotoxicidad se impregnaron discos de papel con los materiales y se sumergieron en medio de cultivo (DMEM) consiguiendo los extractos. Se cultivaron fibroblastos (3T3) y 24 horas después, se añadieron a los cultivos celulares 100µL de extracto sin diluir, en diluciones 1:2, 1:4, 1:8 y control DMEM. La citotoxicidad se analizó con la tinte de resazurina las 24 y 48 h. Se utilizó One way ANOVA y post-test de Tukey entre materiales y la prueba t entre tiempos de análisis ($p \leq 0.05$). **Resultados** En el análisis de desgaste, SBU y AMTN presentaron curvatura positiva, similares al grupo TMP. El mayor desgaste se observó en los grupos PLA y FLU similares a los grupos TMP, BIOS y SPRG. La viabilidad celular se redujo en comparación con DMEM para los grupos PLA y SBU, sin dilución a las 24 h. Considerando el grupo sin dilución a las 48h, la viabilidad celular se redujo para TMP, SBU y PLA. Al comparar los tiempos de exposición, las células expuestas al grupo PRG sin dilución, los grupos TMP, AMTN y PLA a dilución 1:2, los grupos BIOS y PLA a dilución 1:4 y el grupo SBU a dilución 1:8 fueron más viables después de 48 h. **Conclusión/es** Los tratamientos con SBU y AMTN protegieron el desgaste de la dentina hipersensible después del desafío erosivo-abrasivo. Los grupos SBU y PLA mostraron mayor citotoxicidad sin extracto de dilución, todos los agentes desensibilizantes mostraron citocompatibilidad en la dilución 1:2. El tiempo de exposición al extracto de estos agentes influye en la viabilidad celular.

016 ID 334

EVALUACIÓN RADIOGRÁFICA DE RESTAURACIONES EXISTENTES EN PACIENTES DEL HOSPITAL ODONTOLÓGICO UNIVERSITARIO

María Milagros TRIGO HUMARÁN[1], *Hernan TARTACOVSKY[1], Agustina BOAVENTURA DUBOVIK[1], Juan Martin GARCIA CUERVA[1], María Emilia IGLESIAS[2]
1. Cátedra de Odontología Restauradora, FOUBA. 2. Cátedra de Materiales Dentales, FOUBA.

Objetivo/s Valorar la presencia y calidad de restauraciones en Rx panorámicas de pacientes adultos que se atienden en el Hospital Odontológico Universitario de la Facultad de Odontología. **Materiales y Métodos** Dos evaluadores, docentes de la cátedra de Odontología Restauradora, previamente calibrados (Trigo Humaran et al, Saio 2019) evaluaron 99 radiografías panorámicas (RXp) seleccionadas al azar de la base de datos de la Cátedra de Diagnóstico por Imágenes de la Facultad de Odontología de la Universidad de Buenos Aires. La evaluación fue realizada de manera simultánea e independiente, y la información obtenida se registró un formulario ad-hoc basado en los criterios de Ryge modificados, el mismo empleado durante la calibración. **Resultados** Las RXp obtenidas fueron de pacientes de entre 18 y 90 años, con una media(DS)de edad de 38,93 (15,04) años. La media (DS) de piezas presentes fue de 24,25 (6,88). El total de restauraciones registradas fue de 538. De las cuales tasa % (IC95%): 21,93% (18,64-25,62) en el sector anterior, con una mayor frecuencia 87,29 (80,08-92,14) en el maxilar superior (MS). El 78,97 (74,39 - 81,37) en sector posterior; 31,90 (27,63 - 36,51) en premolares, sin diferencia entre maxilares superior e inferior y 68,10 (63,50-72-38) en molares, con una mayor frecuencia en el MS: 60,14 (54,37-65,65) y 39,86 (34,35-45,63) en maxilar inferior (MI). Según el material, el 57,62 (53,41-61,73) estaban realizadas con materiales estéticos y el 42,00 (37,91-46,23) con materiales metálicos. En cuanto a su calidad, la mayoría 60,04 (55,85 - 64,09) de las restauraciones fueron evaluadas como defectuosas, entre las cuáles la falla más frecuentemente detectada fue la desadaptación marginal 41,49 (36,25-46,93); seguida de radiolucidez subyacente o gap 30,65 (25,87 - 35,87), y luego, sin diferencia entre ellas, de excesos y fractura de material, 9,91 (7,11-13,65) y 16,10 (12,49-20-49) respectivamente. El 26,39 de las piezas restauradas (22,85-30,27) tenían tratamiento endodóntico, de los cuáles el 8,45% (4,90-14,18) estaba sobreobturado y el 33,80 (26,53-41-91) subobturado. **Conclusión/es** La mayoría de las restauraciones evaluadas presentaban algún de los defecto. Las fallas más observadas fueron desadaptación marginal y radiolucidez subyacente al material restaurador.

017
ID 163

PATOLOGÍAS GINGIVALES NO INDUCIDAS POR BIOFILM DENTAL: ESTUDIO HISTOPATOLÓGICO, FRECUENCIA Y DISTRIBUCIÓN.

*Krissya M. Villegas Padilla, Nathalie Amaya Londoño, María Luisa Paparella.
Cátedra de Anatomía Patológica, Laboratorio Patología Quirúrgica. FOUBA.

Objetivo/s Evaluar frecuencia y distribución de patologías gingivales no inducidas por biofilm dental (PGNIBD) diagnosticadas en el Laboratorio de Patología Quirúrgica de la Cátedra de Anatomía Patológica-FOUBA-. **Materiales y Métodos** Se recopilaron 3954 casos de PGNIBD en un período de 18 años (2000-2018). Se evaluaron caracteres clínicos, histopatológicos e inmunohistoquímicos. Las patologías se agruparon en las categorías: reactiva, ampollar, trastorno potencialmente maligno, displasia epitelial y tumoral. **Resultados** Las PGNIBD representaron el 14% de la totalidad de las patologías bucomaxilares registradas en nuestro archivo. La media de edad fue de 48 años (1 mes- 96 años), el sexo femenino fue el más afectado con 2463 casos (64%) y localización prevalente fue el sector anterior del maxilar superior con 935 casos (24%). El diagnóstico clínico prevalente fue épulis, planteado en 1230 casos (31%). Las patologías correspondientes a la categoría reactiva fueron las más frecuentes con 3374 casos (87,3%); siguiéndole las patologías de las categorías: tumoral con 353 casos (9,1%), siendo los tumores malignos prevalentes (208 casos correspondientes al 59% de la totalidad de la patología tumoral), trastorno potencialmente maligno (71 casos, 1,8%), ampollar (39 casos, 1%) y displasia epitelial (29 casos, 0.8%). La entidad patológica prevalente fue la hiperplasia con afectación del corion (1884 casos, 56%), seguida de el carcinoma de células escamosas (184 casos, 87,5%). **Conclusión/es** Las PGNIBD son relativamente frecuentes, representando en nuestro laboratorio el 14% de la totalidad de las patologías evaluadas. A nuestro entender, este es el primer trabajo de frecuencia y distribución de PGNIBD realizado en nuestro país, constituyendo un aporte a las escasas publicaciones registradas en la literatura. El espectro de patologías que pueden asentar en los tejidos gingivales es muy amplio, observándose numerosas entidades de muy diverso origen y variable comportamiento biológico, muchas de ellas de extrema rareza; lo que indica la importancia de su conocimiento para realizar un diagnóstico correcto y precoz y su consiguiente planificación terapéutica. El conocimiento de la frecuencia y distribución de las PGNIBD sería de utilidad en los programas de salud bucal.

018
ID 165

EFECTO DELETÉREO DEL ALCOHOL CRÓNICO SOBRE EL TEJIDO ÓSEO Y PERIODONTAL

*Troncoso Gastón[1], Bozzini Clarisa[1], Casadoumeq Ana[1], Federico Mucci[1], Juan Carlos Elverdin[1], Fernández Solari J[1,2], Mohn Claudia[1,2].
1.Cátedra de Fisiología, FOUBA. 2-Consejo Nacional de Investigaciones Científicas y Técnicas (CONICET).

Objetivo/s Evaluar el efecto de la ingesta crónica de alcohol en alta graduación a nivel óseo y periodontal en la rata. **Materiales y Métodos** Se utilizaron 24 ratas macho Wistar (250 g) divididas en dos grupos, control (G-C) y experimental (G-ETOH). Al G-ETOH se le administró 5 ml de etanol (3g/kg) por sonda intra-gástrica, dos veces/día, durante 20 días. El G-C recibió agua en la misma condición. Las ratas fueron eutanasiadas siguiendo las normas del CICUAL de FOUBA. Se determinaron los niveles de TNFα por ELISA y prostaglandina E (PGE) por RIA tanto en plasma como en encía. Las hemimandíbulas fueron procesadas para evaluar la pérdida ósea, midiendo la distancia entre el límite amelocementario y la cresta alveolar (LAC-CA) y mediante estudios histomorfometricos (HE) se evaluó también el volumen óseo trabecular (B.Ar/T.Ar) del hueso interradicular y la altura del ligamento periodontal (LP) en el periodonto de inserción del primer molar inferior. Además, se determinó la biomecánica mandibular y femoral (Instron®, model 4442) y se analizó la histoarquitectura mediante estudios microtomográficos (bruker® skyscan 1172). Los datos se analizaron con test t-Student considerándose diferencias significativas con $p<0.05$. **Resultados** El alcohol incrementó tanto el TNFα ($p<0.01$) como la PGE2 ($p<0.05$) en plasma y en encía ($p<0.05$) v.s. G-C. En el G-ETOH aumentó, la pérdida ósea determinada por la distancia LAC-CA ($p<0,01$), el B.Ar/T.Ar ($p<0,05$) interradicular y la altura del LP ($p<0,05$). El análisis microtomográfico mandibular reveló un menor %BV/TV ($p<0.05$) interradicular, así como mayor separación trabecular ($p<0.05$) y mayor % de porosidad trabecular ($p<0.05$) en G-EtOH v.s. G-C. No se observó alteración biomecánica a nivel mandibular mientras que en fémur el G-EtOH presentó disminución de las propiedades estructurales ($p<0.001$), como consecuencia del deterioro de la arquitectura diafisaria ($p<0.01$) sin cambios en el material propiamente dicho. **Conclusión/es** La ingesta crónica de alcohol en alta graduación induce daño periodontal y manifiesta pérdida ósea a nivel de huesos largos predisponiendo la fragilidad ósea. Dado que está descrito que el fémur se altera más fácilmente que la mandíbula, es probable que para ver cambios biomecánicos significativos a nivel mandibular se requeriría más tiempo de ingesta alcohólica.

019
ID 254

APOPTOSIS POR AUTO-ANTICUERPOS DE PACIENTES CON PERIODONTITIS CRÓNICA EN FIBROBLASTOS GÍNGIVALES HUMANOS

*Emmanuel Quinteros Villarruel[1], Debora Gonzalez[2], Cátedra de Farmacología. FOUBA[2], Teresita Ferrary[3], Betina Orman[1].
1. Cátedra de Farmacología. FOUBA. 2. Cátedra de Biofísica y Bioestadística. FOUBA. 3. Cátedra de Medicina Interna. FOUBA

Objetivo/s Estudiar el efecto de los auto anticuerpos presentes en el suero de pacientes con enfermedad periodontal crónica (IgGp) en cultivos de fibroblastos gingivales humanos. **Materiales y Métodos** Se estudió la muerte celular programada inducida IgGp en cultivos primarios de fibroblastos de gíngiva humana mediante la técnica de TUNEL. Se evaluó la participación de la proteína quinasa A (PKA) y la actividad de las proteínas: proteína quinasa C (PKC), caspasa-3 y caspasa-9 por la técnica de ELISA. Para el análisis de los resultados se utilizó t de Student y se consideró significativo a $p \leq 0.05$. **Resultados** Los autoanticuerpos IgGp (1x10-7M) promovieron la muerte celular programada en fibroblastos gingivales humanos ($p<0.001$). El agonista β, xamoterol 1x10-7M aumentó el número de núcleos apoptóticos ($p<0.001$) y en ambos casos disminuyó en presencia de atenolol 1x10-4M ($p<0.001$). El efecto inductor de la apoptosis por los IgGp disminuyó en presencia del inhibidor de la PKA (HA 1004 1x10-4M) ($p<0.001$) y fue estimulado en presencia de los inhibidores de la PKC (estaurosporina 1x10-9M y Go 6976 1x10-6M) ($p<0.001$). La inducción de la apoptosis por los IgGp es mediada por la actividad de la caspasa-3 y caspasa-9. **Conclusión/es** Los IgGp (1x10-7M) ejercen un efecto proapoptótico en cultivos de fibroblastos gingivales humanos. Nuestros resultados muestran que el efecto proapoptótico observado en presencia de los IgGp está mediado por la activación de los receptores β1 y que involucra el incremento de la actividad de la PKA y la disminución en la actividad de la PKC. Además, el efecto de los IgGp involucró la activación de la vía intrínseca de la apoptosis con la participación de la caspasa-3 y caspasa-9.

020
ID 355

APLICACIÓN DE ACEITE DE CANNABIS (CBD:THC/1:1) PARA TRATAR LA PERIODONTITIS. ESTUDIO PRELIMINAR.

*Julieta Agustina Rodas[1], Noelia Belen Barcalcel[1], Gaston Rodolfo Troncoso[1], Julia Irene Astrauskas[1], Claudia Mohn[1,2], Juan Carlos Elverdin[1], Cesar Angel Ossola[1], Jose Javier Fernandez Solari[1,2].
1. Catedra de Fisiología, FOUBA. 2. CONICET

Objetivo/s La periodontitis (P) es una infección bucal que produce el deterioro de los tejidos periodontales de protección e inserción dentaria debido a los productos nocivos liberados por bacterias y a la respuesta inmunoinflamatoria del hospedador. Previamente, demostramos el efecto protector de agonistas sintéticos de receptores de cannabinoides CB1 y CB2 sobre los tejidos periodontales en ratas sometidas a periodontitis experimental (PE). El objetivo de este estudio es estudiar el efecto del uso local y tópico de aceite de cannabis rico en CBD y THC (CANN) en concentración 1:1 en ratas sometidas a PE. **Materiales y Métodos** Se utilizaron 21 ratas Wistar macho divididas en 3 grupos (n=7): Control, PE y PE+CANN. La PE fue inducida mediante 3 sesiones semanales de inyecciones gingivales de 20 µl de LPS de Escherichia coli (1 mg/ml) durante 6 semanas. El tratamiento consistió en aplicaciones de CANN en las zonas con PE inducida. Una vez sacrificados los animales, se evaluó la actividad enzimática de las metaloproteinasas 2 y 9 (MMP2 y MMP9) por zimografía y el nivel proteico de NFkB por western blot en el tejido gingival; y parámetros morfométricos en el hueso alveolar. **Resultados** Los resultados obtenidos fueron analizados mediante test de ANOVA y expresados como media±DS. MMP2 (intensidad de pixel): C 3747,02±218,66^{a}, PE 17015,58±297,09^{b}, PE+CANN 8588,54±497,38^{c}. MMP9 (intensidad de pixel): C 3207,05±214,12^{a}, PE 16297,69±720,10^{b}, PE+CANN 8836,65±463,31^{c}. NFkB (intensidad de pixel): C 2037,23±194,33^{a}, PE 3357,90±519,33^{b}, PE+CANN 944,01±93,60^{c}. Distancia LAC-CA(mm): C 4,16±0,27^{a}, PE 4,73±0,50^{b}, PE+CANN 4,01±0,14^{a} (letras distintas indican diferencias significativas entre grupos). **Conclusión/es** El tratamiento con CANN atenuó el incremento inducido por PE en los todos los marcadores del daño tisular evaluados.

021
ID 339

MEDIADORES PROINFLAMATORIOS EN EXPLANTOS DE PLACENTA EXPUESTOS AL FLUIDO CREVICULAR DE GESTANTES.

*Luciana Doga[1], Brenda Lara[2], Iñaki Loureiro[2], Luciana D'Eramo[1], Sofía Novoa[3], Guillermina Caló[2], Laura Gliosca[4], Pablo Fabiano[3], Vanesa Hauk[2], Aldo Squassi[1], Claudia Perez Leiros[2].
1. Cátedra de Odontología Preventiva y Comunitaria, Instituto de Investigaciones en Salud Pública. 2. Laboratorio de Inmunofarmacología - IQUIBICEN-CONICET, Facultad de Ciencias Exactas y Naturales, UBA.3. Hospital General de Agudos Dr. Cosme Argerich de la Ciudad de Buenos Aires, Servicio de Obstetricia. 4. Cátedra de Microbiología y Parasitología, Laboratorio de Diagnóstico Microbiológico, Instituto de Investigaciones en Salud Pública

Objetivo/s Comparar características microbiológicas de gestantes al momento del parto respecto a mujeres no embarazadas periodontalmente sanas, y evaluar el efecto del fluido crevicular de ambos grupos en un modelo de interacción materno-placentaria. **Materiales y Métodos** Sobre una muestra de 20 mujeres (18-40 años), inmediatamente posterior al parto (G1) y 8 mujeres no embarazadas (G2) se realizó una evaluación simplificada del estado gingivoperiodontal, registrando el índice de placa (IP) de Silness y Löe, índice gingival (IG) de Löe y Silness y el índice de necesidad de tratamiento periodontal (INTPC). Se recolecto una muestra de fluido crevicular (FC) mediante conos de papel estériles y se colocó en medio de transporte para su almacenamiento y posterior empleo en estudios microbiológicos y funcionales sobre explantes placentarios. Se obtuvieron explantes de placentas de 3º trimestre sin complicaciones gestacionales. Los explantos placentarios fueron cultivados in vitro con las muestras de FC de G1 y G2, y se determinó la expresión de mediadores inflamatorios y angiogénicos por qPCR. Los resultados se expresan como media ±SEM. Los resultados se procesaron con prueba t de Student y Mann-Whitney. Para el análisis de datos de utilizo el software GraphPad Prism 9 software. Las diferencias se consideraron significativas con $p< 0.05$. **Resultados** Las medianas de INTPC fueron: G1= 4 (rango: 3-4); G2= 1. La media de IP e IG fue: IP-G1= 1,25 (DS=0,32); IG-G2= 1,17 (DS=0,43); IP-G2= 0,45 (DS=0,53); IG-G2= 0,30 (0,35); registrándose diferencias significativas para ambos índices entre grupos ($p<0,01$). El nivel de bacterias totales (16S ADNr) se determinó en un rango entre 1,95E+5 - 1,45E+8 copias/µl para G1, y entre 3,46E+4 - 6,37E+5 copias/µl para G2. En el modelo in vitro de interacción materno-placentaria, el tratamiento con FC indujo un aumento en la expresión de IL-6, iNOS, IL-8 y TNFα (veces de cambio FC-G1 vs basal: 50.9 ± 10; veces de cambio FC-G2 vs basal: 17.7 ± 5.8; $p<0.05$). **Conclusión/es** El estado gingivoperiodontal, expresado por los indicadores clínicos y microbiológicos evaluados en las pacientes en etapa perinatal, muestran un potencial mecanismo de disfunción placentaria mediada por factores derivados del fluido crevicular.

022
ID 349

EL INCREMENTO LOCAL DEL ENDOCANNABINOIDE ANANDAMIDA ATENÚA MEDIADORES INFLAMATORIOS INCREMENTADOS EN PERIODONTITIS

*Julieta Agustina Rodas[1], Noelia Belen Barcalcel[1], Gaston Rodolfo Troncoso[1], Julia Irene Astrauskas[1], Claudia Mohn[1,2], Juan Carlos Elverdin[1], Cesar Angel Ossola[1], Jose Javier Fernandez Solari[1,2].
1. Catedra de Fisiología, FOUBA. 2. CONICET

Objetivo/s La periodontitis (P) es una infección bucal que produce el deterioro de los tejidos periodontales de protección e inserción dentaria debido a los productos nocivos liberados por bacterias y a la respuesta inmunoinflamatoria del hospedador. Está descripto que la estimulación de los receptores de cannabinoides atenúa el deterioro tisular causado por la P. En estudios previos demostramos que el tratamiento con URB597 (un inhibidor de la degradación del endocannabinoide anandamida) previene la pérdida de hueso alveolar y el aumento de PGE_2 gingival inducidos por P experimental (PE). El objetivo de este trabajo es ampliar el estudio del efecto de la aplicación tópica de URB597 sobre la PE. **Materiales y Métodos** Se utilizaron 21 ratas Wistar macho divididas en 3 grupos (n=7): control (C), PE y PE+URB597. La PE fue inducida mediante 3 sesiones semanales de inyecciones gingivales de 20 µl de LPS de *Escherichia coli* (1 mg/ml) durante 6 semanas. El tratamiento consistió en aplicaciones de URB597 (20 µg/ml) en las zonas con PE inducida. Una vez sacrificados los animales, se evaluó el nivel de PGE_2 por RIA en tejido de inserción; la actividad de metaloproteinasas 2 y 9 (MMP2 y MMP9) por zimografía, el nivel de TNF*α* por *ELISA y* el nivel de NFkB por western blot en tejido gingival; y marcadores de estrés oxidativo por TBARS en la glándula submaxilar. **Resultados** Los resultados obtenidos fueron analizados mediante test de ANOVA y expresados como media±DS. PGE_2 (pg/mg): C 204,56±36,27^a, PE 257,73±60,93^b, PE+URB 191,66±36,15^a. MMP2 (intensidad de pixel): C 3889,75±942,30^a, PE 15323,58±838,98^b, PE+URB 7218,47±738,56^c. MMP9 (intensidad de pixel): C 3551,71±609,92^a, PE 13231,02±1998,45^b, PE+URB 5629,64±700,42^c. TNF*α* (ng/ml): C 4470±72,75 ^{a}, PE 7581±100 ^{b} PE+URB 1777±44 ^{c}. NFkB (intensidad de pixel): C 2037,23±194,33^a, PE 3357,90±519,33^b, PE+URB 239,22^c. TBARS (D.O.): C 0,209±0,026^a, PE 0,329±0,058^b, PE+URB 0,206±0,031^a (letras distintas indican diferencias significativas entre grupos). **Conclusión/es** El incremento local de anandamida mediante el tratamiento tópico con URB597 atenuó los marcadores inflamatorios incrementados por P en el tejido gingival, en el tejido de inserción dentario y en la glándula submaxilar.

023 ID 340

COMPOSICIÓN BACTERIANA Y EFECTO PROINFLAMATORIO DEL FLUIDO CREVICULAR EN GESTANTES TEMPRANAS

*Luciana D'Eramo[1], Laura Gliosca[2], Luciana Doga[1], Guillermina Caló[3], Brenda Lara[3], Vanesa Hauk[3], Susana Molgatini[2], Aldo Squassi[1], Claudia Perez Leiros[3]
1. Cátedra de Odontología Preventiva y Comunitaria, Instituto de Investigaciones en Salud Pública, FOUBA.2. Cátedra de Microbiología y Parasitología, Laboratorio de Diagnóstico Microbiológico, Instituto de Investigaciones en Salud Pública. 3. Laboratorio de Inmunofarmacología - IQUIBICEN-CONICET, Facultad de Ciencias Exactas y Naturales, UBA

Objetivo/s Comparar el estado periodontal, características microbiológicas y efecto proinflamatorio del fluído crevicular en pacientes gestantes en etapa temprana y no gestantes. **Materiales y Métodos** Sobre una muestra de 37 mujeres de 25 a 35 años, entre 16 y 20 sema as de gestación (G1) y 8 mujeres no embarazadas de la misma edad (G2) fueron evaluados sangrado al sondaje (SS), profundidad de sondaje (PS) e índice gingival (IG). Se recolecto una muestra de fluido crevicular (FC) mediante conos de papel estériles. Se alicuotaron y dividieron para ensayos funcionales y estudios microbiológicos, y almacenaron a -80ºC. El DNA genómico se obtuvo por columnas de afinidad (Genaid®) y su concentración se corroboró por fluorometría. La cantidad de bacterias totales presentes en FC se determinó por qPCR (gen 16S ARNr). La cuantificación relativa de los microorganismos periodontopáticos *P.gingivalis* (Pg-fimA) y *A.actinomycemcomitans* (Aa-waa) se realizó por técnica de qPCR (ΔΔct) empleando SYBR green. Las especies reactivas del oxígeno (ROS) se determinaron en neutrófilos de sangre periférica de donantes sanos, por citometría de flujo. Se obtuvieron frecuencias, media y dispersión. Los resultados se procesaron con prueba t de Student y prueba de Kruskal-Wallis con post hoc Dunn. **Resultados** La media de PS>3mm en G1 fue 32,9% (DS 21,48), y en G2, 7,37% (DS 5,42) (p=0,005). La media de SS positivo en G1 fue 78,53% (DS 31,73); mientras que en el G2, 0% presentaron sangrado (p<0,008). La mediana (Md) del número de copias del gen 16S ARNr para G1 fue 1,84E+6 copias/µl. 73% (27:37) fueron positivos para *Pg* en un rango (ΔΔct) entre 0,0001- 9,70%. 24% presentaron *Aa,* en un rango (ΔΔct) 0,07-10,35%. La Md de bacterias totales para G2 fue 2,18E+5 copias/µl, y 12,4% (1:8) de las muestras fueron positivas para *Pg* con un (ΔΔct) de 0.11%. En neutrófilos estimulados *in vitro* con FC-G1, se observó un aumento de la producción de ROS dependiente de la concentración (producción de ROS MFI X±SEM: Basal: 4152±664; FC dilución 1:2: 18349±3221; FC dilución 1:10: 8623±987 (p<0.05). En el mismo rango de diluciones, con el FC-G2 no se observó ningún efecto. **Conclusión/es** En gestantes de 16-20 semanas, la inflamación periodontal leve se asocia con presencia de bacterias periodontopáticas y factores proinflamatorios en fluido crevicular.

024 ID 134

LA MELATONINA DISMINUYE LA ESTEATOHEPATITIS NO ALCOHÓLICA EN EL SÍNDROME METABÓLICO

*Vazquez Mosquera AP[1], Fontana S[2], Carpentieri AR[2].
1. Cátedra B de Química Biológica. Facultad de Odontología. UNC. INICSA-UNC/CONICET. 2. Cátedra A Histología y Embriología. Facultad de Odontología. UNC

Objetivo/s Fue estudiar los efectos antiinflamatorios y resolutivos de melatonina en la esteatohepatitis no alcohólica (NASH) causado por el síndrome metabólico (SM) asociada a enfermedad periodontal (EP). **Materiales y Métodos** Se utilizaron ratas Wistar macho de 10 semanas, divididos en grupos: control, SM+EP, SM+EP+MEL. Se administró fructosa al 10% en el agua de bebida, durante 35 días para producir SM. El día 31 se provocó EP mediante ligadura de algodón en el molar inferior. El grupo SM+EP+MEL, recibió una dosis diaria de 10mg/kg de MEL por vía infra gingival desde el día 31 hasta la eutanasia. Se recolectaron muestras de sangre y tejido hepático. El daño hepático se evaluó mediante parámetros bioquímicos, cortes histológicos y la presencia del inflamasoma NLRP3, por inmunocitoquímica. Los datos fueron analizados con ANOVA con un p<0,05. **Resultados** Se encontró un aumento significativo de los parámetros bioquímicos, desorganización del tejido y NLRP3 + en los animales SM+ EP compatible con daño hepático que se correlacionó con SM y NASH. En grupo tratado con MEL se observó una disminución significativa del daño hepático. MEL disminuye la inflamación y la fibrosis característica de NASH en el SM agravado por la EP. **Conclusión/es** Se sugiere como un posible rol terapéutico a la MEL como restauradora de la integridad de los tejidos y órganos dañados.

025
ID 386

APLICACIÓN DE LÁSER EN PACIENTES CON INJURIAS NERVIOSAS POST QUIRÚRGICAS. EVALUACIÓN POSTRATAMIENTO.

*Jesús Eduardo Fernández Alemán[1], Ana Clara Casadoumecq[2], Sebastián Ariel Puia[3], Romina Chaintiou Piorno[1], María Agustina Saizar[1], David Heredia-Veloz[3], Ebingen Villavicencio-Caparo[4], Pablo Alejandro Rodríguez[1].
1. Cátedra de Endodoncia, FOUBA.2. Cátedra de Fisiología, FOUBA.3. Cátedra de Cirugía y Traumatología Bucomaxilofacial I, FOUBA.4. Carrera de Odontología. Universidad Católica de Cuenca-Ecuador.

Objetivo/s Investigar el alcance de la terapia láser de baja potencia (Low Level Laser Theraphy -LLLT) en la recuperación sensorial en pacientes con disestesias post tratamientos odontológicos que concurrieron a la Unidad Láser de la Facultad de Odontología, Universidad de Buenos Aires, en el periodo de marzo 2021 a junio 2022. **Materiales y Métodos** Se evaluaron un total de 32 pacientes, 25 mujeres (78%) y 7 hombres (22%), de un promedio de edad de 42 años (d.e 16), que presentaban disestesias por tratamientos odontológicos post quirúrgicos. De 23 pacientes que presentaron disestesia del nervio mentoniano, 9 fueron originadas por exodoncia de terceros molares, 6 por implantes, 3 por enucleación quística, 2 por anestesia, 1 por cirugía ortognática, 1 por microcirugía apical y 1 por exodoncia segundo molar. Los 8 pacientes que presentaron disestesia del nervio lingual el origen fue exodoncia de terceros molares. En el caso de la paciente con disestesia del nervio suborbitario su origen fue la anestesia. La recuperación neurosensorial se evaluó con escala visual analógica (VAS) de mejora y mediante altas dadas cuando hubo una recuperación de 90 a 100%. Previa firma del consentimiento informado y luego de la aceptación del tratamiento, se aplicó terapia con láser de diodo de 940 nm y de 976 nm en toda la extensión de la lesión con aplicaciones intraorales y extraorales semanalmente. **Resultados** En el grupo de pacientes que presentaron disestesia mentoniana se obtuvo un 39% de altas, en el grupo de disestesia lingual se logró dar de alta a un 75% de los pacientes y, la única paciente que presentó disestesia suborbitaria también fue dada de alta. El promedio de sesiones para obtener el alta fue de 7.4 (d.e 2.19) en casos de disestesia mentoniana, de 13 (d.e 4.5) para pacientes con disestesia lingual, mientras que la paciente con disestesia suborbitaria fue dada de alta en la sesión número 6. **Conclusión/es** El protocolo propuesto por la Unidad de Láser de la FOUBA puede constituir una importante alternativa terapéutica en el tratamiento de disestesias. Los resultados obtenidos sugieren que LLLT tiene efectos beneficiosos en los casos descritos, la recuperación neurosensorial permite que los pacientes vuelvan a tener calidad de vida.

026
ID 139

ESTRATEGIAS DE APRENDIZAJE PREFERIDAS POR ESTUDIANTES DEL CICLO INICIAL (CARRERA DE ODONTOLOGIA UNRN/RA): ESTUDIO EXPLORATORIO

*Preliasco Mariana, Davison Mario Ricardo, Carranza Pablo, Bordoni Noemi.
Carrera de Odontología de la Universidad Nacional de Rio Negro Argentina

Objetivo/s Explorar las dimensiones que subyacen en las estrategias de estudio preferidas por estudiantes ingresantes en la Carrera de Odontologia de la UNRN en el año 2019. **Materiales y Métodos** El circuito de ingreso en la carrera es el siguiente: (1º) inscripción; (2º) prueba de ingreso; (3º) incorporación de estudiantes: grupo INGRESO aprobados con nota > 15 (n=41) y grupo CUPO con nota < 15 de ingreso complementario por disponibilidad de vacantes (n=92). Se relevaron datos demográficos (edad y sexo) y, luego de la prueba de ingreso, fue aplicada la Escala ACRAr, para identificar las estrategias preferidas, pertenecientes a 3 dominios (D1 estrategias cognitivas de control y aprendizaje- D2 estrategias de apoyo- D3 habitos de estudio). La categorización de los datos se realizó según el método de Análisis Estadístico Implicativo (ASI) (*Gras et al,2009*) que permite identificar relaciones según grados de preferencia en las preguntas, según la ley de similitud. **Resultados** GRUPO INGRESO: Con una **significación de 095,** las estrategias preferidas (acuerdo/muy de acuerdo) fueron las enunciadas en los reactivos 1 y 6 (D1); la 10 (D2) y la 13 del D3 (hábitos) En este nivel de significación no incorporaron entre sus preferencias a estrategias enunciadas en los ítems 2, 3, 4, 5 (D1); 9 y 11 del D2 y 12 del (D3). Con una significación de 0,90, se ampliaron las opciones preferidas, pero se mantuvieron excluidas estrategias enunciadas en ítems 9 y 11(D2). GRUPO CUPO: Con un nivel de **significación de 0.90**, prefirieron estrategias expresadas en los reactivos 1, 2, 4 y 5 (D1); las 7, 8, 9, 10, y 11 (D2) y las de hábitos de estudio, mientras que descartaron las preguntas 3 y 6 del D1. **Conclusión/es** Las preferencias seleccionadas por ambos grupos plantean diferentes reglas de similitud, permitiendo identificar que el grupo INGRESO excluye preferencias de las opciones del D2, mientras que el grupo CUPO excluye las opciones del D1. Este estudio constituye la etapa preliminar para establecer el valor predictivo de las preferencias expresadas al inicio de la carrera sobre la dinámica del proceso de aprendizaje, su impacto sobre el rendimiento final y encarar ajustes didácticos oportunos.

027 ID 215

NIVELES DE EMPATÍA EN ESTUDIANTES DE ODONTOLOGÍA DE LA UNIVERSIDAD DE BUENOS AIRES

*Pablo Salgado[1,2,3], Patricia Pastorino[1], Mariana Toral[1], Jorge Aredes[4], Aldo Squassi[1,3].
1. Cátedra de Odontología Preventiva y Comunitaria, FOUBA. 2. Cátedra de Microbiología y Parasitología. 3 Instituto de Investigaciones en Salud Pública, FOUBA. 4. Cátedra de Odontología Integral del Adulto Mayor y Clínica de Prótesis Removible, FOUBA.

Objetivo/s Analizar los niveles de empatía de los estudiantes de la Carrera de Odontología. **Materiales y Métodos** *Tipo de estudio*: analítico observacional de corte transversal. La muestra estuvo constituida por 424 estudiantes de segundo a sexto año de la Facultad de Odontología de la Universidad de Buenos Aires, que se encontraban cursando las siguientes asignaturas: Clínica integrada I (3º año), Epidemiología y Gestión de la Salud (4º año), Clínica Integrada IV (5º año) y Articulación Docencia - Servicios de Salud (6º año). *Diseño de estudio: S*e administró, en forma anónima y voluntaria, un cuestionario sociodemográfico y el instrumento "Escala de Empatía Médica" de Jefferson (EEMJ) versión HPS en español adaptada a Odontología, compuesta por 20 reactivos, agrupadas en 3 dimensiones ("toma de perspectiva", "atención con compasión" y "ponerse en el lugar del otro") que se registran mediante una escala tipo Likert de siete puntos. *Procesamiento estadístico:* Se obtuvieron frecuencias absolutas y porcentuales, medidas de tendencia central y dispersión con un nivel de significación de $p< 0.05$. Se utilizó la prueba t de Student y ANOVA para estudiar las diferencias de los puntajes de acuerdo con el género y año de cursada, respectivamente **Resultados** Los puntajes totales de la EEMJ obtuvieron una media de 108,2 (DS= 15,0), que equivale al 77,3% del puntaje máximo posible (PT), demostrando elevada capacidad empática. La dimensión "toma de perspectiva" presento un 84,2% del PT, la dimensión "atención con compasión" presentó 72,9% y la dimensión "ponerse en el lugar del otro", un 64%. Los resultados por año de cursada respecto del PT fueron: 3º año: 72,1%, 4º año: 78,2%, 5º año: 79,7%, 6º año: 79%. Se observaron diferencias estadísticamente significativas entre los diferentes años de la carrera ($p<0,001$), con menores valores de empatía en tercer año. Se observó en mujeres un PT medio de 109,0 (DS= 15,5) con diferencias estadísticamente significativas ($p=0,016$) respecto a los hombres $\mu= 104,4$ (DS= 12,2). **Conclusión/es** Los niveles de empatia de los alumnos de odontologia son elevados, pero son menores en el momento del inicio del contacto clínico. Se encontró mayor capacidad empática en estudiantes de género femenino.

028 ID 142

PERCEPCIÓN DEL USO DE ZOOM EN ESTUDIANTES DE INGRESO A LA UDELAR. MONTEVIDEO. URUGUAY

*Gabriel Tapia Repetto, Agustín Cataldo, Carla Gutiérrez, Betina Álvarez.
Cátedra de Histología y Embriología BMF. Facultad de Odontología. Universidad de la República
Montevideo - Uruguay

Objetivo/s Conocer la percepción del uso de zoom en estudiantes que cursaron el primer semestre de Histología en el 1º año de la carrera de Dr. en Odontología de la Facultad de Odontología de la Udelar en el 2021. **Materiales y Métodos** Se realizó un estudio de tipo cuanti cualitativo, descriptivo, observacional y transversal. Se aplicó una encuesta de soporte digital, la cual fue respondida por 112 estudiantes de la generación de ingreso. Se relevaron datos demográficos (género y edad), vínculos institucionales (buscando conocer el tiempo que los estudiantes llevan vinculados a la institución), y por último se relevó la percepción estudiantil en relación a los recursos educativos (videos), uso de la Plataforma Moodle y la aplicación de comunicación sincrónica vía ZOOM. **Resultados** En relación a la edad la mayoría de quienes participaron dela encuesta pertenecieron al grupo de 18 y 19 años, el 80% se consideran mujeres, el 38% ingresaron a la Udelar en el 2021 y el 52% en el 2020. Los videos fueron considerados muy útiles y usados por el 100% de los encuestados. Respecto a ZOOM, se valoró con 1 como nada útil y 5 como muy útil. El 37% de los encuestados calificaron la utilidad con 5, el 38% lo califico con 4, el 22% con 3, el 3% con 2, y ningún encuestado valoró esta pregunta con 1. En el plano cualitativo se identificaron gran cantidad de fortalezas y escasas debilidades. **Conclusión/es** Nuestro estudio permitió conocer la percepción del uso de zoom en estudiantes encuestados, y de él se desprende que la mayoría percibieron una alta utilidad de la aplicación. Se abren nuevas perspectivas en relación a la misma, para poder profundizar en nuevos hallazgos provenientes del estudiantado, así como la percepción docente de este instrumento. Palabras clave: zoom, Educación Superior.

029
ID 186

ESTRATEGIAS DE APRENDIZAJE EN CONTEXTOS VIRTUALES EN ESTUDIANTES DE ODONTOLOGÍA

*Ximena Pazos, Glenda Rossi, Pablo Salgado, Aldo Squassi. Graciela Klemonskis.
Cátedra de Odontología Preventiva y Comunitaria - Instituto de Investigaciones en Salud Pública, FOUBA.

Objetivo/s Explorar cambios en las estrategias de autorregulación del aprendizaje en estudiantes de Odontología de la FOUBA, al iniciar y finalizar el desarrollo de una asignatura dictada de manera exclusivamente virtual, en el marco de la situación de emergencia sanitaria durante el año 2021. **Materiales y Métodos** Las estrategias de autorregulación en contextos virtuales de aprendizaje (CVA) se evaluaron con un instrumento de autorreporte (Berridi Ramirez R, Martínez Guerrero J, 2017) que incluye 25 reactivos con 5 opciones de respuesta (escala Likert) agrupados en 4 dimensiones: “estrategias de planeación y control” (I), “atribuciones motivacionales” (II), “trabajo colaborativo con compañeros” (III), “apoyo del asesor en la tarea” (IV). Participaron de manera voluntaria todos los estudiantes matriculados en la asignatura Epidemiología y Gestión de Salud durante el año 2021 (n=320), quienes respondieron el cuestionario al inicio (t1) y al final (t2) del curso. Se calcularon distribuión de frecuencias, mediana, percentil 25 y 75, desviación intercuartil, mínimo y máximo. Se utilizó la prueba T de Student y el test de Wilcoxon para muestras relacionadas. **Resultados** Sobre 138 estudiantes (43,1%), para cada una de las dimensiones y momentos de evaluación se obtuvieron los siguientes puntajes: I-t1: 38,8±5,3; I-t2: 36,8±6; II-t1: 15,9±4,7; II-t2: 15,4±4,9, III-t1: 21,4±4,2 III-t2: 21,06±4,3; IV-t1: 16,2±4,3; IV-t2: 15,5± 4,4. No se encontraron diferencias significativas entre los puntajes en t1 y t2. Se encontraron diferencias significativas entre t1 y t2 para los reactivos 2 (p=0,026); 6 (p=0,019) y 7 (p=0,001) correspondientes a la dimensión I. **Conclusión/es** Las estrategias de autorregulación del aprendizaje expresadas por los estudiantes mostraron diferencias en términos de estrategias de planeación y control en los reactivos “respeto los horarios que establezco para estudiar en línea”, “preparo los materiales que necesito para estudiar en línea” y “estoy listo al inicio de cada curso”.

030
ID 228

PERCEPCIÓN DE ESTRÉS EN LA CARRERA DE ODONTOLOGÍA (UNRN) POR COVID 19.

*Gabriel Bove Visuara, Veronica Chafrat
Universidad Nacional de Rio negro, Escuela Odontología, Asignatura Morfofuncion 1y 2

Objetivo/s • Analizar el nivel de estrés percibido por estudiantes de Odontología, en el contexto de adecuación al aprendizaje virtual, impuesta por la emergencia sanitaria por SARS-CoV19.• Describir el nivel de estrés percibido por los estudiantes de Odontología de la UNRN en el contexto de pandemia.• Identificar los principales factores estresantes.• Comparar y analizar nivel de estrés percibido con el nivel de estrés prepandemia. **Materiales y Métodos** Para indagar en las fuentes percibidas de estrés por los estudiantes, se utilizó la versión modificada de 30 ítems del cuestionario de estrés en el ambiente dental (DES30) (Gardee, 1980; 12). Esta encuesta fue utilizada en determinaciones previas de estrés en estudiantes de la carrera de Odontología de la UNRN llevadas a cabo en el marco del PIN (23). Este instrumento consta de 30 ítems referidos a las fuentes percibidas de estrés, con una escala de Lickert de 4 puntos que califican a los ítems como: No es estresante, Ligeramente estresante. Moderamente estresante, Muy estresante. **Resultados** Los resultados de este trabajo constatan que el estrés académico en los estudiantes constituye un fenómeno generalizado en todos los años de la carrera. El nivel de estrés percibido por lo estudiantes odontología indagado a través de la DES durante el ASPO resultó con un valor promedio de 2,74 que indica un nivel de estrés moderadamente estresante. **Conclusión/es** Si bien la carrera de Odontología es estresante por sus características, durante la pandemia el Nivel Estrés percibido se vio aumentado, esto está totalmente relacionado por un lado por la incertidumbre de la pandemia y por otro lado por el cambio en el ambiente académico, de la modalidad presencial a la virtual, y si bien los estudiantes están familiarizados con las tecnologías no lo fue para la mayoría de los docentes. Esta falta de habilidades genero grandes dificultades pedagógicas.

031 ID 214

NIVELES DE CONDUCTA PROSOCIAL EN ESTUDIANTES DE LA CARRERA DE ODONTOLOGÍA

*Pablo Salgado[1,2,3], Patricia Pastorino[1], Mariana Toral[1], Jorge Aredes[4], Aldo Squassi[1,3]
1. Cátedra de Odontología Preventiva y Comunitaria. 2. Cátedra de Microbiología y Parasitología. 3. Instituto de Investigaciones en Salud Pública. 4. Cátedra de Odontología Integral del Adulto Mayor y Clínica de Prótesis Removible, FOUBA.

Objetivo/s Analizar los niveles de conducta prosocial de los estudiantes de la Carrera de Odontología. **Materiales y Métodos** *Tipo de estudio*: analítico observacional de corte transversal. La muestra estuvo constituida por 424 estudiantes de segundo a sexto año de la Facultad de Odontología de la Universidad de Buenos Aires, que se encontraban cursando las siguientes asignaturas: Clínica integrada I (3º año) , Epidemiología y Gestión de la Salud (4º año), Clínica Integrada V (5º año) y Articulación Docencia - Servicios de Salud (6º año). *Diseño del estudio*: se administró, en forma anónima y voluntaria, un cuestionario sociodemográfico y el instrumento "Escala de Conducta Prosocial" (ECP). Esta escala posee 15 ítems divididos en dos dimensiones: "Confortar" y "Ayudar". Se obtuvieron frecuencias absolutas y porcentuales, medidas de tendencia central y dispersión con un nivel de significación de $p< 0.05$. Se utilizó la prueba t de Student y ANOVA para estudiar las diferencias de los puntajes de acuerdo con el género y año de cursada, respectivamente. **Resultados** Los puntajes totales de conducta prosocial obtuvieron una media de 53,6 (DS= 8,8), que equivale al 59,6% del puntaje máximo posible (PT). La dimensión "Ayudar" presentó una media de 30,3 (DS= 5,6) (56,1% del PT), mientras que para la dimensión "Confortar" tuvo una media de 23,3 (DS= 4,1) (64,7% del PT). Los resultados por año de cursada fueron: 3º año: μ= 53,1 (DS= 9,2), 4º año: μ= 53,4 (DS= 7,4), 5º año: μ= 53,7(DS= 9,0), 6º año: μ= 54,4 (DS= 10,1). En el análisis por género, se observó mayor capacidad prosocial en género femenino (μ= 54,3 (DS= 8,7)) respecto al masculino (μ= 50,3 (DS= 8,5)) con diferencias estadísticamente significativas ($p<0,001$). No se observaron diferencias estadísticamente significativas en los puntajes totales entre los años de carrera ($p= 0,772$), ni con la situación laboral actual ($p=0,293$). **Conclusión/es** El instrumento utilizado permitió registrar niveles medios de conducta prosocial, con un valor superior para la dimensión "Confortar", respecto a la dimensión "Ayudar". Las mujeres presentar valores superiores en el puntaje total y sus dimensiones. No se registraron diferencias asociadas con la situación laboral ni con el estado de avance en la carrera.

032 ID 253

RELATO DE LA EXPERIENCIA SOBRE EL CURSO VIRTUAL: PRÁCTICAS BIOSEGURAS EN ODONTOLOGÍA EN TIEMPO DE COVID-19

*María Gabriela Scatena[1], Beatriz Castillo[2], Mónica Mabel Vera[3], Lidia Dora Martínez[1], Inés María Zorrilla[4], Mónica Girardi[5], María Alejandra Bojanich[5], Ignacio Capogrossi[6], Pablo Gigena[7], María Laura Irazuzta[8], Graciela del Valle Castillo[1].
1. Cátedra "B" Química Biológica. 2. Asesoría Pedagógica 3. Cátedra "B" Prostodoncia II. 4. Cátedra "A" Cirugía II. 5. Cátedra "B" Microbiología e Inmunología. 6. Cátedra "B" Anatomía Patológica. 7. Cátedra "B Odontopediatría. 8. Cátedra "B" Ortodoncia. Centro de Bioseguridad de la Facultad de Odontología-UNC

Objetivo/s Diseñar una estrategia pedagógica, en tiempos de Covid-19, para actualizar y concientizar en bioseguridad a la comunidad de la Facultad de Odontología (FO) de la Universidad Nacional de Córdoba (UNC). **Materiales y Métodos** El curso se desarrolló en el año 2021 a través del Campus Virtual de la UNC, fue obligatorio para estudiantes de 3°, 4° y 5° año, duración 20 h. Se estructuró en 4 módulos (M): 1-Introducción a la bioseguridad. 2-Protocolo de bioseguridad para prácticas preclínicas, clínicas y en laboratorio. 3-Protocolo de esterilización y desinfección de productos médico-odontológicos. 4-Gestión de los residuos odontológicos. Se acreditó con una autoevaluación estructurada por módulo. La elaboración de este relato de experiencia se obtuvo a través de un muestreo aleatorio simple de las respuestas de las preguntas abiertas de los módulos1, 2 y 4. **Resultados** De los 276 estudiantes que respondieron, un 14,5% (n=40) expresó no conocer los riesgos en la práctica clínica. El 38.8% (n=107) dijo saber cómo gestionar los riesgos; y el 46.7% restante (n=129) confunden los tipos riesgos. En el M2, n=492 (3°año: n=163, 4°año n=14, 5°año: n=188), valoraron la actualización y fundamentos de colocación y retiro del equipo de protección personal y características, tipos y selección de barbijos. Referido a las precauciones universales, valoraron la historia del lavado de manos y su importancia en la prevención de enfermedades; la limpieza del instrumental rotatorio y su purgado, la limpieza de los conductos de aspiración, aire, agua y jeringa triple**;** el respeto al tiempo entre pacientes, la ventilación adecuada del gabinete odontológico, la aerosolización, la clasificación de áreas según el nivel de riesgos, el manejo de residuos y lavado adecuado de la ropa de trabajo en el domicilio**.** En el M4, n=274, propusieron más capacitación y concientización sobre gestión de los residuos, aumentar el número de personal de limpieza, de bolsas para residuos, de recipientes rígidos y para líquidos peligrosos, y más infografía en las salas de práctico. **Conclusión/es** Los resultados de este curso muestran que la FO tiene que seguir implementando acciones tendientes a monitorear los niveles de apropiación de las normas de higiene y bioseguridad para que su enseñanza tenga una transversalidad plena a lo largo de la carrera.

033
ID 140

DESCONTAMINACIÓN DE LIMAS DE ENDODONCIA: IMPORTANCIA DEL LAVADO CON DETERGENTE ENZIMÁTICO

*Scatena María Gabriela[1], Socolovsky Javier Andrés[2], Azcurra Ana Isabel[1], Barembaum Silvina Ruth[2]
1-Cátedra "B" Química Biológica. Facultad de Odontología. UNC. 2-Cátedra "B" Introducción a la Física y Química Biológica. Facultad de Odontología. UNC

Objetivo/s Comparar la capacidad descontaminante del DE con respecto al detergente de uso doméstico (DUD) en limas de endodoncia **Materiales y Métodos** Las limas endodónticas (n=20, EUTELROCK serie ISO15-40) fueron colocadas en tubos con suspensiones de: *Escherichia coli* ATCC 25922 (*Ec*), *Staphylococcus aureus* ATCC 25923 (*Sa*) y *Candida albicans* ATCC 5314 (*Ca*) (1,0 escala de Mc Farland, RPMI 1640) e incubadas 24 h a 37 °C. Estas se colocaron en DE (Aniosyme Synergy-Anios, Argentina) o en DUD (Magistral) 5 ml/L o 1ml/L, 10 min), se enjuagó suavemente con agua estéril y se sumergió en caldo tioglicolato con indicador (48 h a 37 °C). Las muestras que mostraron desarrollo fueron sembradas (dil. $1:10^3$ - 10^5) en los medios de cultivos: Agar Levine EMB, Chapman y Agar Sabouraud glucosado respectivamente. Se utilizó como control positivo el mismo procedimiento, pero sin la etapa de lavado con DE. Los experimentos se realizaron por triplicado. Los datos fueron analizados por el test de t y ANOVA, $p \leq 0,05$. **Resultados** El lavado con DE mostró una marcada disminución en el desarrollo de los tres microorganismos (MO): *Ca*C/DE-*Ca*S/DE (p=0.011), *Ec*C/DE-*Ec*S/DE (p=0.017), *Sa*C/DE-*Sa*S/DE (p=0.043). Se observó mayor desarrollo de MO al lavar con el DUD respecto al DE ($p \leq 0.0001$). **Conclusión/es** El comportamiento de los MO en las limas muestra la capacidad de permanencia de los mismos en el instrumental, por lo que el lavado correcto, con DE, es fundamental para disminuir la carga microbiana. Esto demuestra la importancia de promover el uso del DE en las clínicas y/o consultorios odontológicos.

034
ID 201

PREVALENCIA DE TAURODONCIA, DILACERACIÓN Y ANALISIS DE ANGULACION DE 1º MOLAR SUPERIOR

*Maria Julia Carosi[1], Ailin Gomez[1], Alejandra Antoniuk[1], Florencia Arrigo[1], Stephanie Arario[1], Ariel Gualtieri[2], Sebastian Robledo[3], Diego Vazquez[1], Pablo Rodriguez[3].
1. Catedra de Diagnostico por Imágenes. 2. Catedra de Biofísica. 3. Catedra de Endodoncia. FOUBA

Objetivo/s Establecer la frecuencia de taurodoncia y dilaceración en 1º molares superiores y el grado de curvatura de los canales radiculares con dichas anomalías, mediante tomografía de pacientes concurrentes a la Cátedra de Diagnóstico por imágenes **Materiales y Métodos** Se realizó un estudio retrospectivo seleccionando 100 tomografías de haz cónico en pacientes de ambos sexos, que presentaran piezas 1.6 y 2.6 con ápice cerrado, sin patología pulpar, ni tratamiento endodóntico. Se registraron datos demográficos. Las variables analizadas fueron índice taurodóntico según Shifman y Chananel; grado de curvatura de los canales MV, DV y P en piezas con índice taurodóntico >20. Presencia/ausencia de dilaceración; grado de curvatura de la dilaceración. **Resultados** La edad de los pacientes estuvo entre 9 y 66 años, con mediana (Q1 - Q3) de 27 (18 - 38) y media (DE) de 29 (14). La distribución de pacientes según sexo fue, 63% femenino y 37% masculino. De los 200 dientes estudiados (1.6 + 2.6), según el índice taurodóntico se registraron las categorías (N, %, IC95): normal (N = 163; 82%; 95% CI: 76% to 86%); hipotaurodoncia (N = 32; 16%; 95% CI: 12% to 22%); mesotaurodoncia (N = 5; 3%; 95% CI: 1% to 6%). La dilaceración estuvo presente en 148 dientes (74%; IC95: 68% a 80%) y ausente en 52 (26%; IC95: 20% a 32%): esta diferencia fue significativa (Chi-cuadrado = 46,08; gl = 1; $p < 0,05$). El grado de curvatura MV con taurodoncia estuvo entre 16,05 y 74,74 grados, con mediana (Q1 - Q3) de 29,51 (23,20 - 37,48) y media (DE) de 32,21 (11,00). El grado de curvatura MV con dilaceración estuvo entre 14,94 y 126,77 grados, mediana (Q1 - Q3) de 34,99 (29,54 - 43,02) y media (DE) de 38,71 (17,19). **Conclusión/es** La tomografía de haz cónico permite visualizar la morfología tridimensional de cada conducto radicular y es un recurso necesario para el tratamiento de piezas taurodónticas y raíces con dilaceración en las que una angulación severa puede dificultar la terapéutica endodóntica y comprometer el resultado del tratamiento.

035
ID 315

ESTUDIO CON CBCT DE LA INSTRUMENTACIÓN DE PREMOLARES INFERIORES CON SISTEMAS MECANIZADOS

*Maria Cecilia Mugnolo, Jorge Alberdi, Analía Vacaflor, Soledad Gartner, Gabriela Berchialla, Gabriela Martin.
Carrera de especialización en endodoncia, UCC, Facultad de ciencias de la salud.

Objetivo/s Evaluar la superficie no instrumentada, en los tres tercios del conducto de premolares inferiores, instrumentados con los sistemas XP-Endo Shaper y WaveOne Gold, teniendo en cuenta la anatomía de los conductos. **Materiales y Métodos** Se seleccionaron 32 premolares inferiores con un solo conducto, los cuales fueron radiografiados en sentido ortorradial y proximal. Fueron identificados por su anatomía, como conductos estrechos desde coronario hacia apical (anatomía I) y aquellos más amplios en tercio coronario y estrechos hacia apical (anatomía Y). Luego de la apertura cameral y cateterismo, la muestra se dividió en dos grupos (n=16), teniendo en cuenta la anatomía y quedando conformado cada grupo con 8 conductos “I” y 8 “Y”. El grupo XP fue instrumentado con XP-Endo Shaper (FKG) y el grupo WOG con WaveOne Gold Primary (Dentsply). Todas las muestras se irrigaron con hipoclorito de sodio. Se tomaron 2 tomografías computadas de haz cónico (CBCT), una antes y otra después de la instrumentación, con tomógrafo Carestream CS 8100 3D. Las imágenes se analizaron tridimensionalmente con un Software Mimics Innovation Suite versión 16. Los resultados se analizaron estadísticamente con análisis de varianza ANOVA factorial univariante y el soft estadístico R-Medic. En todos los casos el nivel de significación fue del 5%. .**Resultados** Los conductos instrumentados con XP presentaron 28.84% de superficie no instrumentada (36.18% coronal, 23.68% medio y 20.62% apical); mientras que con WOG fue 43.81% en todo el conducto (45.92% coronal, 41.46% medio y 40% apical). Si bien, cuando se usó XP hubo menor porcentaje de superficie sin instrumentar, las diferencias no fueron estadísticamente significativas entre ambos sistemas ($p>0.05$). Sin embargo, las diferencias fueron significativas entre las anatomías Y e I, y entre los tres tercios del conducto ($p<0.01$). **Conclusión/es** Con ambos sistemas de instrumentación mecanizada, XP y WOG, se observó superficie no instrumentada en los conductos de premolares inferiores. El porcentaje de superficie no instrumentada fue mayor en los conductos con anatomía Y, amplios en tercio coronario, con cualquiera de los sistemas utilizados. Los conductos I, estrechos, instrumentados con XP mostraron el menor porcentaje de superficie no instrumentada en los 3 tercios del conducto.

036
ID 211

ESTUDIO DE INTERFAZ ADHESIVA ENTRE DENTINA RADICULAR Y CEMENTO DE RESINA AUTOADHESIVO.

*Marcela Roitman[1], Mariana Picca[2], Pablo Rodriguez[1], Ricardo Macchi[2].
1. Cátedra de Endodoncia. FOUBA. 2. Cátedra de Materiales Dentales. FOUBA.

Objetivo/s Evaluar el efecto de diferentes protocolos de irrigación previo a la fijación de postes de fibra con un cemento de resina autoadhesivo dual sobre la morfología de la interfaz con dentina radicular. **Materiales y Métodos** Se utilizaron 50 premolares inferiores humanos con tratamiento endodóntico. Las muestras fueron divididas aleatoriamente en 5 grupos según el protocolo de irrigación utilizado. G1: sin irrigación; para el resto de las muestras las soluciones irrigantes fueron activadas con un cepillo cónico a baja velocidad y se realizó un enjuague con agua destilada al finalizar. G2: agua destilada 60 s; G3: NaOCl 5,25% 15 s; G4: EDTA 17% 30 s + NaOCl 5,25% 15 s; G5: ácido poliacrílico 10% 15 s. La fijación de los postes Exacto (Angelus, Brasil)1 se realizó con Relyx U200 (3M, USA) marcado con rodamina. Se realizaron cortes representativos de cada tercio radicular. Las muestras fueron observadas con microscopio láser confocal Olympus LEXT OLS 4000 3D. Se tomaron microfotografías y la interfaz adhesiva fue analizada mediante el uso del Software Olympus LEXT OLS4100 Versión 3.1.1.1. Se realizó la siguiente categorización ordinal: 0: integración; 1: yuxtaposición; 2: presencia de pequeños espacios; 3: solución de continuidad, presencia de barro dentinario o material endodóntico interpuesto. Análisis estadístico: Prueba de chi cuadrado estableciendo el nivel de significación en $p<0,05$. **Resultados** Cat 3: 59 %; Cat 1: 33%; Cat 2: 6,5%; Cat 0: 1,34%. En los grupos 1, 2 y 4 se observó mayor porcentaje de muestras con score 3 sin diferencia estadísticamente significativa con los grupos 3 y 5. **Conclusión/es** La morfología de la interfaz adhesiva con dentina radicular no se encuentra influida por los diferentes protocolos de irrigación evaluados al fijar un poste de fibra con un cemento de resina autoadhesivo dual.

037
ID 222

INFLUENCIA DE LA ETIOLOGÍA SOBRE LA PREDICTIBILIDAD EN ENDODONCIA REGENERATIVA: META-ANÁLISIS

*Viviana Báez[1,2], Lorena Corcos[1], Antonella Sciarrota[1], María Pía Visconti[1], Ariel Félix Gualtieri[3]
1. Cátedra de Endodoncia, FOUBA. 2. Centro de Educación Médica e Investigaciones Clínicas CEMIC, Departamento de Odontología.3. Cátedra de Biofísica y Bioestadística. FOUBA

Objetivo/s El objetivo del presente trabajo fue analizar, mediante meta-análisis, la predictibilidad de los tratamientos de endodoncia regenerativa según la etiología de la necrosis pulpar. **Materiales y Métodos** Se implementaron búsquedas electrónicas en las bases de datos PubMed-MEDLINE, Scopus y Lilacs-BVS abarcando artículos entre 2008 y 2020, siguiendo los estándares de la declaración PRISMA para meta-análisis. El estudio incluyó 25 artículos, con un total de 545 tratamientos, 146 por caries o anomalías dentarias y 399 por traumatismos.Los datos fueron analizados utilizando el método de la inversa de la varianza. Se estimaron porcentajes globales con intervalos de confianza al 95% (IC95) empleando modelos de efectos fijos o aleatorios, según lo que correspondía. La heterogeneidad se evaluó mediante la prueba Q y el estadístico I^2. Para el análisis estadístico de sesgo de publicación se utilizaron las pruebas de Egger o Thompson, según lo que correspondía. $p<0,05$ fue considerado significativo. **Resultados** Cuando la etiología fue caries o anomalías, los porcentajes de intervenciones con aumento de espesor dentinario, aumento de longitud radicular y cierre apical fueron los siguientes, respectivamente: 78% (IC95: 69%-85%; Q=14, p=0,22; I^2=22%; sesgo: t=3, p<0,05), 80% (IC95: 69%-89%; Q=16, p=0,13; I^2=33%; sesgo: t=3, p<0,05) y 84% (IC95: 75%-90%; Q=9, p=0,42; I^2=2%; sesgo: t=-0,1, p=0,94). Cuando la etiología fue traumatismos, los porcentajes de intervenciones con aumento de espesor dentinario, aumento de longitud radicular y cierre apical fueron los siguientes, respectivamente: 54% (IC95: 45%-63%; Q=44, p<0,05; I^2=55%; sesgo: t=0,33, p=0,74), 51% (IC95: 42%-60%; Q=45, p<0,05; I^2=56%; sesgo: t=-1, p=0,17) y 67% (IC95: 60%-73%; Q=25, p=0,09; I^2=32%; sesgo: t=-1, p=0,23). **Conclusión/es** Los resultados obtenidos sugieren que la heterogeneidad dentro de los estudios evaluados es baja o moderada, encontrándose en el grupo de traumatismos, menor heterogeneidad y menor riesgo de sesgo. El desarrollo radicular logrado en tratamientos de endodoncia regenerativa sería más desfavorable para los casos con etiología por traumatismos que para los casos de etiología por caries o anomalías.

038
ID 287

EL POLIMORFISMO GENÉTICO EN NOS2 CONTRIBUYE AL DOLOR POSTOPERATORIO EN PACIENTES ENDODÓNTICOS

*Leonardo Santos Antunes, Ludmila Silva Guimarães, Fernanda Garcias Hespanhol, Erlange Andrade Borges da Silva, Vania Gomes Moraes, Lívia Azeredo Alves Antunes
Universidad Federal Fluminense, Programa de Posgrado en Odontología

Objetivo/s El dolor postoperatorio es una de las complicaciones más frecuentes del tratamiento endodóntico. Los factores genéticos pueden estar asociados con la biomodulación del dolor postoperatorio. Este estudio tuvo como objetivo investigar si los polimorfismos genéticos en óxido nítrico sintasas 2 (NOS2) y proteína supresora de la señalización por citocinas-1 (SOCS1) pueden contribuir al dolor posoperatorio en pacientes brasileños. **Materiales y Métodos** Se incluyeron 106 pacientes con dientes uniradiculares diagnosticados con necrosis pulpar y periodontitis apical asintomática antes del tratamiento endodóntico. El tratamiento de endodoncia se realizó en una sola sesión utilizando un protocolo estandarizado. El dolor posoperatorio/dolor posterior al estímulo se evaluó mediante una escala analógica visual (EAV) (registrada todos los días durante 7 días, luego los días 14 y 30 después del tratamiento de conducto). El ADN genómico se extrajo de la saliva y se utilizó para el genotipado de NOS2 (rs2779249 y rs2297518) y SOCS1 (rs243327 y rs33977706) mediante reacciones en cadena de la polimerasa (RCP) en tiempo real. Los genotipos fueron comparados por Regresión de Poisson Univariada y Multivariada por Ecuaciones de Estimación Generalizada (EEG). Se calculó la razón de prevalencia y el intervalo de confianza del 95% (IC del 95%). El equilibrio de Hardy-Weinberg se evaluó mediante la prueba de chi-cuadrado de Pearson dentro de cada polimorfismo genético. El nivel de significación se fijó en 0,05 ($p < 0,05$). **Resultados** Se incluyeron en el estudio un total de 108 pacientes. Los pacientes no se desviaron significativamente del equilibrio de Hardy-Weinberg. Los polimorfismos genéticos en NOS2 (rs2297518) se asociaron con dolor/dolor después de la estimulación y después del tratamiento endodóntico ($p < 0,05$). **Conclusión/es** Los datos del presente estudio sugieren que los polimorfismos en el gen NOS2 (rs2297518) influyen en la respuesta al dolor después del tratamiento endodóntico.

039
ID 356

EVALUACIÓN CON MICROTOMOGRAFÍA COMPUTADA DE VACÍOS EN LA OBTURACIÓN DE PREMOLARES INFERIORES

*Gabriela Martín[1], María Lorena Cabirta[2], Cecilia De Caso[1], Analía Vacaflor[1], Cecilia Mugnolo[1], Arnaldo Mangeaud[3], Soledad Salduna[1], Pablo Alejandro Rodriguez[2].
1. Universidad Católica de Córdoba, Facultad de Ciencias de la Salud, Carrera de Especialización en Endodoncia.2. Cátedra de Endodoncia, FOUBA.3. Universidad Católica de Córdoba. Facultad de Ciencias de la Salud. Departamento de Bioestadística y Metodología

Objetivo/s Estudiar el porcentaje del volumen de vacíos en premolares inferiores obturados con técnica de cono único y los selladores biocerámicos Ceraseal y BioRoot, y a base de resina AH Plus; en los tres tercios del conducto radicular. **Materiales y Métodos** Se seleccionaron 30 premolares inferiores, con un solo conducto; los cuales luego de la instrumentación e irrigación, fueron obturados con técnica de cono único. Se dividieron en 3 grupos (n=10), según el sellador utilizado: a base de resina AH Plus (AH; Dentsply DeTrey, Germany), biocerámico BioRoot RCS (BR; Septodont, France) y biocerámico Ceraseal (CS; Meta Biomed, Korea). La cavidad de acceso fue sellada con resina y los dientes fueron conservados en estufa a 37º C y humedad relativa del 100%, durante 180 días. Posteriormente, cada diente fue escaneado usando microtomógrafo (micro-CT) Bruker SkyScan 1272, con una resolución de 15 µm. Las imágenes fueron reconstruídas tridimensionalmente con el software Mimics Innovation Suite V.6. Para el análisis estadístico se utilizó el análisis de la varianza de un factor (Anova). Los datos fueron analizados con el software InfoStat Software (FCA-UNC, Córdoba, Argentina) con un nivel de significación establecido de 5%. **Resultados** El porcentaje promedio de volumen de vacíos en todo el conducto fue 0.72% con el sellador Ceraseal, 1.03% con BioRoot y 3.56% con AH Plus; con una diferencia estadísticamente significativa entre AH Plus respecto a BioRoot y Ceraseal (p=0.0123). En los tercios apical y medio no se observaron diferencias estadísticamente significativas entre los selladores; sin embargo, en el tercio coronario, el grupo AH Plus mostró diferencias significativas respecto a Ceraseal y BioRoot (p=0.0007). **Conclusión/es** Todos los selladores estudiados mostraron vacíos en la obturación de los conductos radiculares de premolares inferiores. En los tercios apical y medio, el porcentaje de volumen de vacíos fue similar en los tres selladores evaluados, excepto en el tercio coronario, donde los selladores biocerámicos evidenciaron menor cantidad de vacíos respecto de AH Plus, teniendo en cuenta que la técnica utilizada fue la de cono único.

040
ID 357

RESUMEN NO PRESENTADO

041
ID 354

TRANSPORTE Y CENTRICIDAD DE SISTEMAS MECANIZADOS ANALIZADOS CON MICROTOMOGRAFIA DE RAYOS X

*LiTing Lee[1], Maria Lorena Cabirta[1], Ariel Lenarduzzi[1], Maria Eugenia Santillan[1], Eugenia Miklaszewski[1], Paula Corominola[1], Pablo Andres Salgado[2], Pablo Martinez[1], Julia Carosi[3], Liliana Sierra[1], Pablo Alejandro Rodriguez[1].
1. Cátedra de Endodoncia.2. Cátedra de Microbiología y Parasitología. Instituto de Investigaciones en Salud Pública. 3. Cátedra de diagnóstico por imágenes. FOUBA

Objetivo/s El objetivo de este estudio fue comparar el transporte y centricidad entre dos sistemas mecanizados en la conformación de conductos radiculares ovalados utilizando microtomografía de rayos X. **Materiales y Métodos** Fueron seleccionados 30 segundos premolares superiores unirradiculares ovalados. A todas las muestras se les realizó un escaneo microtomográfíco de rayos X inicial (SkyScan 1272; Bruker-microCT) utilizando parámetros de adquisición para un tamaño de vóxel 19µm. Luego, fueron divididos aleatoriamente en dos grupos experimentales instrumentados con dos sistemas: GI: WOG (n:15) y GII: XP (n:15). Post-instrumentación, las muestras fueron escaneadas con los mismos parámetros de adquisición y reconstrucción para ser comparadas con el escaneo inicial. Se analizaron las siguientes variables para la totalidad del conducto: 1- Los centroides X (CX, mm), Y (CY, mm), y Z (CZ, mm). 2- La frecuencia del transporte dentro de cada grupo para cada eje (%). Para comparar si hubo transporte en la anatomía tras la instrumentación con WOG y XP se aplicó test de Student para muestras independientes. Se usó un nivel de significación para rechazar la hipótesis nula: $p<0.05$. **Resultados** Se encontraron diferencias estadísticas significativas entre los instrumentos probados. (x: $p=0.000$; y: $p=0.001$; z: $p=0.005$) Los valores arrojados fueron para el eje X: WOG -0.81±2.03 mm y XP 3.13±1.98 mm), para el eje Y: WOG 0.18±2.83 mm y XP 3.61±2.64 mm, y para el eje Z: WOG -1.6±2.67 mm y XP 0.28±0.79 mm. La frecuencia de transporte en el GI fue X: 83.4%, Y: 66.6%, Z: 66.6% y GII fueron 100% en los tres ejes para los dos sistemas ($p<0,001$) **Conclusión/es** Los resultados manifiestan que la instrumentación mecanizada con el sistema WaveOne Gold brinda una mayor conservación de la anatomía del conducto radicular con respecto al sistema XP endo Shaper, lo cual lo convierte en el sistema de elección para la conformación de conductos radiculares con anatomía ovalada.

042
ID 348

ESTUDIO ANATÓMICO DE CONDUCTOS MESIALES DE MOLARES INFERIORES CON MICROTOMOGRAFÍA COMPUTADA

*Valentin Mendoza[1], Gabriela Martin[1], Maria Lorena Cabirta[2], Noelia Tenaglia Chioli[1], Arnaldo Mangeaud[3], Pablo Alejandro Rodríguez[2].
1.Universidad Católica de Córdoba. Facultad de Ciencias de la Salud. Carrera de Especialización en Endodoncia. 2. Cátedra de Endodoncia, FOUBA. 3. Universidad Católica de Córdoba. Facultad de Ciencias de la Salud. Bioestadística y Metodología

Objetivo/s Comparar la anatomía de los conductos mesiales de molares inferiores, observada con radiovisiografías y micro CT según la clasificación de Vertucci. **Materiales y Métodos** Se seleccionaron 40 molares inferiores permanentes humanos, extraídos por razones ajenas a este estudio. Se cortó la corona a 2 mm por encima del límite amelo-cementario y se rectificó la apertura cameral. Se localizó la entrada de los conductos, bajo magnificación con microscopio operatorio a 10X (Newton MCE 6500, Newton SRL, Argentina) y se exploraron con lima K 10, hasta visualizar la punta de los instrumentos en el foramen apical. Se tomaron radiovisiografias en sentido proximal con radiovisiógrafo RVG 5200 (Carestream Dental Systems, Atlanta, GA, USA) y una exposición de 10 milisegundos. Se seleccionaron para este estudio, 21 molares que presentaron, durante la exploración y examen radiográfico, 2 entradas independientes en el piso de cámara pulpar y un solo foramen apical, correspondiendo a la configuración tipo II de Vertucci. Posteriormente, los dientes fueron escaneados con Microtomógrafo Bruker SkyScan 1272, con una resolución de 15 µm. Se efectuó la reconstrucción tridimensional de las imágenes con software Mimics Innovation Suite v.22. La configuración anatómica de los conductos observada en la radiovisiografías y micro-CT fue registrada en una planilla Excel. El análisis de los datos se realizó estimando el porcentaje de ocurrencia de cada tipo y realizando intervalos de confianza de este (según clasificación obtenida con micro-CT). Se utilizó el programa RMedic y la confianza utilizada fue del 95%. **Resultados** Con radiovisiografía, el 100% de los conductos mesiales fueron clasificados como tipo II de Vertucci. Con micro-CT, el 42.9% fueron clasificados como tipo I (IC: 21.7%-64.0%), el 38.1% como tipo II (IC: 17.3%-58,9%), mientras que tipo III, tipo IV y tipo VI obtuvieron cada uno un 4.8% (IC: 0.1%-13.9%). Una muestra no pudo ser clasificada según Vertucci y los conductos se identificaron según la clasificación de Ahmed/Versiani como 2-1-2-1. **Conclusión/es** Mientras que con radiovisiografías, se observó que el 100% de los conductos mesiales fueron clasificados como tipo II, según Vertucci; con micro-CT sólo el 38.1% coincidió con esta configuración.

043 ID 172

CONDUCTA DE LOS PACIENTES ANTE LA NECESIDAD DE ATENCIÓN PROSTODONTICA EN PANDEMIA

*PabloOctavio Loyola Gonzalez, Nelson Rugani, Elby Elizondo, Marcela Maurizio, Roberto Lujan, Cristina Escudero Cantcheff, Maria Silvia Oviedo, Stella Maris Peccoud, Cristian Bracamonte.
Universidad Nacional de Córdoba

Objetivo/s Conocer la necesidad de asistencia odontológica que tuvieron los pacientes que asisten a la Cátedra de Prostodoncia IV-B durante la pandemia; observar las estrategias adoptadas ante problemas protésicos; analizar el grado de conocimiento que tienen los pacientes sobre la salud bucal. **Materiales y Métodos** Se realizó una investigación observacional transversal utilizando como instrumento de recolección de datos una encuesta diseñada en función de los objetivos planteados, del tipo exploratoria, retrospectiva y evaluativa que fue respondida por 83 pacientes que asistieron a Prostodoncia IV-B de la Facultad de Odontología U.N.C. durante julio y agosto de 2021. Se realizó un análisis exploratorio y estratificado describiendo la muestra mediante las frecuencias absolutas y relativas (± error estándar) de cada ítem evaluado. **Resultados** El 55,4% ± 5,5% de los pacientes asistió a consultorios privados durante la pandemia por problemas protésicos (n=46), ninguno de ellos continuó el tratamiento debido a costos de rehabilitación. De 28 pacientes que ya tenían prótesis, el 34,4% ± 8,4% la adaptó o reparó mediante adhesivos de uso doméstico (n=11). El 41% ± 5,4% se automedicó por molestias o dolor relacionados a la prótesis (n=34). El 68,7% ± 5,1% de los consultados sabe que hay riesgos en la salud cuando discontinua el tratamiento (n=57). El 78,3% ± 4,6% reconoce que el único profesional capacitado para rehabilitar su boca es el odontólogo (n=65). El 84,3% ± 4,0% de los pacientes considera que se agravó su problema por no haber concurrido al odontólogo durante la pandemia (n=70). **Conclusión/es** Pudimos inferir la valoración de la atención odontológica oportuna por parte de los pacientes. Se evidenció que la carencia de la atención odontológica pública en pandemia agravó la problemática del paciente portador de prótesis generando falta de continuidad en los tratamientos protésicos e incrementando el uso de estrategias domésticas y la automedicación para solucionar los problemas relacionados al uso de prótesis. Este estudio nos permite extrapolar datos para incentivar políticas comunitarias acordes a contingencias sanitarias como así también concientizar a la población para evitar la automedicación, el uso de estrategias domésticas y la importancia en la continuidad de los tratamientos odontológicos.

044 ID 160

INTERVENCIONES EDUCATIVAS VIRTUALES: EFICACIA EN MÉDICOS PERCEPTIVOS DE SALUD BUCAL DE PVVS

*Miguel Angel Farias[1], Silvia Andrea Medici[2], Gabriel Antonio Sanchez[1,2]
1. Cátedra de Biofísica y Bioestadística, FOUBA.2. Clínica para la Atención de Pacientes de Alto Riesgo I (CLAPAR I).

Objetivo/s Estimar la eficacia de las intervenciones educativas virtuales en comparación con las presenciales a través de la variación de la percepción de la salud bucal de médicos que atienden a personas que viven con VIH/SIDA (PVVS). **Materiales y Métodos** Estudio antes y después en una muestra de conveniencia de 64 infectólogos de hospitales públicos de la Ciudad de Buenos Aires. En una escala tipo Likert de frecuencias se puntuó el cuestionario PPOH-HIV (Sánchez et al., 2014) a fin de evaluar la percepción de salud bucal. Antes y después de recibir aleatoriamente una sesión de capacitación educativa virtual (Grupo V, n = 32) o presencial (Grupo F, n = 32) sobre salud bucal, la percepción fue medida (%) considerando el cuestionario global y sus dominios por separado (D1=conocimiento de salud bucal; D2=experiencia personal con el cuidado de la salud bucal; D3=conocimiento de salud bucal relacionada con el VIH; D4=prácticas médicas relacionadas con la salud bucal). La intervención virtual consistió en un video asíncrono y la intervención presencial fue una clase magistral. Se utilizaron las pruebas de Ji2 y McNemar ($p < 0,05$) para comparar los grupos, y el coeficiente Kappa para determinar la concordancia entre las intervenciones para formar médicos altamente perceptivos. **Resultados** La edad (media ± SEM) fue de 36,1 ± 1,5 años para V y 35,7±1,5 años para F. La experiencia profesional fue de 6,3±1,2 años para V y 6,2±1,4 años para F ($p > 0,05$). Antes de la intervención la percepción en F fue: Global=72%, D1=75%, D2=72%, D3=74%, D4=67%, y después fue: Global=91%, D1=90%, D2=87 %, D3=93 %, D4=90 %. En V la percepción antes fue: Total 72%, D1=75%, D2=74%, D3=73%, D4=65%, y después fue: Total=91%, D1=92%, D2=88%, D3=94%, D4=91%. La percepción aumentó después de la intervención tanto para F (Ji2= 10,5, p=0,001) como para V (10,6, p=0,001), pero el aumento no fue significativamente diferente entre los grupos (Ji2= 0,01, p=0,92). Se encontró una concordancia sustancial entre los dos tipos de intervenciones (Kappa = 0,7). **Conclusión/es** Las intervenciones educativas virtuales son tan eficaces como las presenciales para formar médicos altamente perceptivos de la salud bucal de las PVVS. En esta población con alto riesgo de caries, esto podría fomentar la derivación médica temprana para la atención odontológica.

045
ID 220

CARIES OUT CÓRDOBA: MANEJO DE CARIES EN NIÑOS CON CARIESCARE INTERNATIONAL

*FPM Carletto-Körber[1], JA Oña[1], FR Vazquez[1], A Martin[1], EO Beltrán[2], A Cortes[2], GVA Douglas[3], JT Newton[4], NB Pitts[4], C Deery[5], S Martignon[2].
1. Universidad Nacional de Córdoba, Facultad de Odontología Odontopediatría "A". Argentina. 2. Universidad El Bosque, UNICA, Vicerrectoría de Investigaciones, Bogotá, Colombia. 3. University of Leeds, Dental Public Health, Leeds Dental Institute, Leeds, UK. 4. King's College London, Dental Innovation and Impact, Faculty of Dentistry, Oral and Craniofacial Sciences, London, UK. 5. University of Sheffield, School of Clinical Dentistry, Sheffield, UK

Objetivo/s Evaluar el manejo de caries mediante el abordaje CariesCare International (CCI), en niños de 3 a 8 años de Córdoba, como parte del ensayo multicéntrico intervencional del grupo Caries OUT, adaptado para la pandemia. **Materiales y Métodos** Participaron 24 niños de ambos sexos (edad promedio: 6,32 años), de instituciones pública y privada, bajo consentimiento y asentimiento informados y aprobación ética (FO-UNC-4275/2021). En línea base (T0), se aplicó la historia clínica incluyendo las cuatro dimensiones (D) de CCI; D1: determinación del riesgo de caries, incluyendo prácticas de dieta y de cepillado dental; D2: detección de lesiones de caries según severidad y actividad (ICDAS-combinado); D3: decisión y plan de atención a nivel de individuo y de superficies dentales; D4: desarrollo de manejo de caries en ambos niveles. Se reevaluó a 3, 8.5 y 12 meses (T1), (T2) y (T3) respectivamente. En T3 además se aplicó a padres un cuestionario sobre aceptación del abordaje (Inventario de Efectividad de Tratamiento). Se aplicó chi2 de Fisher ($\chi 2$), significación estadística $p<0.05$. **Resultados** En T0 la mayoría de los individuos se clasificó en riesgo alto 91,7%; n=22, disminuyendo significativamente en T3 a 33,3%; n=8 ($\chi 2$: p=6E-05). Se observó una disminución en la proporción de individuos con consumo diario mayor a 50 g de azúcares, en T0: 95,8%; n=23 a T3: 83,3%; n=20, así como individuos con mala higiene oral evidenciada con acúmulo de placa madura de T0: 41,7%; n=10 a T3: 33,3%; n=8, en ambos casos no resultó estadísticamente significativa ($\chi 2$: p=0,35 y p=0,77 respectivamente). La mayoría de los niños presentó lesiones de caries activas en T0: 83,3%; n=20, disminuyendo significativamente en T3 a 8,3%; n=2 ($\chi 2$: p=2E-07). Los padres mostraron alta aceptación de CCI (83,3%; n=20), reportando que actualmente cuentan con más información sobre el cuidado de la salud bucal. **Conclusión/es** Bajo las limitaciones del estudio a un año, el abordaje CCI en Caries OUT logró disminuir el riesgo de caries, mejorar prácticas de dieta e higiene oral y disminuir lesiones de caries activas en niños.

046
ID 307

USO DE TECNOLOGÍA MICROTOMOGRÁFICA PARA EVALUACIÓN DENSITOMÉTRICA DE MODELOS EX VIVO.

Fiorella Ventura[1,2], *Rocio Lazzati[1], Leonardo Jorge Nart[3], Aldo Squassi[1,2], Carlos Mendez[4],
1. Cátedra de Odontología Preventiva y Comunitaria. 2. Instituto de Investigaciones en Salud Pública. 3. Cátedra de Diagnóstico por Imágenes. 4. Cátedra de Farmacología. FOUBA

Objetivo/s Desarrollar y evaluar un dispositivo para el análisis de piezas dentarias en un equipo de microscopía 3D por rayos X con resolución a escala micrométrica (mCT) que permita la obtención de imágenes en dos tiempos, conservando un patrón de posicionamiento tridimensional exacto y reproducible. **Materiales y Métodos** Se diseñó un posicionador adaptado al equipo de mCT Bruker Skycan 1272, por impresión 3D utilizando el programa de diseño 3D Meshmixer y resina con alto grado de transluscencia. Se obtuvieron imágenes pre y post tratamiento de piezas dentarias a un nivel de resolución entre 1 y 10 micrómetros. **Resultados** El diseño e impresión 3D resultó en la obtención de un dispositivo posicionador adaptado al equipo basado en una resina de densidad electrónica similar a la del agua, que permite la toma de imágenes sin interferencia y manteniendo las piezas sumergidas en buffer de incubación durante todo el procedimiento. El uso de un equipo de mCT permitió obtener imágenes a una resolución espacial de un espesor mínimo de 0,35 mm (bajo condiciones de máxima magnificación y filtro) que admiten la evaluación por comparación pre y post de la densidad mineral, además de la integración de una imagen tridimensional por retroproyección que permite una significativa mejora en la evaluación de la eficacia del tratamiento aplicado. **Conclusión/es** La tomografía ex vivo de piezas dentarias habilita la realización de análisis morfométricos e histomorfométricos de alta resolución de las estructuras mineralizadas a fines de evaluar la eficacia de tratamientos sin necesidad de seccionar la pieza y manteniendo las características de la lesión inicial. La tecnología 3D permite la digitalización y producción rápida y a bajo costo de posicionadores para el procedimiento de toma de imágenes sucesivas con elevado grado de reproducibilidad espacial.

047 ID 308

CARACTERIZACIÓN CLÍNICA Y SOCIODEMOGRÁFICA MEDIANTE LA UTILIZACIÓN DE UN SISTEMA INFORMÁTICO

*María Florencia Escalante Vila[1], Ana Laura Sorazabal[1,2], Tomas Tajes[1], Luciana D'Eramo[1,2], Pablo Salgado[1,2,3], Aldo Squassi[1,2]
1. Cátedra de Odontología Preventiva y Comunitaria. 2. Instituto de Investigaciones en Salud Pública. 3. Cátedra de Microbiología y Parasitología. FOUBA

Objetivo/s Describir las características sociodemográficas y el estado de salud bucal de los pacientes que fueron atendidos en el marco de la práctica clínica inicial de la carrera de Odontología mediante un sistema informático desarrollado específicamente. **Materiales y Métodos** Fueron incluidos pacientes que concurrieron a la asignatura Clínica Integrada I de la Carrera de Odontología de la Universidad de Buenos Aires, con historia clínica completa. El diagnóstico fue realizado por alumnos de grado bajo supervisión docente. Se registró el Índice de placa (IP) de Silness y Löe y el gingival (IG) de Löe y Silness. El estado periodontal se determinó mediante la evaluación del sangrado (SS) y profundidad al sondaje (PS). La presencia de lesiones de caries fue evaluada con criterios ICDAS II y se determinó el índice de necesidad de tratamiento de caries (INTC). Los datos fueron cargados en línea a un sistema informático desarrollado por el Observatorio Salud Bucal en Argentina del Instituto de Investigaciones en Salud Pública (IISAP) de la Universidad de Buenos Aires. **Resultados** Se incluyeron un total de 236 pacientes (edad media: 27±10 años; 58,9% mujeres). Las características sociodemográficas fueron: 37,7% sólo tiene cobertura de salud a través del sistema público; 33,9% mediante obra social; y 15,3% por prepaga. El 11,2% vive en situación de hacinamiento. El 84,7% es de nacionalidad argentina. El 70% posee nivel educativo universitario o terciario; 27% secundario y 3% primario. La auto-percepción del estado de salud fue en un 73,4% muy buena/buena; 21,4% neutra y 5,2% muy mala. Un 15,7% eran fumadores. El IP μ>1= 11,4%; IG μ>1= 7,6%; PS μ>30% sitios= 19,5%; SS μ>30% sitios= 7,6%. El INTC fue: 12,3% rango 0-2; 76,7% rango 3-6; 11% rango 7-14. 94,1% de los pacientes presentaban al menos una lesión de caries; 80,1% código 1/2; 87,7% código 3-6. **Conclusión/es** El sistema informático desarrollado permite registrar las características sociodemográficas y de estado bucal a nivel individual y exportar las variables para su procesamiento estadístico. La población bajo atención en una clínica de nivel inicial presenta baja vulnerabilidad social, bajos niveles de patología gingivoperiodontal y elevada prevalencia de caries con baja severidad.

048 ID 360

SALUD BUCAL DE UNA COMUNIDAD ESCOLAR DE CÓRDOBA CAPITAL EN 2019 Y 2022

*Pablo Cristian Gigena, Lila Susana Cornejo, Camila Giraudo, Alejandro Marengo, Verónica Cano, Julieta Ziem, Nora Casanovas, Verónica Vera, Mónica Franchisena, Andrea Fernandez, Fabián Ponce, Marcela Inés Bella.
Facultad de Odontología, UNC

Objetivo/s Analizar la situación de salud bucal de escolares de una comunidad educativa vulnerabilizada de la ciudad de Córdoba, en los períodos 2019 y 2022. **Materiales y Métodos** Se realizó un estudio transversal analítico de la condición de salud bucal de niños de 6 a 12 años, ambos sexos, que asistieron en los períodos lectivos 2019 (N: 76) y 2022 (N: 119) a la escuela María del Tránsito Cabanillas, presentaron consentimiento firmado por padres y asentimiento de los niños para participar. El examen clínico a cargo de 5 odontólogos calibrados (Kappa≥ 0,75), se llevó a cabo en la institución escolar, con tecnología simplificada, luz natural e instrumental de exploración. Se calcularon los índices: CPOD y ceod según criterios de la OMS, SIC y experiencia de caries. Se registró presencia de biopelícula, alteración gingival, oclusión y sus condiciones de riesgo, estado de ATM. Se calcularon frecuencias relativas, medidas de centralización y se estimaron diferencias significativas (test de Fisher y Student para variables categóricas y cuantitativas respectivamente). Protocolo aprobado del comité de Ética FO-UNC. **Resultados** En el año 2022 se observaron los siguientes cambios respecto al 2019 en los indicadores de salud bucal de los escolares. Incrementó: ceod: 1,53±1,96(2019)/2,57±2,92(2022) (p<0,003), CPOD, ceod+CPOD: 1,95±2,08(2019)/3,22±2,96(2022) (p<0,001) y SIC. Aumentó el porcentaje de escolares con experiencia de caries, con alteraciones en ATM (chasquido p<0,002), alteración de oclusión (p<0,001) y sus condiciones de riesgo. Se observó disminución porcentual de escolares sin experiencia de caries 32,89%(2019) 20,17%(2022) (p<0,062), libres de caries 42,11%(2019) 31,93%(2022) (p<0,170), biopelícula visible, inflamación gingival y lesión estomatológica (p<0,025). **Conclusión/es** La situación de salud bucal de los escolares se deterioró durante el contexto de pandemia, momento en el cual no hubo continuidad en los programas que se desarrollaban habitualmente en el ámbito escolar.

049
ID 208

EL PROCESO DE ACOMPAÑAR EN EL CUIDADO DE LA SALUD BUCAL

*Monica Gaiteri, Maria Natalia Copello, Solana Gonzalez, Cristian Steffanini, Viviana Freschi, Griselda Condis, Ana Salas.
Facultad de Odontología Rosario

Objetivo/s Caracterizar el proceso de Salud Enfermedad Atención Cuidados y su situación contextual de una población escolar bajo un programa de Promoción para la Salud Bucal. **Métodos** Estudio descriptivo longitudinal. Se seleccionaron 81 niños de 8 años de edad que participaron en el programa entre los años 2017-2019 en cuatro escuelas públicas de la ciudad de Rosario, cumpliendo con requerimientos éticos-legales. La evaluación clínica se realizó de acuerdo con los criterios de la OMS a cargo de dos examinadores calibrados (Kappa 0,85). Se utilizaron los Índices ceo, CPO d y s; O' Leary e Índice de Restauración (IR).Se aplicó fluoruro de sodio al 2%. Los datos socioculturales y socioeconómicos se obtuvieron mediante un cuestionario auto-administrado a las familias, en el año 2021. Procesamiento estadístico: Test de diferencias de proporciones. **Resultados** Al inicio del programa la prevalencia de caries fue de 64%. Se halló un aumento en la experiencia de caries en 2019 (p=0,049).La no experiencia de caries no presenta relación con la eficacia del cepillado (p=0,72).El IR aumenta en el año 2019 (p=0,001).En 2017 el promedio de superficies afectadas por caries fue de 1,69 y en 2019 de 1,71 (p=0,90). La edad promedio de los encuestados es de 40 años, el 39% alcanzó el nivel educativo secundario. La cobertura en salud está representada en los diferentes subsectores. El 54% de los padres tienen trabajo formal, no encontrándose asociación entre la población económicamente activa y la experiencia de caries en los escolares (p=0,47).Para el 80% de los encuestados el programa es considerado satisfactorio, resignificando la apropiación en el aumento de la frecuencia del cepillado. Manifiestan no tener dificultades para mantener la salud bucal, en tanto si presentan problemas en la accesibilidad al sistema de salud. Definen a la enfermedad caries en relación a signos que perciben. La utilidad del cepillado se significa en "limpieza" y "prevención"; en tanto la función del flúor en "Protección, Fortalece, Endurece". El 90% desconoce donde se encuentra el flúor. **Conclusión/es** Recibimos escolares con alta prevalencia de caries, el programa logró sostener la salud de los sin experiencia, viendo la necesidad de retrabajar la educación para la salud con la familia, dado la diferencia entre lo que dicen conocer y la realidad del proceso Salud Enfermedad Atención Cuidado de los escolares.

050
ID 264

ESTUDIO DE SUPERVIVENCIA DE STREPTOCOCCUS MUTANS EN UN TIPO DE FOMITE

*Celia Cutrera[1,2,3], Celina Cornejo[1,2,3], Aldo Squassi[1,3], Susana Molgatini[2,3], Laura Gliosca[2,3]
1.Cátedra de Odontología Preventiva y Comunitaria. 2.Cátedra de Microbiología y Parasitología. 3.Instituto de Investigaciones en Salud Pública

Objetivo/s Evaluar la supervivencia in-vitro de Streptococcus mutans en un tipo de fómite. **Materiales y Métodos** Se preparó el inóculo de una cepa de Streptococcus mutans ATCC 25175 (SM) crio preservadas a -20ºC. El inóculo se estandarizó en PBS buffer hasta obtener turbidez compatible al 0,5 de la escala de Mc Farland y se cuantificó, por recuento en placa con TYCSB agar. Se establecieron 5 tiempos de estudio T0-T4 con intervalos, entre ellos, de 30 minutos para establecer la supervivencia de SM. Se empleó como fómite: bloques plásticos, 3 por cada tiempo de estudio. Los que fueron descontaminados por inmersión en alcohol 70% v/v durante 10 minutos y secados en cabina de flujo laminar. La contaminación del fómite se realizó por inmersión en 100 ml de inóculo estandarizado durante 10 minutos, se extrajeron y se depositaron sobre placas de Petri estériles, hasta cumplir los tiempos propuestos. Cada uno de los 3 bloques fue eludido en 20 ml de PBS buffer y agitados en vortex durante 30 segundos. 100 ul de cada eluato fue sembrado por dispersión en TYCSB agar. Los cultivos se incubaron en anaerobiosis por 48 horas a 37°C. El recuento de colonias (UFC/ml) se realizó bajo lupa estereoscópica 50X. **Resultados** El recuento inicial de SM fue de 5,3X106 UFC/ml. Para cada tiempo de estudio se obtuvo, T0=3.25 X 104; T1=2.63X104, T2= 1.85 X 104 T3=1.93 X103 y T4=1.2X103. **Conclusión/es** Los Streptococcus mutans pueden permanecer viables sobre superficies plásticas por 2 hrs. Los bloques plásticos, presentes en las salas de juegos, podrían intervenir en procesos de transmisión de este microorganismo cariogénico.

051 ID 274

PREVALENCIA DE CARIES PROXIMALES EN PACIENTES DE ODONTOLOGÍA PREVENTIVA FOUNT

*Sandra Iturre. López Roxana, Rafael Páez, María Alejandra Granado, Victor Castillo, Abelardo Navarro
Cátedra de Odontología Preventiva de FOUNT.

Objetivo/s Las caries interproximales son las más difícil de diagnosticar, con frecuencia, no se puede detectar visualmente. Se necesitan pruebas complementarias para poder diagnosticarlas. La exploración complementaria habitual es una radiografía intraoral, aleta de mordida. Las caries en las superficies proximales muchas veces, permanece sin ser detectadas hasta que se extienden a la dentina. La detección temprana es importante, ya que cualquier progresión de la lesión puede detenerse mediante la aplicación de medidas preventivas efectivas. Objetivo: Determinar la prevalencia de caries proximales y clasificarlas según la Clasificación Radiográfica de caries en pacientes que concurrieron a Odontología Preventiva de FOUNT. **Materiales y Métodos** Se realizo un estudio descriptivo en una muestra de pacientes que concurrieron a Odontología Preventiva de FOUNT. Se efectúo un cuestionario referido a historia de dieta (momentos de azúcar), frecuencia de cepillado, si recibieron fluoruros tópicos, previo consentimiento informado. El examen clínico consistió en Indice de Placa de Löe y Silness, de Hemorragía de Mülleman, CPOD, CPOS según criterios diagnósticos OPS/OMS; el examen radiográfico se realizó con Radiografías de Aleta de Mordida. Posteriormente se clasificaron según la Clasificación Radiográfica de caries en E1, E2, D1, D2, D3. **Resultados** Fueron evaluados 59 pacientes con una edad media 24,46 (±9,46) el 66,1% femeninos, la Moda de frecuencia de cepillado 2, y de momento de azúcar de 5, C=2,52, P=1,25, O=3,52, D=7,16; C=3,37, P=6,1, O=5,1 S=14,29. Se observaron 118 radiografías de aleta de mordida encontrando según Clasificación Radiográfica de la caries E1=4, D1=5, D2=7; todas las clasificadas como E1 y D1 fueron un hallazgo radiográfico, no fueron diagnosticadas clínicamente. EL 81,25% de las caries fueron diagnosticadas en cara Distal de premolares. No se encontró diferencia significativa al asociar los momentos de azúcar con las lesiones proximales (prueba de t p=0,084). **Conclusión/es** Las radiografías de aleta de mordida demostraron ser una técnica complementaria efectiva en el diagnóstico temprano de lesiones cariosas interproximales.

052 ID 389

FLUOROSIS DENTAL: RELACIÓN CON LA CONCENTRACIÓN DE FLÚOR EN SALIVA EN ESCOLARES

* Silvia Marta Braschi, Marina Raquel Rocamundi, Agustín Joison, María Jorgelina Ulloque
Facultad de Ciencias de la Salud - Universidad Católica de Córdoba

Objetivo/s El propósito del presente estudio fue evaluar la relación existente entre la presencia de fluorosis dental y la concentración de flúor en saliva estimulada. **Materiales y Métodos** Se realizó un estudio analítico observacional de corte transversal en 97 niños, asistentes a la escuela Ángel Estrada de Serrezuela (Provincia de Córdoba), previa firma del consentimiento informado de sus padres. Los datos fueron obtenidos mediante observación directa con luz artificial, y secado de las piezas dentarias, por dos observadores. Se tomaron muestras de saliva estimulada (2 minutos) y se registraron caries (cantidad: índices CPOD y ceod/severidad: ICDAS) y fluorosis dental (índice Thylstrup y Fejerskov). El tratamiento estadístico se realizó con Excel, aplicando el coeficiente kappa (K) para la concordancia interobservador en el diagnóstico de fluorosis, el coeficiente de correlación de Pearson y test de Student para contrastar los datos. **Resultados** Se sometieron al examen 97 niños (edad: 7-13 años/media: 10,15; 60,52% de sexo femenino), la prevalencia de fluorosis de 52,38%%. La concordancia interobservador fue excelente (k=0,81), no existió correlación entre los índices de caries y fluorosis (Pearson -0,07/- 0,01/0,16). Con respecto a la concentración de flúor en saliva se encontraron diferencias significativas (p<0,05) entre los niños con fluorosis (0,45 ppm ±0,44) y sin fluorosis (0,25 ppm ±0,58), pero no se encontró correlación con el grado presentado (Pearson +0,19). **Conclusión/es** En grupo estudiado, se encontró una mayor concentración de flúor en saliva estimulada en niños con fluorosis.

053
ID 266

ESTANDARIZACIÓN DEL INÓCULO DE STREPTOCOCCUS MUTANS POR MEDIO DE CURVAS DE CRECIMIENTO

*Celia Cutrera[1], Celina Cornejo[1,2,3], Aldo Squassi[2,4], Susana Molgatini[1,4], Laura Gliosca[1,4]
1. Cátedra de Microbiología y Parasitología. 2. Cátedra de Odontología Preventiva y Comunitaria. 3. Cátedra de Microbiología y Parasitología. 4.Instituto de Investigaciones en Salud Pública

Objetivo/s Establecer el tiempo de desarrollo óptimo de Streptococcus mutans mediante curva de crecimiento por turbidimetría para la estandarización de inóculos. **Materiales y Métodos** Se utilizó una cepa de Streptococcus mutans ATCC 25175 (SM) crio preservada. El inóculo inicial se realizó a partir de una única colonia en TYSCB agar que fue repicada a caldo Todd Hewitt (TH) con glass-beads. Las condiciones de crecimiento incluyeron, incubación overnight en caldo TH con agitación a 200 rpm, 37°C en aerobiosis. El cultivo fue lavado y resuspendido en PBS buffer. El inóculo obtenido correspondió a 5.5 - 7.10 7 UFC/ml, con un OD(620 nm)= 0.01 - 0.02. 20 ul del cultivo se sembró por triplicado en 180 ul de TH caldo en microplacas de 96 pocillos en iguales condiciones de incubación. El crecimiento bacteriano se determinó por turbidimetría con lector Filter Max F3 a 620 nm. Las lecturas se realizaron cada 60 min durante 24 h. **Resultados** Los ensayos iniciaron la fase logarítmica de crecimiento a las 3 horas (OD= 0,019 DS=0,016). La fase de desaceleración inició a las 8 horas (OD=0,0768; DS 0,0095) y la fase estacionaria a las 11 horas (DO=0,0879; DS=0,0257). El tiempo de generación fue de G:4.2 minutos y la velocidad de crecimiento K: 13,57 generaciones/hora. El tiempo óptimo de crecimiento para S mutans se alcanzó a las 9 horas **Conclusión/es** En las condiciones de este estudio se pudo establecer la velocidad óptima de crecimiento de S.mutans. Los datos obtenidos permitirán establecer una dinámica reproducible para la estandarización del inóculo bacteriano.

054
ID 243

AUTOMEDICACIÓN EN TIEMPOS DE PANDEMIA DE PACIENTES QUE ASISTEN A PROSTODONCIA IVB

*Pablo Loyola González, Nelson Jesús Rugani, Stella Maris Peccoud, Elby Elizondo, MC Maurizio, Roberto Luján, Silvia Oviedo, CG Bracamonte, Cristina Escudero Cantcheff.
Cátedra de Prostodoncia IVB. Facultad de Odontología Universidad Nacional de Córdoba.

Objetivo/s Durante la pandemia el difícil acceso a los servicios de salud, las restricciones y la economía alterada hicieron que el paciente postergara la consulta odontológica y ante el dolor consumiera fármacos por decisión propia. A la cátedra Prostodoncia IV-B, Facultad de Odontología U.N.C los pacientes concurren para rehabilitar su boca mediante prótesis, pero no existe estudio sobre automedicación de esta población. Pretendemos: Conocer la actitud de los pacientes frente al dolor, verificar la existencia de automedicación y emprender acciones para concientizar a los pacientes. **Materiales y Métodos** Se realizó una investigación observacional, transversal, mediante una encuesta anónima y voluntaria a 84 pacientes que asistieron a Prostodoncia IVB en agosto de 2021.Participaron mayores de edad, de cualquier género; se excluyeron personas asistidas por terceros. La encuesta contuvo 16 preguntas sencillas. Previamente se calibró a los encuestadores y se asentaron los datos en planillas Excel. **Resultados** Describimos frecuencia absoluta (n),frecuencia relativa y error estándar (% ± EEp) de cada ítem evaluado. El 89%de los encuestados tuvo situaciones de dolor dental en pandemia (n=75).El 77,4% no pudo concurrir al odontólogo (n=65);de ellos el 60% consumió fármacos por decisión propia(n=39).Los fármacos adquiridos fueron:amoxicilina, ketorolac, paracetamol. De estas personas el 65,5%(n=55)reconoció que consumir medicamentos sin prescripción puede ocasionarle otros problemas de salud, pero ningún encuestado supo qué efectos realmente conlleva. La totalidad de los encuestados respondió que es necesaria la concientización de la población sobre los riesgos de esta práctica. **Conclusión/es** En tiempos de pandemia la mayoría de los pacientes no concurrió al odontólogo. Ante el dolor dental muchos decidieron consumir fármacos sin prescripción odontologica, siendo los más utilizados antibióticos y aines. Los pacientes desconocen los riesgos de la automedicación. Por ello implementamos acciones de concientización para evitar esta conducta del paciente que se extiende a familiares provocando hábitos de consumo de fármacos sin prescripción profesional. Debemos valorizar la consulta y educar a los pacientes sobre la importancia del diagnóstico profesional.

055 ID 266

ATENCIÓN ODONTOPEDIÁTRICA EN SERVICIO DE URGENCIAS Y C.O.I.N. (F.O.U.B.A) DURANTE PANDEMIA COVID-19

Mariana Bertolino, *Cynthia Baggini, Analìa Miño, Lucìa Babino
Cátedra Odontología Integral Niños. FOUBA.

Objetivo/s Analizar la atención odontopediátrica realizada en una comisión de la Cátedra de Odontología Integral Niños por libre demanda y compararla con la llevada a cabo en el Servicio de urgencias odontológicas y orientación de pacientes. **Materiales y Métodos** Se realizó un análisis retrospectivo, comparativo y observacional de los registros de los pacientes ingresados a la base de datos de la secretaría de la Cátedra, que fueron asistidos por docentes y alumnos de grado de una comisión y de los atendidos en el Servicio de urgencias por una docente de la cátedra. Se analizaron las variables sexo, edad y motivo de consulta utilizando test Chi 2, test exacto de Fisher y test de Welch. **Resultados** La muestra quedó conformada por pacientes de 0 a 16 años que concurrieron a la Cátedra desde julio a diciembre de 2020 (Grupo C) y los que concurrieron de enero a diciembre de 2020 al Servicio de urgencias. (Grupo G). Se brindó atención a 270 y 56 niños en C y G respectivamente. El 49% en C y el 14% en G fueron de sexo femenino ($p < 0,001$). Con respecto a la edad promedio se hallaron diferencias significativas entre C y G (8.1 y 9.32 años respectivamente), ($p = 0,012$). Los motivos de consulta en C fueron: primera vez (5,93%), recitación (61,48%), traumatismos (0,74%) y urgencias por dolor e infección (31,85%) mientras que en G fueron: 12,50%, 8,93%, 7,14% y 71,43% respectivamente. Se compararon los porcentajes de pacientes atendidos por cada motivo entre ambos lugares, C y G, observándose diferencias significativas ($p < 0,001$). **Conclusión/es** La cantidad de pacientes atendidos en la Cátedra Odontología Integral Niños casi quintuplicó los atendidos en el Servicio de Urgencias (FOUBA), siendo la edad media mayor en dicho servicio.

056 ID 146

ASIMILACIÓN DE CONOCIMIENTOS SOBRE PEEK (POLIETER-ETERCETONA) MEDIANTE TALLERES ON LINE

*Basal, R; Butler, T; Lazo, S; Escudero E; Spina M; Bentivenga, N; Pasoz, F; Borrillo, G; Amaro, E; Sararols, V.
Cátedra: Prótesis. Facultad de Odontología. UNLP.

Objetivo/s El objetivo general de este trabajo fue demostrar la efectividad de la modalidad virtual para el desarrollo de talleres destinados a la asimilación de los conocimientos sobre un material innovador en Implantología Oral como es el politer-etercetona (PEEK). **Materiales y Métodos** El diseño metodológico aplicado ha sido de tipo descriptivo y transversal, en 32 (N 32) alumnos de cuarto y quinto año de la carrera de odontología de la FOUNLP que participaron en un taller dictado bajo la modalidad on line. En dicho taller se enfatizó la enseñanza de las características físico- químicas y biológicas del PEEK utilizado para la elaboración de implantes dentarios. Se realizaron evaluaciones considerando cinco categorías: desaprobado (0-3), regular (4-5), bueno (6-7), distinguido (8-9), sobresaliente (10). La efectividad del recurso empleado se determinó comparando el rendimiento académico con los resultados obtenidos de evaluaciones realizadas a los estudiantes durante la realización de talleres afines de modo presencia, mediante la prueba estadística de Chi -cuadrado de Pearson, considerando como significativo el valor de $p<0.05$. **Resultados** Los resultados de la modalidad virtual fueron: 1 desaprobado (3%), 4 buenos (12,5%), 20 distinguidos (62%) y 7 sobresalientes (22%). Mientras que los participantes de talleres presenciales obtuvieron las siguientes notas: 2 desaprobados (6,25%), 3 buenos (9,3%), 21 distinguidos (65,6%) y sobresalientes 6 (18,75%). Habiendo utilizado la prueba estadística anteriormente mencionada, los datos obtenidos indicaron que no hubo asociación significativa entre los resultados de las evaluaciones y ambas modalidades (presencial y virtual), siendo $p= 0,70$. **Conclusión/es** El análisis de los resultados permite concluir que la modalidad virtual para la realización de talleres sobre Implantología Oral es efectiva, dado que no hubo diferencias significativas entre los grupos evaluados en forma presencial y virtual.

057
ID 092

ESTILOS DE APRENDIZAJE Y SU RELACIÓN CON EL RENDIMIENTO ACADÉMICO

*Tomas, Leandro Juan; Medina, María Mercedes; Tomas, Paula Mariela; Pollicina, Lilián Mónica; Felipe, Pablo Guillermo; Vijandi, Valeria Raquel; Polo, María Florencia; Murdolo, Paula Erika; Conte, Cecilia Paola.
Facultad de Odontología de la Universidad Nacional de La Plata

Objetivo/s Evaluar los estilos de aprendizaje y su relación con el rendimiento académico, en estudiantes de cuarto año de la FOUNLP. **Materiales y Métodos** La presente investigación es de tipo cuantitativa, correlacional, transversal analítica, estando la población conformada por 70 alumnos de odontología y durante el ciclo lectivo 2020. Se aplicó el cuestionario validado de Honey-Alonso para estilos de aprendizaje, diseñado para que el estudiante identifique su estilo preferido de aprendizaje, y promedio de calificaciones para conocer el rendimiento académico. Los datos fueron sometidos a estadística descriptiva e inferencial, utilizando el programa SPSS versión 26. Se generaron estadísticos descriptivos tales como las medidas de tendencia central y se realizó la prueba exacta de Fisher. Los aspectos éticos han sido considerados durante todas las etapas de la investigación, destacando la autonomía de los alumnos (consentimiento informado), confiablidad y veracidad de la información, asimismo se contó con la aprobación del Comité de Ética en Investigación de la FOUNLP. **Resultados** Sobre los principales resultados del estudio, en relación a las características de población, el 84,5% de los estudiantes tuvo entre 20 a 25 años, el 82,9% son de sexo femenino, el 98,6% son solteros, y el 57,1% no trabajan. En estilos de aprendizaje, considerando los porcentajes alcanzados por los estudiantes, predomina el aprendizaje reflexivo (80 %), seguido del teórico (75%), pragmático (66 %) y activo (57 %). El promedio general del rendimiento académico fue de 7,84, el 62,86% presentaron un rendimiento bueno, y el 37,14% un rendimiento distinguido. Al aplicar el Test exacto de Fisher a las variables estilos de aprendizaje y rendimiento académico los resultados fueron no significativos (P>0,05). **Conclusión/es** El rendimiento académico de los estudiantes de cuarto año fue principalmente bueno y distinguido. El estilo de aprendizaje predominante fue el reflexivo. No se encontró asociación estadísticamente significativa entre los cuatro estilos de aprendizaje estudiados y el rendimiento académico.

058
ID 246

DIETA, ESTILO DE VIDA Y SALUD BUCAL DEL ENTORNO FAMILIAR DE ESTUDIANTES DE ODONTOLOGÍA

*Karen Rhys, Sandaly Oliveira Da Silva de Pacheco, Evelyn Montes Chañi, Liberth Incahuanaco, Ismael Contreras, Fabio Pacheco.
Universidad Adventista del Plata. Cátedra de Investigación en Odontología

Objetivo/s Evaluar actitudes y conductas sobre salud bucal según tipo de dieta y estilo de vida del entorno familiar de estudiantes de odontología **Materiales y Métodos** Estudio descriptivo con 876 participantes del entorno familiar de estudiantes de odontología de una universidad privada de Entre Ríos, Argentina, invitados por redes sociales WhatsApp, Facebook e Instagram. Se utilizó el cuestionario de actitudes y conductas sobre la salud bucal (Hiroshima University-Dental Behavior Inventory-HU-DBI) y el Cuestionario de Hábitos de Vida Saludable (CHVS-29), ambos previamente validados y autoadministrados. El puntaje total para las actitudes y conductas sobre salud bucal varía de 0 a 12 y se considera un puntaje 8 como buenas actitudes y conductas. La evaluación del estilo de vida incluyó comportamientos y conductas relacionadas a la alimentación, actividad física, sueño, manejo del estrés, autocontrol, relacionamientos, controles de salud, religiosidad y los 29 ítems del CHVS-29 suman un puntaje total que puede variar de 0 a 116 puntos y a mayor puntaje mejor estilo de vida. Los datos obtenidos fueron analizados estadísticamente con el programa SPSS versión 20.0 para Windows. Para el análisis bivariado se utilizó las pruebas chi-cuadrado y t para muestras independientes con un nivel de confianza de 95% **Resultados** Edad promedio de participantes fue de 28,6 ± 13,5 años, predominando sexo femenino (61,64%) y nivel de educación superior (98,4%). Dieta omnívora tuvo prevalencia de 77,4% . Mujeres presentaron mejor puntaje de estilo de vida (63,5 ± 16,4) siendo estadísticamente significativa (p<0,001) la diferencia con varones (59,1 ± 15,1). Participantes con dietas vegetariana y ovo-lácteo-vegetariana presentaron mejor puntaje de estilo de vida 67,1 ± 16,2 (p<0,001) en comparación con los de dieta omnívora (60,3 ± 15,7). Participantes que consumían dieta omnívora presentaron regular a buena actitud de salud bucal con puntaje medio de 6,4 ± 1,9 (p<0,001) en comparación con los lacto-ovo-vegetarianos (5,77 ± 2,1) **Conclusión/es** Los participantes que consumen dietas vegetarianas y ovo-lacto-vegetarianas presentan mejor puntaje en el estilo de vida y los participantes que consumen dieta omnívora presentan mejores actitudes conductas con respecto a la salud bucal

059
ID 345

LEGISLACIÓN EN SALUD ORAL EN LA REPÚBLICA ARGENTINA

*Silvina Di Bastiano, Martín Zemel, Veronica Vanoni, Miguel Ricardo
Instituto en Investigaciones en Educación Superior Facultad de Odontología Universidad Nacional de La Plata

Objetivo/s Se propuso contribuir con la educación odontológica de los aspectos legales de la profesión a partir de un metaanálisis del andamiaje legal vigente relacionado con la salud oral en la República Argentina. **Métodos** Se realizó una investigación documental que indagó la legislación vinculada con la práctica odontológica y las políticas de salud gestadas durante los años 2009 y 2022. Se tomaron como variables “tipo de norma”; “año”; “dimensiones políticas”; “vigencia”; “aspectos jurídicos”. Se incluyeron solo normas publicadas en el Boletín Oficial de la República Argentina y cuyo alcance fuera en todo el territorio nacional. Además, se limitó a normas sancionadas entre los años 2009 y 2022. En el tratamiento estadístico se utilizó el programa IBM SPSS Statistics 27.0, con un intervalo de confianza (IC) del 95% y un margen de error del 5%, $p<0.05$. Finalmente, se realizó la categorización de los hallazgos y una triangulación metodológica. **Resultados** De las 177 normas halladas, el total de las mismas se encuentran vigentes, siendo (43; 24,3%) sancionadas durante los años 2009-2022. La distribución de las mismas fue: (1; 2,3%) leyes nacionales, (11; 25,6%) DNU, (22; 51,2%) resoluciones ministeriales, (9; 20,9%) otras. Del total, (14; 32,6%) comprendían normas vinculadas con la formulación de políticas de salud oral; (16; 37,2%) a cuestiones administrativas; (10; 23,3%) a aspectos legales; (3; 6,9%) a otras. Al categorizar las normas en relación con las políticas de salud, la distribución fue: (3; 21,4%) relacionadas con la creación de organismos de salud oral; (2;14,3%) a la creación de programas o planes de salud oral; (1; 7,2%) a la integración con otros programas nacionales; (6; 42,8%) a cuestiones vinculadas con la certificación de especialidades; (2; 14,3%) a los programas educativos nacionales. **Conclusión/es** A partir de la muestra procesada, se pudo concluir que fue significativa la tendencia a emanar políticas en salud vinculadas con el ejercicio de las orientaciones profesionales en Odontología, ($p<0.05$)

060
ID 344

RASGOS EMERGENTES DE ESTUDIOS EN BIOÉTICA Y EDUCACIÓN ODONTOLÓGICA

*Silvina Di Bastiano, Martín Zemel
Instituto en Investigaciones en Educación Superior Facultad de Odontología Universidad Nacional de La Plata

Objetivo/s El objetivo de este trabajo fue examinar el contenido de las publicaciones vinculadas con la Bioética en la Educación odontológica. **Materiales y Métodos** Se realizó una investigación documental que indagó la inclusión de la Bioética en la educación odontológica. Se tomaron como variables “país de la publicación”; “año”; “tipo de investigación”; “dimensiones educativas”; “aspectos bioéticos”. Se incluyeron solo artículos en español que estuvieran publicados en las bases de datos referencial Scielo, BVS, y Redalyc. Además, se limitó a publicaciones realizadas entre los años 2017 y 2022, comprendiendo una muestra de 7250 artículos. En el tratamiento estadístico se utilizó el programa IBM SPSS Statistics 27.0, con un intervalo de confianza (IC) del 95% y un margen de error del 5%, $p<0.05$, determinándose una muestra de 366 artículos seleccionados al azar. Finalmente, se realizó la categorización de los hallazgos y una triangulación metodológica. **Resultados** De los 366 artículos seleccionados, 285 (77,8%) sólo presentaron una mención a algún aspecto bioético, mientras que 17 (4,6%) plantearon aspectos bioéticos en estudiantes de posgrado; 14 (3,8%) en graduados; 50 (13,7%) desarrollaron la inclusión de la Bioética durante la formación académica. Al evaluar las categorías vinculadas con la formación universitaria, la distribución fue la siguiente: a) “Bioética en el currículum odontológico” = 22 (44%), b) “dilemas bioéticos” = 16 (32%), c) “conocimiento de estudiantes sobre Bioética odontológica” = 10 (20%); y d) otras categorías = 2 (4%). En relación con estas últimas, se observaron escasas publicaciones argentinas (12, 24%, $p<0.05$), correspondiendo: 5 (41,3%) a la categoría “a”, 4 (33,3%) a la “b”, y 3 (25%) a la “c”. **Conclusión/es** A partir de la muestra procesada, se pudo concluir que resultó significativo la proporción de publicaciones vinculadas con aspectos curriculares y prácticos de la Bioética, como también la escasa cantidad de publicaciones argentinas respecto de las variables estudiadas.

061
ID 176

CONDICIONES AMBIENTALES Y PLANIFICACIÓN DE ESTUDIO EN ESTUDIANTES DE ODONTOLOGÍA

*Basal, R, Laura Silvia Pilone, María Amelia Paleo, Melina Priscila Bander, Lisandro Astudillo, Silvina Suarez, Viviana Carmen Serrano, Sabrina Degaetano, Pablo Dorati.
Cátedra Biología. Facultad de Odontología. UNLP. Cátedra: Prótesis, Facultad de Odontología. UNLP.

Objetivo/s El objetivo de la presente investigación fue analizar las condiciones ambientales y planificación de estudio en estudiantes universitarios de Odontología. **Materiales y Métodos** Las actividades se centraron en una investigación cuantitativa, cuyo tipo de correlación fue descriptiva, observacional. La muestra estuvo compuesta por 107 estudiantes que cursan la primer año de la carrera de Odontología, quienes respondieron el Inventario de Hábitos de Estudio de Fernandez Pozar. Se estudiaron las marcaciones de los participantes respecto de las preguntas correspondientes al eje N° 1 con relación a los factores ambientales de estudio y al eje N° 2 sobre planificación de estudio . Las respuestas fueron analizadas a partir de la metodología establecida por el mencionado autor, quien clasifica en: mal, no satisfactorio, bien, normal y excelente, y se analizaron estadísticamente mediante la prueba de Chi-Cuadrado de Pearson. **Resultados** El análisis de las respuestas brindadas por los estudiantes muestra para el eje 1 que el 2,8% (3) clasifica mal, el 3,7% (4) no satisfactorio, el 30,8% (33) bien, el 48,5% (52) normal, y 14% (15) excelente. Mientras que para el eje 2, el 6,54% (7) clasifica mal, el 5,6% (6) no satisfactorio, el 31,8% (34) bien, el 52,3% (56) normales, en tanto el 3,7 % (4) excelente. El análisis estadístico reveló que no hubo asociación entre factores ambientales y planificación de estudio, siendo el valor de p>0,05. **Conclusión/es** A partir de los resultados obtenidos, se puede concluir que si bien un grupo destacado de los participantes poseen condiciones favorables de los hábitos de estudio analizados, hay otros estudiantes que deben revisar las condiciones ambientales y las técnicas de planificación de estudio.

062
ID 342

PLATAFORMAS DIGITALES EN CARRERAS DE ORTODONCIA FULL TIME E INTENSIVA I FOUBA

Alejandra Folco[1], Diego Vazquez[2], Marina Iglesias[1], Ezequiel Leone[1], Mahmood Ahmadi[1], *Janick Cavalieri[1]
1. Cátedra de Ortodoncia. 2. Cátedra de Diagnóstico por Imágenes. - FOUBA

Objetivo/s La formación del ortodoncista requiere acceder a nuevas tecnologías para almacenamiento de elementos de estudio, diagnóstico y planificar tratamientos. La incorporación de nuevas tecnologías representaría una dificultad que evaluaremos mediante la cuantificación de la adhesión de las modalidades de cursada Full Time e Intensiva I de los alumnos al uso de las plataformas digitales entre el 1 de junio y 15 de agosto de 2022. **Materiales y Métodos** Se incorporó el uso de AXIS UBA, una aplicación que administra y gestiona fotografías, radiografías, cefalometrías, archivos STL, PDFs, Historia Clínica digital, odontograma digital; el software Nemoceph de diagnóstico y planificación de tratamientos y la obtención de archivos STL producto del escaneo de pacientes. SE creó la Unidad de Diagnóstico Digital y Ortodoncia entre las Cátedras de Diagnóstico por Imágenes y Ortodoncia. Se dictaron clases de capacitación. Se cuantificó en planillas de Excel la incorporación a las plataformas de alumnos de la carrera Full Time (N=83) e Intensiva I (N=134), la cantidad de escaneos, pacientes cargados en el drive y estudios cefalométricos digitales. Se calcularon porcentajes de adhesión a las plataformas digitales. Se utilizó Chi cuadrado (Infostat). **Resultados** De 83 alumnos de Full Time, 58 adhirieron al Axis UBA, (70%) 11 a NemoStudio (13 %) 28 utilizaron el drive (34%). De la modalidad Intensiva I de 134, 47 adhirieron al Axis UBA (35%); 19 a NemoStudio (14%) y 53 utilizaron el drive (40%). El drive se utilizó para administración de 1979 imágenes y cefalometrías realizadas y exportadas. Los pacientes escaneados en modalidad FULL TIME fueron 65 y en INTENSIVA I, 55. Axis estadísticamente significativo (p< 0.0001). El resto no significativo. **Conclusión/es** Los alumnos de Full Time adhirieron más a Axis UBA que los de Intensiva I, posiblemente por que al concurrir durante 3 semanas al mes, la incentivación por parte de los docentes a incorporarse fue más frecuente ya que los alumnos de Intensiva I concurren 1 semana al mes. NemoStudio y uso del drive no presentaron diferencia significativa. Debe continuarse con la motivación para incentivar la incorporación de las nuevas tecnologías en el aprendizaje de la ortodoncia digital. Se agradece la colaboración de Federico Barri (BITE) y Carlos Cerletti (Dentalphotonet)

063
ID 343

CORRELACIÓN ENTRE MASTICACIÓN, APRENDIZAJE Y MEMORIA EN NIÑOS Y PRE ADOLESCENTES

*María Eugenia Mendez Bovio, Karen Rhys, Rosana Morelatto, Jorge Escandriolo Nackauzi
Universidad Adventista del Plata

Objetivo/s Correlacionar la masticación con el desarrollo cognitivo en niños y pre adolescentes. **Materiales y Métodos** Estudio observacional, descriptivo, transversal, no experimental, con muestreo no probabilístico. Población de estudio: niños de 3 años con dentición primaria completa a 10 años y pre adolescentes de entre 11 a 13 años que asistieron a escuelas primarias en Nogoyá y Libertador San Martín de la provincia de Entre Ríos en octubre de 2021. Muestra de 131 individuos. Completaron cuestionario validado: Cuestionario MAM (Masticación- Aprendizaje y Memoria) que analiza tipología alimentaria y evalúa desarrollo cognitivo. Cuestionario auto administrado, anónimo, voluntario, con firma de consentimiento informado por niños, preadolescentes y responsables directos. Trabajo aprobado por CIEIS de Universidad Adventista del Plata 16/21. **Resultados** 57,5% comían alimentos blandos y 69,9% alimentos procesados. 74,0% comió prioritariamente alimentos blandos de pequeños. 44,8% priorizaron alimentos blandos y procesados. 55,2% no obligaron a sus hijos a terminar la comida. 41,3% no comieron frutas y verduras crudas. 62,0% no obligaron a sus hijos a comer cuando no tenían hambre. 41,4% prefirieron comidas papillas para que comieran a mayor velocidad. Se interrelacionaron las preguntas y se realizaron pruebas de chi cuadrado en todas. 21,91% les costó concentrarse y eran los que más solían comprar comida blanda por delivery con el 53,42%. Asociación estadísticamente descriptiva (p=0,004). 15,06% empezaron a leer sin darse cuenta de que ya lo habían leído anteriormente y fueron los que más solían comprar comida procesada por delivery con el 46,53%, asociación estadísticamente significativa (p=0,02). Se encontró correlación entre las variables del estudio. **Conclusión/es** La masticación tiene influencia sobre las funciones cognitivas. Aquellas personas que se alimentaron de comidas blandas y/o procesadas acusan mayores déficits de concentración, necesidad de apoyo escolar extracurricular y deficiencia en las calificaciones, entre otros. Suponemos basados en la bibliografía que la íntima relación entre el centro generador de ritmo masticatorio y el hipocampo pueden explicar la imperiosa necesidad de una masticación enérgica para la mejor memoria de los niños y preadolescentes. Los profesionales de la salud deberían velar por la salud holística de los pacientes.

064
ID 221

DESNUTRICIÓN EN HIPOXIA Y RIGIDEZ ÓSEA. EFECTO DEL PROPRANOLOL Y DE LA REALIMENTACIÓN EN NORMOXIA.

*Alan Agüero Romero, Clarisa Bozzini, Patricia Pintos, Constanza Picasso, Patricia Boyer, Christian Lezón.
Cátedra de Fisiología FOUBA

Objetivo/s En estudios previos hemos evidenciado que la restricción crónica de alimento (RC) y la hipoxia (Hx) influencian negativamente al crecimiento corporal y a las propiedades biomecánicas óseas en ratas en desarrollo. El deterioro de la competencia mecánica ósea es el resultado, al menos en parte, de una hiperactividad simpática en nuestro modelo de estrés nutricional. Existe evidencia de que β-bloqueantes como el propranolol (P) incrementan la tasa de formación ósea y la resistencia ósea. El presente trabajo evalúa el grado de rigidez ósea alcanzado por ratas hipóxicas con restricción de alimento (HxRC), trasladadas a normoxia durante la realimentación, frente a la administración de propranolol. **Materiales y Métodos** Ratas fueron distribuidas en dos grupos al comenzar el estudio (T0): Nx (normoxia, 760 mmHg,) e Hx (hipoxia, 380mmHg, 23 h/d). Nx e Hx fueron divididos en 4 subgrupos cada uno según hayan recibido alimentación ad libitum (NxC y HxC) o restringida durante 4 semanas (NxRC y HxRC, 80% de ingesta de Nx y HxC, respectivamente) o P, 7mg/Kg/d ip, durante todo el periodo experimental (NxCP, HxCP, NxRCP y HxRCP). A partir de T4, los animales RC fueron realimentados en las mismas condiciones ambientales salvo un subgrupo de HxRC y de HxRCP que fueron realimentados en normoxia (HxRC-Nx y HxRCP-Nx). Se registró el crecimiento corporal y femoral. Mediante el test de flexión a tres puntos se evaluaron en fémur la resistencia a la fractura y la rigidez ósea. Los datos fueron analizados por ANOVA seguidos por test de Student-Neuman-Keuls. Se consideró diferencia significativa $p<0.05$. Los resultados son expresados como promedio ± ES. **Resultados** A T4, RC e Hx influenciaron negativamente al crecimiento corporal y a la rigidez ósea femoral siendo más evidente en HxRC ($p<0.05$). Estos parámetros fueron revertidos al valor de los respectivos controles luego de 8 semanas de realimentación (T12) tanto en Nx como en Hx. Propranolol optimizó la calidad ósea de los animales RC tanto en normoxia como en hipoxia. **Conclusión/es** La realimentación en normoxia permitió vencer los efectos negativos de la disminución de la pO2 en hipoxia y de esta forma se logró modificar el patrón de crecimiento hipóxico así como también revertir el deterioro de la rigidez ósea en nuestro modelo hipóxico de estrés nutricional, existiendo un efecto sinérgico frente a la administración de propranolol.

065
ID 249

CORRELACIÓN ENTRE ESTADIO DE MADURACIÓN DE LA SUTURA MEDIA PALATINA Y EDAD CRONOLÓGICA DEL PACIENTE.

*Stephanie Lisette Arario[1], Julieta Beraldi[1], María Eugenia Jones[1], Pablo Domingo Mengia[1], Constanza Chervaz[1], Roberto Aisenberg[1], Victoria Azcona[1], Teresita Cifuentes[1], Ailín Gómez[1], Pablo Andrés Salgado[2], Diego Jorge Vazquez[1].
1.Cátedra de Diagnóstico por imágenes, FOUBA.2. Cátedra de Odontología Preventiva y Comunitaria. Cátedra de Microbiología y Parasitología. FOUBA. Instituto de Investigaciones en Salud Pública. UBA

Objetivo/s Analizar el grado de maduración de la sutura media palatina (SMP), según la clasificación de Angelieri y correlacionarla con la edad del paciente en la población atendida en la Facultad de Odontología, UBA. **Materiales y Métodos** Se realizó un estudio retrospectivo, descriptivo y observacional en el que se incluyeron 50 pacientes de ambos sexos, atendidos en la Cátedra de Diagnóstico por Imágenes de la Facultad de Odontología - UBA, que presentaran tomografía computada de haz cónico en la que se observara desde espina nasal anterior hasta espina nasal posterior. Se registraron datos demográficos. Dos operadores calibrados exploraron el plano axial y registraron el grado de maduración de la SMP, según el método de Angelieri. Se agruparon las etapas A, B y C en las que se puede realizar una expansión tradicional, y las etapas D y E que requieren una expansión quirúrgica; para relacionarlas con la edad de los pacientes. Los pacientes fueron separados en grupos hasta 19 años; 20 a 24 años; 25 años o más. **Resultados** La edad de los pacientes estuvo entre 15 y 30 años, con una media de 21 años; ± 4,5. La distribución según sexo fue 64% femenino. El 62% de los pacientes se encuentran en etapas A, B y C y el 38% en etapas D y E. Cuando se correlacionó la edad con las etapas se observó una correlación del 0,469 (p<0,001). Al cruzar los grupos de edad con las etapas se observa que en el grupo hasta 19 años hay un 13% en etapas D-E, en el grupo 20 a 24 años 46,7% y en el grupo de 25 o más años 75% (p=0,002). **Conclusión/es** De acuerdo a los resultados obtenidos, aunque existe correlación entre grado de maduración de la SMP y edad cronológica del paciente como es esperado, hay un porcentaje de pacientes de edad avanzada en los que aún se detectan etapas en las que se puede intervenir mediante expansión tradicional, por lo tanto, la edad cronológica no es un dato concluyente para indicar la expansión asistida quirúrgicamente.

066
ID 203

BIOCOMPATIBILIDAD METABÓLICO-CELULAR DE OSTEOBLASTOS EN IMPLANTES DE TITANIO Y DE ZIRCONIA

*Germán Mirotti[1], Marisa Julia Sandoval[2], Pablo Hernan Cutini[2], Mario Sezin[1], Virginia Laura Massheimer Virginia Laura[2], Juan Carlos Ibañez[1].
1. Carrera de Especialización en Implantología Oral. Facultad de Medicina, Universidad Católica de Córdoba, Círculo Odontológico de Córdoba. 2. INBIOSUR, Universidad Nacional del Sur (UNS), CONICET, Departamento de Biología, Bioquímica y Farmacia, Bahía Blanca.

Objetivo/s Comparar la biocompatibilidad ósea entre implantes de titanio (Impl-Ti) y de zirconia (Impl- Zr) empleando cultivos de osteoblastos. **Métodos** Sobre 10 implantes de titanio y zirconia (marca Straumann y marca Tree-oss) se evaluó adhesión luego de 72 h de cultivo, viabilidad celular y actividad metabólica de la monocapa de OB, sobre la cual estaban dispuestos los implantes. Se seleccionaron los parámetros: actividad fosfatasa alcalina (FAL, ensayo espectrofotométrico); depósito de colágeno en matriz extracelular (tinción rojo sirio); mineralización de la matriz (tinción con rojo de alizarina) en tiempos de cultivos de 14 a 21 días. **Resultados** La adhesión celular a los Impl-Zr fue 2,7 veces mayor (p<0,01) respecto a los Impl-Ti (6400±350 vs 2400 ±205 cel/cm2, Impl-Zr vs Impl-Ti). Respecto de los Impl-Ti, se detectó reducción del 63% respecto al control en la actividad FAL (210±25,2 vs 76±8,4 UIx10-3/mg prot control vs Impl-Ti respectivamente, p<0,02); disminución del 30% en el depósito de colágeno (p<0,01) y reducción del 13% en la mineralización (p<0,02) de la matriz. En cambio, la presencia de los Impl-Zr no modificó la capacidad de los OB para mineralizar ni para secretar colágeno, observándose una leve disminución de la actividad FAL (12% vs control, p<0,05). Esto sugiere aletargamiento de la actividad osteoblástica en presencia de los Impl-Ti. Se evaluó si dicha alteración fuera transiente, luego de 14 días de cultivo se retiraron los implantes y a los 7 días se midió la actividad FAL en los OB de la monocapa. Los OB en contacto con los Impl-Ti recuperaron la actividad enzimática a nivel del control mientras que los OB que estuvieron en contacto con los Impl-Zr no solo recuperaron la actividad FAL sino que la incrementaron en un 75% respecto al control (p<0,01). **Conclusión/es** Se sugiere una mejor biocompatibilidad ósea de la zirconia respecto al titanio, lo que podría representar un beneficio para la oseointegración.

067 ID 278

ESTUDIO DESCRIPTIVO DE LA CONCAVIDAD LINGUAL Y SU RELEVANCIA EN IMPLANTOLOGÍA

*Julieta Beraldi[1], María Eugenia Jones[1], Pablo Domingo Mengia[1], Constanza Chervaz[1], Roberto Aisenberg[1], Teresita Cifuentes[1], Victoria Azcona[1], Stephanie Lisette Arario[1], Ailín Gómez[1], Pablo Andrés Salgado[2], Diego Jorge Vazquez[1].
1. Cátedra de Diagnóstico por imágenes. 2. Cátedra de Odontología Preventiva y Comunitaria, Cátedra de Microbiología y Parasitología. FOUBA. Instituto de Investigaciones en Salud Pública. UBA

Objetivo/s Describir la morfología de la concavidad lingual(CL) a nivel del primer molar mandibular y comparar dos formas de medición de la altura ósea disponible para colocación de implante inmediato. **Materiales y Métodos** Se realizó un estudio retrospectivo, descriptivo sobre 35 pacientes >18 años de ambos sexos, atendidos en la Cátedra de Diagnóstico por imágenes de la FOUBA, con CBCT mandibular posterior, con presencia de primer molar sin intervención quirúrgica en la región. Dos operadores calibrados clasificaron la CL según el criterio de Chan et. al (2011) en tipos C: longitud de base de la apófisis alveolar>longitud de la cresta; P: longitud base = longitud cresta; U: longitud base<longitud cresta. Realizaron 2 mediciones en mm de altura ósea disponible: Perpendicular (P) desde la cortical superior del conducto mandibular en forma perpendicular al plano horizontal. Oblicua (O) desde la cortical superior del conducto mandibular en forma oblicua hasta la proyección de la fosa central del molar en cortical de la cresta Para variables cualitativas se utilizaron frecuencia y porcentajes. Para las variables cuantitativas se calculó media, mediana y DS. Se compararon con análisis de varianza no paramétricos de Kruskal-Wallis y con pos hoc de Bonferroni. Para comparar y correlacionar las alturas P y O se aplicó coeficiente de correlación intraclase y correlación lineal de Pearson. **Resultados** Mediana de edad de los pacientes 25 años, mínimo 18 años y máximo 49 años. La distribución según sexo fue 57,1% masculino. La prevalencia de tipo de concavidad lingual para el sexo masculino fue C=57,1%, P=20,0%, U=22,9%. No se encontró diferencia significativa en la altura(mm) AB entre los tipos estudiados p=0,150, tampoco se encontró para ángulo de la concavidad p=0,309, ni para profundidad de la concavidad p=0,064. Media de distancia ápice-conducto =4,38±2,1mm. Al comparar las mediciones O y P, se observó una correlación intraclase de 0,992 con IC0984 a 0,996. La correlación de Pearson fue de 0,985 **Conclusión/es** Se aporta información del método de medición de altura ósea en la región de la CL a nivel del 1ºmolar mandibular, para evitar perforaciones de la cortical lingual.

068 ID 303

RESPUESTA MANDIBULAR AL CONSUMO DE ACEITE TERMO-OXIDADO. ESTUDIO EXPERIMENTAL EN RATAS EN CRECIMIENTO.

*Maria Eugenia Antona[1], Veronica Miksztowicz[1,2], Romina De Lucca[1], Lorena Cabirta[3], Maria Selene Martinez[4], Clarisa Bozzini[5], Andrea Ferreira Monteiro[1], Elisa Vanesa Macri[1], Silvia Maria Friedman[1].
1. Cátedra de Bioquímica General y Bucal. 2. Lab. Patología Cardiovascular Experimental e Hipertensión Arterial. BIOMED:UCA:CONICET. 3. Cátedra de Endodoncia. 4. Cátedra de Diagnóstico por Imágenes. 5. Cátedra de Fisiología. FOUBA

Objetivo/s Investigar el efecto de una dieta rica en aceite de girasol termooxidado (AGX) sobre los parámetros morfométricos, biomecánicos y la estructura trabecular del hueso interradicular del 1er molar de rata en crecimiento. **Materiales y Métodos** Ratas macho Wistar de 22±1 días (n=25) recibieron durante 8 semanas una de 3 dietas: 1) control (C); dieta comercial; 5% p/p grasa, 2) una dieta suplementada al 13% p/p con AG y 3) una dieta suplementada al 13% p/p con AGX. A tiempo final los animales se eutanasiaron y se obtuvieron las hemimandíbulas. El crecimiento mandibular se estimó por medidas morfométricas entre puntos anatómicos; las propiedades biomecánicas estructurales (carga en fractura (Wf), carga en rendimiento (Wy) y rigidez (Wydy)), se determinaron mediante el uso de una prueba de flexión de tres puntos (Instrom 4442) y, por microtomografía de rayos X se evaluó el hueso interradicular del 1er molar de la rata (Bruker Skyscan 1272). **Resultados** (Media±SD, ANOVA-SNK). El peso corporal final fue menor en ratas AGX en comparación con los grupos C y AG. El efecto deletéreo del AGX sobre el crecimiento mandibular fue más acentuado en la región posterior. La relación anterior/posterior (C=1.25±0.02a; AG= 1.27±0.02a y AGX=1.32±0.03b; p=0.004) indica que AGX indujo deformación mandibular. Las propiedades estructurales, Wf, Wy y Wydy de la mandíbula se vieron afectadas negativamente en ratas alimentadas con AG o AGX, respecto a C (p0.05), pero la rigidez ósea (Wy /dy) en AGX fue significativamente menor (p<0.01). El estudio microtomográfico del hueso interradicular del primer molar inferior mostró alteraciones en la microarquitectura; en AGX las trabéculas fueron más delgadas (3.9±0.3 vs. 4.9±0.5E-01mm, en menor número (2.5±0.3 vs. 3.4±0.5E+001) y con mayor separación entre las mismas (0.20±0.06 vs. 0.14±0.03E-02mm) respecto a C, (p<0.05). Los datos microtomográficos podrían explicar las alteraciones en el crecimiento y en las propiedades biomecánicas. **Conclusión/es** El efecto adverso del consumo de una dieta rica en AGX durante el crecimiento podría afectar los parámetros morfométricos, la biomecánica ósea (rigidez) y el desarrollo mandibulares.

069
ID 277

ANÁLISIS DE LA POSICIÓN TRIDIMENSIONAL DEL CONDUCTO MANDIBULAR MEDIANTE CBCT, EN PACIENTES DENTADOS

*Teresita Cifuentes[1], Julieta Beraldi[1], María Eugenia Jones[1], Pablo Domingo Mengia[1], Constanza Chervaz[1], Roberto Aisenberg[1], Victoria Azcona[1], Gonzalo Damián Heredia[2], Ailín Gómez[1], Pablo Andrés Salgado[2], Diego Jorge Vazquez[1].
1. Cátedra de Diagnóstico por imágenes. Cátedra de Cirugía y traumatología bucomaxilofacial I. 2. Cátedra de Odontología Preventiva y Comunitaria, Cátedra de Microbiología y Parasitología. FOUBA. Instituto de Investigaciones en Salud Pública. UBA

Objetivo/s Analizar la posición tridimensional del conducto mandibular, en relación a las superficies bucal y lingual del cuerpo mandibular, evaluando el espesor óseo en mediciones sobre tomografía computada de haz cónico. **Materiales y Métodos** Se realizó un estudio retrospectivo, descriptivo y observacional en el que se incluyeron 50 pacientes de ambos sexos, dentados, atendidos en la Cátedra de Diagnóstico por imágenes de la Facultad de Odontología - UBA, con tomografía computada de haz cónico que abarque desde foramen mentoniano hasta 1 cm por distal del segundo molar. Las imágenes se adquirieron con equipo Planmeca Promax® y se procesaron con software Romexis. Se registraron datos demográficos. Dos operadores calibrados realizaron la medición del espesor óseo desde el conducto mandibular hasta las corticales bucal y lingual en cuatro cortes paraaxiales: A) entre ambos premolares, B) entre 2ºPM-1ºM, C) entre 1ºM-2ºM D) cara distal de 2ºM. Los datos se registraron en un instrumento ad hoc. Análisis estadístico: se describieron las variables cuantitativas con media, mediana, mínimo y máximo. Se comparó el espesor óseo bucal y lingual en los cuatro puntos pareados con test de Student para muestras relacionadas. Para rechazar la hipótesis nula se utilizó un nivel de significación menor al 5%. **Resultados** La edad de los pacientes estuvo entre 18 y 66 años, con una mediana de 23 años. La distribución según sexo fue 56% femenino. Se encontró diferencia para los pares B, C y D $p<0,001$, siendo en B bucal= 4,3±1,3 y B lingual=2,9±2,3. C bucal= 5,7±1,6 y C lingual = 1,5±0,9. D bucal= 5,8±1,7 y D lingual= 1,7±0,8. **Conclusión/es** Con relación a las corticales bucal y lingual los resultados obtenidos indican que existe mayor volumen óseo entre el conducto mandibular y la superficie bucal del cuerpo mandibular en la región de molares.

070
ID 316

ESTUDIO DE PREVALENCIA DE OSTEONECROSIS DE MAXILAR EN UNA POBLACIÓN DE BARILOCHE

*Paola Giglio[1], Santiago Olguin[1], Andrés Anton[2], Marina Benes[2], Alejandro Alvarez[2], Alejandro Menan[2], Adriana Jaraj[3], Daniel Brandizzi[2,4].
1. Clínica de Extensión de Medicina Bucal del Círculo Odontológico Bariloche (COS). 2. Fundación INTECNUS: (Instituto de Tecnologías Nucleares para la Salud). 3. Cátedra de Estomatología de la Facultad de Odontología Universidad Nacional de Rosario. 4. Unidad de Medicina Bucal, División de Oncología del Departamento de Cirugía del Hospital de Clínicas "José de San Martin de la Universidad de Buenos Aires y Comisión Nacional de Energía Atómica (CNEA)

Objetivo/s El objetivo de este trabajo es estudiar la prevalencia de la osteonecrosis de los huesos maxilares asociado a medicación en una población en Bariloche, Río Negro Argentina" **Materiales y Métodos** Se estudiaron pacientes derivados a la Clínica de Extensión de Medicina Bucal del Círculo Odontológico Bariloche (COS) y Fundación INTECNUS: (Instituto de Tecnologías Nucleares para la Salud) entre marzo 2020 y agosto 2022. Todos los casos se realizaron historias clínicas y se les realizó un examen clínico bucal. Aquellos casos que era necesario para arribar a un diagnóstico se le practico estudios de laboratorio, imagenológicos y/o histopatológicos. Se incluyeron todos pacientes derivados con enfermedad bucal. Se excluyeron pacientes sin manifestación bucal. Se estudio la edad, la distribución por sexo, historias de enfermedad sistémica y medicación. Se consignó si la derivación era médica, odontológica o espontanea. Se realizó estadística descriptiva de la población estudiada **Resultados** Se estudiaron 46 pacientes, el 48 % (n=23) de los casos eran hombres y 52% (n=25). El promedio de edad fue 48 (DS 16) años con un rango de 5 a 86 años. El 18% (n=7) fueron diagnosticados como osteonecrosis de maxilar asociado a medicación. Con respecto a la derivación recibida solo 14% (n=7) fueron realizadas por prácticas odontológicas. **Conclusión/es** En este trabajo se estudió una población que fue derivada a dos centros de referencia de Medicina Bucal de Bariloche. El 18% (n=7) fueron osteonecrosis de maxilar asociado a medicación que llegan a la consulta por derivación médica. Todos estos casos evidencian antecedentes de extracciones realizadas por odontólogos sobre pacientes oncológicos con historia de drogas antiresortivas

071
ID 323

BIFURCACIÓN DEL CONDUCTO DENTARIO INFERIOR. ANÁLISIS CON TOMOGRAFÍA COMPUTADA CONE BEAM

*Mercedes Mabel Jorrat[1], Diego Esteban Agüero[1], Lourdes Mariana Simon[1], Luis Fernando Wuscovi[1], Maria Elena Lopez[2], Hugo Norberto Aragon[1].
Catedra de Radiología de la FOUNT (Fac. de Odontología de la UNT). 2. Catedra de Quimica Biologica de la FOUNT (Fac. de Odontologia de la UNT)

Objetivo/s Determinar la prevalencia de bifurcación del nervio dentario inferior en sector posterior derecho e izquierdo, en muestras de pacientes ambos sexos de la población de San Miguel de Tucumán **Materiales y Métodos** Se seleccionaron al azar 69 Tomografías Computarizadas Cone Beam de maxilar inferior sector posterior, de pacientes (edad: 26,78+-10,91) que asistieron al servicio de Diagnóstico por Imágenes de la FOUNT. Las imágenes fueron obtenidas con un equipo Sirona Orthophos XG 3D (Alemania), de 85 kV y 6 mA, tiempo de exposición de 18 segundos y reconstrucción de las imágenes con un tamaño de voxel 0,2 mm. La evaluación de las imágenes la realizó un radiólogo entrenado usando Software Galileos en los planos axial, panorámicos o paraxiales u oblicuos. Los criterios de evaluación fueron: 1) Presencia de bifurcación. 2) Sector derecho/izquierdo. 3) Sitio de bifurcación. 4) Dirección de la bifurcación. 5) Diámetro de la bifurcación (pequeño, grande y combinado). 6) Cantidad de bifurcaciones. (Resolución Comité Bioética FOUNT 365 - 019) Se utilizó el Test de Chi cuadrado y prevalencia. **Resultados** De 69 tomografías de pacientes (40 mujeres y 29 varones) se determinó Prevalencia de 1): bifurcación: 30,4% (20,3% femenino; 10,1% varones). 2) Sector: 11,6% lado derecho y 18,8% lado izquierdo. 3) Sitio de la bifurcación: Distal al tercer molar 11,6%, Distal a la raíz distal del tercer molar 5,8%, Mesial a la raíz mesial del tercer molar 4,3%, mesial al tercer molar 5,8%, mixto 2,9%. 4) Dirección de la bifurcación: 2,9% vestibular, 14,5% distal, 8,7% mesial y 4,3% en diferentes direcciones, El 11,6% en el lado derecho y 18,8% en el izquierdo. 5) Diámetro de la bifurcación: 5,8% grande, 18,8% pequeño y 5,8% combinado. 6) Cantidad de bifurcaciones: una 23,2%, dos 5,8% y tres 1,4%. Todos los análisis estadísticos fueron no significativos. ($p<0,05$) **Conclusión/es** La Tomografía Computarizada Cone Beam permite localizar la aparición de bifurcaciones y sus variantes, de importancia para la prevención de complicaciones quirúrgicas, cuya prevalencia no difiere según el lado del maxilar o género.

072
ID 306

INCIDENCIA DE LA PATOLOGÍA SINUSAL EN RELACIÓN CON LA PRESENCIA DE VARIACIONES ANATÓMICAS NASALES.

*Julieta Beraldi[1], María Eugenia Jones[1], Pablo Domingo Mengia[1], Roberto Aisenberg[1], Victoria Azcona[1], Matías De Luca[1], Solana Sanchis[1], Lorena Benítez[1], Ailín Gómez[1], Pablo Andrés Salgado[2], Diego Jorge Vazquez[1].
1. Cátedra de Diagnóstico por imágenes. 2. Cátedra de Odontología Preventiva y Comunitaria, Cátedra de Microbiología y Parasitología. FOUBA. Instituto de Investigaciones en Salud Pública. UBA

Objetivo/s Relacionar la presencia de variantes anatómicas del complejo osteomeatal con la presencia de patología sinusal. **Materiales y Métodos** Se realizó un estudio retrospectivo, descriptivo y observacional en el que se incluyó 50 imágenes de CBCT de seno maxilar adquiridas en la Cátedra de Diagnóstico por imágenes de la Facultad de Odontología, UBA. Criterios de exclusión: antecedentes de comunicación bucosinusal, regeneración ósea, tratamientos implantológicos y tratamientos endodónticos. Se registraron datos demográficos. Las imágenes fueron observadas en cortes coronales en corrimiento por dos operadores calibrados (Kappa=0,78) que registraron presencia o ausencia de A) patología sinusal; B) tabique desviado; C) cornetes bullosos; D) apófisis unciforme neumatizada; E) bullas etmoidales. Análisis estadístico: se describieron las variables cuantitativas con media, mediana, mínimo y máximo. Se comparó las variables A, B, C, D y E con la variable sexo utilizando test de Student para muestras independiente para la edad entres sexo y Test de chi cuadarado y prueba binomal exacta para evaluar las frecuencias y proporciones entre las variables y sexo. Para rechazar la hipótesis nula se utilizó un nivel de significación menor al 5%. **Resultados** La edad de los pacientes estuvo entre 14 y 75 años, con una media de 48 años; ± 18. La distribución según sexo fue 64 % femenino. La frecuencia de presencia de patología sinusal fue 38%, no habiendo diferencia significativa entre varones y mujeres ($p=0,190$). No se encontró diferencia significativa para las variables anatómicas B ($p=0,264$) y C ($p=0,246$) entre ambos sexos. Se encontró diferencia significativa entre sexos para las variables D: mujeres 3,1% y varones 33,3% ($p=0,003$) y E: mujeres 3,1% /y varones 22,2% ($p=0,03$), siendo más frecuente su presencia en varones. Al comparar la presencia de patología sinusal con presencia de variación anatómica, no se observaron diferencias estadísticas significativas en ningún caso ($p>0,05$). **Conclusión/es** El estudio presentado reveló diferencias en la presencia de variables anatómicas entre mujeres y varones y no evidenció una influencia significativa en la presencia de variación anatómica en relación a la patología sinusal.

073
ID 369

RELACIÓN ENTRE DISTANCIA FARÍNGEA SUPERIOR Y VOLUMEN DE VÍAS AÉREAS

*Ailín Gómez[1], Constanza Chervaz[1], Roberto Aisenberg[1], Julieta Beraldi[1], Teresita Cifuentes[1], Cristina Bevk[1], Jaqueline Lizeth Paitan Rodriguez[1], Victoria Elvira Quiroga[1], Leonardo Nart[1], Pablo Andrés Salgado[2], Diego Jorge Vazquez[1].
1. Cátedra de Diagnóstico por imágenes. 2. Cátedra de Odontología Preventiva y Comunitaria, Cátedra de Microbiología y Parasitología. FOUBA. Instituto de Investigaciones en Salud Pública. UBA

Objetivo/s Relacionar la distancia faríngea superior medida con el método de Mc. Namara con el volumen de la vía aérea calculado en tomografía computada de haz cónico (TCHC). **Materiales y Métodos** Se realizó un estudio que incluyó 50 pacientes atendidos en la Cátedra de Diagnóstico por Imágenes de la Facultad de Odontología - UBA, con telerradiografía de perfil y TCHC en la que se observara ambos maxilares y faringe completa. Se registraron datos demográficos. La edad de los pacientes estuvo entre 9 y 48 años, mediana= 17 años. La distribución según sexo fue 50,0% mujeres. Dos operadores calibrados (Kappa= 0,81) realizaron Cefalograma de Mc. Namara para determinar distancia faríngea superior y midieron el volumen de la vía aérea en TCHC, tomado desde la distancia faríngea superior hasta la distancia faríngea inferior. La muestra fue dividida en dos grupos, G1) hasta 11 años, integrado por 24,0% (12) de la muestra y G2) 12 años o más, 76% (38). El valor norma para distancia faríngea superior en G1=14 mm y en G2=17,4 mm. Estadística: se calcularon frecuencias y porcentajes, mediana y percentiles 25 y 75 con su desvío medio intercuartil. Para comparar los Obstruidos y permeables se usó test de Mann-Whitney. Para rechazar la hipótesis nula, el nivel de significación fue < 0,05. **Resultados** Se consideró como valores de corte para la distancia faríngea superior para G1 = 14mm y G2 = 17 mm. Para G1 la frecuencia de obstruidos fue 83,3% (10), y para G2 81,6 (31). Al comparar vías aéreas permeables con obstruidas la mediana de volumen fue para permeables 16,6 mm3 con desvío medio intercuartil = 5,2; para obstruido la mediana de volumen fue 10,4 mm3 con un desvío medio intercuartil = 2,7. Se encontró diferencia estadística significativa para el volumen entre vías aéreas permeables y obstruidas (p = 0,002). **Conclusión/es** Cuando la distancia faríngea superior indica que hay obstrucción de la vía aérea, según los valores norma de Mc. Namara, el volumen final de la vía aérea es significativamente menor que en los casos en que la vía aérea se encuentra permeable.

074
ID 335

INFLUENCIA DE POSICIÓN, LADO Y SEXO EN ANGULACIÓN DE CANINOS SUPERIORES RETENIDOS

*Luis Fernando Wuscovi[1], Diego Enrique Aguero[1], Hugo Norberto Aragón[1], Maria Elena Lopez[2].
1. Catedra de Radiología de la FOUNT (Facultad de Odontología de la UNT). 2. Cátedra de Química Biológica de la FOUNT (Facultad de Odontologia de la UNT)

Objetivo/s Determinar la influencia del sexo, posición y lado en los valores de las angulaciones de los caninos superiores en pacientes que presenten caninos superiores retenidos en San Miguel de Tucumán **Materiales y Métodos** En este estudio retrospectivo, a partir de 2045 registros radiográficos panorámicos (Fona XPan 3D) realizados entre 2018 y 2019 en el Servicio de Diagnóstico por Imágenes del Centro Odontológico de la Facultad de Odontología de la U. N.T., se seleccionaron 25 pacientes aplicando los criterios de inclusión y exclusión (pacientes con al menos 1 canino superior retenido, mayores de 13 años), 21 fueron de sexo femenino y 4 de sexo masculino. (Res. Comité Bioética FOUNT;365 - 019). Sobre las imágenes digitales obtenidas, con el programa Image Tool 3,0: 1) se realizaron las mediciones de ángulos externos, en grados, de los caninos superiores retenidos. 2) se determinaron las posiciones de los dientes retenidos (mesioangular, distoangular, horizontal, invertido y horizontal). 3) se investigó si había deferencias entre los valores de los ángulos externos de los caninos, con respecto al lado (derechos o izquierdo) como así también según la posición y el sexo (Prueba t). **Resultados** Con respecto a los valores de los ángulos externos de los caninos, la media X en grados en los pacientes de sexo masculino fue de 56,58 + 6,19 y en el sexo femenino fue de 58,98 + 5,90. No hubo diferencia según sexo, prueba t (p> 0,05) 2). El 91,3 % correspondió a caninos superiores retenidos en posición mesioangular (64,7 % son de sexo femenino y 26,5 % masculino). El 2,9 % distoangular, 2,9 % vertical y 2,9 % invertido, todos de sexo femenino. El 73,5 % fueron de sexo femenino y el 26,5 % de sexo masculino. Con respecto a los valores de la angulación para el 13 fueron X = 63,87º + 7,32 y para el 23 la X = 52,82º + 5,46. Entre estos valores no hubo diferencias significativas (p> 0,05). **Conclusión/es** En este estudio realizado en San Miguel de Tucumán, Argentina, los caninos superiores retenidos son más frecuentes en las mujeres que los varones, como así también la posición mesioangular, sin influir el lado.

075
ID 368

ANÁLISIS VOLUMÉTRICO DEL CONDUCTO NASOPALATINO EN CBCT MEDIANTE CT ANALYSER

*María Victoria Bielli, María Milagros Trigo Humarán, Alana Elizabeth Reynoso, Leonardo Jorge Nart, Stephanie Calvo, Diego Jorge Vazquez, Victoria Elvira Quiroga, Matias De Luca, Solanas Sanchis, Rocio Iturreria.
Cátedra de Diagnóstico por Imágenes, FOUBA.

Objetivo/s Determinar el volumen y superficie del conducto nasopalatino en tomografías de haz cónico de pacientes del Hospital Odontológico de la FOUBA. **Materiales y Métodos** Se recopilaron archivos de 26 pacientes en el rango etario de 8 a 34 años de ambos sexos que poseen tomografías de maxilar superior que concurrieron a la Cátedra de Diagnóstico por Imágenes de la FOUBA. Se utilizó el programa CT analyser ® para segmentar y medir volumen y superficie del conducto nasopalatino. Aplicando los criterios de exclusión e inclusión se confeccionó una planilla control con los datos obtenidos. Criterios de inclusión:-Tomografías de maxilar superior-Resolución de 200 micrómetros. Criterios de exclusión:-Adquisición de la imagen con artefacto o movimiento, con FoV que no abarque el complejo maxilar completo.-Pacientes con antecedentes de tratamiento ortopédico u ortodóncico, que hayan sufrido traumatismos o con patología.-Presencia de patologías, lesiones o trauma o restauraciones **Resultados** El volumen promedio de la muestra 48.96 mm3 siendo mayor en el sexo masculino (49.64 mm3) que en el femenino (48.46 mm3), siendo el valor máximo 114.91 mm3 y el mínimo 10.42 mm3. La superficie del CNP obtuvo un valor promedio de 117.67 mm2 siendo en el sexo masculino (125.76 mm2) mayor que en el femenino (111.74 mm2), con valores máximos de 211.93 mm2y mínimo de 48.51 mm2 **Conclusión/es** La tomografía de haz cónico ha sido una gran fuente de información sobre la anatomía bucal permitiéndonos el análisis multiplanar del interior del paciente. Con la utilización de softwares externos a los tomógrafos es posible complementar volumétricamente los análisis de las estructuras anatómicas.

076
ID 333

ANÁLISIS CON CBCT DEL TERCER MOLAR INFERIOR EN RELACIÓN AL CONDUCTO DENTARIO INFERIOR

*Diego Enrique Agüero[1], Lourdes Mariana Simon[1], Luis Fernando Wuscovi[1], Maria Elena Lopez[2], Graciela Norma Brito[1], Hugo Norberto Aragon[1].
1. Catedra de Radiología de la FOUNT (Facultad de Odontología de la UNT). 2. Cátedra de Química Biológica de la FOUNT (Facultad de Odontología de la UNT)

Objetivo/s Determinar la posición y relación del tercer molar inferior con el conducto dentario inferior en tomografías computadas Cone Beam de jóvenes ambos sexos de la ciudad de San Miguel de Tucumán **Materiales y Métodos** Se seleccionaron por muestreo aleatorio simple transversal, 70 Tomografías Computarizadas Cone Beam de terceros molares con indicación de extracción, de pacientes (edad: 26,85+-10,84) que asistieron al servicio de Diagnóstico por Imágenes de la FOUNT. Las imágenes fueron obtenidas con un equipo Sirona Orthophos XG 3D (Alemania), de 85 kV y 6 mA. La evaluación de las imágenes la realizo un radiólogo entrenado, usando un Software Galileos en los planos axial, panorámicos o paraxiales u oblicuos. Los criterios de evaluación fueron: 1) Posición de tercer molar inferior: a) mesioangulado b) horizontal c) distoangulado d) vertical e) transverso f) invertido. 2) Relación del dentario inferior con las raíces: a) por debajo del ápice b) vestibular c) lingual d) entre las raíces. 3) Profundidad de retención: a) erupcionado b) semiretenido c) retenido. 4) Número de raíces. Se utilizó Test de Chi cuadrado y ´prevalencia con un error alfa 5%. (Resolución Comité Bioética FOUNT 365 - 019). **Resultados** De 70 pacientes (41 mujeres y 29 varones) se determinó: 1),Posición del tercer molar: 52,9 % mesioangulares; 21,4 % horizontales; distoangular 1,4 %; verticales 21,4 % e Invertido 2,9 %. Hubo diferencias significativas con respecto al género (p0,05). No hubo diferencias significativas entre profundidad de retención y relación al dentario inferior, p>0,05.Las diferencias fueron encontradas en relación al género (p<0,05) **Conclusión/es** A partir de resultados de la muestra, se mostró una asociación entre la profundidad de retención de terceros molares y relación al dentario inferior con el género. Dicha variable se debería tener en cuenta en la planificación quirúrgica.

077
ID 116

EVALUACIÓN DEL ESTADO PERIODONTAL DE PACIENTES CON CÁNCER DE MAMA SOMETIDAS A TRATAMIENTO ANTIESTROGÉNICO

Balsamo Maria Fernanda, Jewtuchowicz Virginia, Hansen Alejandro, Blanco Villalba Marcelo, Bramajo Marina, *Brusca Maria Isabel.
FOUBA. Centro Médico Austral. Instituto de Investigaciones en Micología y Parasitología Médica (IMPAM) del departamento de Micología Parasitaria e Inmunología de la Facultad de Medicina de la Universidad de Buenos Aires

Objetivo/s Evaluar la influencia del Tamoxifeno en las patologías periodontales **Materiales y Métodos** Se realizó un estudio observacional de cohorte con control interno. Se utilizó una muestra no probabilística, conveniente. La población de estudio fueron 218 pacientes adultos inmunocompetentes. Se utilizó una muestra no probabilística, conveniente. Se incluyeron mujeres con cáncer de mama, que fueron divididas en dos grupos: aquellas que recibieron Tamoxifeno fueron el grupo experimental n=110 y aquellas que no lo recibieron constituyeron el grupo control n=108 . Todas las pacientes firmaron el consentimiento informado . Se midió en estadios y grados de la enfermedad con los registros convencionales(índice gingival, índice periodontal, hemorragia al sondaje, profundidad al sondaje, perdida de inserción, movilidad, lesiones de furcación)Se tomaron radiografías seriadas periapicales de ambos maxilares. Se realizo el análisis estadístico de los datos. La comparación de grupos se analizó con test de comparación de proporciones para variables cualitativas. La comparación del estado periodontal inicial y final se realizó a con test de MacNemar-Bowker para tablas PxP. **Resultados** Al comparar las proporciones entre los grupos con test de proporciones se observa significancia estadística en el estadío salud periodontal entre aquellos que tomaban Tamoxifeno con el grupo control. Se realiza la comparación del estado periodontal antes y luego de 2 años de seguimiento, en cada grupo para observar si existen cambio en los estados y esto fue posible realizarlo en el grupo medicado con Tamoxifeno y el grupo control dando ambos con el test de MacNemar-Bowker diferencias significativas entre ambos momentos de la medición con un p<0,001 **Conclusión/es** El Tamoxifeno mejora el estado periodontal preexistente a lo largo del tiempo de ingesta.

078
ID 175

DIAGNÓSTICO DE ENFERMEDAD PERIODONTAL MEDIANTE UN ESTUDIO CLÍNICO SIMPLIFICADO.

Gustavo Feser, *Patricia Glanzmann, Micaela Radica, Grimoldi Carla, Ernesto Radica, Esteban Rodolfo Funosas
Cátedra de Periodoncia. Facultad de Odontología. Universidad Nacional de Rosario. (UNR)

Objetivo/s Evaluar la capacidad diagnóstica de un examen clínico de variables periodontales en forma simplificada en comparación con los diseños de mediciones de variables periodontales clásicos. **Materiales y Métodos** Se tomaron 70 pacientes con enfermedad periodontal derivados del servicio de diagnóstico a la Cátedra de Periodoncia de la Facultad de Odontología UNR. La muestra estuvo conformada por 47% de varones y el 53% mujeres con una edad media de 54 años (DE±5,36). Las variables periodontales estudiadas fueron: Profundidad de Sondaje (PS), Nivel de Inserción (NI), Índice de Placa (IP) y Hemorragia al sondaje (HS). Las mediciones clínicas fueron tomadas por dos examinadores previamente calibrados. Cada paciente fue estudiado en primer lugar con una evaluación periodontal convencional (EPC), la que tomó todas las piezas dentarias a excepción de los terceros molares y en cuatro puntos sobre cada diente: mesial, distal, vestibular y palatina o lingual. Posteriormente se repitieron las mediciones de las variables periodontales, pero utilizando el diseño simplificado de evaluación clínica (EPS). El mismo consistió en recolectar idénticas variables periodontales, pero solamente en dos puntos estratégicos de cada pieza dentaria: mesio vestibular y distovestibular. Los datos fueron analizados por un test T de Student fijando el valor de p con un error menor al 5% para obtener significación estadística. **Resultados** El tiempo empleado para realizar las mediciones fue 29,17 (DE±3,68) minutos para EPC y 10,91 (DE±1,73) minutos para EPS. En referencia a la capacidad de diagnóstico y sensibilidad periodontal se demostró una correlación satisfactoria entre ambos métodos (R=0,9539). **Conclusión/es** EPC y EPS no arrojaron diferencias significativas en la determinación del diagnóstico clínico periodontal. EPS permite evaluar mayor cantidad de individuos por unidad de tiempo, lo que podría ser útil en estudios epidemiológicos que involucren cantidades numerosas de pacientes.

079
ID 210

PREVENCIÓN DEL DAÑO ASOCIADO A ENFERMEDAD PERIODONTAL POR ACCIÓN FARMACOLÓGICA DUAL EN EL SISTEMA ENDOCANNABINOIDE

*Sofia Allamprese, Julieta Rodas, Juan Carlos Elverdin, Javier Fernández Solari, Cesar Ángel Ossola
Cátedra de Fisiología, FOUBA

Objetivo/s La periodontitis (PE) es una infección bucal progresiva que produce el deterioro de los tejidos de protección e inserción dentaria debido a los productos nocivos liberados por bacterias, así como también por la respuesta inmuno-inflamatoria del hospedador. En trabajos previos, hemos demostrado que la aplicación de agonistas de los receptores endógenos de cannabinoides previene el deterioro tisular causado por la periodontitis experimental, mientras que la aplicación de antagonistas lo exacerba. El objetivo de este trabajo es estudiar el efecto de la aplicación de araquidonoil serotonina (AA-5-HT), un agente con acción dual, inhibidor de la enzima amido hidrolasa de ácidos grasos (responsable de la degradación del endocannabinoide anandamida) y antagonista del receptor TRPV1 (asociado al dolor e inflamación). **Materiales y Métodos** Se utilizaron 18 ratas Wistar macho divididas en 3 grupos (n=7): 1) control (C), 2) periodontitis inducida por lipopolisacárido (LPS) y 3) periodontitis por LPS más tratamiento con AA-5-HT (LPS+AA-5-HT). La PE fue inducida mediante tres sesiones semanales (días 1, 3 y 5) de inyecciones de 20 µl de LPS de Escherichia coli (1 mg/ml de solución fisiológica) en la encía circundante a los primeros molares superiores e inferiores durante 6 semanas. El tratamiento consistió en aplicaciones de AA-5-HT (1 µg/ml) en las zonas donde se indujo la PE. Luego de la eutanasia, se evaluó la pérdida ósea alveolar macroscópica y la actividad de las metaloproteinasas de la matriz MMP2 y MMP9 en el tejido gingival por zimografía gelatinolítica, entre otros indicadores del daño gingivoperiodontal. Test estadístico: ANOVA de 1 vía. También se han realizado otras mediciones óseas. **Resultados** El tratamiento con AA-5-HT previno el incremento de la pérdida ósea alveolar ocasionado por LPS (C=4,16±0,27mm, LPS=4,87±0,36mm, LPS+AA-5-HT=3,71±0,16mm) ($p<0,01$ vs. LPS). En el tejido gingival, el nivel de actividad de las MMP2 Y MMP9 control (3207,05) fue incrementado por el LPS (16297,69) y resultó significativamente atenuado por AA-5-HT (5558,20). **Conclusión/es** El tratamiento de la PE basado en la aplicación tópica del agente de acción dual AA-5-HT previene la pérdida ósea alveolar y atenúa la inflamación en la encía circundante.

080
ID 241

CARACTERIZACIÓN CELULAR DE LA MEMBRANA DEL QUISTE DENTÍGERO

*Lucas Darrigran, Karina Alejandra Mayocchi, Nahuel Blasetti, Rubén Martín Mayocchi, Agustina Arcuri, Javier Gimenez, Marcelo Arcuri, Naomy Echeverría, María José Levalle, Karina Sirimarco, Marcela Molina.
Laboratorio de Biología Molecular y Biotecnología FOLP

Objetivo/s Estudiar los aspectos morfofuncionales y fenotípicos de células de membranas de quiste dentígero. **Materiales y Métodos** Se seleccionaron 6 pacientes del Hospital Odontologico FOLP, con diagnóstico imagenológico de quiste dentígero. Se realizó según protocolo colgajo y legrado para enuclear el quiste y exodoncia de la pieza dentaria retenida. Se tomó biopsia de la lesión la cual se dividió en dos partes: una conservada en formaldehído al 10 % para estudio histopatológico, y la segunda se derivó al Laboratorio de Biología Molecular y Biotecnología FOLP, donde se realizó explantes de la membrana quística para la técnica de cultivo y expansión celular. Para analizar las características morfológicas y comportamiento “in vitro” de las células quísticas se realizaron observaciones mediante microscopio invertido de contraste de fases (LeicaD1000). El aspecto morfológico se determinó mediante coloración de rutina H-E. **Resultados** Se observaron células con morfología fibroblástica en colonias clonogénicas, característica de células madre adultas. Los cultivos derivados de los explantos demoraron 14 días para alcanzar 80% de confluencia en todos los casos. La caracterización fenotípica de las células quísticas mediante citometría de flujo expresó marcadores CD73, CD90, CD105 y CD146 resultados similares a células madre mesenquimales de saco dental y pulpa dental. El resultado histopatológico arrojó hiperplasia irregular del epitelio e infiltración crónica activa en todos los quistes. Se observa en el espesor del estroma una cavidad de aspecto quístico, revestida por epitelio estratificado, correspondiente a quiste dentígero inflamatorio. Se observan neutrófilos, células plasmáticas, linfocitos, vasos sanguíneos, cristales de colesterol, cuerpos de Rushton, depósitos de hemosiderina y material de cuerpo extraño. **Conclusión/es** Se halló correlación morfofuncional entre las células Quísticas en cultivo y las Células Madre del saco periodontal, donde se observa una confluencia de células epiteliales similar en todos los casos.

081
ID 238

ESTUDIO CLÍNICO ALEATORIZADO DE ADMINISTRACIÓN DE ANTIBIÓTICOS PARA EXODONCIAS SIMPLES EN DIABÉTICOS

*Teresa Nuñez[1], Matias Garcia Blanco[1], Ariel Felix Gualtieri[2], Sebastian Ariel Puia[1].
1.Cirugía y Traumatología Bucomaxilofacial I, FOUBA. 2. Cátedra de Biofísica y Bioestadística, FOUBA.

Objetivo/s Comparar variables post quirúrgicas en extracciones simples de pacientes diabéticos controlados, administrando antibiótico o placebo. **Materiales y Métodos** Se atendieron pacientes diabéticos tipo 2 de junio de 2019 a Julio de 2022. Se realizó una aleatorización previa de la administración de amoxicilina, (Amixen, Laboratorio Bernabo, Argentina), o placebo. Previo a la cirugía se midió la glucemia, incluyendo casos con valores ≤180 mg/dl. Se evaluaron edad, genero, pieza a extraer, el tiempo de cirugía, dolor, el sangrado, el trismus, alveolitis, infección, cicatrización, alteraciones gástricas, y cantidad de analgésicos ingeridos. Se realizaron dos controles telefónicos a los 2 y 14 días, y un control presencial a los 7 días. Para comparar porcentajes se empleó la prueba exacta de Fisher, y datos numéricos mediante las pruebas t-Student agrupada o U de Mann-Whitney, con p<0,05. **Resultados** Se realizaron 20 extracciones en 20 pacientes. El análisis incluyó 9 mujeres y 10 hombres, con una edad entre 44 y 69 años (se excluyó una paciente con valor de glucemia elevado). El nivel de glucemia estuvo entre 75 mg/dl y 179 mg/dl (mediana = 168, media +/- DE = 145 +/- 38). Los pacientes medicados con amoxicilina y placebo fueron 8 y 11, respectivamente. No se registraron en ambos grupos casos de sangrado, trismus, alveolitis, ni infección. A los 2 días, solamente un paciente manifestó edema (prueba exacta de Fisher: p≈1). Los pacientes tomaron entre 0 y 8 comprimidos de analgésicos (mediana=2) (t=-0,32; p=0,76). La percepción de dolor VAS, estuvo entre 0 y 6, con una mediana de 3 (t=0,07; p=0,95). A los 7 días tres pacientes reportaron alteraciones gástricas (16%; IC95: 6% a 38%) (prueba exacta de Fisher: p≈1). A los 14 días tampoco se encontraron diferencias significativas entre ambos grupos. **Conclusión/es** Los resultados preliminares del estudio no pudieron encontrar diferencias significativas entre medicar con antibiótico o placebo para extracciones simples en pacientes diabéticos controlados. Un análisis con mayor tamaño muestral confirmará o no esta sugerencia estadística, de relevancia para la disminución de la resistencia bacteriana a los antibióticos.

082
ID 247

RECUPERACIÓN DEL HUESO ALVEOLAR RESORBIDO POR EFECTO DE LA PERIODONTITIS EXPERIMENTAL CON PTH 1-34 A BAJAS DOSIS.

*Marina Soledad Bonanno[1,2], Estefanía Magalí Zeni Coronel[1,3], Mariana Seijo[1], Nicolás Bidevich[4], María Eugenia Avendaño[5], Mariana Preliasco[4], Ricardo Davison[4], Susana Noemí Zeni[1].
1. Laboratorio de Osteopatías Metabólicas INIGEM/UBA-CONICET. 2. Cátedra de Histología y Embriología FOUBA. 3. Cátedra de Bioestadística FVetUBA. 4. Carrera de Odontología FNRN. 5. Diagnóstico por Imágenes I UNCuyo

Objetivo/s Previamente observamos que el tratamiento intermitente de PTH a bajas dosis, por corto tiempo disminuye la progresión de la enfermedad periodontal. Aunque, la dosis ensayada no regeneró totalmente el tejido periodontal, particularmente el hueso alveolar (HA) resorbido. Nuestro objetivo fue duplicar la dosis y comparar el efecto entre ambas sobre la recuperación del hueso alveolar perdido en un modelo experimental de periodontitis. **Materiales y Métodos** Se indujo periodontitis en 15 ratas Wistar hembras adultas mediante ligadura en el surco gingival del primer molar inferior, reemplazada semanalmente. A las 96 horas, se dividieron y trataron con: G1: solución salina (SS), G2 y G3 con 0,2 o 0,4 µg PTH/Kg/dosis 3 veces/semana. Un control (C) (n=5) sin ligadura recibió SS. A los 21 días, posteutanasia se extrajo suero para determinar PTH, CTX y osteocalcina (OCN) y se extrajeron hemimandíbulas (HM) y tibias (T) para histomorfometría (volumen óseo porcentual: BV/TB% y altura del espacio periodontal: AEP). **Resultados** (C, G1, G2 y G3. Media±DE, letras diferentes indican p<0.05) BV/TV% T 45.7±5.4; 41.3±5.4; 46.6±2.7; 44.1±3.0. BV/TV% HM 486±5.6b; 36.4±4.4a; 43.8±1.7ab; 48.7±6.5b. AEP (µm) 168.3±24.2a; 634.2±125.3c; 686.6±71.7c; 354.1±43.6b. CTX (pg/mL) 47.0±15.3a; 71.7±15.7b; 45.4±10.7a; 42.8±9.8a. OCN (ng/mL) 2.4±0.0a; 2.7±0.0c; 2.5±0.1a; 2.6±0.0b. PTH (pg/mL) 17.7±0.5; 16.7±1.2; 13.5±3.9; 13.7±3.5. PTH fue similar en todos los grupos. BV/TV% T sugiere que PTH no produjo efectos sistémicos. El remodelamiento aumentó por la inducción de periodontitis y el tratamiento con PTH disminuyó la resorción. BV/TV% HA fue similar en G2 y G1. OCN aumentó en G3 sin cambios en CTX; conjuntamente BV/TV% HA alcanzó el nivel de C y AEP mejoró notablemente. **Conclusión/es** La administración intermitente de PTH 1-34 en la mayor dosis ensayada disminuyó la progresión de la enfermedad periodontal sin generar efectos sistémicos. Si bien se requiere ampliar los estudios, los resultados sugieren que este tipo de tratamiento sería potencialmente exitoso para recuperar el HA perdido por efecto de la periodontitis.

083
ID 248

PREVALENCIA DE POSICIÓN DEL TERCER MOLAR MANDIBULAR IMPACTADO MEDIANTE TOMOGRAFÍA COMPUTADA DE HAZ CÓNICO.

*Julieta Beraldi[1], María Eugenia Jones[1], Pablo Domingo Mengia[1], Roberto Aisenberg[1], Constanza Chervaz[1], Victoria Azcona[1], Teresita Cifuentes[1], Stephanie Lisette Arario[1], Ailín Gómez[1], Pablo Andrés Salgado[2], Diego Jorge Vazquez[1].
1. Cátedra de Diagnóstico por imágenes, FOUBA. 2. Cátedra de Odontología Preventiva y Comunitaria y Cátedra de Microbiología y Parasitología. FOUBA. Instituto de Investigaciones en Salud Pública. UBA.

Objetivo/s Analizar las prevalencias de posiciones vertical, mesioangular, distoangular, horizontal, linguoversión, vestibuloversión e invertida del tercer molar mandibular, utilizando imágenes de tomografía computada de haz cónico (TCHC). **Materiales y Métodos** Se realizó un estudio retrospectivo, descriptivo y observacional en el que se incluyeron 73 pacientes, de ambos sexos, atendidos en la Cátedra de Diagnóstico por imágenes de la Facultad de Odontología UBA entra agosto de 2018 y agosto de 2022. Criterio de inclusión: pacientes que presentaron tomografía computada de haz cónico en la que se observó la presencia del tercer molar mandibular en distintos estadios de formación. Se estudiaron cortes axiales, coronales y sagitales en corrimiento. Se registró la posición del 3º molar mandibular según la clasificación de Winter: vertical, mesioangular, distoangular, horizontal, linguoversión, vestibuloversión e invertida. Criterio de exclusión: Pacientes que no presentaron tercer molar mandibular. **Resultados** La edad de los pacientes estuvo entre 15 y 56 años, con una media de 23 años; ± 7. La distribución según sexo fue 68% femenino. Cuando se correlacionó edad con sexo NO se observan diferencias estadísticas, Test de Student para muestras independientes: p=0,359. El 39,66% de las piezas evaluadas se encuentran en posición mesioanguar, el 34,48% vertical, 22,41% horizontal, 2,59% distoangular, 0,86% linguoversión. Al cruzar las variables lado (derecho o izquierdo) con posición, no se observaron diferencias significativas. Test de chi cuadradop=0,654. **Conclusión/es** Este estudio brinda datos de referencia sobre la prevalencia de posición del tercer molar mandibular basándose en la observación realizada en TCHC, información que es de utilidad ya que no se encontraron estudios al respecto realizados en la región, en la bibliografía consultada.

084
ID 250

EXPRESIÓN DEL RECEPTOR DE OXITOCINA EN TEJIDOS PERIDENTARIOS DE RATA Y HUMANOS.

*Ganna Dmytrenko[1], Andrea Ochotorena[2], Ricardo Orzuza[3], Ana Julia Ticchi[4], Andrea De Laurentiis[1,4].
1. Cátedra de Fisiología, FOUBA. 2. Universidad de Buenos Aires, Facultad de Odontología, Cátedra de Cirugía y Traumatología Bucomaxilofacial I. 3. Cátedra de Bioquímica, FOUBA. 4. Centro de Estudios Farmacológicos y Botánicos (UBA/CONICET)

Objetivo/s Previamente demostramos por la técnica de PCR la expresión del ARNm de receptor de oxitocina en el tejido gingival sano de rata y un aumento significativo de su expresión en un modelo de periodontitis experimental. Asimismo, la administración subcutánea de oxitocina produjo un efecto antiinflamatorio con disminución de la resorción ósea y los niveles de ARNm de factores proinflamatorios inducidos por la periodontitis experimental en rata. El objetivo de este trabajo fue determinar la expresión proteica del receptor en encías de ratas y realizar un estudio preliminar para evaluar la presencia del receptor de oxitocina en tejidos peridentarios humanos sanos e inflamados. **Materiales y Métodos** Se obtuvieron muestras de encía marginal del primer y segundo molar inferior de rata. Los tejidos peridentarios humanos fueron obtenidos durante las exodoncias de las piezas con indicación de extracción. Los pacientes firmaron consentimiento informado. Los tejidos analizados fueron: periodonto inflamado y encía marginal inflamada, proceso apical obtenido en el legrado del alvéolo y el tejido gingival sano del mismo paciente adherido a la pieza dental extraída, encía y periodonto sanos. Utilizamos la técnica de Western blot para la detección proteica del receptor. Las muestras se homogeneizaron en buffer Ripa con inhibidores de proteasas, y se hizo la corrida electroforética en geles de SDS-PAGE al 12% a razón de 40 ug/calle. Se realizó la transferencia a membranas de nitrocelulosa. Se incubaron las mismas con el anticuerpo anti-Receptor de Oxitocina (Abcam) 1:500 durante toda la noche a 4º C y luego con el anticuerpo secundario conjugado con peroxidasa 1:8000 durante 1 hora. Como control positivo se utilizó preparación de útero. Se reveló con solución de quimioluminiscencia en una placa radiográfica. **Resultados** Obtuvimos marcación positiva para la expresión de receptor de oxitocina tanto en la encía marginal sana de rata como en todos los tejidos humanos mencionados. **Conclusión/es** Por primera vez hemos descripto la expresión constitutiva del receptor de oxitocina en encías de rata y tejidos peridentarios humanos, lo cual nos abre camino para las futuras investigaciones acerca de la implicancia del mismo en la fisiopatogénia de la enfermedad periodontal.

085
ID 268

EXPRESIÓN DE GENES DE DIFERENCIACIÓN EN CULTIVOS CELULARES DE PULPA DENTAL HUMANA.

*Vanesa Alejandra Merhar[1], Alejandra Karina De Couto Pita[1], Maria Belén Benitez[1], Mariana Bouchoux[1], Carlos Fernando Mendez[1,2].
1. Cátedra de Farmacología.FOUBA. 2. CONICET

Objetivo/s Las células madre mesenquimáticas de la pulpa dental son células pluripotentes con capacidad de diferenciación hacia diversos linajes celulares, incluidos aquellos con capacidad de producción de tejido mineral. Demostramos previamente que la adición de factores de diferenciación al medio de cultivo modifica el perfil de expresión del gen de Fosfatasa Alcalina en cultivos de células de Pulpa Dental Humana (PDH). La sialofosfoproteína de dentina (DSPP), es una proteína que se encuentra en cantidad significativa en la matriz extracelular de la dentina y que actúa como iniciador y modulador para la formación y crecimiento de los cristales de hidroxiapatita, mientras que la osteocalcina (OSTC), es una proteína sintetizada por el osteoblasto, que tras sufrir una gamma-carboxilación, adquiere gran afinidad por el calcio, y al liberarse al medio extracelular, se une a la hidroxiapatita del hueso. El objetivo del presente trabajo ha sido investigar el efecto de la adición de factores condicionantes de diferenciación sobre la expresión de los genes de DSPP y OSTC en cultivos primarios de pulpa dental humana. **Materiales y Métodos** Las células fueron incubadas durante 24 o 48 hs, en medio de Dulbecco modificado por Eagle con 10% de suero fetal bovino (DMEM) o en DMEM conteniendo factores de diferenciación (DMEM-OD). La expresión de los genes de DSPP y OSTC se determinó por medio de transcripción reversa y reacción en cadena de polimerasa cuantitativa (RT-qPCR) utilizando como gen de referencia al de gliceraldehído-3-fosfato deshidrogenasa (GAPDH). **Resultados** El cultivo de las células en medio condicionante (DMEM-OD) indujo un incremento significativo ($p<0,05$) en la expresión de los transcriptos de DSPP (1,3 ± 0,4 vs 1,2 ± 0,6 y 2,1 ± 0,4 vs 4,1 ± 0,3) y de OSTC 0,6 ± 0,1 vs 0,9 ± 0,3 y 0,5 ± 0,2 vs 1,8 ± 0,4) para DMEM y DMEM-OD a 24 y 48 hs de cultivo, respectivamente. **Conclusión/es** Nuestros resultados indican que la adición de factores condicionantes de diferenciación a cultivos de células de pulpa dental humana incrementa la expresión de DSPP y OSTC en forma dependiente del tiempo.

086
ID 269

CAMBIOS DE EXPRESIÓN EN RECEPTORES CANNABINOIDES EN RATAS CON HIPOSALIVACIÓN Y/O PERIODONTITIS

*Noelia Belén Balcarcel[1], Gastón Rodolfo Troncoso[1], Julieta Agustina Rodas[1], Julia Irene Astrauskas[1], César Ángel Ossola[1], José Javier Fernandez-Solari[1,2].
1. Cátedra de Fisiología, FOUBA. 2. CONICET.

Objetivo/s La hiposalivación (H) y la periodontitis producen efectos deletéreos sobre los tejidos periodontales. Además, la periodontitis experimental (PE) provoca una disminución del flujo salival en ratas. El sistema endocannabinoide (SEC) posee propiedades prohomeostáticas y antiinflamatorias y la modulación de sus receptores a través de distintos agonistas atenúa el daño periodontal. El objetivo de este trabajo es estudiar la expresión génica de los receptores específicos del SEC, CBr1 y CBr2, en el tejido gingival (TG) de ratas control, sometidas a PE, sometidas a H inducida por submandibulectomía (SMx) y a la combinación H-PE; y en la glándula submaxilar (GSM) de ratas control y sometidas a PE. **Materiales y Métodos** Veinticuatro (24) ratas Wistar macho divididas en 4 grupos (n=6): control, PE, H y H+PE. La PE se indujo mediante inyecciones de LPS de Escherichia coli (1 mg/ml) en la encía que rodea los primeros molares inferiores durante 6 semanas, en tres sesiones semanales. La SMx se realizó una semana antes del comienzo de la inducción de PE. Luego de la eutanasia se extrajeron los TG y las GSM para su procesamiento y la determinación de niveles de expresión de ARNm de CBr1 y CBr2 mediante RT-PCR de punto final. Se realizó con ANOVA de 2 vías y Test t de Student ($p<0.05$: diferencias significativas, DS). **Resultados** Los resultados se expresaron como unidades arbitrarias de densidad óptica para CBr1/CBr2 en cada grupo. TG: control (0,27±0,06/0,38±0,04), grupo PE (0,46±0,05*/1,22±0,08*,+), grupo H (0,51±0,08*/0,98±0,06*), H+PE (0,49±0,1*/1,041±0,1*), GSM: control (0,52±0,09/0,23±0,12), PE (0,95±0,13*/1,48±0,22*); (*DS vs control, +DS vs H). **Conclusión/es** Se observó expresión génica constitutiva de CBr1 y CBr2 en TG y GSM. El patrón de expresión de ambos receptores en el TG aumentó en respuesta a PE, H y a la combinación de ambas variables respecto al control; y en la GSM aumentó en respuesta a PE, lo que podría ser un mecanismo empleado por el SEC para atenuar el daño tisular.

087
ID 293

BIOACTIVIDAD DE CEMENTOS A BASE DE SILICATO DE CALCIO EN CULTIVOS PRIMARIOS DE PULPA DENTAL HUMANA

*María Belén Benítez[1], Carla Micaela Zingoni[1], Romina Loiacono[2], Vanesa Alejandra Merhar[1], Carolina Alexia Anaise[1], Alejandra Karina De Couto Pita[1], Valeria Cecilia Panetta[2], Laura Beatríz Pinasco[2], Pablo Alejandro Rodríguez[2], Carlos Fernando Mendez[1].
1. Cátedra de Farmacología. 2. Cátedra de Endodoncia -FOUBA

Objetivo/s Se ha propuesto el uso de cementos a base de silicato de calcio como sustitutos de la dentina en función de sus características fisicoquímicas y biocompatibilidad, en una gama de aplicaciones que comprende procedimientos clásicos de endodoncia y recubrimiento pulpar directo e indirecto. Objetivo: el objetivo del presente trabajo ha sido evaluar el efecto de los cementos Biodentine (BD) y Bio-C Sealer (BCS) sobre la respuesta proliferativa y de inducción de mineralización de células de pulpa dental humana en cultivo. **Materiales y Métodos** Se establecieron cultivos por explante de células a partir de pulpa disgregada mecánicamente luego de su remoción de molares retenidos extraídos de donantes adultos por fallas de erupción. El tejido se incubó a 37°C y 5% CO2 en medio de Dulbecco modificado por Eagle con 10% de suero fetal bovino y L-glutamina, en presencia y ausencia de probetas de BD o BCS (5 mm de diámetro y 2 mm espesor) confeccionadas en condiciones de esterilidad y sometidas a fraguado en iguales condiciones que las de cultivo celular. La proliferación celular se analizó colorimétricamente luego de la tinción con violeta de cristal y la actividad mineralizante por medio de la tinción de los cultivos con rojo de alizarina. **Resultados** Tanto BD como BCS incrementaron significativamente ($p<0,05$ por ANOVA) la proliferación de las células en la interfase de contacto con los biomateriales tras 4 días de incubación (0,36 ± 0,03; 0,52 ± 0,04 y 0,51 ± 0,02) para control, BD y BCS, respectivamente. Por su parte, BD y BCS incrementaron significativamente ($p<0,01$ por ANOVA de doble vía) la actividad mineralizante en forma dependiente del tiempo (0,13 ± 0,01 y 0,11 ± 0,01 vs 0,09 ± 0,01; y 0,14 ± 0,01 y 0,14 ± 0,01 vs 0,09 ± 0,01 UA) para BD y BCS vs control a 14 y 28 días, respectivamente. **Conclusión/es** Nuestros resultados demuestran que los cementos BD y BCS a base de silicato de calcio promueven la proliferación y estimulan la capacidad mineralizante de células de pulpa dental en cultivo, sugiriendo un potencial efecto inductor del proceso de diferenciación odontoblástico.

088
ID 299

RESUMEN NO PRESENTADO

089 ID 310

MAYORÍA DE EDAD EN ARGENTINA: ESTIMACIÓN MEDIANTE UN ÍNDICE DE MADURACIÓN DENTARIA.

*Claudia Marcela Delvechio[1], Gabriel Antonio Sanchez[2], Ana María Collet[3].
1. Cátedra de Anatomía Patológica. 2. Cátedra de Biofísica y Bioestadística.3. Cátedra de Anatomía Patológica.

Objetivo/s No existen datos reportados de la aplicación del índice de maduración del 3er molar (I3M) de Cameriere en muestras de población argentina.Los objetivos de este estudio de corte retrospectivo fueron: a) Validar el valor de corte de 0,08 del I3M para discriminar la edad legal de mayoría de edad de 18 años en una muestra de población argentina. b) Comparar los resultados obtenidos con los de una muestra de la población de la isla de Cerdeña (Italia), considerada con aislamiento geográfico y genético. **Materiales y Métodos** Imágenes digitales de Ortopantomografias de 335 individuos,161 femeninos (F) y 174 masculinos (M) de entre 15 y 23 años de edad se obtuvieron de centros de diagnóstico por imágenes de Argentina. Se calculó I3M (Cameriere R. et al. 2008) y usó el valor de corte (VC) de 0,08 para discriminar entre individuos adultos, ≥18 años de edad (I3M<0,08) y menores de edad (I3M≥0,08). Los datos obtenidos fueron analizados estadísticamente y comparados con los obtenidos por Spinas E. et al. de una muestra de niños y adultos jóvenes de Cerdeña (Int J Legal Med 132:1787-1794, 2018). Se utilizó la prueba de Mann-Whitney (p<0,05) para evaluar las diferencias entre los valores de I3M obtenidos en M y F, y en muestras de Argentina y Cerdeña. **Resultados** Se observó la disminución de la edad real a medida que aumentaba el valor del I3M. Las tablas de contingencia 2x2 para diferentes valores de corte mostraron que el VC I3M<0.08 permite discriminar entre individuos mayores y menores de 18 años de edad. La validez del test fue: F: Sensibilidad (Se): 0.98 (IC 95%, 0.93 a 0.99) y Especificidad (Esp):1 (IC 95%, 0.93 a 1), y M: Se: 0.99 (IC 95%, 0.95 a 0.99) y Esp: 0.96 (IC 95%, 0.88 a 0.99). El Valor predictivo positivo fue de 0,99 para F y 0,98 para M. Prueba de Mann-Whitney (p<0,05): No se observaron diferencias significativas globales (U=2488, p=0,32) entre el I3M obtenido de muestras de Argentina y Cerdeña, ni diferencias entre sexo femenino (U=583,p=0,29) y masculino (U=670, p=0,34). **Conclusión/es** Los resultados obtenidos demuestran que el I3M con un VC de 0,08 es una herramienta útil en la práctica legal y forense para indicar la edad legal adulta de 18 años en la población argentina. No existen diferencias significativas en los valores obtenidos para el I3M entre las muestras de población argentina y sarda.

090 ID 328

LOCALIZACIÓN DE CÉLULAS STEM EN PULPA DENTAL HUMANA CON MORFOGÉNESIS RADICULAR COMPLETA.

Alejandra De Couto Pita, *Franco Dell´Angélica, Vanesa Merhar, María Belén Benitez,
Mariana Bouchoux, Carlos Mendez.
Cátedra de Farmacología.FOUBA.

Objetivo/s La presencia del antígeno de superficie CD105 (endoglina) es reconocido en al menos el 95% de las células pluripotenciales de estirpe mesenquimática. Estudios realizados previamente en cultivos primarios de Pulpa Dental Humana (PDH) han demostrado la expresión de dicho antígeno en la membrana plasmática de células marcadas con técnica de inmunofluorescencia. La distribución y cantidad de nichos de células mesenquimáticas indiferenciadas en tejido pulpar puede variar según el proceso de morfogénesis que se está desarrollando. Objetivo: Identificar la localización de las células stem en la pulpa dental humana de piezas permanentes retenidas con ápice formado por métodos inmunohistoquímicos. **Materiales y Métodos** Se identificó la presencia de células pluripotenciales en cortes histológicos longitudinales de pulpas removidas de terceros molares, extraídos de donantes adultos por fallas de erupción, mediante marcación con un anticuerpo específico contra CD105, con posterior incubación con inmunoperoxidasa y detección con diaminobencidina (CD105+). El estudio histomorfométrico se realizó por tinción del tejido con hematoxilina-eosina (HE) utilizando cortes de riñón humano como control positivo. La distribución de células stem se determinó como el porcentaje de células CD105+ sobre el total de cada campo, utilizando el software ImageJ. Se determinó la media aritmética y desvío standard (DS) como parámetros estadísticos descriptivos. **Resultados** En la zona central de la pulpa se observa el mayor porcentaje de intensidad de señal (31,0 ± 7,2%). Por su parte, en las zonas subodontoblástica y odontoblástica el porcentaje de marcación fue de 3,8 ± 2,3% y 2,9 ± 1,3%, respectivamente. En las zonas próximas a los capilares la intensidad de señal fue de 32,4 ± 5,9% y en las zonas con escasa vascularización fue de 16,2 ± 7,6%. **Conclusión/es** Nuestros resultados demuestran la presencia de células CD105+, localizadas principalmente en la zona central de la pulpa. Se observó escasa marcación en las zonas subodontoblástica y odontoblástica. A su vez, la intensidad de la marcación fue mayor en zonas próximas a los capilares, con detección de células CD105+ asociadas a los vasos sanguíneos y al endotelio vascular, en comparación a las zonas con escasa vascularización.

091 ID 338

ESTUDIO LONGITUDINAL DEL EFECTO DE LA ADMINISTRACIÓN DE SIMVASTATINA EN RATAS HIPERCOLESTEROLÉMICAS CON PERIODONTITIS

*Maria Eugenia Antona[1], Cecilia Ramos[1], Valeria Zago[2], Andrea Ferreira Monteiro[1], Silvia Maria Friedman[1], Elisa Vanesa Macri[1], Tammy Steimetz[3].
1. Cátedra de Bioquímica General y Bucal. 2. Departamento de Bioquímica Clínica. Laboratorio de Lípidos y Aterosclerosis; Consejo Nacional de Investigaciones Científicas y Técnicas (CONICET), Argentina.3. Cátedra de Anatomía Patológica.

Objetivo/s Las estatinas son utilizadas para el tratamiento de la hipercolesterolemia(HC). Adicionalmente a sus efectos hipolipemiantes, la Simvastatina(SMV) puede generar algunos efectos pleiotrópicos, como la activación de los osteoblastos, y la inhibición de los osteoclastos. Por otro lado, la periodontitis (P) es una enfermedad inflamatoria crónica en la cual se produce la destrucción del periodonto. Aún no está dilucidado el rol de la SMV en HC y P. Objetivo: Estudiar el efecto de la administración de SMV en encía y hueso alveolar de ratas HC con P. **Materiales y Métodos** 80 ratas Wistar fueron asignadas a 4 grupos(n=5); C (dieta standard), HC (dieta hipercolesterolémica), C.SMV y HC.SMV que fueron tratados con una topicación diaria 0.1ml gel (5mg/día SMV) en encía de los 1° molares inferiores (M1); C y HC recibieron igual dosis de gel placebo. A T21dias se indujo P en 1er molar (M1) en C,HC,C.SMV,HC.SMV. A T0, 3, 7 y 14 días las ratas se eutanasiaron y se extrajo sangre para el perfil lipídico (mg/dL). En encía se midió la oxidación de 2′,7′ diclorofluoresceína diacetato (DCFH-DA,u.a./min.mg prot) y actividad catalasa (CAT,pmol/mgprot). Las mandíbulas se procesaron histológicamente (H&E) y se evaluó histomorfométricamente el hueso interradicular en M1 (Image Pro-Plus): superficies osteoblásticas (Pm.Ob), superficies erosivas (Pm.E) y superficies quiescentes(Pm.Q)(%). Estadística:ANOVA+SNK. **Resultados** La administración de SMV en ratas hipercolesterolémicas produjo una discreta disminución del colesterol($p<0.01$). Los marcadores de estatus oxidativo mostraron: en catalasa, fluctuaciones, con aumentos significativos en HC a T0 y T14($p<0.001$); además la elevación de DCFH-DA mostró relación con la dieta hipercolesterolémica, y disminuyó en SMV a todos los tiempos ($p<0.001$). Histomorfométricamente se observó a los 3 días, incremento de Pm.Ob en los grupos con SMV a expensas de Pm.E($p<0.001$), manteniendo la tendencia hacia T 7y14 días con respecto a HC ($p<0.05$). **Conclusión/es** La SMV protegería a los tejidos periodontales del daño oxidativo producido por P. Futuros estudios podrían contribuir a dilucidar si el efecto protector a nivel óseo se asocia a la disminución de las especies reactivas del oxígeno.

092 ID 347

EFECTO DEL USO DE SOJA Y PALTA SOBRE PARÁMETROS CLÍNICOS PERIODONTALES

Mauricio Kremer, *Miriam Grenón.
Cátedra A de Periodoncia Universidad Nacional de Córdoba

Objetivo/s Evaluar el efecto de los ASU (aceites insaponificables de palta y soja) sobre los parámetros clínicos de sitios con periodontitis al realizar la terapia periodontal no quirúrgica de la enfermedad. **Materiales y Métodos** Se seleccionaron 20 pacientes con patología periodontal, sin patología sistémica, fueron divididos aleatoriamente en dos grupos: 10 en el grupo tratamiento y 10 en el grupo placebo. Se conformó un tercer grupo de testigo sanos en el que se incorporó a 10 personas periodontal y sistémicamente sanas. Es un estudio clínico, prospectivo, doble ciego, caso – control. En los grupos tratamiento y placebo se realizó el tratamiento no quirúrgico de la enfermedad periodontal que duró sesenta días, en los 30 días posteriores se realizaron controles de higiene y de ingesta de los medicamentos por lo que la experiencia duró 90 días en total. Durante ese lapso de tiempo los pacientes del grupo tratamiento ingirieron el DERRUMAL 300 ® (medicamento que contiene aceites insaponificables de palta y soja) y los el otro grupo un placebo. En ambos grupos se registraron los parámetros clínicos de periodontitis, al inicio de la experiencia, al finalizar la terapia no quirúrgica y al finalizar la experiencia. **Resultados** A lo largo de la investigación, se estudió el efecto de los aceites insaponificables de palta y soja sobre los parámetros clínicos periodontales en ambos grupos. El grupo tratamiento aportó 1350 sitios, el grupo control 1614 sitios. Para analizar los resultados se aplicaron diferentes test estadísticos, que al analizar cada una de las variables de manera individual no mostraron diferencias significativas. Sin embargo, aplicando el Análisis de Componentes Principales, que es un modelo que integra la información de todas las variables clínicas, se observó que los pacientes del grupo tratamiento presentaron una mejoría estadísticamente significativa en el 90% de los pacientes, mientras que en el grupo placebo la mejoría fue en del 40 % con un p-V de 0.030. **Conclusión/es** Resulta imposible afirmar de manera certera si los ASU aportan beneficios importantes dentro del tratamiento periodontal. Sin embargo, esto no implica eliminar completamente su utilización. La mejoría de los pacientes se produce luego de un tiempo prolongado de toma de los ASU, no se describen efectos adversos. Es necesario profundizar las investigaciones con una mayor cantidad de pacientes para recomendar o desaconsejar su aplicación clínica.

093
ID 144

MICRODUREZA DE DENTINA CARIADA TRATADA CON UNA SOLUCIÓN DE 20% AGNCLS/ PMAA

*María Belén Cabalén, Ignacio Mazzola, Laura Brain Lascano, Martín Sainz Aja, Mariana Picca, Gustavo Molina.
Cátedra de Materiales Dentales, Facultad de Ciencias de la Salud, Universidad Católica de Córdoba; Cátedra de Materiales Dentales, FOUBA.

Objetivo/s El objetivo del trabajo fue evaluar el efecto de la aplicación de una solución al 20% de nanoclusters de plata sintetizados en ácido polimetacrílico (AgNcls/PMAA) en la dureza superficial de lesiones artificiales de caries generadas en dentina. **Materiales y Métodos** Para tal fin se seccionaron los tercios medios de coronas de 8 terceros molares sanos de reciente extracción para obtener láminas de 4mm en sentido ocluso-radicular. Cada lámina fue recubierta en todas sus superficies con esmalte de uñas, dejando una ventana expuesta de dentina de 5x5mm en la superficie oclusal. Las muestras fueron sometidas durante 66 horas a una solución desmineralizante para generar lesiones artificiales. De cada muestra se obtuvieron cuatro secciones: dos grupos experimentales (A y B); una sección de dentina sana, protegida con esmalte durante la generación de caries artificial (C) y una sección con caries artificial sin tratamiento (D). Los grupos experimentales fueron tratados (A) con AgNCls/PMAA al 20% y (B) con Fluoruro de Plata al 38% (Nafresin, Tedequim, Córdoba - Argentina), y almacenados durante 7 días a 37° C 100% de humedad. Se evaluó dureza superficial de los cuatro grupos (n=8) con Microdurómetro Vickers Future Tech FM300 con una carga de 100g/10s. Se determinaron diferencias estadísticas entre los grupos evaluados mediante el test de Bonferroni ($p > 0.05$). **Resultados** Los valores medios obtenidos fueron 111.2 MPa, 72.3 MPa, 103.3 MPa y 50.5 MPa para los grupos A, B, C y D respectivamente. Los resultados evidenciaron diferencias significativas entre los grupos A y C con relación a los grupos B y D, siendo el grupo tratado con AgNCls/PMAA el de valores más altos de microdureza, similares y/o superiores a los de la dentina sana. **Conclusión/es** Se concluye que el tratamiento de lesiones artificiales de caries en dentina con 20% AgNCls/PMAA logra recuperar la dureza superficial de la dentina sana.

094
ID 212

BRECHA MARGINAL EN RESTAURACIONES 2.3 MOUNT-HUME CON MATERIALES ADHESIVOS. OBSERVADOS MEDIANTE MICRO-CT

*Luciana Marcarian[1], Candela Andrada[1], Lucia Lauriola[1], Christian Lezón[2], Silvia Zaiden[1]
1. Preclínica de Odontología Restauradora, FOUBA.2. Cátedra de Fisiología, FOUBA.

Objetivo/s Evaluar la presencia de brecha marginal expresada, en mm, de las paredes libres de la caja proximal en preparaciones próximo-oclusales (PPO) del sector posterior, con resinas de adhesión directa analizados mediante microtomografía computarizada (µCT). **Materiales y Métodos** Se seleccionaron 10 premolares humanos sanos. Se tallaron dos PPO por cada pieza dentaria, una mesial y una distal, (n=20) de 3 mm de profundidad por 3 mm de ancho, con piedra 845kr iso 026 de grano medio y fino, bajo refrigeración acuosa. Se realizaron 3 (PPO) por piedra. Se fijaron con compuesto de modelar en un modelo plástico, con piezas dentarias vecinas, para simular la disposición espacial del arco dentario. Se utilizaron matrices seccionales de acero Unimatrix, cuña de madera y anillo de sujeción para adaptarlas a las paredes proximales, se trató el sustrato dentario con el Sistema Adhesivo Universal Single Bond Universal 3M. Se fotopolimerizó, en modo alto/ 1200 mv/cm2, con la unidad Grand Valo, Ultradent. Se dividieron en 4 grupos, 5 muestras cada uno: -Grupo 0 (grupo control) resina fluida, 3M™ Filtek™ Supreme Flowable Restorative, en la pared gingival y resina nanoparticulado Z 350 3M, en incrementos oblicuos inferiores a 2 mm y polimerizando cada uno 20 s, -Grupo I, resina nanoparticulado Z 350 3M, en incrementos oblicuos inferiores a 2 mm y polimerizando cada uno 20 s. Grupo II, resina Filtek Bulk Fill, 3M en un solo incremento, polimerizando 40 s. por cada cara de la restauración. -Grupo III, Paracore, Coltène en un solo incremento, polimerizando 40 s. por cada cara. Se siguieron los protocolos establecidos según fabricante. Se escanearon las muestras de las preparaciones y restauraciones utilizando un microtomógrafo (Bruker Skyscan 1272). Se cuantificó, en mm, los gaps de las paredes libres de la caja proximal en 3 puntos, gingival, medio y oclusal sobre los márgenes cavitarios (myVGL 3.5) medidos desde el borde cavo de la preparación al material restaurador en sentido horizontal. Los datos fueron analizados por ANOVA seguidos por test Student Newman Keuls. Se considero diferencia significativa $p< 0.05$. Los resultados son expresados como promedio +- ES. **Resultados** La media y Ds de cada grupo corresponden a Palatino Gingival: Gp 1: 0.092 ± 0.049, Gp 2: 0.282 ± 0.118, Gp 3: 0.075 ± 0.037 Medio: Gp 1: 0.049 ± 0.039, Gp 2: 0.023 ± 0.014, Gp 3: 0.062 ± 0.038, Gp 0: 0.019 ± 0.019. Oclusal: Gp 1: 0.071 ± 0.071, Gp 2: 0 ± 0, Gp 3: 0.137 ± 0.133, Gp 0: 0.003 ± 0.003., Vestibular Gingival: Gp 1: 0.210 ± 0.089, Gp 2: 0.060 ± 0.06, Gp 3: 0.089 ± 0.089, Gp 0: 0.05 ± 0.031. Medio: Gp1: 0 ± 0, Gp 2: 0.059 ± 0.037, Gp 3: 0.044 ± 0.044, Gp 0: 0.065 ± 0.043. Oclusal: Gp 1,2,3,0: 0 ± 0. **Conclusión/es** Bajo las condiciones de este trabajo podemos aducir que no se observaron diferencias estadísticamente significativas entre los grupos, excepto al comparar el Gp. 3 palatino y Gp 1 vestibular vs Gp 0 donde si se observaron diferencias Estadísticamente significativas en restauraciones PPO restauradas con resinas directas.

095 ID 260

MONÓMEROS COMPUESTOS DE RESINA EXPERIMENTAL REFORZADOS CON NANOFIBRAS HÍBRIDAS DE ÓXIDO DE GRAFENO

*Marilia Mattar de Amoêdo Campos Velo[1], Alyssa Teixeira Obeid[1], Tatiana Rita de Lima Nascimento[2] ,Juliana Fraga Soares Bombonatti[1], Rafael Francisco Lia Mondelli[1],
1. Departamento de Odontología Operativa, Endodoncia y Materiales Dentales, Facultad de Odontología de Bauru, Universidad de São Paulo-USP, SP, Brasil.2. Departamento de Química – Universidad Federal de Paraiba, João Pessoa, PB, Brasil.

Objetivo/s Este estudio in vitro sintetizó nanofibras híbridas dopado en óxido de grafeno (OG) que se incorporaron a monómeros compuestos de resina experimental para evaluar sus propiedades físico-mecánicas. **Métodos** Se produjeron nanofibras híbridas orgánicas e inorgánicas con soluciones precursoras de fibras de poli(d,l-lactida, PDLLA) llenas de GO al 1 % en peso y se evaluaron mediante un microscopio electrónico de barrido (MEB) junto con espectroscopía de rayos X de dispersión de energía (EDS). Se desarrollaron monómeros de resinas compuestas compuestos por 49,5% BisGMA, 49,5% TEGDMA, 2-dimetacrilato 0,8% y canforquinona 0,2%. Se incorporó un total de 5% de nanofibras a los materiales experimentales y se desarrollaron 3 grupos: G1 (monómeros de resina de control), G2 (monómeros de resina + nanofibras de PDLLA) y G3 (monómeros de resina + nanofibras híbridas inorgánicas-orgánicas). Las muestras de resinas compuestas se caracterizaron por evaluar el ángulo de contacto (n=3) y microdureza Knoop (n=6). Para el análisis del ángulo de contacto, se colocaron gotas de agua destilada (3 µl) en la superficie de cada muestra y se obtuvo el promedio de 3 mediciones por muestra. Para la dureza, se prepararon muestras pulidas en forma de disco (4 × 2 mm2) (n = 6) y se hicieron tres muescas en la superficie (100 µm cada una; diamante Knoop, 50 g, tiempo de permanencia 10 s). Se obtuvo la media de las tres indentaciones para cada muestra. La normalidad de los datos se evaluó mediante QQ Plot con envolventes simuladas y se analizó mediante el método de Welch ($p<0,05$). **Resultados** En general, las imágenes MEB mostraron una forma regular de nanofibras, pero no alineadas. El análisis composicional de EDS (n=6) reveló la presencia de carbono y oxígeno (presente en la composición OG) y Si del proceso de funcionalización. Los resultados de ángulo de contacto (°) y dureza (Kg/mm2) para cada grupo fueron los siguientes, respectivamente: G1 (59,65±2,90; 37,48±1,86a), G2 (67,99±3,93; 50,56±1,03b) y G3 (62,52±7,40;67,83±1,01c). **Conclusión/es** El compuesto de resina experimental compuesto pornanofibras híbridascon OG presentó mayores valores de dureza y comportamiento hidrofílico.

096 ID 240

RELACIÓN DE CÉLULAS MADRE MESENQUIMALES CON DISTINTOS TRATAMIENTOS SUPERFICIALES DE TI

*Rubén Martín Mayocchi[1], Karina Alejandra Mayocchi[1], Nahuel Blasetti[1], Kyung Won Kang[2], Adriana Lemos Barboza[2], Juliana Kohan[2], Carlos Llorrente[2].
1. Laboratorio de Biología Molecular y Biotecnología. Facultad de Odontología UNLP. 2. Laboratorio Investigación Metalurgica y Física. Facultad de Ingeniería UNLP

Objetivo/s Analizar la adherencia y biocompatibilidad “in vitro” de células madre mesenquimales (CMM) de pulpa dental sobre superficies de Ti con diferentes tratamientos superficiales. **Materiales y Métodos** Estudio de carácter descriptivo, observacional. 1) Se realizó cultivo y expansión de CMM pulpares, y su caracterización. 2). Se realizaron tratamientos superficiales a tacos de Ti de 4 mm de ancho por 4mm de alto, 3 mediante blastinizado con partículas de fosfato de Ca (B, 2min/6Bar) (G1) y 3 anodizados por plasma químico, previo blastinizado con partículas de fosfato de Ca (BAPQ, CaHPO4-Ca(CH3COO)2). (G2) Ambas condiciones sometidas a tratamiento alcalino en NaOH (BNa, BAPQNa; 10M, 60°C, 24hs).3). Se realizó un ensayo mediante cultivo de G1 y G2 con CMM de pulpa dental a t=48 hs. 4). Se procedió al conteo celular y observación microscópica mediante Microscopía Electrónica de Barrido y Microanálisis (SEM-EDS, FEI Quanta 200 y EDAX SDD Apollo 40). **Resultados** No se observaron efectos citotóxicos en ninguna superficie tratada de Ti, observándose adhesión y crecimiento de CMM en dichas superficies, destacándose proyecciones citoplasmáticas. Se destacaron uniones localizadas entre sustrato y superficie celular, con cambios en la morfología celular. En las superficies de las muestras BNa y BAPQNa se evidenció incremento de las proyecciones citoplasmáticas en comparación con las muestras B y BAPQNa, y la presencia de un precipitado entre las células adheridas. Mediante SEM-EDS se detectó la presencia de Ca y P en estos compuestos. Las muestras BAPQNa presentaron una relación de Ca/P de 1,76 y la muestra BNa una relación de Ca/P de 1,66. **Conclusión/es** El tratamiento en solución alcalina de NaOH aplicado a muestras de Ti Gr4 con diferentes condiciones superficiales y cultivadas con CMM de origen pulpar, generó depósitos compatible con matriz extracelular mineralizable, con formación de un precipitado de relación Ca/P similar a la Hidroxiapatita, por lo que infiere una diferenciación temprana celular a un linaje osteoblástico.

097
ID 192

ANÁLISIS DE BIOCOMPATIBILIDAD DE PARTÍCULAS ÓSEAS PARA SU USO EN INGENIERÍA TISULAR

Olimpia Ortiz Arrabal[1], Miguel Alaminos[1], Anibal Rodriguez[2], Gerardo Sanchez[2], Belén Ferrer[2], Santiago Daniel Palma[3], Daniel Torassa[1], *Ismael Angel Rodriguez[1,2]
1. Departamento de Histología, Grupo Ingeniería Tisular, Facultad de Medicina, Universidad de Granada, España. 2. Cátedra de Histología y Embriología B, Facultad de Odontología, UNC, Argentina.3. UNITEFA, CONICET, Universidad Nacional de Córdoba, Córdoba, Argentina.

Objetivo/s Las partículas óseas de relleno son susceptibles de ser usadas como andamiaje en la elaboración de tejidos artificiales mediante técnicas de ingeniería tisular y por tanto, deben reunir la propiedad de biocompatibilidad. El objetivo de este estudio fue evaluar la biocompatibilidad de un tipo de partículas óseas de relleno en contacto con fibroblastos mediante distintos análisis de viabilidad celular. **Materiales y Métodos** Se cultivaron en placas de 24 pocillos fibroblastos gingivales humanos en una concentración de 2x104 células/ml de medio de cultivo DMEM. Se utilizaron partículas óseas de relleno BOS-HA (TISSUM® Biomateriales, Córdoba, Argentina), y se analizaron bajo un modelo experimental de contacto indirecto con las células. Previamente hidratadas en PBS, las partículas óseas en una concentración de 10 mg fueron colocadas en la base de insertos, presentes en cada pocillo, que poseían una membrana microporosa 0,4 µm. Los controles fueron células en DMEM (Control Positivo) y células expuestas a Tritón 2% (Control Negativo). La viabilidad celular fue evaluada a 24, 48 y 72 hs horas por análisis morfológico, de permeabilidad de membrana celular (Live & Dead) y de proliferación celular (WST-1). Para el análisis estadístico se utilizó el test Mann Whitney para comparaciones intergrupales ($p<0,05$). **Resultados** El análisis morfológico mostró que en el transcurso de las 72 horas las células mantienen morfología ortotípica similar al control positivo. En el transcurso de las 72 hs en el análisis de Live & Dead se observó un porcentaje de viabilidad por encima del 98,7 %, mientras que WST-1 mostró una viabilidad superior al 95,07 %. Dichos análisis de viabilidad no mostraron diferencias significativas respecto a control positivo ($p>0,05$) pero si hubo diferencias significativas respecto al control negativo ($p< 0,05$). **Conclusión/es** Los análisis de viabilidad celular mediante un modelo experimental indirecto mostraron que las partículas óseas de relleno BOS-HA son biocompatibles. Estos resultados sugieren que dichas partículas óseas serían de posible utilización como andamiaje para la construcción de tejidos artificiales por técnicas de ingeniería tisular.

098
ID 283

EVALUACIÓN HISTOLÓGICA DE REGENERACIÓN ÓSEA MEDIANTE UN TEJIDO ARTIFICIAL MAGNÉTICO.

*María Belén Ferrer[1], Miguel Alaminos[2], Guadalupe Dorado[1], Mario Anibal Rodriguez[1], Ismael Angel Rodriguez[1,2].
1. Cátedra de Histología B, Facultad de Odontología, Universidad Nacional de Córdoba.2. Grupo de Ingeniería Tisular Departamento de Histología, Facultad de Medicina, Universidad de Granada, Granada, España.

Objetivo/s Nuestro grupo de investigación desarrolló un tejido artificial que comprende nanopartículas magnéticas® a base de magnetita y un recubrimiento polimérico (TANPM), mediante la implementación de técnicas de ingeniería tisular. El objetivo de este trabajo fue evaluar la regeneración ósea mediante la utilización de TANPM en defectos óseos críticos de ratas Wistar que fueron sometidas a campos magnéticos externos. **Materiales y Métodos** Se utilizaron ratas Wistar macho de 200 gr que bajo anestesia se les realizó en calota defectos óseos críticos (DOC) de 5 mm de diámetro. Los grupos experimentales fueron: DOC sometidos a campos magnéticos externos estáticos (15 mT) rellenos con TANPM (TANPM/CM) y sin relleno (Control/CM); DOC no sometidos a campos magnéticos rellenos con TANPM (TANPM/SCM) y sin relleno (Control/SCM). A los 30 días los animales fueron eutanasiados y se procesaron las muestras mediante descalcificación y técnica de tinción histológica de rutina. Se evaluó y cuantificó el área de tejido óseo regenerado, así como el área total de tejidos en regeneración en DOC utilizando un programa Image J. Los datos se contrastaron estadísticamente mediante ANOVA ($p< 0,05$). **Resultados** El área de tejido óseo regenerado en DOC mostró: TANPM/CM: 1,49 ± 0,68 mm2; Control/CM: 2,1 ± 0,6 mm2; TANPM/SCM: 1,41 ± 0,65 mm2; Control/SCM: 0,96 ± 0,41 mm2, sin diferencias significativas entre ellos ($p>0,05$). El área total de tejidos en DOC fue: TANPM/CM: 3,41 ± 0,47 mm2; Control/CM: 3,16 ± 0,56 mm2; TANPM/SCM: 3,32 ± 0,30 mm2; Control/SCM: 2,57 ± 0,36 mm2 sin diferencias significativas entre ellos ($p=0,63$). Asimismo, se observó en DOC la conducción de las fibras de colágeno por TANPM. **Conclusión/es** Los resultados obtenidos permitirían inferir que los campos magnéticos externos estáticos podrían contribuir positivamente en los procesos de regeneración ósea. Asimismo, TANPM permitiría obtener un mayor volumen de tejidos en regeneración por su capacidad conductora en estos procesos.

099 ID 285

PRESERVACIÓN ALVEOLAR POST-EXODONCIA CON ALOINJERTO EXPUESTO AL MEDIO BUCAL: ESTUDIO PILOTO

*Malena Aguilar Porta[1,2], María Pía Burelli[2], Matías Urdapilleta[2], Mariel V. Gómez[3], Sandra J. Renou[1], Daniel G. Olmedo[1,4]
1. Cátedra de Anatomía Patológica, FOUBA. 2. Cátedra de Odontología Integral Adultos, FOUBA.3. Carrera de Especialización en Periodoncia, Universidad Maimónides, Buenos Aires, Argentina.4.CONICET.

Objetivo/s No hay estudios que evalúen la respuesta tisular ósea ni los cambios dimensionales asociados a aloinjerto colocado en un alvéolo post-exodoncia y dejado expuesto al medio bucal. OBJETIVO: Evaluar la respuesta reparativa y el cambio dimensional del alvéolo 6 meses post-exodoncia, con técnica de preservación alveolar, utilizando aloinjerto expuesto al medio bucal. **Materiales y Métodos** Se seleccionaron dos pacientes (Cátedra de Odontología Integral Adultos-FOUBA) con indicación de exodoncia (incisivo y canino) con dehiscencia ósea vestibular (3-6mm) evaluada tomográficamente y posterior colocación de implante. Se implantó aloinjerto (Ostium®, Argentina) en el alvéolo post-exodoncia, y se realizó sutura para mantener el injerto in situ, dejándolo expuesto al medio bucal. A los 6 meses, previo a la colocación del implante, se realizó una tomografía para determinar volumen óseo y una biopsia del sitio injertado para su evaluación histológica. Los cambios dimensionales se evaluaron superponiendo las imágenes tomográficas pre y post-exodoncia determinando: altura vestibular (AV), altura palatina (AP) y ancho del reborde (A). El estudio fue aprobado por el Comité de Ética de la FOUBA (nº020/2019-CETICAFOUBA). **Resultados** Los alvéolos repararon correctamente, sin inflamación ni complicaciones postoperatorias. Las mediciones tomográficas pre/post-exodoncia fueron, respectivamente: paciente1: AV: 6,1mm/6,1mm, AP: 10,4mm/10,4mm y A: 7,1mm/4,5mm; paciente2: AV: 5,4mm/11,4mm, AP: 11,6mm/12mm y A: 6,7mm/6,4mm. El A se redujo 37% (paciente1) y 4,5% (paciente2), evidenciándose un incremento de la AV de 111% (paciente2). Histológicamente, se observó neoformación de tejido óseo compacto y vital de tipo laminar en aposición con las partículas del aloinjerto y áreas de médula ósea de aspecto fibrovascular sin infiltrado inflamatorio. **Conclusión/es** Estos datos preliminares permiten inferir que la respuesta reparativa del alvéolo post-exodoncia con aloinjerto expuesto al medio bucal genera tejido óseo de óptimas condiciones y volumen óseo suficiente para la correcta colocación de implantes sin necesidad de regeneración ósea adicional. Se requieren de futuros estudios con un número mayor de casos para continuar validando la respuesta. Subsidios: UBACYT 20020190100148BA y FOUBA Res. (CD) N°330/19-01.

100 ID 286

ESTUDIO LONGITUDINAL DE PACIENTES CON ROS SIN INJERTO CON IMPLANTES (20 AÑOS).

*Alejandro Jorge Filsinger[1], Mabel Brunotto[2].
1. Cátedra de Prostodoncia III “B”. FO-UNC. 2. Cátedra de Biología Celular “A”. FO-UNC

Objetivo/s El objetivo de este trabajo fue evaluar la frecuencia de fracasos de Implantes Oseointegrados en la Zona Posterior del Maxilar Superior en Pacientes con Reabsorción Ósea Severa (ROS) en área de premolar-molar de maxilares superiores sin Injerto a 20 años de instalados. **Materiales y Métodos** Se realizó un estudio longitudinal de 50 pacientes, con consentimiento informado antes del inicio del estudio, de los cuales permanecieron 47 de 39 a 74 años, (20 hombres-27 mujeres) con 111 implantes. En una primera etapa quirúrgica, los implantes fueron colocados paralelos a la pared anterior del seno para nasal (A; n=35), en la curvatura del paladar inclinados en forma similar a la raíz palatina del primer molar superior (P; n=30), en la tuberosidad del maxilar superior próxima a la pared posterior del seno paranasal (T;n=33) y en la lámina vertical del paladar (V; n=13), dependiendo del hueso disponible según el protocolo “ad modum Brånemark” (Krekmanov,2000). En 2ª etapa quirúrgica (6 meses) se realizó la conexión transmucosa y el tratamiento protético fue comenzado en todos los pacientes a las 3 semanas después. **Resultados** Se evaluó las diferencias entre los números promedios de implantes entre los años mediante prueba T Student para muestras apareadas, fijando $p<0.05$. Del total de implantes colocados 9 fracasaron a lo largo de los 20 años, siendo la posición T la que presentó el mayor número de implantes fracasados (5/40) pacientes al momento de la conexión transmucosa. Además, se observó que en los sitios A y T la mayoría de los implantes (56,22%) eran de 15 mm en cuanto a su longitud mientras que en el sitio V el 52,47% de los implantes realizados eran de 18 mm. Al valorar el éxito de los implantes entre los años estudiados se observó que no hubo variaciones significativas entre los números de implantes colocados entre 2010 y 2022 ($p=0,1063$). **Conclusión/es** El método descrito para el tratamiento de arcos edéntulos con ROS sigue representando una alternativa quirúrgica mínimamente invasiva entre otras que se aplican para solucionar esta problemática para ser aplicado en pacientes ambulatorios para el tratamiento de las porciones posteriores de los arcos maxilares con el objeto de rehabilitar con prótesis fija implanto soportada.

101
ID 336

VARIACIÓN DIMENSIONAL Y MICRODUREZA LUEGO DEL ENDURECIMIENTO DE MATERIALES BIOCERÁMICOS.

*Analia Garrofé, María Alejandra Lei, Mariana Picca.
Cátedra de Materiales Dentales.FOUBA.

Objetivo/s El objetivo del presente trabajo fue determinar la variación dimensional producida como consecuencia del endurecimiento y la microdureza Vickers de materiales biocerámicos. **Materiales y Métodos** Para determinar la variación dimensional post fraguado se confeccionaron 9 probetas cilíndricas de 5 mm de espesor y 4 mm de diámetro con tres materiales biocerámicos: MTA Biosealer Z (Densell) presentación polvo y líquido [zp], silicato de calcio Biodentine (Septodont) [b], y MTA Biosealer Z (Densell) presentación jeringa [zj] según las indicaciones del fabricante, y se colocaron en moldes metálicos durante su fraguado a 37°C y 90% de humedad. Una vez completado el endurecimiento, se determinó la altura de la probeta de material obtenida (ap) y del molde (am) usando el micrómetro digital Mitutoyo. Para estimar el porcentaje de variación dimensional se utilizó la siguiente fórmula: ((ap x 100) / am) -100. Para la determinación de microdureza Vickers se registraron tres mediciones en cada probeta con microdurómetro Vickers (Future Tech FM300) (25 g, 5 s) y se calculó la media.Todos los resultados fueron analizados estadísticamente mediante análisis de varianza ($p<0,05$). **Resultados** Los valores de la variación dimensional fueron: [zp] 0,73% / 0,75% / 0,37%; [b] 0,83% / 2,9% / 1,65%; [zj] -2,01% / -3,23% / -2,73% ; y los valores de media y DS de la microdureza fueron: [zp] 42,4(10,3) / 43,2(0,8) / 42,8(7,5); [b] 60,7(1,1) / 61,1(8,82) / 69,3(2,01); [zj] 2,33(0,4) / 2,06(0,5) / 2,33(0,05). El análisis de varianza para ambas determinaciones mostró diferencia estadísticamente significativa entre los materiales evaluados, excepto en la variación dimensional entre [zp] y [b]. **Conclusión/es** Bajo las condiciones de este estudio podemos concluir que la microdureza y la variación dimensional ocurrida durante el fraguado se ven influenciadas por el material utilizado.

102
ID 191

EVALUACIÓN "IN VIVO" DE BIOCOMPATIBILIDAD Y BIODEGRADABILIDAD DE UN ÁCIDO HIALURÓNICO. ESTUDIO PRELIMINAR EN RATAS.

*Rosario Maria Martinez[1], Santiago Daniel Palma[2], Lucas Ontivero[1], Belén Ferrer[1], Lucas Sorbera Ferrer[1], Ismael Angel Rodriguez[1].
1. Cátedra de Histología y Embriología bucodental "B" Facultad de odontología. Universidad Nacional de Córdoba. 2. Unidad de I+D en Tecnología Farmacéutica UNITEFA - CONICET - Departamento de Ciencias Farmacéuticas. Facultad Ciencias Químicas Universidad Nacional de Córdoba

Objetivo/s El ácido hialurónico (AH) es un biomaterial muy utilizado en armonización buco-facial. El objetivo de este trabajo fue realizar un control de calidad histológico de biocompatibilidad y biodegradabilidad de un biomaterial a base de ácido hialurónico en un modelo experimental "in vivo" en ratas. **Materiales y Métodos** Se utilizó el AH BELOTERO®INTENSE (Merz, Geneva, Suiza); que fue colocado por retroinyección (0,1 ml) en tejido celular subcutáneo de ratas Wistar macho de 300 g, previamente anestesiadas. El control fueron animales a los que se le inyectó solución fisiológica. La eutanasia de los mismos fue realizada a los 30 días. La evaluación histológica de biocompatibilidad sistémica se realizó en hígado, bazo, pulmón, riñón y ganglio satélite. Para la valoración de biocompatibilidad local y biodegradabilidad se analizó el sitio de inyección de AH. En ambos análisis se realizó una técnica de tinción histológica de rutina. Para biocompatibilidad sistémica, local y biodegradabilidad, se realizó un análisis estructural identificando componentes celulares, de la matriz extracelular y la presencia del AH. **Resultados** La biocompatibilidad sistémica mostró que no existían alteraciones estructurales en los diferentes órganos analizados. Respecto a la biocompatilbilidad local se observó ausencia de inflamación alrededor del AH y la presencia de colágeno fibrilar y fibroblastos de aspecto similar a lo que evidenciaba en el tejido celular subcutáneo del control. Asimismo, cuando se valoró biodegradabilidad a los 30 días se observó la presencia de una estructura basófila compatible con AH. **Conclusión/es** Los resultados preliminares del control de calidad histológico del AH utilizado mostraron biocompatibilidad sistémica y local, así como la persistencia del biomaterial en el tiempo estudiado. Futuros estudios deberán plantear un esquema temporal para valorar en profundidad respuestas celulares y de MEC en lo que respecta a la biocompatibiilidad y poder determinar la tasa de biodegradabilidad.

103
ID 331

RADIOPACIDAD Y TIEMPO DE FRAGUADO DE MATERIALES BIOCERÁMICOS.

*María Alejandra Lei, Analía Beatriz Garrofé, Mariana Picca.
Cátedra de Materiales Dentales. FOUBA.

Objetivo/s El objetivo de este estudio fue evaluar la radiopacidad y el tiempo de fraguado de distintos materiales biocerámicos. **Materiales y Métodos** Se confeccionaron 12 probetas cilíndricas de 5 mm de espesor y 4 mm de diámetro con silicato de calcio Biodentine-Septodont (B), Bio C Sealer-Angelus (C), MTA Biosealer Z presentación P/L-Densell (ZP) y MTA Biosealer Z presentación Jeringa- Densell (ZJ) según las indicaciones del fabricante y conservadas a 37°C y 90% de humedad durante su fraguado. Para analizar el fraguado, se usó una aguja Gillmore de 400 gr. según la norma ISO 6876. Se consideró fraguado el material cuando no dejó ninguna indentación perceptible a la vista. Luego se tomaron radiografías oclusales digitales a cada grupo de material (n=3) junto a una cuña de aluminio graduada (según norma ISO 6876) con equipo radiográfico intraoral Planmeca ProX (70 kW, 8 mA, 0,16 s y 40 cm de distancia). En las imágenes digitales se determinaron los valores L de la escala de Cielab (Negro-blanco) con el programa Photoshop (Adobe). Se tomaron tres valores al azar en cada una de las muestras y se realizó la relación con la medición registrada en la imagen de 3 mm. de la cuña de aluminio. Los resultados se analizaron estadísticamente mediante ANOVA y prueba de Tukey ($p<0,05$). **Resultados** El tiempo de fraguado de los materiales fue: B: 1 día, C: 21 días, ZP: 2 días y ZJ: 14 días. Los valores de media y desvío estándar de la relación del valor L de las muestras con el valor L de 3 mm de aluminio de cada grupo fueron: B 1.09 (0.03), C 1.27 (0.04), ZP 1.20 (0.06) y ZJ 1.27 (0.01). El análisis con la prueba de ANOVA mostró diferencia significativa para el factor material ($p=0.01$). La prueba de Tukey mostró diferencia entre B y los otros grupos. **Conclusión/es** En las condiciones experimentales de este trabajo puede concluirse que, el tiempo de fraguado presenta variaciones entre los materiales y; si bien todos los materiales estudiados reúnen los requisitos de radiopacidad, también presentan variaciones entre ellos.

104
ID 263

CARACTERIZACIÓN HISTOLÓGICA Y BIOMECÁNICA DE MEMBRANAS DE COLÁGENO HUMANO LIOFILIZADAS E IRRADIADAS

*Geraldine Mascolo[1,2], Paula Badino[2], Lucas Sorbera[2], Karina Grunberg[2], Tristan López-Lozano[1], Carolina Lacerra[1], Cecilia Sobrero[1], Ismael Angel Rodriguez[2].
1. Banco de Tejidos del Laboratorio de Hemoderivados, UNC. 2-Cátedra de Histología y Embriología “B”, Facultad de Odontología, UNC

Objetivo/s Las membranas de colágeno son utilizadas como andamiaje en ingeniería tisular y como aloinjertos en distintos procedimientos médicos y odontológicos. El objetivo de este trabajo fue caracterizar histológica y biomecánicamente membranas amniótica y de fascia lata de origen humano sometidas a liofilización e irradiación **Materiales y Métodos** Se utilizaron membranas amniótica (MA) y de fascia lata (FL) desarrolladas en el banco de tejidos del Laboratorio de Hemoderivados (UNC). Las mismas fueron obtenidas de donantes que cumplieron con criterios de selección y aptitud de INCUCAI y se sometieron a procesamiento que incluye separación mecánica, lavado y purificación con diferentes soluciones salinas y solventes orgánicos. Posteriormente, fueron liofilizadas y esterilizadas por radiación gamma (dosis=25 KGy) Para el análisis histológico descriptivo las muestras fueron sometidas a un proceso técnico de rutina. Para la caracterización biomecánica de las mismas se realizaron pruebas de tensión que valoran la fuerza de ruptura de las membranas (Newton) y el módulo de Young (MPa). El análisis estadístico utilizado para comparar grupos concretos fue el test no paramétrico de Mann Whitney ($p< 0,05$). **Resultados** La caracterización histológica en MA mostró una estructura de 2 capas, una epitelial y una zona acidófila compatible con colágeno fibrilar. En FL se observó una estructura acelular y acidófila compatible con colágeno fibrilar. Las pruebas de tensión mostraron que los valores en la fuerza de ruptura fueron para FL: 29,02 N ± 9,21: para MA: 0,6 N ± 0,4 y en el módulo de Young fue para FL: 4446,5 MPa ± 1222,76 y MA: 160 MPa ± 104,77. En ambos análisis los valores mostraron diferencias estadísticamente significativas ($p<0,05$). **Conclusión/es** La caracterización histológica y biomecánica de MA y FL sometidas a liofilización e irradiación. mostraron una estructura de colágeno fibrilar ortotípica y la presencia de distintas propiedades elásticas entre las membranas, en consonancia con la bibliografía existente. Estos datos aportados permitirían guiarnos en los tipos de tejidos artificiales a construir por ingeniería tisular; así como los usos de aloinjertos en procedimientos médicos y odontológicos.

105
ID 361

RESISTENCIA ADHESIVA ENTRE DISILICATO DE LITIO Y DIFERENTES SUSTRATOS

Laura Fusaro, *María José Molina, Mariana Picca, Analía Beatriz Garrofé.
Cátedra de Materiales Dentales. FOUBA.

Objetivo/s El objetivo de este trabajo fue evaluar la resistencia adhesiva de disilicato de litio a distintos sustratos utilizando como medio de fijación un composite autoadhesivo de curado dual. **Materiales y Métodos** Se realizaron probetas (n=5) de dentina de terceros molares [D] , de composite (NT Premium Coltène) [C] y de ionómero vítreo modificado con resina fotocurable (Riva light cure) [IVR]. Para confeccionar las probetas de C y de IVR se utilizó un conformador de 4 mm de diámetro por 2 mm de altura y se polimerizaron por 20 s con unidad de curado (Coltolux led Coltène) a 1100 mw/cm2. Posteriormente todas las muestras fueron incluidas en resina acrílica con un conformador ad hoc. Se diseñaron y fresaron cilindros de disilicato de litio (Upcera) de 3.5 mm de diámetro por 4 mm de altura, los cuales fueron adheridos a la superficie de cada una de las probetas utilizando como medio de fijación un composite autoadhesivo de curado dual (Bifix SE, Voco), siguiendo las instrucciones del fabricante y aplicando una presión de 25 N/cm2 durante la polimerización del mismo. Las muestras se conservaron a 37 ℃ en agua destilada durante 24 h. Las pruebas de resistencia adhesiva [RA] al corte se realizaron con una máquina universal para ensayos mecánicos (Instron Corporation) con una velocidad de desplazamiento del cabezal de 1 mm/min. Seguidamente se analizó el tipo de falla [TF] en cada una de las muestras. Los resultados de RA fueron analizados estadísticamente mediante Prueba de Kruskal Wallis y la correlación entre las variables mediante Coeficiente de Correlación de Spearman ($p<0,05$). **Resultados** Los valores de media y desvío estándar de cada grupo fueron: [IVR] 4,88 (1,92); [C] 7,05 (1,07); [D] 0,11 (0,04). El análisis con la prueba Kruskal-Wallis mostró diferencia significativa entre la RA y los diferentes sustratos ($p<0,05$). El análisis de correlación de Spearman indica que existe relación alta entre las variables RA/TF, y TF/sustrato (p0,05). **Conclusión/es** Bajo las condiciones de este estudio se puede concluir que la resistencia adhesiva de disilicato de litio adherido con composite de fijación autoadhesivo de curado dual puede estar condicionada por el tipo de material utilizado como sustrato.

106
ID 225

EFECTO DE MELATONINA SOBRE LA ACTIVIDAD DE AMILASA SALIVAL EN GLÁNDULA SUBMANDIBULAR DE RATAS TRATADAS CON CICLOFOSFAMIDA

*Fernando Martin Wietz[1], Evelin Bachmeier[1], Daniela Josefina Porta[2], Lorena Moine[1], Claudio Gastón Dubersarsky[1], María Angelica Rivoira[2], Marcelo Adrián Mazzeo[1].
1.Cátedra de Fisiología. Facultad de Odontología. UNC.2. Instituto de Investigaciones en Ciencias de la Salud. INICSA-CONICET. Facultad de Ciencias Médicas. UNC.

Objetivo/s En el presente trabajo se evaluó el efecto protector antioxidante de melatonina (MLT) en GSM de ratas tratadas con Cf. **Materiales y Métodos** Se utilizaron 40 ratas Wistar machos adultas divididas en 5 grupos (G): G1: control; G2: Control+Etanol: tratados con etanol al 1% durante 10 días consecutivos. Los días 11 y 12 recibieron una dosis de solución salina; G3: Cf: tratados con etanol al 1% durante 12 días, días 11 y 12 recibieron una dosis intraperitoneal (i.p.) de Cf de 50 mg/Kg de pc; G4: Cf+MLT: se administró diariamente MLT (5 mg/Kg pc, intraperitoneal, disuelta en etanol al 1%), días 11 y 12 recibieron Cf igual que G3; G5: MLT: tratamiento 12 días consecutivos con MLT (igual dosis de G4). Los animales fueron anestesiados, extirpándose ambas GSM y sacrificados, previo ayuno 24 hs. Se midió la concentración de ácido úrico (AU), peróxidos lipídicos (PL) y acuosos (PA), actividad de superóxido dismutasa (SOD) y AS en homogenato de GSM. Análisis estadístico: ANOVA y test de Bonferroni, considerando significativo $p<0,05$. **Resultados** El tratamiento con Cf disminuyó la concentración de AU y la actividad de SOD (AU, mg/mg prot., G1: 2,50±0,68; G2: 2,18±0,13; G3: 0,54±0,09* G4: 1,95±0,24#, G5: 2,64±0,47, *p< 0,01 G3 vs G1, G2, G4; #p< 0,01 G4 vs G3 y G5; SOD, U/mg prot., G1: 4,57±0.95, G2: 4,79±0,94, G3: 2,18±0,53*, G4: 5,13±1,10, G5: 5,09±0,39,*p< 0,01 G3 vs G1, G2, G4 y G5). El tratamiento con MLT previno esos efectos. Además, Cf aumentó la formación PL y PA e inhibió la actividad de AS y MLT la normalizó parcialmente. **Conclusión/es** MLT mejoró el estado redox y la actividad de AS en GSM de ratas tratadas con Cf. MLT podría prevenir los procesos oxidativos y funcionales en GSM producidos por Cf.

107
ID 173

EFECTOS COMPARATIVOS DE DISTINTOS PERIODOS DE HIPOXIA SOBRE TEJIDOS ORALES DE RATA

*Giuliana Rugolo[1], Ching Ming Lee[2], Clarisa Bozzini[1], María del Pilar Martinez[1], Antonela Romina Terrizzi[1].
1. Cátedra de Fisiología, FOUBA. 2. Cátedra de Preclínica de Rehabilitación Protética, FOUBA

Objetivo/s El objetivo del presente trabajo es determinar cuál es el mejor período de exposición a hipoxia (intermitente y continua) para el estudio de los efectos de los bajos niveles de oxígeno sobre los tejidos orales. **Materiales y Métodos** Ratas Wistar hembras adultas se mantuvieron en cámara hipobárica a 600 mbar en forma crónica continua (HCC), n=14; 23,5 h/día 7 d/semana e intermitente (HCI), n=14; 18 h/día de lunes a viernes. Un grupo control (C) permaneció en normoxia. Al mes, se realizó la eutanasia a la mitad de los animales, continuando el resto en hipoxia por un período total de 90 días (3 meses). Finalizados ambos períodos experimentales se extrajeron mandíbulas, glándulas submaxilares (GSM) y encías para realizar biomecánica y estudio de parámetros inflamatorios. Los resultados obtenidos se analizaron mediante ANOVA y test de Tukey y se expresaron como media±SEM. **Resultados** La biomecánica mostró disminución significativa ($p<0.1$) únicamente de las propiedades materiales a los 3 meses de exposición. La hipoxia intermitente a los 3 meses aumentó el contenido de prostaglandina E2 en encías (C:13.09±1.94, HCI:21.63±1.09, HCC: 18.58±4.2) y en GSM (C: 0.10±0.01, HCI: 0.19±0.02, HCC: 0.13±0.03). En encía, la actividad de la enzima óxido nítrico sintasa inducible se incrementó significativamente por hipoxia intermitente al cabo de 1 mes mientras que recién a los 3 meses aumentó en el grupo de hipoxia continua. Al 3er mes de exposición los niveles de TBARS aumentaron significativamente en las GSM de los animales expuestos a ambas condiciones de hipoxia (C: 3.04±0.69, HCI: 4.90±0.25, HCC: 4.74±1.10). **Conclusión/es** A partir de lo observado, concluimos que se requiere mayor tiempo de exposición a hipoxia para evidenciar los efector deletéreos de la misma sobre el tejido óseo. Si bien, al cabo de 1 mes se observan cambios en algunos parámetros inflamatorios orales, los mismos alcanzaron mayor relevancia a los 3 meses, probablemente debido a las interacciones de los distintos mediadores moleculares activados durante la exposición a hipoxia. En síntesis, el mejor modelo animal para estudiar los efectos de la exposición crónica a hipoxia sobre los tejidos orales es a 3 meses.

108
ID 123

PATRONES DIURNOS DE CORTISOL Y ALFA AMILASA SALIVAL EN ADULTOS JÓVENES SANOS

*Rolando Pablo Alejandro Juárez, Armando Cesar Celia.
Laboratorio de Investigaciones Científicas. Facultad de Odontología. Universidad Nacional del Nordeste.

Objetivo/s El objetivo de este estudio fue identificar patrones diurnos de cortisol (Corts) y alfa amilasa (AAs) salival en adultos jóvenes sanos y correlacionar los niveles con género y edad. **Materiales y Métodos** Un total de 50 estudiantes de odontología de las clínicas integradas de la FOUNNE, sin antecedentes de trastornos físicos o psiquiátricos participaron en el presente estudio descriptivo de corte transversal. Los participantes recibieron instrucciones para recoger muestras de saliva completa no estimulada en sus hogares, mediante salivación pasiva. La autocolección fue matutina (6:30-7:30 AM) y vespertina (4:00-6:00 PM). Todos los participantes dieron su consentimiento informado por escrito. El Corts se analizó utilizando inmunoensayo por quimioluminiscencia y la actividad de AAs mediante método cinético a 405 nm, sustrato CNPG3. El análisis estadístico de los resultados se realizó mediante la prueba t de Student y coeficiente de correlación de Pearson. **Resultados** La muestra estuvo compuesta por 29 mujeres y 21 hombres, con edades entre 19 y 34 años (edad media: 21,10 años). El valor medio de Corts de la mañana fue significativamente más alto en comparación con la tarde (AM 0,29 ± 0,11 µg/dl, PM 0,06 ± 0,03 µg/dl, $p < 0,0001$). La AAs presentó niveles vespertinos superiores a los matutinos (AM 190,84 ± 61,80 U/ml, PM 282.74 ± 59.60 U/ml, $p < 0,0001$). Resultaron significativos los coeficientes entre Corts-AM y Corts-PM ($p = 0,0106$), pero no entre Corts, edad y género. Los coeficientes entre AAs-AM y AAs-PM fueron significativos ($p = 0,0001$), pero no entre AAs y edad. El género masculino presentó valores de AAs superiores al femenino ($p < 0,0001$). Los coeficientes de variabilidad fueron altos, para Corts (AM: 38,34; PM: 51,15) y AAs (AM: 32,38; PM: 21,08). **Conclusión/es** Los niveles de Corts y AAs, muestran fluctuaciones diurnas con alta variabilidad, intra e interindividual, de las mediciones matutinas y vespertinas.

109
ID 223

CONCENTRACIÓN DE GLUCÓGENO EN GLÁNDULA SUBMANDIBULAR DE RATAS POR CITOSTÁTICOS Y BEVACIZUMAB

Claudio Gastón Dubersarsky[1], Evelin Bachmeier[1], Daniela Josefina Porta[2], Emma Gloria Ferreyra Mariani[1], Fernando Martin Wietz[1], Roger Ariel Soria[1], María Angelica Rivoira[2], *Marcelo Adrián Mazzeo[1].
1. Catedra de Fisiología , Facultad de Odontología, UNC. 2. Instituto de Investigaciones en Ciencias de la Salud. INICSA-CONICET. Facultad de Ciencias Médicas. UNC

Objetivo/s Se evaluaron variaciones de glucógeno en homogenato de glándula submandibular de ratas (GSM) por acción de citostáticos y bevacizumab. **Materiales y Métodos** Se utilizaron ratas macho adultas Wistar divididas en seis grupos experimentales (G): G1 (control), G2 (5-fluorouracilo+leucovorina cálcica), G3 (bevacizumab), G4 (Oxaliplatino), G5 (5-fluorouracilo+leucovorina cálcica+ bevacizumab+oxaliplatino), G6 (alimentación apareada, sin drogas). Recibieron alimentación ad libitum menos G6 que consumió el promedio de la ingesta del grupo G5. Tratamientos por vía i.p.: G2 (20mg y 10 mg/Kg pc por 5 días consecutivos), G3 (0,2 mg/kg pc, días 1 y 15), G4 (25 mg/ Kg pc, días 1 y 15) y G5 (se administró en forma conjunta por vía i.p. G2 por 5 días consecutivos, G3 y G4, días 1 y 15). Los animales fueron ayunados por 24 horas, anestesiados, extirpándose ambas GSM y sacrificados. En homogenato glandular se analizó concentración de glucógeno. Análisis estadístico: ANOVA y test de Bonferroni (post hoc), considerando significativo $p<0,05$. **Resultados** La concentración de glucógeno fue similar en G1 y G6 (20,56±0,64 y 23,52±2,10 (umol /g-1 p.s., respectivamente) y menor que en los otros grupos de tratamiento (G2: 48,2±0,01; G3: 36,27±5,21; G4: 42,9±9,35; G5: 53,6±3,88 umol /g-1 p.s., $p<0,01$). La concentración de glucógeno en G3 fue mayor que en controles, pero su incremento fue significativamente menor que los grupos tratados con citostáticos. G2 y G5 mostraron mayor incremento de este sustrato. **Conclusión/es** La síntesis y/o utilización de glucógeno podría ser afectada por el tratamiento con citostáticos y no por bevacizumab, siendo más evidente este efecto en 5-FU. Posiblemente la mayor concentración de glucógeno en GSM de los animales tratados con citostáticos seria por la toxicidad ocasionada por estas drogas, afectando la utilización de este sustrato para la actividad secretoria. Para evaluar consumo se analizará concentración de glucógeno luego de 60 minutos de estimulación mecánica. Se ampliará estudio sobre parótida.

110
ID 256

VESÍCULAS EXTRACELULARES Y ACTIVIDAD ATPASA SALIVAL: INFLUENCIA DE LA PERIODONTITIS SEVERA

*Martin Matias Barbieri van Haaster[1], Hernán Bontá[2], Betina Orman[3], Débora Alejandra Gonzalez[1].
1. Cátedra de Biofísica y Bioestadística. 2. Cátedra de Periodoncia. 3. Cátedra de Farmacología. -FOUBA.

Objetivo/s El ATP salival es hidrolizado hasta adenosina por ectonucleotidasas, y una fracción de esta actividad enzimática se asocia a vesículas extracelulares (VE). Dado que el ATP extracelular tiene un efecto pro-inflamatorio y la adenosina un efecto protector, decidimos estudiar la influencia de una enfermedad inflamatoria como la periodontitis severa sobre la [ATP] y la actividad nucleotidasa tanto en saliva completa como en VE. **Materiales y Métodos** Se obtuvieron muestras de saliva basal de individuos con diagnóstico de enfermedad periodontal severa (grupo PS) y sin enfermedad periodontal (grupo C). Ambos grupos fueron apareados por edad y sexo. Con una técnica luminiscente (luciferina/luciferasa) se registró la [ATP] salival y, una vez hidrolizado se midió la actividad ATPasa de la saliva tras el agregado de 250 nM ATP exógeno. También se midió la actividad ATPasa de VE obtenidas con el reactivo ExoQuick a partir de saliva acelular (saliva centrifugada durante 30´ a 5000 rpm). Todos los grupos fueron sometidos al test estadistico t-student. Los resultados se expresaron como media ± EE. **Resultados** El grupo PS presentó i) mayor [ATP] en la saliva completa (PS: 895±237 nM, n=18 / C: 332±65 nM, n=17, p=0,03), ii) mayor actividad ATPasa en saliva completa (PS: 53,1±7,4 min-1/ml, n=18, C: 14,6±2,8 min-1/ml, n=17 / p: 0,0001), iii) mayor actividad ATPasa en VE (PS: 2,6± 0,9 min-1/ml, n=13, C: 0,6±0,1 min-1/ml, n=17, p=0,01), iiii) mayor cantidad de proteína asociada a VE (PS: 0,43±0,07 mg prot/ml, n=16, C: 0,15±0,02 mg prot/ml, n=18, p=0,0001). No se observó diferencia significativa en la actividad específica de las VE de ambos grupos (PS: 6,6±1,9 min-1/mg prot, n=13, C: 4,0±0,3 min-1/mg prot, n=17, p=0,13). **Conclusión/es** La enfermedad periodontal modifica la homeostasis del ATP en la cavidad oral. Los pacientes con enfermedad periodontal severa presentaron mayor [ATP], y mayor actividad ATPasa salival y vesicular por ml de saliva. No se observó diferencia en la actividad de las VE por unidad de masa de proteína, lo que sugiere que el aumento de actividad vesicular se debería a un aumento en la cantidad de vesículas secretadas, manteniéndose su actividad ATPasa específica. Estos resultados contribuyen al conocimiento de la señalización purinérgica en la cavidad oral.

111
ID 122

PREVALENCIA DE TRASTORNOS TEMPOROMANDIBULARES EN POBLACIÓN EN TRATAMIENTO POR DROGODEPENDENCIA

*Enrique Rotemberg, Fernando Massa, Marcelo Kreiner
Cátedra de Fisiología General y Bucodental Facultad de Odontología Udelar (Montevideo, Uruguay)

Objetivo/s El consumo de drogas puede ser agente etiológico de trastornos temporomandibulares (TTM). Trabajos previos de tipo transversal confirman esta hipótesis en poblaciones específicas. Hipótesis: La prevalencia de signos y síntomas de TTM estaría asociado a factores como el consumo de drogas o el estrés entre otros y varían desde el inicio hasta el final del tratamiento de la drogodependencia. Se procuró estimar la prevalencia de signos y síntomas de TTM al ingreso y egreso de la internación por drogodependencia y posibles factores asociados y conocer el perfil sociodemográfico y comportamental de la población objeto **Métodos** Se realizó un estudio prospectivo, analítico y longitudinal implementado en el Portal Amarillo, Centro Nacional de Información y Referencia para la Rehabilitación de Drogas de Uruguay dependiente de la Administración de Servicios de Salud del Estado. Se incluyeron 133 pacientes consecutivos de 15 a 35 años en la etapa de inicio de su tratamiento por abuso de drogas. Se excluyeron los pacientes no cooperadores y los pacientes con trastornos psiquiátricos graves. El tamaño muestral se realizó en base a un estudio previo en población de similares características. Se consideró una pérdida del 40% para el examen final por fuga, alta contra voluntad médica o faltas graves de conducta. Los participantes fueron relevados por un solo examinador calibrado. Se solicitó consentimiento informado del participante o su representante legal. Análisis estadístico: para la muestra inicial tablas de frecuencia absoluta y relativa, tablas de contingencia, test de chi cuadrado. Para la muestra final test de Mc Nemar. **Resultados** La prevalencia de participantes con uno o más signos de TTM al ingreso fue de 58,5% y con uno o más síntomas de TTM de 68,4%. La presencia de signos presentó asociación con autopercepción de estrés (p=.019) y consumo de alcohol (p=.029). La prevalencia de síntomas presentó asociación con autopercepción de estrés (p=.038), consumo de mate (p=.037) y de alcohol (p=.048). En el análisis comparativo global de las variables, entre el ingreso y el egreso, no se registraron diferencias significativas. La muestra presentó antecedentes legales (50%), o de padecer y/o ejercer violencia de género (25%), intentos de autoeliminación (22%), situación de calle (19%), cursar enfermedades de transmisión sexual (16% mujeres y 4% hombres), entre otros **Conclusión/es** La prevalencia de signos y síntomas de TTM la población objeto fue mayor comparada con la población general y se encontró asociación estadísticamente significativa con ciertos factores como la autopercepción de estrés y el consumo de mate/alcohol. La muestra fue de alta vulnerabilidad socio-económica. El tratamiento en régimen de internación a corto/mediano plazo no parece tener un efecto significativo en la prevalencia global de signos y síntomas de TTM.

112
ID 235

EVALUACIÓN ECOGRÁFICA DE ARTRITIS REUMATOIDE EN ARTICULACIONES TEMPOROMANDIBULARES Y MANOS

*Karen Rhys, Carla Gobbi, María Elena Castrillón, Carolina Paulazo, Matías Morón, Verónica Savio, Eduardo Albiero. Rosa Figueroa, Mariana Ittig, Juan Ávila, Paula Alba.
Universidad Nacional de Córdoba. Hospital Córdoba

Objetivo/s Observar y comparar el avance de la artritis reumatoide en las articulaciones temporomandibulares y las articulaciones de las manos. **Materiales y Métodos** Es un estudio de carácter observacional descriptivo prospectivo transversal. Se estudiaron 60 pacientes que asistieron de forma consecutiva al Servicio de Reumatología de un Hospital Polivalente. Fueron evaluados conjuntamente por odontóloga y médico/a reumatólogo/a. Todos los pacientes cumplían con criterios de AR según el American College of Rheumatology. Se realizaron ecografías con power doppler de las articulaciones temporomandibulares y las articulaciones radiocarpianas, intercarpianas, metacarpofalángicas e interfalángicas proximales de las manos, todas fueron efectuadas e informadas por la misma doctora en medicina especialista en diagnóstico por imágenes. El corte analítico se realizó en los dos milímetros de derrame articular. Se registraron las superficies óseas como regulares e irregulares, según lo observado. El estudio fue sometido a evaluación y aprobado por el CIEIS del Adulto del Hospital. **Resultados** En articulaciones derechas, con derrame articular ≥ 2mm, presentaron superficies irregulares: ATM 50% de superficies condilares, 44% de cavidades glenoideas. En las articulaciones carpo rac. e inc. 44%, metacarpofalángicas 11% e interfalángicas proximales 6%. Mientras que las articulaciones del lado izquierdo, con superficies óseas irregulares y con derrame articular ≥ 2mm: ATM 28% de condilares, 33% cavidades glenoideas. En carpo rac. e inc. 44%, metacarpofalángicas 17% e interfalángicas proximales 6%. **Conclusión/es** La ecografía es un método de diagnóstico rápido, económico, inocuo, de fácil acceso y suma utilidad en brindar la información necesaria acerca de ATM y de las manos. Sus resultados fueron contundente al mostrar el avance de la enfermedad. Las manos son las articulaciones más analizadas en la AR y las ATM no suelen ser evaluadas de rutina, aunque son las articulaciones más sociales y de ellas depende la alimentación del paciente. El diagnóstico precoz y el tratamiento temprano en ambas articulaciones son fundamentales, el abordaje de decisiones interdisciplinarias y la acción conjunta sobre el avance de la AR, mejora el pronóstico del paciente y su calidad de vida.

113
ID 257

RELACIÓN ENTRE RUIDO PREVIO EN LA ATM Y LUXACIÓN DISCAL SIN REDUCCIÓN

*Daniel Aníbal Rodríguez[1], Carolina De La Cal[2], César Ángel Ossola[1], Juan Carlos Elverdin[1].
1. Cátedra de Fisiología. FOUBA. 2. Cátedra de Biofísica. FOUBA.

Objetivo/s La luxación discal sin recaptura o sin reducción se define como una alteración en la relación armónica entre el cóndilo y el disco articular, donde éste se posiciona en una relación anterior con respecto al cóndilo en la cavidad glenoidea generando un bloqueo en la trayectoria de apertura. Por lo tanto, el disco no se reduce quedando "permanentemente" desplazado. La aparición de chasquido en la articulación temporomandibular (ATM) con los movimientos mandibulares se relaciona con el desplazamiento del disco con recaptura o con reducción, lo que puede ocurrir en distintas circunstancias, pero en especial cuando existe hipermovilidad (hiperlaxitud) o subluxación articular. El objetivo del presente trabajo es establecer una relación entre la luxación discal sin reducción y la presencia de ruidos articulares previos, así como también determinar una distribución de frecuencia por edades en la aparición de dichos ruidos. **Materiales y Métodos** Se tomaron 130 pacientes, 114 mujeres y 14 hombres, que, luego del examen clínico y por imágenes, fueron diagnosticados con luxación discal sin recaptura de la ATM. Se realizó el interrogatorio consultándoles si ellos previamente habían tenido ruidos en sus ATM. Se realizó un estudio descriptivo estableciendo el cociente de aparición de ruido previo en pacientes con luxación, al mismo tiempo que se los agrupó en rangos de edades. Análisis estadístico: Microsoft Excel y Chi-cuadrado con bondad de ajuste contra distribución uniforme. **Resultados** De la muestra total de 130 pacientes, 114 fueron mujeres y 16 fueron hombres. El 70,77% (92 pacientes) presentó luxación discal de ATM unilateral, en tanto que el 29,23% (38 pacientes) presentó luxación bilateral. El 55,38% (72 pacientes) manifestó haber experimentado ruidos previos, mientras que el 44,62% (58 pacientes) no. Los rangos de edad en donde el ruido articular y la luxación discal fueron más frecuentes fueron 15-25 y 26-35 años. **Conclusión/es** Se concluye que la aparición de ruido articular puede ser un manifestación previa de luxación de disco de ATM, aunque no representa un indicador constante de ella. La presencia de ruidos articulares y de luxación articular se presenta con mayor frecuencia en adolescentes y adultos jóvenes de hasta 35 años.

114
ID 234

ADHESIÓN DE CANDIDA ALBICANS EN RESINA ACRÍLICA TERMOPOLIMERIZABLE E IMPRESA EN 3D

*Artur Ferronato Soto[1], Michelle Casal Coleta de Barros[1], Rangel Lidani[1], Ricardo Ruiz Mazzon[2], Thais Mageste Duque[1], Maurício Malheiros Badaró[1].
1. Universidad Federal de Santa Catarina (UFSC) - Centro de Ciencias de la Salud (CCS) - Departamento de Odontología (ODT). 2. Universidad Federal de Santa Catarina (UFSC) - Centro de Ciencias Biológicas (CCB)

Objetivo/s El objetivo fue comparar la adhesión de Candida albicans y la cuantificación de biopelículas crecidas en resinas acrílicas termopolimerizables (RAT) e impresas en 3D (RAI). **Materiales y Métodos** 78 especímenes (20 x 10 x 2 mm; n = 39/ material) fueron hechos de resina acrílica por métodos de polimerización convencionales con energía térmica (RAT) y resina acrílica hecha por métodos digitales en software Autodesk Meshmixer, seguido de impresión (RAI). La aspereza inicial se estandarizó en un rugosímetro de 2,7 a 3,7 µm y el inóculo de C. albicans (ATCC 10231) en 107 células/mL. Se formó una biopelícula en las muestras después de la incubación a 37°C durante 72 horas, con agitación de 75 rpm. Fotomicrografías fueran hechas en microscopio electrónico de barrido (MEB), con magnificación de 100x hasta 10.000x para analizar la superficie de los materiales con y sin biopelículas, comprobando la adhesión de C. albicans. El análisis de cuantificación de la biopelícula, por triplicado, utilizó los métodos de recuento de unidades formadoras de colonias (UFC/mL) y tinción con cristal violeta, seguido de lectura de densidad óptica. La normalidad de los datos utilizó la prueba de Shapiro-Wilks, con resultados no paramétricos. Para la comparación de rugosidad entre resinas se realizó la prueba de Kruskal Wallis. Se utilizó la prueba de Mann-Whitney con respecto al recuento de UFC+1/mL (log10) y a los valores de densidad óptica. El nivel de confianza fue del 5% ($p < 0,05$). **Resultados** El análisis de las fotomicrografías comprobó más porosidades en RAT, con consecuente crecimiento de biopelículas aumentado. RAT (5,78 ± 0,43) tuvo un recuento de UFC/mL ($p < 0,001$) mayor que RAI (4,84 ± 0,39). Hubo una diferencia en la cuantificación de la biopelícula de C. albicans ($p < 0,001$) con mayor acumulación sobre RAT (1,59 ± 0,31) en comparación con RAI (1,10 ± 0,14). **Conclusión/es** Se concluyó que la adhesión y acumulación de C. albicans en la superficie fue menor en la resina acrílica de impresión 3D en comparación con la resina acrílica termopolimerizable.

115 ID 236

EVALUACIÓN DE ARTICULACIONES TEMPOROMANDIBULARES EN PACIENTES CON ARTRITIS REUMATOIDE MEDIANTE RESONANCIA MAGNÉTICA

*Karen Rhys, Carla Gobbi, María Elena Castrillón, Carolina Paulazo, Matías Morón, Alejandro Albiero, Verónica Savio, Beatriz Busamia, Eduardo Albiero, Paula Alba, Marcelo Yorio.
Universidad Nacional de Córdoba. Hospital Córdoba

Objetivo/s Evaluar mediante resonancia magnética las articulaciones temporomandibulares en pacientes con artritis reumatoide **Materiales y Métodos** Estudio observacional, descriptivo, prospectivo de corte transversal. Se incluyeron 30 pacientes con artritis reumatoide según criterios del American College of Rheumatology, que asistieron de manera consecutiva al Servicio de Reumatología de un Hospital Polivalente. Criterios de inclusión: pacientes entre 18 y 65 años, que no hubieran perdido la dimensión vertical del sistema estomatognático. A todos los pacientes un mismo operador les realizó la RNM y una misma médica especialista en diagnóstico por imágenes las analizó e informó. El estudio fue realizado con boca abierta y cerrada, en resonador de 1.5T Siemens, utilizando bobina de superficie. El presente trabajo está aprobado por el CIEIS del Adulto del Hospital **Resultados** Las resonancias mostraron alteraciones a nivel óseo tanto en el maxilar inferior como en el hueso temporal. Acusaron modificaciones importantes en los discos que pueden afectar la funcionalidad de las articulaciones. En cuanto al disco articular, el lado izquierdo presenta mayores alteraciones, por ejemplo, mientras que del lado derecho solo el 4% muestran desgarro/ruptura del disco, del lado izquierdo lo hace el 14%. Cambio en la intensidad del fibrocartílago discal, se ven afectadas el 32% del lado derecho y el 54% del lado izquierdo. Existen degeneraciones en el disco de la derecha en el 32% y de la izquierda el 43%. En cuanto a las irregularidades discales se afectaron el 11% del lado derecho y el 18% del lado izquierdo. En referencia a las superficies articulares se apreció una relación más igualitaria entre los porcentajes del lado derecho y el lado izquierdo. Ante un dimorfismo condilar, ambos lados acusaron un 32%. Erosiones presentaron los dos lados el 4%. Irregularidades condilares del lado derecho se observaron en el 46% de los pacientes y el 39% del lado izquierdo. Alteraciones subcondrales tuvieron el 18% en la articulación diestra y 32% en la izquierda. El lado derecho no mostró dimorfismos temporales y el lado izquierdo el 7%. Del lado derecho tampoco presentaron osteofitos, pero el 4% del lado izquierdo si los tenían. Son articulaciones que mostraron geodas en el 7% del lado derecho y el 14% del lado izquierdo **Conclusión/es** Debido a su resolución la RNM muestra datos que resultan imprescindibles para el diagnóstico exacto y la planificación terapéutica adecuada en articulaciones tan complejas como las ATM

116 ID 179

APEXIFICACIÓN EN UNA CITA UTILIZANDO MATERIAL BIOCERÁMICO COMO TAPÓN APICAL

*María Sol Uría, Alicia Beatriz Labarta, Gonzalo Alberto García, Romina Paola Quiroga,Pablo Alejandro Rodriguez.
Cátedra de Endodoncia.FOUBA.

Objetivo/s Realizar técnica de apexificación en una sola cita, generando un tapón apical con Endosequence Root Repair Material (ERRM) y evaluar el cierre apical en un período de 9 meses **Materiales y Métodos** Se realizó prueba piloto. Se trataron 30 incisivos superiores permanentes, con ápice abierto, pulpa necrótica y lesión periapical radiográficamente evidente, de pacientes entre 18-40 años (n=30). Se dividieron aleatoriamente en dos grupos: experimental (n=15) apexificación con tapón biocerámico, y control (n=15) apexificación con impresión apical. Se realizaron controles clínicos y radiográficos al mes, 3, 6 y 9 meses. **Resultados** Las diferencias entre proporciones de manifestaciones preoperatorias y postoperatorias según grupo fueron estadísticamente no significativas (pFisher = 0.9140) y (pFisher = 0.992) respectivamente. No se hallaron diferencias entre proporciones de hallazgos radiológicos preoperatorios según grupo. Medidas trimestralmente, no hubo diferencias significativas entre proporciones de piezas con continuidad de la cortical ósea según grupo (pFisher = 0.7780), ni entre piezas con radiolucidez periapical postoperatoria según grupo (pFisher = 0.7909). **Conclusión/es** Dada la escasa cantidad de trabajos que reportan el uso clínico del ERRM para la técnica de apexificación y el bajo tamaño muestral que éstos poseen, se requiere la realización de nuevos ensayos clínicos, con tamaños muestrales más amplios, para compararlo con otros materiales y otras técnicas y determinar así, si su tasa de éxito a largo plazo es mayor que la de los materiales y técnicas utilizadas en la actualidad

117
ID 258

ANÁLISIS DESCRIPTIVO DEL PRIMER MOLAR DE RATA CON MICROTOMOGRAFÍA

*Liz Katherine Garay Avendaño[1], Nicolás Alfie[1], Pablo Pérez Rodríguez[1], Alejandra Migueles[1], Florencia Neput[1], Vazquez María Clara[1], Selene Martinez[2], Ariel Gualtieri[3], Pablo Alejandro Rodriguez[1], María Lorena Cabirta[1].
1. Catedra de Endodoncia, FOUBA. 2. Cátedra de Diagnóstico por imágenes, FOUBA. 3. Cátedra de Biofísica y Estadística, FOUBA

Objetivo/s Conocer el volumen de los tejidos dentarios y espacio pulpar en los primeros molares mandibulares de ratas Wistar con micro-CT, permite desarrollar futuras líneas de investigación en endodoncia. **Materiales y Métodos** 24 ratas Wistar macho fueron anestesiadas con ketamina/xilacina (45 mg/kg, 10 mg/kg) por vía i.p. Se procedió a la eutanasia cuando alcanzaron el peso de 200g, se resecándose las mandíbulas y extrayendo el primer molar inferior con magnificación 3.5x. Se obtuvieron 14 primeros molares intactos que fueron almacenados en solución fisiológica. Se analizaron con un microtomógrafo de rayos X (Bruker Skyscan 1272), con un voltaje/corriente de 70 Kv/140 µA y resolución de 8.9 µm. Se utilizó el software CTan para análisis morfométrico 3D a nivel coronario y total de la pieza dentaria (volumen en mm3 de esmalte, dentina y espacio pulpar). Se describieron parámetros estadísticos: mínimo, máximo, mediana, primer cuartil (Q1), tercer cuartil (Q3), media y desviación estándar (DE). Se empleó el programa MedCalc v. 20.113 (MedCalc Software Ltd., 2022). **Resultados** El volumen total del esmalte (mm3) estuvo entre 0,92 y 1,69, con una mediana (Q1/Q3) de 1,23 (1,13/1,46) y una media (DE) de 1,28 (0,23). El volumen total de dentina (mm3) estuvo entre 6,40 y 7,95, con una mediana (Q1/Q3) de 7,10 (6,69/7,47) y una media (DE) de 7,10 (0,50). El volumen del espacio pulpar endodóntico (mm3) estuvo entre 1,29 y 2,33, con una mediana (Q1/Q3) de 1,58 (1,45/1,80) y una media (DE) de 1,67 (0,31). El volumen de dentina en la porción coronaria (mm3) estuvo entre 3,72 y 4,73, con una mediana (Q1/Q3) de 4,06 (4,01/4,14) y una media (DE) de 4,12 (0,27). El volumen del espacio de la cámara pulpar (mm3) estuvo entre 0,61 y 1,62, con una mediana (Q1/Q3) de 0,95 (0,83/1,05) y una media (DE) de 0,99 (0,30). **Conclusión/es** En este estudio se lograron obtener valores de referencia para volumen de esmalte, dentina y espacio pulpar en primeros molares de rata Wistar, con el fin de utilizarlos en futuros estudios de endodoncia experimental.

118
ID 259

EVALUACIÓN DEL ÁPICE POST-MICROCIRUGÍA CON MICROTOMOGRAFÍA DE RAYOS X.

*Florencia Daira Neput[1], María Lorena Cabirta[1], Nicolás Alfie[1], Maria Laura Giménez del Arco[1], Li Ting Lee[1], Eugenia Miklaszewski[1], Ariel Gualtieri[2], Ailin Gomez[3], Vazquez Diego[3], Pablo Alejandro Rodriguez[1].
1. Catedra de Endodoncia, FOUBA. 2. Cátedra de Biofísica y Estadística, FOUBA. 3. Cátedra de Diagnóstico por imágenes, FOUBA.

Objetivo/s Estudiar mediante micro-CT, el volumen del espacio endodóntico obturado y no obturado en ápices de dientes unirradiculares y multirradiculares, obtenidos post microcirugía apical. **Materiales y Métodos** Se seleccionaron 20 ápices obtenidos post microcirugía apical y se dividieron en 2 grupos: G1: ápices de piezas unirradiculares (n=10) y G2: ápices de piezas multirradiculares (n=10). Los criterios de inclusión fueron: ápices de piezas dentarias superiores e inferiores; integridad anatómica de 3mm y ausencia de reabsorciones radiculares. Se consideraron únicamente ápices cuyas lesiones afectaban solo una pieza dentaria (en caso de unirradiculares) o una raíz (en piezas multirradiculares). Las muestras fueron escaneadas con un microtomógrafo (Bruker SkyScan 1272) Parámetros de adquisición: Voltaje (kV)= 80; Corriente (µA)= 125; Resolución (µm)= 10; Mediante software específicos se midieron el volumen total del sistema de conductos y el volumen de la obturación endodóntica en mm3. Los datos se analizaron mediante la prueba U de Mann-Whitney. ($p<0,05$) **Resultados** El volumen total del espacio endodóntico (mm3) estuvo entre 0,09 y 4,15, con una media (DE) de 0,70 (0,94). No hubo diferencias significativas ($U=40$; $p=0,45$) del volumen total del espacio endodóntico entre dientes unirradiculares y multirradiculares. El volumen endodóntico obturado (mm3) estuvo entre 0,00 y 3,80 con una media (DE) de 0,43 (0,85). No hubo diferencias significativas ($U=40$; $p=0,45$) del volumen endodóntico obturado entre dientes unirradiculares y multirradiculares. Se encontraron diferencias significativas entre el volumen endodóntico obturado y el volumen total del espacio endodóntico a nivel global ($U = 112$; $p < 0,05$) y dentro de dientes multirradiculares ($U = 24$; $p < 0,05$). Por el contrario, las diferencias no fueron significativas en dientes unirradiculares ($U = 31$; $p = 0,15$). **Conclusión/es** El volumen obturado respecto del volumen total, en los ápices de las piezas multirradiculares, fue menor y estadísticamente significativo, lo cual permite inferir que la anatomía del espacio endodóntico en este tercio es más difícil de ser abordada durante la instrumentación.

119
ID 270

INTEGRIDAD DEL MEDIO DE FIJACIÓN PARA POSTES DE FIBRA: ESTUDIO IN VITRO

Romina Loiacono[1], *Carolina Alexia Anaise[1], Marcela Laura Roitman[1], Mariana Picca[2], Pablo Alejandro Rodríguez[1], Ricardo Macchi[2].
1. Cátedra de Endodoncia, FOUBA.2. Cátedra de Materiales Dentales, FOUBA.

Objetivo/s Evaluar la integridad de un medio de fijación autoadhesivo dual y la presencia de material de obturación endodóntico remanente dentro de la preparación intrarradicular luego de cementar un poste de fibra sin anatomizar. **Materiales y Métodos** Se utilizaron 50 premolares inferiores humanos con tratamiento endodóntico y preparados para poste en forma inmediata La fijación de los postes Exacto (Angelus, Brasil) se realizó con Relyx U200 (3M, USA) marcado con rodamina. Se hicieron cortes representativos de cada tercio radicular. Las muestras fueron observadas con microscopio láser confocal Olympus LEXT OLS 4000 3D. Se tomaron microfotografías mediante un Software Olympus LEXT OLS4100 Versión 3.1.1.1. a x 108 y se realizaron mediciones de las áreas ocupadas por remanente de la obturación endodóntica, Relyx U200, poste y burbujas. Las imágenes fueron procesadas mediante el programa Image J . Análisis estadístico: prueba de Friedman. **Resultados** A continuación, se expresan las media y desvío standard para cada variable: T. cervical: poste: 42,8% (10%); RX:48% (11,9); mat.endo:1,3% (3,1%); burb: 8% (9,6%). T medio: poste: 52,8% (12,7%); RX:39,9% (11,5%); mat.endo: 3,7% (7,1%); burb: 3,6% (6,8%).T. apical: poste: 53,7% (17%); RX.40,3% (15,7%); mat. endo: 4,7% (9,5%); burb: 1,8% (3,8%). **Conclusión/es** La integridad del medio de fijación autoadhesivo dual se vio afectada por la incongruencia entre el perímetro de la preparación intrarradicular y el poste de fibra sin anatomizar, presentando grandes espesores de película , burbujas y remanente de la obturación endodóntica en todos los tercios radiculares.

120
ID 275

DECOLORACIÓN CORONARIA INDUCIDA POR DISTINTOS BIOCERAMICOS UTILIZADOS EN PROCEDIMIENTOS DE REGENERACIÓN PULPAR.

*Camila Duran[1], Melina Punto[1], Ariel Gualtieri[2], Lorena Nastri[1], Paula Corominola[1], Pablo Rodriguez[1].
1. Catedra de Endodoncia, FOUBA. 2. Cátedra de Biofísica y Estadística, FOUBA.

Objetivo/s Comparar el grado de decoloración de la corona clínica, en piezas dentarias anteriores humanas extraídas sometidas a procedimientos de regeneración endodóntica (PRE), utilizando MTA blanco o BIODENTINE como barrera cervical en presencia o ausencia de sangre como andamiaje. **Materiales y Métodos** En total se prepararon 24 piezas dentarias anteriores superiores humanas que fueron divididas en dos grupos control (GC) y dos grupos experimentales (GE), cada uno incluía 6 piezas dentarias. En los GE se colocó sangre humana fresca en el interior del conducto y tras esperar la formación del coagulo, se confecciono una barrera de BIODENTINE (GC1) o MTA. En los GC se colocó una torunda de algodón estéril saturada con Sol. Fisiológica estéril y se confecciono una barrera de BIODENTINE o MTA. El color se evaluó de acuerdo con el espacio de color CIE L* a* b* utilizando imágenes fotográficas digitales tomadas con parámetros estandarizados en dos puntos de tiempo: día 0 (T0) y día 35 (T35). La descripción de los datos incluyó mediana (Md), primer cuartil (Q1), tercer cuartil (Q3), media y desviación estándar (DE). Se emplearon las pruebas de los rangos con signo de Wilcoxon (RSW) y ANOVA de una vía. $p < 0,05$ fue considerado significativo. **Resultados** Cuando se comparó ΔE se observaron diferencias significativas entre Grupo GC1 (BDT+ Sol. fisiológica) y el resto de los materiales ($p < 0,05$). ΔE fue menor en GC1 (media ± DE; 2,1 ± 1,6) que en los grupos restantes, entre los cuales no existieron diferencias significativas. **Conclusión/es** El uso de BIODENTINE debe ser considerado como la alternativa estéticamente más aceptable para los procedimientos de regeneración pulpar, sin embargo, debe ser manipulado en forma meticulosa ya su contaminación con componentes sanguíneos produce decoloración dentinaria al igual que el MTA BLANCO en PRE.

121
ID 309

ANÁLISIS CUANTITATIVO MICROTOMOGRÁFICO DE MATERIALES DE USO ENDODÓNTICO EN MODELO MURINO: ESTUDIO COMPARATIVO.

*Pablo Javier Pérez Rodriíguez[1], Gabriel Sanchez[2], Pablo Alejandro Rodríguez[1], Nicolás Alfie[1], Lorena Cabirta[1], Alejandra Migueles[1], Augusto Toma[2].
1. Catedra de Endodoncia, FOUBA. 2. Cátedra de Biofísica y Estadística, FOUBA.

Objetivo/s Caracterizar y analizar cuantitativamente la imagen microtomográfica de los tejidos dentarios en respuesta a biomateriales de obturación endodóntica en un modelo experimental de protección pulpar en ratas. **Materiales y Métodos** Estudio experimental comparativo de dos tiempos experimentales en cuatro grupos paralelos de ratas Wistar adultas (200g, 20 días): tiempo 0 (grupo control, n=24) y 60 días (grupo experimental, n=24), tratadas en cada tiempo (n=6) con Endosequence®, Biodentine, MTA e hidróxido de calcio. El protocolo de trabajo consistió en: apertura y exposición del cuerno pulpar mesial del primer molar inferior del animal bajo anestesia; aplicación aleatoria de los materiales en estudio; sellado de la cavidad con ionómero vítreo tipo II de fotocurado Fuji®. Los animales fueron eutanasiados a tiempo 0 (inmediatamente luego del protocolo de trabajo) y a los 60 días. Se realizó la exodoncia de las piezas, colocación en formol 10% y escaneado con Microtomógrafo Bruker SkyScan1272, Software Version 1.1.15, Camera Pixel Size (mm)=9.0. Se midió el volumen (mm3) de esmalte, cámara pulpar, dentina y biomamaterial, y se realizó análisis estadístico descriptivo (media y error standard) e inferencial (Pruebas Ji2, ANOVA 2 vías, Student-Newman-Keuls; p<0,05). **Resultados** La variación del volumen de esmalte, conducto y dentina dependió del tiempo transcurrido desde la aplicación (F = 3,72; p <0,05) y del material utilizado (F= 3,86;p <0,05). El volumen de dentina incrementó en función del tiempo, resultado significativamente mayor a los 60 días y con mayor proporción de incremento (34,56%) para Endosequence (3,69 vs. 4,96 mm3). El volumen del conducto disminuyó en función del tiempo, siendo significativamente mayor la disminución (37,7%) para Biodentine (0,59 vs. 0,37 mm3). El volumen del material disminuyó significativamente (94%) para el caso de Endosequence (0,42 vs. 0,02 mm3) e Hidróxido de calcio (0,27 vs. 0,01 mm3). El volumen de esmalte disminuyó en forma similar (20%) ante la aplicación de Hidróxido de calcio, MTA y Biodentine (0,7 vs. 0,5 mm3); pero, incrementó (3%) significativamente con Endosequence (0,84 vs. 0,86 mm3). **Conclusión/es** El aumento del volumen de tejido dentinario y la disminución del volumen de la cámara pulpar, permiten concluir que los cementos biocerámicos promueven la formación de dentina reparativa cuando son utilizados como recubrimiento pulpar.

122
ID 332

EVALUACIÓN IN VIVO DE LA RESPUESTA TISULAR EN RELACIÓN AL CEMENTO AH-PLUS.

*Alejandra Mabel Migueles[1], Pablo Alejandro Rodriguez[1], Sandra Judith Renou[2].
1. Cátedra de Endodoncia, FOUBA. 2. Cátedra de Anatomía Patológica , FOUBA.

Objetivo/s Evaluar en un modelo in vivo la respuesta de la medula ósea hematopoyética ante el AH Plus (Dentsply Sirona), a los 30 y 120 días post-implantación. **Métodos** Se utilizaron 20 ratas machos Wistar de 120 gr de peso corporal, bajo anestesia IP de solución (Ketamina 50 mg-Holliday, Argentina/Xilazina 2%-Kensol Köin, Argentina) se implantaron tubos de silicona con AH-Plus en el interior. El material en estudio fue preparado de acuerdo a las indicaciones del fabricante y analizado mediante MEB y EDS. A los 30 y 120 días post-implantación se practicó la eutanasia (Grupo 30 días G30-n:10 y Grupo 120 días G120-n:10) utilizando Tiopental sódico 1 gr/1ml (Thipenthal-Scott Cassara-Alemania). Las tibias fueron resecadas, fijadas en formol buffer, radiografiadas y desmineralizadas en ácido fórmico para su posterior procesamiento e inclusión en parafina. Se realizaron cortes histológicos transversales al eje mayor de la tibia y se colorearon con H-E. **Resultados** MEB: la superficie del AH-PLus evidenció zonas de partículas aglomeradas. Mediante EDS se determinó el % de peso de cada elemento químico: C-82.99; N-3.63; O-12.60; Si-0.04; Ca-0.07; Sr-0.08; Zr-0.32 y W-0.28. A los 30 y 120 días post-implantación se observó histológicamente en el extremo del tubo de silicona la presencia de tejido óseo de tipo laminar en relación al biomaterial, sin respuesta inflamatoria. Es de destacar que en ambos tiempos experimentales dos casos presentaban cemento por fuera del tubo de silicona, sin respuesta inflamatoria asociada y con neoformación de tejido óseo. **Conclusión/es** En los tiempos experimentales evaluados el AH-Plus resultó ser biocompatible sin alteraciones en función del tiempo.

123
ID 353

REGENERACIÓN ÓSEA POST-MICROCIRUGÍA APICAL ANTE LA UTILIZACIÓN DE SUSTITUTOS ÓSEOS Y MEMBRANAS.

*María Clara Vázquez[1], Nicolas Luis Alfie[1], María Lorena Cabirta[1], Miklaszewski Eugenia[1], Florencia Neput[1], Siragusa Cecilia[1], Ariel Felix Gualtieri[2], Buldo Mauro[1], Lenarduzzi Ariel[1], Renou Sandra[3], Rodriguez Pablo Alejandro[1].
1. Cátedra de Endodoncia, FOUBA. 2. Cátedra de Biofísica y Estadística, FOUBA.3. Cátedra de Anatomía Patológica , FOUBA.

Objetivo/s El objetivo del presente estudio es evaluar clínica y tomográficamente la regeneración ósea post-microcirugía apical a 6 y 12 meses, utilizando distintos protocolos de regeneración. **Materiales y Métodos** Fueron seleccionados 60 pacientes que concurrieron al servicio de Microcirugía Endodóntica (Cátedra Endodoncia-FOUBA) con indicación de microcirugía-apical en piezas dentarias endodónticamente tratadas con persistencia/aparición de lesión y persistencia de síntomas. Los pacientes firmaron consentimiento informado-Nº022/2019-CETICA-FOUBA. En la microcirugía apical se colocó en el defecto óseo matriz ósea bovina (OstiumMAX. Bioxen Laboratorios-Argentina), se conformaron dos grupos: Grupo1 (G-MC-n=30), se colocó membrana reabsorbible de colágeno de origen porcino (OstiumMAX-Cover. Bioxen Laboratorios-Argentina) y Grupo2 (G-PRF-n=30). membrana de fibrina rica en plaquetas. Las lesiones periapicales fueron remitidas al Laboratorio de Patología Quirúrgica-FOUBA. A partir de una CBCT de la lesión inicial, se realizó la medición de volumen a 6 y 12 meses post-cirugía. El análisis estadístico se realizó mediante la prueba ANOVA de medidas de repetidas con corrección de esfericidad de Greenhouse-Geisser y comparaciones post hoc o U de Mann-Whitney. p<0,05 fue considerado significativo. **Resultados** Resultados expresados en volumen-mm3 promedio±DS): lesión inicial/ 6 meses/ 12 meses).G-MC: 47,45±17,67/ 20,23±7,75/ 2,18±3,33 y G-PRF: 53,70±26,53/ 27,33±12,89/ 2,30±3,00. En cada grupo, hubo una disminución significativa del volumen en los tres tiempos evaluados (p<0,05). Las comparaciones post hoc arrojaron diferencias significativas (p<0,05) entre cualquier par de instancias. Entre ambos protocolos, la disminución del volumen fue significativa a los 6 meses (p<0,05). **Conclusión/es** Los resultados sugieren que ambos protocolos son efectivos para reducir el tamaño de la lesión tanto a los 6 como a los 12 meses post microcirugía.

124
ID 145

RESINAS BULK FILL VS NANOHÍBRIDAS. TIEMPOS OPERATORIOS Y LONGEVIDAD EN DENTICIÓN PRIMARIA

*Jimena Anchava, Karina Melian, Adriana Savia, Silvina Arbuco, Gabriela Altamura, Estefania Chiarello.
Cátedra de Odontología Integral Niños, FOUBA.

Objetivo/s Comparar el tiempo requerido y longevidad de restauraciones en molares primarios utilizando resinasBulk Fill o resinas compuestas nanohíbridas. **Métodos** Se diseñó un estudio experimental y longitudinal aprobado por el Comité de Ética FOUBA (N°016/2019). Docentes calibrados (Kappa 0.9) realizaron en 12 pacientes, edad media 7.15(±1.39) años, 28 restauraciones amelodentinarias oclusales en molaresprimarios, cuyas extensiones fueron:2.45(±1.05) mm en sentido próximo-proximal,2.35(±1.25) mmen sentido de las caras libres y 2.01(±0.88)mmen profundidad. Se conformaron 2 grupos:TI (n=14resina nanohíbrida, Brilliant™ NG, COLTENE) y BF (n=14Filtek™ BulkFill 3M ESPE). En ambos grupos, con aislamiento absoluto, se realizó grabado selectivo del esmalte 30” con ácido fosfórico37% (Scotchbond 3M ESPE), aplicación del sistema adhesivo en esmalte y dentina durante 20” (ScotchbondTM Universal 3M ESPE) y se cronometró el tiempo requerido en lainserciónde l material restaurador y fotopolimerización (TI: 20” por incremento oblicuo < 2mm y BF: 20” totales). Siguiendo los criterios de RYGE/USPHS modificados, docentes calibrados (Kappa 0.94) ciegos de la técnica empleada evaluaronlas restauraciones en condiciones basales y a los 6 meses. Se calcularon estadísticos descriptivos, intervalos de confianza 95%,Chi2y t- test (nivel de significancia 0.05). **Resultados** El tiempo de obturación fue enTI: 181.86” (±109.67) y en BF: 57” (±12.34). Con diferencias significativas entre los grupos (p=0.000).En condiciones basales las restauraciones fueron categorizadas alfa en BF: 100%(76.8-100)en todos los aspectos evaluados y para TI: 1 restauración,7,1% (0.18-34), fue bravo en forma anatómica. A los 6 meses (n: 6 en cada grupo) se registró 1 fracaso, 16.7% (0.42-64.2) por presencia de caries secundaria tanto en TI como BF. No se encontraron diferencias significativas en las evaluaciones(p>0.05). **Conclusión/es** En el periodo estudiado, ambas resinas evidenciaron similar desempeño clínico, pero con una significativa disminución del tiempo operatorio al utilizar Bulk Fill.

125
ID 162

PREVALENCIA DE TRAUMATISMOS DENTOALVEOLARES EN CÁTEDRA ODONTOLOGÍA INTEGRAL NIÑOS

*Mariana Bertolino, Karina Melian, Jimena Anchava.
Cátedra de Odontología Integral Niños, FOUBA.

Objetivo/s Estimar la prevalencia de traumatismos dentoalveolares (TAD), tipo y número de piezas afectadas y distribución de edad en pacientes que concurrieron por demanda espontánea a la Cátedra de Odontología Integral Niños durante el período 2019-2021 y comparar los resultados con los obtenidos en 2014. **Métodos** Diseño prospectivo, descriptivo y comparativo. Se evaluaron pacientes de 0 a 16 años desde marzo 2019 a marzo 2021. Los datos personales y el tipo de lesión de acuerdo a la clasificación de Andreasen fueron incorporados a una planilla Excel. Se conformaron dos grupos G1: dentición primaria (120 piezas) y G2: dentición permanente (189 piezas). Se calcularon porcentajes para estimar prevalencia, media y desvío para variables cuantitativas y test Chi Cuadrado para comparar frecuencia del tipo de lesiones entre G1 y G2. **Resultados** La muestra estuvo constituida por 2489 pacientes de edad media 8.62 ±4.69 años. La prevalencia de los TAD fue del 6%,correspondiendo el 58% a piezas permanentes. G1 quedó conformado por 137 tipos lesiones y G2 por 240. Las lesiones más frecuentes en ambas denticiones fueron las subluxaciones (SL) cuando afectaron a los tejidos de sostén G1:19.71% y G2:26.67% (p=0.3202), las fracturas coronarias no complicadas (FCNC)a tejidos dentarios G1:13.87% y G2:27.08%(p=0.8178) y fractura de tabla vestibular cuando afectaron al hueso de soporte G1:11% y G2:4.58% (p=0.00). Los datos obtenidos en el año 2014 revelaron una menor edad media (7±4años)y una mayor prevalencia de TAD (13,50%) correspondiendo 49,30% a piezas permanentes. Las SL se presentaron en G1:36% y G2:57% y las FCNC en G1:25% y G2:29%. **Conclusión/es** Durante el periodo 2019-2021 se observó una mayor edad media de los pacientes, menor prevalencia de los TDA, y coincidencia con el tipo de lesión traumática más frecuente tanto en dentición primaria como permanente comparando con el período 2014.

126
ID 177

PERFIL DE LAS PUBLICACIONES CIENTÍFICAS DE LA CÁTEDRA DE ODONTOLOGÍA INTEGRAL NIÑOS.

*Marina Andrea Toscano, Silvina Gabriela Cortese, Ana María Biondi.
Cátedra Odontología Integral Niños, FOUBA.

Objetivo/s El análisis de las publicaciones proporciona información que permite calificar la calidad del proceso generador de conocimiento en un campo determinado. Objetivo: Evaluar todos los artículos publicados por docentes de la Cátedra Odontología Integral Niños en los últimos 10 años, identificando el diseño utilizado, los temas más investigados y el tipo de publicación y compararlos con la década anterior. **Materiales y Métodos** Diseño transversal por observación directa de todas las publicaciones in extenso de docentes de la Cátedra Odontología Integral Niños periodo 2001-2020. Los trabajos fueron separados por año, evaluando el diseño del estudio, el área temática y el tipo de revista científica en las que fueron presentados. Los artículos fueron analizados por dos revisores capacitados en forma independiente. En caso de no coincidencia en alguno de los ítems, sólo se clasificó a partir del acuerdo entre los revisores. Las áreas de interés fueron identificadas teniendo en cuenta las presentadas por Nainar en 2001. Como instrumento de recolección de datos se diseñó una planilla para completar por cada uno de los revisores. Los datos obtenidos se organizaron y analizaron estadísticamente utilizando porcentajes. Se conformaron 2 grupos (G1: 2001-2010 y G2: 2011-2020) para su comparación estadística (Chi cuadrado). **Resultados** En total se recuperaron 84 publicaciones, 38.1% pertenecientes a G1 y 61.9% a G2, observándose un incremento del 23.8% en la última década. En ambas décadas el mayor porcentaje de trabajos correspondió a diseños transversales (G1: 40.6% y G2: 34.6%), con un significativo aumento de reportes de casos clínicos en el segundo grupo (p=0.029), observándose además la inclusión de 5 nuevas áreas temáticas con un considerable, aunque no significativo, incremento en la categoría de Operatoria dental y Materiales. Participaron como autores 22 y 48 docentes de la cátedra en G1 y G2 respectivamente (p=0.388). El 87.5% y el 96.2% de G1 y G2 fueron publicaciones en revistas indizadas (p=0.135). **Conclusión/es** La literatura evaluada refleja un incremento en el número de publicaciones realizadas, con participación docente más activa, distribución más amplia de las áreas temáticas abordadas e inclusión de estudios mayormente de diseño transversal y reportes de casos clínicos.

127
ID 184

MOTIVO DE ELECCIÓN PARA ASISTENCIA EN ODONTOLOGÍA INTEGRAL NIÑOS.

*Karina Lorena Martínez, Silvina Gabriela Cortese, Ana María Biondi.
Cátedra Odontología Integral Niños, FOUBA.

Objetivo/s Identificar los motivos de consulta por demanda espontánea en la Cátedra Odontología integral Niños de FOUBA. **Métodos** Diseño transversal, exploratorio. Se confeccionó un cuestionario de opciones múltiples para ser respondido por los acompañantes de los niños en la sala de recepción, en forma voluntaria y anónima durante julio 2022. Las variables registradas fueron: edad del paciente, lugar de residencia y si había recibido atención previa en otro lugar. En caso de respuesta afirmativa, dónde, motivo de cambio y si fue por derivación, a través de quién. Los registros fueron ingresados a una planilla Excel para obtención de resultados. Se conformaron dos grupos según lugar de residencia: Ciudad Autónoma de Buenos Aires (CABA) y Provincia de Buenos Aires (PBA) para su comparación estadística. **Resultados** La muestra quedo conformada por 159 pacientes de 9+3 años. El 62.89% residen en PBA. Quienes concurrieron como primera elección presentaron edades de 8.4±3.5 y 10±3.7 años en CABA y PBA respectivamente (p= 0,157). El 67.9% que había recibido atención previa en otro servicio, reveló en un 37.9% que lo había hecho en hospitales públicos. Los motivos más mencionados para el cambio fueron: haber sido derivados a la cátedra (35,2%) y no haber obtenido solución (28,7%). Con respecto a las derivaciones: 52.6% y 44.7% procedieron de hospitales públicos y de salitas barriales respectivamente. Ninguna de las variables analizadas mostró diferencias según el lugar de residencia (p<0,05). **Conclusión/es** Los motivos de consulta respondieron mayormente a derivaciones y a la falta de solución a los problemas que presentaron los pacientes, quedando expuesta la falta de odontopediatras en los diferentes ámbitos de atención siendo la FOUBA un centro de referencia para ambas jurisdicciones.

128
ID 194

ERUPCIÓN DE PIEZAS DENTARIAS RETENIDAS ASOCIADAS A QUISTES DENTIGEROS EN NIÑOS.

*Melina Alejandra García, Lucia Babino, Mónica Pantyrer, Eduardo Bava.
Catedra Odontología Integral Niños FOUBA

Objetivo/s Los quistes dentígeros (QD) son los quistes odontogénicos más frecuentes en niños. Etiología: acumulación de líquido entre el epitelio reducido del órgano del esmalte y la corona de una pieza dentaria o supernumeraria, interfiriendo en su erupción **Objetivos:**- Estimar porcentajes de pacientes con extracción y con erupción post tratamiento**.** - Comparar distribución del tiempo de erupción entre los tratamientos**.** - Comparar distribución del tipo de pieza extraída entre los tratamientos **Métodos** Se diseñó un estudio observacional, retrospectivo. Fueron analizadas las historias clínicas de 49 pacientes que concurrieron por demanda espontánea o derivados a la Cátedra de Odontología Integral Niños de FOUBA. Criterios de inclusión: historias clínicas completas, estudios por imágenes, no presentar patología de base asociada a presencia de quistes en maxilares, alta odontológica integral y de psicología prequirúrgica según protocolo de la cátedra. Variables analizadas: sexo; edad; localización; tipo de pieza extraída: primaria, permanente o supernumeraria; tiempos de erupción evaluado radiográficamente (3, 6,12 meses); tratamientos: (enucleación: T1, marsupialización: T2, placa descompresiva: T3). Análisis estadístico: se compararon los tiempos de erupción y el tipo de pieza extraída entre tratamientos mediante el test exacto de Fisher. Se calcularon medias, desvíos y porcentajes. **Resultados** Se analizaron 49 pacientes cuya edad promedio fue de 10.63 + 2.52, siendo el 51% de sexo masculino. El 79,6% de los QD se localizaron en el maxilar inferior. De los 49 pacientes analizados, 31 recibieron T1, 3 T2 y 15 T3 y 33 tuvieron piezas con erupción (67,34%). Los porcentajes de piezas que erupcionaron a los 3, 6 12 meses fueron 39,4%, 42,4% y 18,2% respectivamente. No se observaron diferencias significativas en los tiempos de erupción entre los tratamientos (p = 0,21). De los 49 pacientes, a 32 se les realizaron extracciones (65.31%): 37.5% piezas primarias, 46.9% permanentes y 15.6% supernumerarias. No se hallaron diferencias significativas en la distribución del tipo de pieza extraída entre los tratamientos (p = 0.33) **Conclusión/es** En este estudio el 81,8% de las piezas retenidas erupcionaron entre los 3 y 6 meses post tratamiento y el mayor porcentaje de piezas extraídas fueron las permanentes.

129
ID 195

ANÁLISIS DE URGENCIAS EN LA CÁTEDRA DE ODONTOLOGÍA INTEGRAL NIÑOS.

*Mariana Laura Crespo, Melina Alejandra García, Catalina Farah, Melisa Ienco, Yanina Castro Graziani.
Cátedra Odontología Integral Niños, FOUBA.

Objetivo/s En FOUBA las urgencias pediátricas son resueltas en la Cátedra de Odontología Integral Niños en los horarios de actividades clínicas. OBJETIVO: Analizar los motivos, tipo y resolución de consultas por urgencia de pacientes entre 0 y 16 años que concurrieron a la cátedra entre enero 2021 a junio 2022 y compararlos con los del periodo 2009-2010. Identificar a los que continuaron el tratamiento integral, los que regresaron por otras urgencias y los derivados a otra especialidad **Métodos** Diseño retrospectivo descriptivo y comparativo. Fueron analizadas las historias clínicas de urgencia con registros completos de pacientes que concurrieron en el periodo 01/2021 a 06/2022. Los datos fueron ingresados a una planilla Excel registrando edad, sexo, motivo de consulta, tratamiento realizado, derivaciones, continuación de tratamiento y concurrencia por nuevos motivos. Los resultados obtenidos fueron comparados con los del periodo 2009-2010. Procesamiento estadístico: media, DS, frecuencia, porcentaje y test Chi2. **Resultados** La muestra quedó conformada por 841 pacientes de 8,93±3,85 años, 49,35% de sexo femenino. Motivos de consulta: 61.86 % dolor asociado a infección, 10.37% traumatismos, 15.73% dolor no asociado a infección y 12.04% por otros motivos. Del total de los tratamientos realizados, el 91.88% fue resuelto con procedimiento local, de los cuales 18.55% recibió como coadyuvante terapia farmacológica; al 7.88% solo se le prescribió medicación y 0.24% fueron derivados para internación. El 20.12% continuó el tratamiento integral en la cátedra, el 14.3% fue derivado a otras especialidades y el 3,81% concurrió nuevamente para resolver una nueva urgencia. Se hallaron diferencias significativas en la distribución del motivo de consulta ($p < 0.001$) y del tratamiento realizado ($p< 0.001$) entre ambos periodos **Conclusión/es** La consulta más frecuente por urgencia es el dolor asociado a infección sin que los pacientes continuaran con su tratamiento integral. Mayoritariamente la resolución requirió maniobras locales disminuyendo en el periodo 2021-2022 el tratamiento farmacológico y la necesidad de hospitalización

130
ID 196

TRATAMIENTO REHABILITADOR DE LA CARIES DE LA INFANCIA TEMPRANA.

*Diana Carolina Mejía Abad, David Alejandro Caicedo Proaño, Adriana Stephanie García Escalante,
Silvina Cortese, Ana María Biondi.
Cátedra Odontología Integral Niños, FOUBA.

Objetivo/s Identificar el tipo de práctica realizada, y adhesión al tratamiento de niños con CTI que concurrieron para atención a la clínica de la Carrera de Especialización en Odontopediatría durante 18 meses. **Métodos** Diseño retrospectivo observacional sobre las historias clínicas de pacientes <72 meses que iniciaron tratamiento integral en la clínica de la carrera de Especialización en Odontopediatría entre febrero 2021 y julio 2022. Las variables registradas fueron: edad, ceos, restauraciones plásticas, coronas, tratamientos pulpares, exodoncias, alta integral, abandono del tratamiento y concurrencia a la recitación. Los datos fueron incorporados a una planilla Excel para análisis estadístico. **Resultados** La muestra quedó constituida por 99 niños de 3,8+1,1 años que presentaron un ceos de 21+14,4. Se registró un total 1010 lesiones de caries (42% anterosuperior). El 29,3% abandonaron el tratamiento, con muy pocas afecciones resueltas. Los pacientes que recibieron el alta en este periodo (19.8%) iniciaron tratamiento a los 25+7meses e incluyó 18 exodoncias, 88 restauraciones plásticas, 21 tratamientos pulpares y 33 coronas de acero. El 95% concurrió a la recitación a los 4+3 meses. 84,2% habían modificado los hábitos de higiene y alimentación, presentando 3 pacientes necesidad de retratamiento, observándose nuevas lesiones en quienes no registraron cambios de hábitos. El 54.45% que continúa en atención solo completó el 35% del tratamiento de las piezas afectadas habiéndose realizado 265 restauraciones plásticas, 68 tratamientos pulpares, 55 coronas de acero y 33 exodoncias. **Conclusión/es** Los tratamientos son muy prolongados y requieren de prácticas invasivas, complejas y de alto costo a temprana edad con un importante índice de abandono. Se observó necesidad de retratamiento a corto plazo y presencia de nuevas lesiones en las familias que no modifican los hábitos.

131
ID 197

CARACTERIZACIÓN DE CARIES DE LA INFANCIA TEMPRANA

*David Alejandro Caicedo Proaño, Adriana Stephanie García Escalante, Diana Carolina Mejía Abad, Ana María Biondi, Silvina Cortese.
Cátedra Odontología Integral Niños, FOUBA.

Objetivo/s Estimar la frecuencia y caracterización del tipo de Caries de la Infancia Temprana, en niños menores a 72 meses que concurrieron para su atención a la clínica de la Carrera de Especialización en Odontopediatría durante 18 meses y compararlas con la de la forma severa. **Materiales y Métodos** Diseño retrospectivo observacional sobre las historias clínicas de pacientes menores a 72 meses asistidos por los cursantes de la Especialización en Odontopediatría entre febrero 2021 y julio 2022. Las variables registradas fueron: edad en meses, sexo, ceod, presencia de manchas blancas, localización de las lesiones, antecedentes médicos, nivel educativo de la madre y presencia y tipo de lactancia prolongada nocturna. Los datos fueron incorporados a una planilla Excel para su análisis estadístico. Las variables edad, ceod, lesiones en sector anterosuperior y manchas blancas entre los pacientes con CTI y con CTIs fueron comparadas mediante el test de Mann - Whitney - Wilcoxon. **Resultados** La muestra quedó constituida por 101 niños, de 46+13,5 meses, 46,5% de sexo femenino. El 4,9% había presentado bajo peso al nacimiento y el 5,9% presentaban antecedentes médicos relevantes. El 75% de las madres tenían nivel de educación secundaria o superior. Se conformaron 2 grupos: CTI y CTIS. El 91% presentó CTIS. Se encontraron diferencias significativas entre CTI y CTIS en relación a ceod: 3,5±1,6 y 10,8+3,8 y a presencia de lesiones en sector anterosuperior: 0,4+0,7 y 4,6+3 respectivamente ($p< 0,001$), sin diferencias entre ambos grupos en relación a la presencia de manchas blancas ($p=0.52$). La totalidad de los pacientes mantuvieron lactancia nocturna prolongada después del año, siendo en el 72,3% a libre demanda durante el sueño durante un periodo de 23+6 meses (rango 12-48) no pudiendo con los datos obtenidos identificar como factores de riesgo el nivel educativo de la madre, el bajo peso de nacimiento ni los antecedentes médicos. **Conclusión/es** La mayor parte de los niños presentaron caries de la infancia temprana severa con altos valores de patología y lactancia nocturna prolongada a libre demanda después del año.

132
ID 217

GRADO DE DESGASTE DENTARIO EN PIEZAS PRIMARIAS ANTES Y AL FINALIZAR EL RECAMBIO

*Diana Fridman, Ana María Biondi, Silvina Cortese.
Cátedra Odontología Integral Niños, FOUBA.

Objetivo/s Estimar el grado de desgaste en los diferentes grupos dentarios previo al inicio del recambio con y sin reporte de bruxismo nocturno y compararlo con el que presentan al estar finalizando la dentición mixta. **Materiales y Métodos** Diseño prospectivo observacional. El grupo de estudio se conformó con niños de 5 años que aún no tuvieran erupcionados primeros molares permanentes y de 10 años con dentición mixta que concurrieron a OIN entre mayo y agosto 2022. En planillas individuales tres odontopediatras registraron edad, sexo, reporte de rechinamiento nocturno y el mayor grado de desgaste observado en cada serie dentaria sobre superficies limpias y secas, con la luz del foco en cada serie dentaria según el índice de desgaste IDD (Kappa 0,94). Los registros se ingresaron a una base de datos para obtención de resultados y tratamiento estadístico (Chi Cuadrado y ANOVA) **Resultados** La muestra quedo constituida por 65 niños de 5 años (G5) y 29 de 10 (G10), 53,8% y 55,2% de sexo masculino respectivamente, sin diferencias entre quienes reportan bruxismo en ambas edades ($p=0,09$). Las diferencias de desgaste fueron significativas para caninos en G5 ($p= 0.05$) y para molares en G10 ($p=0.00$). Entre quienes no reportan rechinamiento se observaron diferencias para caninos ($p=0.00$) y molares ($p=0.01$) entre G5 y G10. **Conclusión/es** En esta muestra se observó mayor desgaste de caninos en dentición primaria y de molares en dentición mixta de los pacientes que reportan rechinamiento nocturno. En quienes no refieren bruxismo se encontró mayor desgaste de caninos y molares en los niños con dentición mixta.

133
ID 244

ANÁLISIS DE LA CALCIFICACIÓN INTRACONDUCTO EN LOS PROCEDIMIENTOS ENDODÓNTICOS REGENERATIVOS

*Ingrid Clarisa Guitelman, Karina Lorena Martínez, Silvia Alvarez, Marcela Adriana Moya.
Cátedra Odontología Integral Niños, FOUBA.

Objetivo/s Comparar la calcificación intraconducto asociada a revascularización (RAIC) y su relación con la edad dentaria y calibre de foramen, utilizando dos materiales biocerámicos **Materiales y Métodos** Diseño experimental, aprobado por el Comité de Ética de FOUBA N° 009/2017-018/2021. Fueron seleccionados pacientes de 6 a 14 años sin compromiso sistémico, que presentaran piezas dentarias permanentes jóvenes con diagnóstico de necrosis pulpar y concurrieran para su atención integral a la cátedra entre 03/2017 y 07/2022, brindaran asentimiento y sus responsables consentimiento. Se aplicó el protocolo de procedimientos endodónticos regenerativos (REPs) según la AAE utilizando aleatoriamente trióxido mineral agregado (CPM®) o cemento de silicato tricálcico (Biodentine®) en el sellado del coágulo sanguíneo. Se realizaron controles clínico radiográficos a los 3, 6, 12, 24 y 36 meses. Se consideró un evaluador externo experto en endodoncia utilizando radiografías periapicales para la evaluación de: a) RAIC (sin calcificación, calcificación apical, obliteración progresiva y total), b) edad dentaria (de acuerdo a tabla de Nolla) y c) calibre del foramen. Se conformaron 2 grupos: CPM (GM) y Biodentine (GB). Los resultados obtenidos para a, b y c en ambos grupos fueron analizados mediante test exacto de Fisher y test de Kruskal Wallis. Se calcularon medianas y distancias intercuartiles **Resultados** Se incluyeron 25 pacientes edad media 10±2,10 años. La muestra quedó conformada por 29 piezas dentarias GM: 17, GB: 12. Con respecto al tratamiento, los porcentajes de calcificación fueron 70.58% y 83.33% para GM y GB respectivamente. 23.53% de las piezas en GM presentaron calcificación total, mientras que no hubo registro en GB. No se hallaron diferencias significativas en la distribución del tipo de RAIC entre los dos grupos (p=0.2196), distribución de la edad dentaria entre los tipos de RAIC (p=0.245) ni con respecto al calibre del foramen (p=0.3995) **Conclusión/es** Un elevado porcentaje de piezas dentarias presentó RAIC, sin relación en esta muestra, con la edad dentaria ni calibre del foramen, situación que deberá ser tenida en cuenta en futuras intervenciones endodónticas y rehabilitaciones coronarias. Se necesitarán estudios que amplíen estos resultados, con mayor número de casos y a largo plazo

134
ID 252

ODONTOMAS EN PACIENTES PEDIÁTRICOS

*Manuela Guanzini, Melisa Ienco, Betania Ceccenaro, Veronica Pavan,
Catedra Odontología Integral Niños. FOUBA

Objetivo/s Describir los tipos de odontomas, su distribución en los maxilares y relacionarlos con la edad, la alteración en la erupción de piezas vecinas y necesidad de tratamiento ortodóncico post quirúrgico en pacientes que concurren a la Cátedra de Odontología Integral Niños FOUBA. **Materiales y Métodos** Diseño observacional retrospectivo, transversal. Fueron evaluadas las historias clínicas completas de pacientes que concurrieron y se trataron en una comisión entre 2011 y julio de 2022. Se registraron las siguientes variables en una planilla confeccionada para tal fin: edad, sexo, tipo de odontoma: compuesto (OC), complejo (OCO), compuesto-complejo (OCC), Fibro odontoma ameloblástico (OFOA), ubicación por zona: maxilar superior anterior/ posterior y maxilar inferior anterior/posterior y tipo de pieza permanente retenida asociada. La clasificación de la OMS de 2017 describe los tipos compuesto y complejo, en este trabajo se clasifican según los resultados de anatomía patológica. Se conformaron dos grupos G1= 4-9 años y G2 = 10 a 16 años. Se utilizaron porcentajes con IC 95%, Chi cuadrado y test exacto de Fisher. **Resultados**La muestra quedó conformada por 24 niños, edad media 10.45±2.9 años, rango 5-16 años, 58.3% sexo masculino. Según el tipo de odontoma hallado el 25% (9.7-46.76) correspondió al OC, 29.16 % (12.55-51.15) tanto para OCO como OCC y el 16.66 % (4.66-37.43) para OFOA. Según la distribución etaria G1= OCO 50% y en G2= 35.71% OC y OCC. El 92% de los odontomas tuvo una ubicación intraósea, 62.50% en maxilar inferior. No se hallaron diferencias significativas en la distribución del tipo de odontoma entre las 4 zonas de los maxilares (p= 0.074). El 79.16% de los pacientes presentó piezas retenidas, correspondiendo el 18.51% al primer premolar inferior. El 58.33% del total de los pacientes necesitó tratamiento de ortodoncia luego de las cirugías, según los grupos etarios en G1= 28.57% (8.27-58.18) y en G2=71.42% (41.81-91.72). No se observaron diferencias significativas entre los grupos y la necesidad de tratamiento p =0.2628 **Conclusión/es**Los odontomas causan un alto impacto en la erupción dentaria con más frecuencia en el maxilar inferior, siendo el grupo etario de 10 a 16 años el que necesitó un tratamiento interdisciplinario más complejo.

135
ID 282

ESTADO DENTARIO Y RIESGO CARIOGÉNICO EN NIÑOS DE 0 A 2 AÑOS.

*Teresa Levy, Valeria Matyus, Julia Fuks, Marcelo Fernandez, Nancy Mendel.
Cátedra de Odontología Integral Niños, FOUBA.

Objetivo/s Evaluar el estado de salud bucal y factores de riesgo cariogénico en bebés de 0 a 2 años y 11 meses. **Materiales y Métodos** Estudio prospectivo, transversal y descriptivo. La población meta está constituida por 132 niños que concurrieron a la Cátedra de Odontología Integral Niños FOUBA, (OIN FOUBA), jardines maternales y hospitales públicos, sin demanda de atención. Se dividió en grupos etarios G1:(0 a 6 meses), G2:(7 a 12 meses), G3:(13 a 18 meses), G4:(19 a 24 meses) y G5:(25 a 35 meses). Variables analizadas: estado dentario, presencia de placa visible, hábitos dietéticos y de higiene. Los padres autorizaron la participación de los niños firmando un consentimiento. Tres docentes calibrados de la Cátedra OIN FOUBA realizaron el examen clínico visual táctil, se calculó el porcentaje de niños con caries y se registró la presencia de placa visible (Habibian 2001). A partir de cuestionarios autoadministrados a los padres se registraron los hábitos dietéticos y de higiene. Se estimaron intervalos de confianza al 95% (IC 95) para porcentajes mediante el método score. **Resultados** Placa visible: G3: 61% (36-81), G4: 65% (51-76), G5: 60% (28-86). Niños con caries: G4:10% (04-20) y G5: 25% (0-90). El 40% (14-72) de los niños del G5 continua con lactancia materna. El 60% (25-86) del G5 consume jugo durante las comidas y el 39%(7-52) del G4 entre las comidas. El 61% (52-70) de los padres les cepilla los dientes a sus hijos. **Conclusión/es** La población analizada presenta hábitos dietéticos de riesgo cariogénico, placa visible y caries en los distintos grupos etarios.

136
ID 284

ESTUDIO COMPARATIVO DEL ESTADO DENTARIO Y RIESGO CARIOGÉNICO EN BEBES.

*Valeria Matyus, Teresa Levy, Julia Fuks, Marcelo Fernandez, Nancy Mendel.
Cátedra de Odontología Integral Niños, FOUBA.

Objetivo/s Evaluar el estado de salud bucal y factores de riesgo cariogénico en bebés de 0 a 2 años y 11 meses (G1: año 2022), y compararlo con el estado dentario y factores de riesgo obtenido en niños del mismo rango etario (G2: año 2017), previo a la pandemia de Covid 19. **Materiales y Métodos** Estudio prospectivo, transversal y analítico. La población meta está constituida por G1: 132 niños y G2: 206 niños que concurrieron a la Cátedra de Odontología Integral Niños FOUBA, (OIN FOUBA), jardines maternales y hospitales públicos, sin demanda de atención. Se dividió en grupos etarios de 0 a 6, 7 a 12, 13 a 18, 19 a 24 y 25 a 35 meses. Variables analizadas: estado dentario, presencia de placa visible, hábitos dietéticos. Los padres autorizaron la participación de los niños firmando un consentimiento. Tres docentes calibrados de la Cátedra OIN FOUBA realizaron el examen clínico visual táctil, se calculó el componente c de ceod (Klain, Palmer, Knutson 1938, OMS 1997) y se registró la presencia de placa visible (Habibian 2001). A partir de cuestionarios autoadministrados a los padres se registraron los hábitos dietéticos. Para la comparación de frecuencias se utilizó la prueba de Chi cuadrado. Se fijó un nivel de significación del 5%. **Resultados** Aumento de presencia de placa visible en el grupo G1, siendo esa diferencia significativa en el rango etario de 19 a 24 meses (p=0.00); aumento no significativo del componente c del ceod en los niños de 19 a 24 y de 25 a 35 meses, prolongación en el tiempo de la lactancia materna en todos los grupos etarios del G1 con respecto al G2, siendo esta diferencia significativa en el grupo de 13 a 18 meses (p=0.01). **Conclusión/es** Se observó un aumento de niños con placa visible y prolongación de lactancia materna.

137
ID 294

EVALUACIÓN DE LOS RESULTADOS OBTENIDOS EN PROCEDIMIENTOS ENDODÓNTICOS REGENERATIVOS.

*Marcela Moya, Karina Martinez, Acosta Sheila, Ingrid Guitelman.
Cátedra de Odontología Integral Niños, FOUBA.

Objetivo/s Evaluar y comparar los resultados clínicos y radiográficos de las piezas permanentes jóvenes con diagnóstico de necrosis pulpar tratados mediante procedimientos Endodónticos Regenerativos (REPs), empleando dos biomateriales. **Materiales y Métodos** Diseño experimental, aprobado por el comité de Ética de FOUBA N° 009/2017 y 018/2021. Fueron incluidas piezas dentarias permanentes jóvenes con diagnóstico de necrosis pulpar en niños de 6 hasta 14 años, sin compromiso sistémico que completaron el tratamiento y asistieron a los controles, cuyos responsables firmaron el consentimiento y con el asentimiento de los pacientes. Se aplicó el protocolo REPs según la AAE donde para el sellado del tercio cervical se utilizó aleatoriamente trióxido mineral agregado (CPM®) o cemento silicato tricálcico (Biodentine®). Se realizaron controles clínicos y radiográficos a los 3, 6, 12, 18, 24 y 36 meses considerando fracaso clínico la presencia de dolor o tumefacción en la zona y como fracaso radiográfico la persistencia de radiolucidez apical. Se conformaron 2 grupos: CPM (GM) y Biodentine (GB). Se calcularon frecuencias y porcentajes y test exacto de Fisher para la comparación del éxito entre entre los 2 tratamientos. **Resultados** La muestra quedó conformada por 29 piezas dentarias,18 pertenecían al grupo dentario anterior, 7 al grupo premolar y 4 al molar. La edad media fue de 10±2,23 años. El tratamiento reveló 64,70% y 91,7% de éxito tanto clínico como radiográfico a los 3 y 6 meses para el grupo GM y GB respectivamente, sin diferencias significativas entre ambos tratamientos (p = 0.187 y p = 0.191). Los porcentajes de éxito a los 12, 18 y 24 meses fue del 100% en ambos grupos, el porcentaje a los 36 meses descendió al 91,7% para el grupo GM,100% para el grupo GB. **Conclusión/es** Si bien los resultados de los tratamientos con protocolo de REPs son satisfactorios en el tiempo establecido, se requieren estudios con mayor número de casos y a largo plazo.

138
ID 311

LESIONES EN MUCOSAS DE LABIO INFERIOR Y LENGUA EN ODONTOPEDIATRÍA.

*Patricia Ivana Alurralde, Ana Gabriela Arrebola, Maria Florencia Safuri, Luciana Avallone, Veronica Herminia Pavan.
Cátedra de Odontología Integral Niños, FOUBA.

Objetivo/s Identificar las características clínicas de lesiones en mucosa de labio inferior y cara ventral de lengua y relacionar el color y el tamaño de la lesión con el tiempo de evolución en niños y adolescentes que concurrieron a la Cátedra de Odontología Integral Niños FOUBA. **Materiales y Métodos** Estudio retrospectivo descriptivo, transversal. Fueron evaluadas historias clínicas completas de pacientes que concurrieron por derivación o en forma espontánea a una comisión en el periodo marzo 2011-julio 2022. Criterios de inclusión: pacientes que presentaran lesiones reactivas en mucosa de labio inferior y cara ventral de lengua y al menos una parafunción. Se confeccionó una planilla para el registro de las siguientes variables: edad, sexo, tiempo de evolución (1: 0-15 días, 2: 15-30 días, 3: 1-6 meses, 4: 6-12 meses, 5: > a 1 año), localización (labio inferior derecho LID o izquierdo LII, cara ventral de lengua CVL), características clínicas (base sésil BS, pediculado P), tamaño(A: 15mm) y color (rosado R, blanquecino BL, rojo RO, violeta V). Se calcularon estadísticos descriptivos, IC 95%, Chi-cuadrado, test de Fisher. **Resultados** La población estuvo conformada por 96 pacientes, femenino 64%, con una edad promedio de 8.2 años (DS 3.63±) Rango 2 a 16 años. En cuanto al tiempo de evolución:1)16.6%, 2) 23.9%, 3) 36.4 %, 4) 20.8 %,5) 2.3%. Localización: LID:36.46% (26.84-46.93) LII: 55.21% 44.68-65.39), CVL: 8.33% (3.64- 15.78). Según su aspecto: BS: 47.92% y P: 52.08%. Respecto al tamaño A)25%, B) 30.21% y C) 44.79%. No se hallaron diferencias significativas entre los distintos tamaños de las lesiones y el tiempo de evolución (p=0,35) El color predominante fue el rosado 62.5%, B: 20.83%, RO: 12.5% y V: 4.17%. No se hallaron diferencias significativas en la distribución del tiempo y los colores de las lesiones (p=0.38). **Conclusión/es** En esta muestra no se registraron cambios en el tamaño y el color de las lesiones reactivas según el tiempo de evolución a pesar de que todas estaban relacionadas con parafunciones.

139 ID 312

TRAUMATISMOS DENTOALVEOLARES EN NIÑOS Y ADOLESCENTES: CONOCIMIENTO Y ACTITUD DEL ACOMPAÑANTE.

*Soledad Daniela Bojaminsky Fontana, Patricia Ivana Alurralde, Adriana Ferrante, Jimena Anchava.
Cátedra de Odontología Integral Niños, FOUBA.

Objetivo/s Identificar el nivel de información y la actitud del acompañante en relación a traumatismos dentoalveolares (TDA) y comparar los resultados con los obtenidos en 2017. **Materiales y Métodos** Estudio transversal, descriptivo y comparativo. Encuesta validada y estructurada (Padilla Rodríguez EA, 2005) con 17 ítems indagando sobre experiencia e información previa sobre traumatismos, conducta a seguir en el manejo inmediato y uso de protector bucal entre otros, fueron entregadas para ser respondidas voluntariamente en la sala de recepción por los acompañantes de pacientes en atención integral durante el periodo junio-julio 2022. Las respuestas obtenidas, los datos de filiación y el nivel educativo alcanzado fueron ingresados a una planilla Excel. Se conformaron 2 grupos (G1: 2022 y G2: 2017) para su comparación estadística. **Resultados** En G1 (n=144) y en G2 (n=148) la edad media de los acompañantes fue de 42±11.99 y 38±3 años con 49% y 50% con nivel secundario respectivamente. En ambos grupos el sexo femenino fue predominante (84% y 79%). Del total de los encuestados, en G1 el 24% recibió información previa y en G2 fue de 16.22% (p=0.1109). El 58% en G1 y el 79.09% en G2 reportaron que los niños no tenían experiencias previas, el 81% y el 76% de los acompañantes consideraron a los TDA como urgencia en G1 y G2 respectivamente. Entre ambos grupos G1:5% y G2:13%, se obtuvieron diferencias significativas en relación con el uso de protector bucal por parte de quienes recibieron información previa (p=0.0363). Ambos grupos mencionan que necesitan recibir mayor información. **Conclusión/es** En este trabajo, en ambos periodos los acompañantes mostraron desconocimiento del manejo inmediato de los TDA. Se reconoce la necesidad de implementar campañas de difusión para contribuir al mejoramiento de la calidad de vida de niños y adolescentes que padecen TDA.

140 ID 317

ESTUDIO CLÍNICO PROSPECTIVO SOBRE EXPANSIÓN TRANSVERSAL DE MAXILARES CON ORTODONCIA AUTOLIGANTE INTERACTIVA

Mahmood Ahmadi[1], Andrea de Laurentiis[2], *Marina Iglesias[1], Alejandra Folco.
1. Cátedra de Ortodoncia FOUBA. 2. Cátedra de Fisiología FOUBA.

Objetivo/s La ortodoncia autoligable interactiva es un sistema de baja fricción en las etapas iniciales de tratamiento y baja fuerza (arcos de activación térmica). Existen diferentes filosofías, que emplean distintos brackets y tipos de arcos para cumplir con estos requisitos. Objetivo: Evaluar y comparar la expansión transversal de los maxilares superior e inferior con sistema autoligante interactivo utilizando el registro por reparos óseos palatinos y linguales **Métodos** Participaron 11 pacientes de ambos sexos de entre 12 y 36 años con apiñamiento dentario moderado a severo tratados con sistema CCO de la Cátedra de Ortodoncia de la FOUBA. Firmaron el consentimiento informado y asentimiento del menor. Fueron tratados con sistema CCO de brackets autoligables y arcos termoelásticos de Níquel titanio (Sentalloy y Bioforce 20x20). Con calibre digital marca Mitutoyo se tomaron 4 medidas transversales por arcada: distancia primeros (1PM) y segundos (2PM) premolares y primeros (1M) y segundos (2M) molares superiores e inferiores usando reparos óseos palatinos pre y post alineación y nivelación ortodóntica. Datos registrados en excell y analizados con Software Graph Pad Prism5.00 (Student T test) **Resultados** La variación de distancia entre pre y post alineación en promedio entre las piezas dentarias en maxilar superior fue: 1PM=2.61±0.46; 2PM=2.38±0.49; 1M=0.26±0.51; 2M= -1.39±0.56. En maxilar inferior 1PM=2.30±0.48; 2PM=2.69±0.75; 1M=1.22±0.33; 2M=0.32±0.51. La mayor diferencia de expansión de arcada que resultó significativa ($p<0.05$) fue la observada entre los premolares. La menor diferencia (no significativa estadísticamente) fue en molares. La mayor expansión fue obtenida en el maxilar superior **Conclusión/es** La recuperación de la arcada dental con sistema CCO autoligante interactivo muestra incremento en el sector premolar en ambos maxilares siendo más evidente en el maxilar superior. Además, en los 2ª molares del maxilar superior se observó una disminución de la distancia en todos los casos

141
ID 324

PACIENTES CON FISURAS ORALES EN ODONTOPEDIATRÍA.

*Natalia Millán, Prenitune Sofía, Bojaminsky Soledad, Pavan Verónica.
Cátedra de Odontología Integral Niños, FOUBA.

Objetivo/s Las fisuras orales (FO) son anomalías congénitas mayores que comprometen la integridad del labio y/o paladar, pueden también afectar la nariz y las fosas nasales. Los niños suelen presentar alteraciones en el habla, la audición, la deglución, la respiración y la apariencia física. Objetivo: identificar las diferentes estructuras anatómicas afectadas en las anomalías congénitas de las fisuras orales en pacientes de 0 a 7 años que concurren a la Cátedra de Odontología Integral Niños de FOUBA. **Materiales y Métodos** Diseño observacional, retrospectivo, transversal. Fueron evaluadas las historias clínicas completas de pacientes no sindrómicos, que concurrieron derivados de hospitales, a la Clínica de la Carrera de Especialidad entre marzo de 2018 y julio de 2022. En una planilla diseñada para tal fin se registraron las siguientes variables: edad, sexo, estructuras comprometidas (Labio: L, Labio-alvéolo: LA, Labio alvéolo paladar: LAP y Paladar: P). Se agruparon de acuerdo con el tipo de FO: unilateral (FU) o Bilateral (FB), Completa (C) o Incompleta (I), y al lado afectado: derecho(D) o izquierdo. Se utilizaron porcentajes con IC 95%, Chi cuadrado **Resultados** La muestra quedó integrada por 38 pacientes, edad media 24.10± 0.70 meses, rango 1 a 87 meses, el 63.15% (45.95-78.22) corresponde al sexo masculino, Del total de pacientes el 65.78% (48.60-80.40) presentó FU y FB el 34.21% (19.59-51.39), LA 21.05 % (9.51-37.36), LAP el 76.31% (59.71-88.59),sin registros para L y P. No se halló diferencias significativas entre varones y mujeres en los grupos FU y FB (p= 0.1046). En los pacientes con fisuras unilaterales se registraron con defecto LA 36.00% y LAP el 64.00%. En el 77% de LA y 50% de LAP el lado izquierdo fue el más comprometido, de las Fisuras completas el 60% y el 20% afectaron a LAP y LA respectivamente. En las fisuras bilaterales se registraron 13 pacientes, el 84.61% de sexo masculino. Solo un paciente con LA completa. De los 12 pacientes con LAP las fisuras fueron completas el 91.66 %. **Conclusión/es** En esta muestra la mayoría de las fisuras orales comprometieron a las estructuras labio-alvéolo-palatinas. Las completas unilaterales y bilaterales son más frecuentes en varones.

142
ID 352

EVALUACIÓN DE LA DENSIDAD MINERAL ADAMANTINA DE PIEZAS DENTARIAS AFECTADAS CON AMELOGÉNESIS IMPERFECTA

Sharon Oyhanart[1], Mariana Crespo[2], Melina García[2], *Carola Bozal[1], Andrea Ortolani[2].
1. Cátedra de Histología y Embriología, FOUBA. 2. Cátedra de Odontopediatría, FOUBA.

Objetivo/s El objetivo del presente trabajo fue analizar el grado de mineralización del esmalte en piezas dentarias temporarias y permanentes afectados por Amelogénesis Imperfecta (AI) mediante microtomografía computada (µCT). **Materiales y Métodos** Ocho piezas dentarias con diagnóstico de AI se utilizaron para el presente estudio: AI-1: molar temporario, AI-2: molar temporario, AI-3: incisivo temporario, AI-4: canino definitivo retenido, AI-5: molar definitivo, AI-6: molar definitivo, AI-7: canino temporario, AI-8: molar temporario. Las piezas fueron fijadas en formol al 10% por 48 hs y evaluadas mediante µCT (SkyScan 1272, Bruker) de acuerdo con los siguientes parámetros: voxel de 15 µm, 90 kV, 111 µA, filtro Al 0.5 + Cu 0.038 mm, paso de rotación de 0.3. Se evaluó la densidad mineral (DM) desde cervical hasta oclusal, en cortes cada 12 µm. La información obtenida a partir de las proyecciones fue reconstruida utilizando el software NRecon y analizada con ImageJ, evaluando DM total y DM en los tercios cervical, medio y apical. **Resultados** La DM total mostró que AI molares temp: 113.23±10.46 vs AI molares def: 88.99±7.67 g.cm3, p=0.035; AI anteriores temp: 87.84±5.54 vs AI molares temp: 113.23±10.46 g.cm3, p=0.028. La DM del AI-4 fue de 127.65±9.44 g.cm3. **Conclusión/es** Los resultados muestran que evaluando el esmalte afectado con AI, las piezas dentarias temporarias muestran mayor DM que las definitivas y los molares muestran mayor DM que las piezas anteriores. Es de destacar que el esmalte con AI al estar expuesto en boca disminuye notoriamente la DM en relación al esmalte de una pieza con AI retenida.

143 ID 290

COLONIZACIÓN DE PATÓGENOS OPORTUNISTAS EN LA MUCOSA BUCAL EN NIÑOS DE BARRIOS VULNERABLES DE BUENOS AIRES

*Andrea Cecilia Muiño[1], Isabel Adler[1], Silvia Aguas[1], Laura Harada[1], Mariana Diaz[1], Pablo Turón[1], Federico Galli[5], Pablo Rodríguez[2], Cristóbal Fresno[3], Valeria Denninghoff [1,4].
1.Cátedra de Clínica Estomatológica, FOUBA. 2.Cátedra de endodoncia, FOUBA. 3. Health and Sciences Research Center (CICSA), Health and Sciences Faculty, Anahuac University, México. 4. CONICET.5. Cátedra de periodoncia, FOUBA.

Objetivo/s La Agencia Internacional para la Investigación del Cáncer informó que las infecciones causan 2.000.000 de casos de cáncer al año, 80% ocurren en áreas menos desarrolladas. Las infecciones causadas por virus, bacterias y parásitos son causas de cáncer en el mundo. Se relacionan con enfermedades prevenibles: el papilomavirus humano (HPV) y Helicobacter pylori (Hp). Estas infecciones comienzan en la infancia y conducen a una afección crónica. Objetivo: Estudiar en niños de escuelas primarias en barrios vulnerables de Buenos Aires la colonización patógenos oportunistas en la mucosa bucal. **Materiales y Métodos** 661 niños fueron reclutados siguiendo los criterios de inclusión y exclusión establecidos, (2011/ 20) en jardines de infantes y escuelas primarias en barrios vulnerables de Buenos Aires. Se realizó un examen estomatológico. El dorso lingual fue muestreado en busca de bacterias, hongos y virus (VPH). En 41 niños se genotipificó el Hp. Análisis estadísticos se utilizó R versión 4.0.5. La estadística descriptiva registró la frecuencia absoluta y porcentaje de los patógenos, donde se realizó una prueba $\chi 2$ para evaluar asociación entre la presencia de microorganismos respecto del género de los niños. Se estimó OR, IC 95%. P<0,05 **Resultados** La población se dividió en 3 grupos: de 0-5 años, 6-11 años y 12-18 años. Se detectó 99% de Estreptococos viridans; excluyéndolos- La presencia positiva de patógenos fue de 49% (322/661). Bacterias fue del 19% (60/322): entre ellas Klebsiella pneumoniae 42% (25/60); 81% (262/322) hongos; Candida albicans 86% (226/262), Candida krusei 11% (28/262) y Rhodotorula 3% (8/262) y coinfecciones del 6% (20/322). No se detectó HPV y Hp PCR fue positiva en un 46% (19/41). Patógenos que colonizan la mucosa bucal con manifestación clínica en el dorso lingual fueron 271/303, sin lesión 35/323, OR 65 (40-107 IC95,0% p< 0.05). No se presentó asociación entre el género y el grupo etario para la presencia de microorganismos (P=0.41) **Conclusión/es** Este estudio nos permitió identificar una tasa de patógenos orales del 49%, encontrando microorganismos cancerígenos poco frecuentes en esta población. El control de estos microorganismos disminuiría el riesgo del cáncer oral en países no desarrollados, actuando como una herramienta contra la inequidad en la atención médica.

144 ID 304

VALIDACIÓN DEL MÉTODO CAMERIERE PARA ESTIMAR MAYORÍA DE EDAD CON FINALIDAD FORENSE

*Ailín Gómez[1], Stephanie Lisette Arario[1], Florencia Arrigo[1], María Julia Carosi[1], Carla Arias[2], Johanna Denise Salazar[2], Pablo Andrés Salgado[3], Diego Jorge Vazquez[2], Luis Reinaldo Rannelucci[2], Briem Stamm Alan Diego[2].
1. Cátedra de Diagnóstico por imágenes, FOUBA. 2. Cátedra de Odontología Legal, Forense e Historia de la Odontología, FOUBA. 3. Cátedra de Odontología Preventiva y Comunitaria y Cátedra de Microbiología y Parasitología, FOUBA.

Objetivo/s Comprobar sensibilidad y especificidad del Método de Cameriere en la estimación de la mayoría de edad en contexto legal y forense, y definir el valor de corte para la población atendida. **Materiales y Métodos** Se realizó un estudio analítico, retrospectivo, observacional, transversal sobre 489 radiografías panorámicas de pacientes atendidos en la Cátedra de Diagnóstico por Imágenes de la FOUBA. Se calibró a 2 operadores en la aplicación del método de Cameriere (Kappa=0,83). El método de Cameriere estima mayoría de edad calculando la proporción entre apertura del ápice y longitud del 3º molar mandibular en radiografía panorámica, siendo el valor de corte=0,08. Se considera que para un índice 0,08 es menor de edad. Se comparó el índice obtenido con la edad real de cada paciente usando Test de Chi cuadrado. Se definió como sensibilidad a la capacidad de detectar a los menores de 18 años (G1) y la especificidad como la capacidad para detectar los que tienen 18 años o más (G2). Para comparar el índice entre hombres y mujeres, y para comparar G1 y G2 se aplicó test Student para muestras independientes. Se aplicó el método de Curvas ROC para determinar el valor de corte en la población atendida para luego analizar la sensibilidad y especificidad. Para rechazar la hipótesis nula, el nivel de significación fue de 0,05. **Resultados** La sensibilidad de G1 fue 92,9% y la especificidad de G2 fue 65,9% para el valor de corte de 0,08 usado hasta el momento. El valor predictivo positivo fue 72,4% y el valor predictivo negativo fue 90,6%. No se observaron diferencias en el valor del índice entre varones y mujeres (p=0,081). Los índices para G1 y G2 fueron 0,412±0,394 y 0,115±0,168 respectivamente (p<0,001). Analizando con curvas ROC los grupos edad con el índice se obtuvo un área bajo la curva de 0,87 y un valor de corte de 0,142. Siendo la sensibilidad para G1=81,3% y la especificidad para G2=80,3%. El valor predictivo positivo fue 79,9% y el valor predictivo negativo fue 81,6% **Conclusión/es** El método de Cameriere aplicado con un valor de corte de 0,08 subestimó la edad de 34,1% de pacientes mayores de 18 años. En base a los resultados se propone un valor de corte de 0,142 para ser un método válido en la identificación con fines legales y forenses.

145
ID 305

TRATAMIENTO QUÍMICO DE CARIES: CARACTERIZACIÓN DE MICROPARTÍCULAS DE PAPAINA.

*Fiorella Ventura[1], Nadia Chiaramoni[2], Aldo Squassi[1], Vanesa Merhar[3], Alejandra De Couto Pita[3], Carlos Mendez[3].
1. Cátedra de Odontología Preventiva y Comunitaria, Instituto de Investigaciones en Salud Pública. 2. Laboratorio de Bionanotecnología, Universidad Nacional de Quilmes. 3. Cátedra de Farmacología, FOUBA.

Objetivo/s Caracterizar, en términos de tamaño y densidad de partículas y determinar la actividad in vitro de la preparación de papaína. **Materiales y Métodos** El tamaño de partícula se determinó por dispersión estática de luz provista por un láser He-Ne (633nm) en un equipo Mastersier 2000E con una unidad de dispersión Hydro 2000MU. La actividad proteolítica se analizó mediante un ensayo de degradación de gelatina en presencia y ausencia de cisteína con determinación por espectroscopía UV de residuos de tirosina y por separación en geles de poliacrilamida en condiciones desnaturalizantes (SDS-PAGE). **Resultados** El 100 % de las partículas de la muestra presentó un tamaño menor a 20 µm, con un diámetro de partícula promedio de 0,37 µm. La adición de cisteína al buffer de suspensión de las partículas resulta en la activación de la enzima con un incremento significativo ($p<0,05$) de la actividad proteolítica en función del tiempo (0-60 min) a pH 7,0 con relación a las muestras sin adición de papaína que en SDS-PAGE se evidencia por disminución de las bandas de 95 y 100 kDa de las cadenas a de gelatina y un aumento concomitante de productos de degradación de menor peso molecular. **Conclusión/es** Nuestros resultados indican que el sistema de liberación de enzimas proteolíticas para el tratamiento químico de la caries dental está compuesto por un material particulado enzimáticamente activo y de tamaño definido.

146
ID 298

CALIDAD DE VIDA RELACIONADA CON SALUD BUCAL EN PERSONAS QUE DEMANDAN ATENCIÓN ODONTOLÓGICA

*Cynthia Rodriguez[1], Braian Saya[1], Camila Mercado[1], Camila Grunstadt[1], Patricia Jara[1], Salomon Alberto Cohen[1], Maria Belen Perez[1], Maria Laura Sanchez[1], Luciana D'Eramo[1,2], Pablo Salgado[1,2,3], Aldo Squassi[1,2].
1. Cátedra de Odontología Preventiva y Comunitaria, FOUBA. 2. Instituto de Investigaciones en Salud Pública, UBA. 3. Cátedra de Microbiología y Parasitología, FOUBA.

Objetivo/s Describir el impacto de la salud bucal sobre la calidad de vida en personas que concurren a un centro de atención odontológica por demanda espontanea. **Materiales y Métodos** Sobre una muestra de 523 adultos, concurrentes al Servicio de Urgencias y Orientación de Pacientes del Hospital Odontológico Universitario, se aplicó el cuestionario OHIP-14 validado al español (escala Likert de 5 categorías). Se obtuvo un valor general y uno por dominio. Los participantes fueron categorizados en < 39 años y ≥ 39 años. Se calculó media, mediana y dispersión, por dominio y puntaje total. Los valores se expresaron en relación con el máximo puntaje posible para la totalidad del instrumento. Procesamiento estadístico: test de Student y U de Mann-Whitney para muestras independientes, ANOVA de medidas repetidas y prueba de Friedman (post hoc de Bonferroni). El nivel de significación fue de $p<0,05$. **Resultados** El porcentaje de mujeres fue de 68,5%. La edad de los pacientes fue $\mu=38\pm13$ años, para las mujeres $\mu=37\pm13$ y para los hombres $\mu=39\pm13$ ($p=0,162$). El puntaje total (PT) registró una mediana (Md) de 18 y un desvío medio intercuartil (DM) de 7; con un porcentaje relativo Md=32,1% DM=12,5%. Al comparar el impacto relativo de los dominios fueron mayores en Dolor físico (DF): Md= 50%; DM=12,5%; y Disconfort psicológico (DP): Md=50%; DM=25%. El menor impacto se observó en Discapacidad Física: Md=12,5%; DM=18,8% y Discapacidad Social: Md=12,5% DM=18,8%. Al comparar los puntajes por género, se observaron diferencias significativas en el PT ($p=0,007$) y en los dominios DF ($p<0,001$), DP ($p=0,037$), Discapacidad Psicológica (DcP) ($p=0,002$) y Discapacidad Social (DS) ($p=0,025$); en todos los casos los puntajes fueron superiores para mujeres. Al comparar los grupos por edad, se observaron diferencias estadísticas en los dominios Limitación Funcional ($p=0,003$), siendo mayor en el grupo ≥ 39 años, DF ($p=0,03$) siendo mayor en el grupo < 39 años. **Conclusión/es** Los pacientes que demandaron atención odontológica presentaron bajo nivel general de impacto de la salud bucal sobre la calidad de vida, siendo mayor en dominios Dolor Físico y Disconfort Psicológico. Se observó mayor impacto en mujeres, y mayor impacto en Limitación Funcional en mayores de edad y en Dolor Físico en menores de edad.

147 ID 297

EXPECTATIVAS DE EMPLEABILIDAD ASOCIADAS CON PERCEPCIÓN DE SALUD BUCAL EN ADOLESCENTES

*María Laura Sanchez[1], María Belen Perez[1], Valentina Alberti Cancelo[1], Macarena Carabajal[1], Noemi Bordoni[1,2], Pablo Salgado[1,2,3], Aldo Squassi[1,2], Luciana D'Eramo[1,2].
1. Cátedra de Odontología Preventiva y Comunitaria, FOUBA. 2. Instituto de Investigaciones en Salud Pública, UBA. 3. Cátedra de Microbiología y Parasitología, FOUBA.

Objetivo/s Asociar las expectativas de empleabilidad asociadas con la percepción del estado bucal y variables sociodemográficas en adolescentes. **Materiales y Métodos** Se realizó un estudio analítico observacional sobre una muestra de 330 estudiantes en los 2 últimos años del secundario en 3 establecimientos educativos de gestión pública. Se aplicó un cuestionario validado, destinado a establecer el impacto de la percepción de salud bucal sobre las expectativas para la obtención de empleo, que cuenta con 18 reactivos (2 dominios: "percepción de higiene, salud bucal y condición estética" (PD1) y "perspectiva de la condición de salud y estética bucal en relación a la búsqueda laboral" (PD2)), y cuyas respuestas fueron registradas en escala tipo Likert. Se registraron edad, sexo, situación laboral, búsqueda laboral, intención de cambio de trabajo, cobertura de salud y un auto-reporte referido a desdentamiento. Se calculó puntaje total (PT) y por dominio, media y dispersión. Para comparar el valor de puntajes se utilizó test de Student y prueba de Mann Whitney para muestras independientes y relacionadas. **Resultados** La edad media fue 18 ±1,3 años (39,4% mujeres y 1,8% no binario). El 32,1% trabaja, de los cuales 46,2% tenía intención de cambio de trabajo. Entre los que no tenían trabajo, el 37,1% se encontraba en búsqueda laboral. 45,9% tenían sólo sistema público como cobertura de salud. 89,7 % reportaron tener todas sus piezas dentarias y 9,6% tenían tratamientos protéticos. Las medias PT, PD1 y PD2 fueron 39,1 ±12; 22 ±7,2; 17,2 ±6,4 (43,5%, 43,9% y 34,3% del puntaje máximo, respectivamente). El PD1 tiene mayor impacto relativo que el PD2 ($p<0,001$). El PT, PD1 y PD2 fue significativamente mayor en individuos que se encontraban en búsqueda laboral y en los que dependían del sistema público de salud ($p<0,01$); mientras el PD1 fue significativamente mayor en adolescentes con ausencia de piezas dentarias ($p=0,005$) y/o con tratamientos protéticos ($p=0,021$). **Conclusión/es** La percepción del estado de salud bucal presenta mayor impacto sobre las expectativas de empleabilidad en adolescentes que se encuentran en búsqueda de trabajo y que dependen del sistema público de salud. Aquellos con ausencia de piezas dentarias y con tratamientos protéticos registran mayor impacto en el dominio referido a la condición estética.

148 ID 302

FLUORURO EN AGUA DE CONSUMO Y PREVALENCIA DE FLUOROSIS EN PROVINCIA DE LA RIOJA

*Ana Laura Sorazabal[1,2], Eliana Gonzalez[1,2], Celina Cornejo[1,2,3], Mauricio Nieto[1], Mariana Picca[4], Lidia Audrey Rocha Valadas[1,2], Pablo Salgado[1,2,3], Aldo Squassi[1,2].
1. Cátedra de Odontología Preventiva y Comunitaria, FOUBA. 2. Instituto de Investigaciones en Salud Pública, UBA. 3. Cátedra de Microbiología y Parasitología, FOUBA. 4. Cátedra de Materiales Dentales, FOUBA.

Objetivo/s Estimar el contenido de fluoruro en el agua y la prevalencia de fluorosis y realizar su distribución espacial utilizando un Sistema de Información Geográfica (QGIS), en el municipio de San Blas de Los Sauces, La Rioja, Argentina **Materiales y Métodos** Se tomaron muestras de agua en diferentes domicilios del Municipio de San Blas de los Sauces para determinar niveles de fluoruro en agua de consumo y se procesaron utilizando un electrodo combinado HI 4110 Hanna Instruments®. Por otro lado, se realizó la evaluación y diagnóstico de los escolares pertenecientes a las 7 escuelas primarias. Se realizó un examen dental para detectar la fluorosis utilizando el índice de T-F. Se calculó la distribución de proporciones de fluorosis por escuela y el contenido de fluoruro en el agua se mapeó en el sistema de Información geográfica QGIS. **Resultados** Se evaluaron 319 escolares mediana de edad 10 [7-10]; femenino 65,8%. La prevalencia de fluorosis fue del 60,5% . Encontrando la mayor prevalencia relativa de fluorosis en Suriyaco con el 65,9%. En relación a los niveles de fluoruro en agua, se analizaron 47 muestras con X= 0,92 [0,41 -2,14] ppm y 3ª cuartil 1,20 ppm. En relación a la distribución geográfica en Alpasinche se encontraron valores por encima de 2 ppm. No se encontró asociación geográfica entre los casos de fluorosis con las zonas con niveles de fluoruro más elevados. **Conclusión/es** Se encontraron zonas con elevado contenido de fluoruro y una elevada prevalencia de fluorosis en San Blas de los Sauces. Se sugiere ampliar las muestras de agua para futuros estudios.

149
ID 301

ESTUDIO DE LA MICROBIOTA ORAL DE INFANTES MENORES A 24 MESES

*Celina Cornejo[1,2,3], Natalia Pin Viso[4], Susana Molgatini[1,2,3], Aldo Squassi[1,2], Laura Gliosca[1,2,3].
1. Cátedra de Odontología Preventiva y Comunitaria, FOUBA. 2. Instituto de Investigaciones en Salud Pública, UBA. 3. Cátedra de Microbiología y Parasitología, FOUBA. 4. Instituto Nacional de Tecnología Agropecuaria (INTA).Unidad de Genómica.

Objetivo/s Analizar la microbiota oral amplificando el gen 16S rARN mediante técnicas de secuenciación en infantes menores de 2 años. **Materiales y Métodos** Se realizó un estudio analítico de corte transversal. La población elegible fueron 30 infantes entre 6 a 24 meses. Se realizó el examen odontológico. El número de piezas dentarias fue el criterio para agrupar la muestra: Grupo 1 (G1) n=6 infantes en etapa pre-eruptiva, Grupo 2 (G2) n=12 con 1 a 8 piezas y Grupo 3 (G3) n=12 entre 9 y 16 piezas.Los grupos G2 y G3 fueron reagrupados según la presencia de lesiones de caries, G2.1/G3.1 libres de caries y G2.2/G3.2 con caries activa. Se obtuvieron muestras de saliva por aspiración. El gADN fue obtenido con kit comercial. Los amplicones de las regiones hipervariables V3 y V4 del gen 16S rARN fueron secuenciados por NGS utilizando la plataforma MiSeq™ Illumina y el análisis de los datos se realizó mediante procesamiento informático. **Resultados** Se obtuvieron 2.666.416 secuencias y 335 ASV totales. Formicutes, Protobacteroides y Bacteroidetes fueron los philos más abundantes. De acuerdo a la diversidad ecológica, el índice de alfa diversidad presentó diferencias significativas en relación a la cantidad de especies observadas (p= 0.02). El G2 presentó menor cantidad de ASVs, y mayor diferencia taxonómica. El análisis de beta diversidad (Jaccard) presentó diferencias entre el G2 vs G3 y G1 vs G3 p= 0.003. Las abundancias y distancias filogenéticas presentaron diferencias significativas entre G21 y G32 p= 0,005 en relación al estado dentario. **Conclusión/es** Los filos prevalentes se mantuvieron desde la etapa pre-eruptiva hasta la aparición de las piezas dentarias, sin embargo, la presencia de las superficies oclusales podría comportarse como disruptor ecológico a nivel de género.

150
ID 375

EVALUACIÓN LONGITUDINAL DE TÉCNICAS DE PROTECCIÓN PULPAR DIRECTA EN LESIONES DE CARIES EN ADULTOS

*Myriam Boldrini[1], Pablo Salgado[2,3,4], Aldo Squassi[2,3].
1. Cátedra de Preclínica de Odontología Restauradora. 2. Cátedra de Odontología Preventiva y Comunitaria, FOUBA. 3. Instituto de Investigaciones en Salud Pública, UBA. 4. Cátedra de Microbiología y Parasitología, FOUBA.

Objetivo/s Comparar técnicas de protección pulpar directa en lesiones de caries en adultos en términos de mantenimiento de la vitalidad pulpar durante un periodo de 10 años. **Materiales y Métodos** Se realizó un estudio experimental sobre 97 piezas dentarias posteriores con lesiones de caries y sin restauraciones. Fueron incluidas piezas con respuesta inicial positiva a prueba de vitalidad pulpar. Un operador realizó la remoción de caries utilizando refrigeración acuosa y baja velocidad, hasta producir la exposición pulpar en forma puntual. Las piezas fueron divididas en forma aleatoria y se aplicaron 3 protocolos de intervención: G1: hidróxido de calcio puro pro e hidróxido de calcio fraguable (n= 59); G2 (23): pulpotomía de Cvek modificada y aplicación de MTA; G3 (15): pulpotomía de Cvek modificada y aplicación de hidróxido de calcio puro pro análisis. En todos los casos se realizó una restauración con ionómero vítreo durante 30 días al cabo de los cuales se eliminó hasta el límite amelo dentinario y se realizaron restauraciones definitivas. Los pacientes fueron evaluados en forma anual durante un periodo de 10 años, realizando la prueba de vitalidad pulpar por estímulo térmico, y se registraron los resultados en forma dicotómica. Para estimar el tiempo de supervivencia se utilizó el análisis de supervivencia de Kaplan-Meier y comparación Log-Rank (Mantel-Cox). Se estableció como end point la pérdida de vitalidad pulpar. **Resultados** La media (años) de tiempo de supervivencia fue: G1: 4,7 (IC95 3,6-5,8); G2: 10 (IC95 8,8-11,0); G3 5,6 (IC95 3,4-7,8). La prueba de Mantel-Cox mostró diferencias significativas entre los grupos (p<0.001). El 95% de las piezas incluidas en G2 mantuvieron la vitalidad pulpar a los 10 años. **Conclusión/es** El protocolo que incluyó la pulpotomía de Cvek modificada y aplicación de MTA presentó mayor efectividad en términos de mantenimiento de la vitalidad pulpar en piezas dentarias posteriores de adultos con lesiones de caries

151
ID 300

IMPACTO DEL COVID-19 SOBRE LA CALIDAD DE VIDA RELACIONADA CON SALUD BUCAL

*Camila Peralta[1], Agustin Buffa[1], Tamara Flores[1], María Victoria Fragola[1], Celeste González Bugallo[1], Abigail Lipovich[1], Gabriela Mariño[1], María Silvina Vega[1], Sofía Villegas[1], Rosario Zalazar[1], Yanina Anagua[1], Salomón Alberto Cohen[1], María Belén Pérez[1], María Laura Sánchez[1], Luciana D'Eramo[1,2], Pablo Salgado[1,2,3], Aldo Squassi[1,2].
1. Cátedra de Odontología Preventiva y Comunitaria, FOUBA. 2. Instituto de Investigaciones en Salud Pública, UBA. 3. Cátedra de Microbiología y Parasitología, FOUBA.

Objetivo/s Analizar el impacto de la situación asociada a la pandemia por COVID-19 sobre la calidad de vida relacionada con salud bucal en personas que demandan atención odontológica por demanda espontanea. **Materiales y Métodos** En el año 2017 (periodo prepandemia – T1), sobre una muestra de 148 adultos, concurrentes al Servicio de Urgencias y Orientación de Pacientes del Hospital Odontológico Universitario, se aplicó el cuestionario OHIP-14 validado al español (escala Likert de 5 categorías). Durante el año 2022 (periodo post pandemia -T2), se aplicó el mismo instrumento sobre una muestra de 523 adultos. Se calculó media, mediana (Md) y dispersión (desvío medio intercuartil (DM)), por dominio y puntaje total (PT). Los valores se expresaron en relación con el máximo puntaje posible para la totalidad del instrumento. Procesamiento estadístico: test de Student y U de Mann-Whitney para muestras independientes y ANOVA de medidas repetidas (post hoc de Bonferroni). El nivel de significación fue de p<0,05. **Resultados** La edad media de los pacientes en T1 fue 39 ±12 años, con 67,6% de mujeres; mientras que en T2 fue 38 ±13 años, con 68,5% de mujeres, sin observar diferencias significativas (edad: p=0,339; género: p=0,838). El PT en T1 registró una Md= 27 (DM=5), con una Md del impacto relativo de 48,2%; mientras que en T2 se observó una Md= 18 (DM=7), con una Md de impacto relativo de 32,1%, con diferencias significativas (p<0,001). En todos los dominios del OHIP-14, se observaron mayores puntajes en T1 (p<0,01). El impacto relativo en T1 fue ≥ 50% para todos los dominios excepto Discapacidad Física; mientras en T2, sólo fue ≥ 50% los dominios Dolor Físico y Disconfort Psicológico. **Conclusión/es** Los pacientes que demandaron atención odontológica en un servicio de urgencias en un periodo prepandemico registraron mayor impacto de la salud bucal sobre la calidad de vida respecto al periodo post pandemia.

152
ID 096

LA PRILOCAÍNA INHIBE A SERCA (CA-ATPASA DE RETÍCULO SARCOENDOPLÁSMICO) EN PTERIGOIDEO INTERNO.

*Daniel Eduardo Di Croce, Augusto Francisco Toma, Carolina de la Cal, Gabriel Antonio Sánchez.
Cátedra de Biofísica y Bioestadística. FOUBA.

Objetivo: Los anestésicos locales son miotóxicos e inhiben a la SERCA de músculo esquelético, con mayor efecto inhibitorio sobre músculos masticadores. El objetivo fue determinar el efecto diferencial de la prilocaína Merck ® sobre las isoformas de la SERCA de músculo pterigoideo interno. **Métodos:** Se disecaron músculos pterigoideos internos de conejo Rex y se aislaron membranas de SERCA nativas y purificadas por ultracentrifugación. La presencia de las isoformas de SERCA se evaluó por ELISA. Laactividad enzimática y el transporte de calcio de SERCA nativa o purificada se determinaron por método colorimétrico y radioisotópico. La CI50 (media±DS, n=8) se determinó para cada isoforma y se analizaron las diferencias por ANOVA y S-N-K (p<0,05). **Resultados:** El análisis de la preparación nativa de SERCA de pterigoideo interno evidenció una composición de 32% SERCA1a, 56% y 11% de SERCA2a y 2b respectivamente, y < del 1% de SERCA3. La prilocaína Merck ® inhibió la actividad enzimática y la captación de calcio en función de su concentración, tanto para la preparación nativa como para las diferentes isoformas, mostrando una potencia inhibitoria significativamente diferente. Las CI50 (mM) obtenidas para la inhibición de la actividad enzimática fueron SERCA1a 22,2±2,6 > SERCA2a 16,4±2,5 > SERCA2b 10,1±2,6, y 16,4±3,1 para la preparación nativa. Con respecto al transporte de calcio, los valores obtenidos fueron SERCA1a 30,5±3,2 > SERCA2a 26,1±2,3 > SERCA2b 20,2±1,5, y 25,3±2,8 para la preparación nativa. La isoforma más sensible a prilocaína fue la SERCA2b y la preparación nativa evidenció una sensibilidad a prilocaína similar a la SERCA2a. **Conclusión:** El efecto inhibitorio de la prilocaína sobre la familia SERCA de pterigoideo interno se evidencia a concentraciones menores que las utilizadas en la clínica odontológica y puede dar cuenta de su miotoxicidad, ya que la relajación de la fibra muscular resultaría alterada por la inhibición de la actividad enzimática y el menor transporte de calcio. Un efecto inhibitorio similar podría esperarse sobre la SERCA de otros músculos masticadores, adquiriendo mayor relevancia, en términos de miotoxicidad, en condiciones fisiopatológicas de expresión mayor de SERCA2.

153
ID 232

CEGAMIENTO DE PACIENTES EMPLEANDO NUEVO DISPOSITIVO DE ACUPUNTURA PLACEBO EN ENSAYO CLÍNICO

*Alejandro Francia[1], Virginia Machado[1], Ignacio Fernandez[1], Emilia Pena[1], Fernando Massa[2], Marcelo Kreiner[1].
1. Cátedra de Fisiología – Facultad de Odontología – Universidad de la República – Uruguay. 2. Servicio de Epidemiología y Estadística – Facultad de Odontología – Universidad de la República - Uruguay

Objetivo/s El doble cegamiento en investigación con acupuntura ha sido un problema histórico. Pocos estudios han validado dispositivos de acupuntura doble ciego y solo uno dentro de un ensayo clínico. En un estudio anterior nuestro grupo validó un dispositivo de acupuntura real/placebo simplificado con capacidades de doble ciego en voluntarios sanos. El presente estudio pretendió validar en un ensayo clínico el potencial de cegamiento de los pacientes. **Materiales y Métodos** Se realizó un estudio aleatorizado, controlado en el cual se emplearon dos tipos de dispositivos (real/placebo) confeccionados con idénticas características visuales. Se incluyeron 38 pacientes diagnosticados con dolor en la región cráneo-mandibular de origen muscular/miofascial. Para su tratamiento se realizó acupuntura en los puntos E6, E7, ID19 e IG4 en forma bi-lateral. Veinte pacientes recibieron acupuntura real y dieciocho recibieron placebo. Todos los pacientes completaron un formulario al final de la intervención. El mismo indagó sobre si consideró haber recibido acupuntura real o no y el grado de confianza en su respuesta lo debió marcar en una escala visual análoga. Se calculó el porcentaje de acierto para cada aguja y la confianza en su respuesta. El protocolo de investigación y el consentimiento informado fueron aprobados por el Comité de Ética de la Facultad de Odontología, Udelar (Uruguay) según expediente 091900-000127-20. **Resultados** Los pacientes tuvieron un bajo porcentaje de acierto en la identificación de la aguja placebo (28%) habiendo respondido en el 72% de los casos que se trataba de una aguja de acupuntura real. Al considerar el grado de confianza en su respuesta, para los casos de acierto en las agujas placebo el promedio fue de 48,3. La habilidad de los pacientes para identificar a la aguja real fue alta (95%) con un promedio de confianza en el acierto de 70,9. **Conclusión/es** Los pacientes presentaron una baja tasa de identificación de las agujas placebo (una de cada cuatro), considerando en la mayoría de los casos que se trataba de acupuntura real. Estos resultados demuestran un alto potencial de cegamiento. Se espera que este dispositivo pueda ser empleado como control en investigaciones clínicas de acupuntura que abarquen todas las disciplinas médicas y odontológicas.

154
ID 322

EFECTO DE LA REFLEXOLOGÍA EN DISCAPACIDAD MENTAL PREVIO AL ABORDAJE ODONTOLÓGICO.

*Mariana Armada[1], Maite Echaide[2], Jesica Rudzinsky[1], Silvina Sherar[1], Yamila Carlomagno[1], Angelica Castro Escalante[2], Mayra Alvarez[1], Maria Lis Bianchi[1], Betina Orman[2], Teresita Ferrary[1].
1. Area Discapacidad- Clapar 2- Medicina Interna, FOUBA. 2. Catedra de Farmacología, FOUBA.

Objetivo/s Los pacientes con discapacidad mental severa suelen presentar altos niveles de ansiedad con serios trastornos conductuales que complican el abordaje odontológico y la posibilidad de una sedación consciente, al negarse a la toma del fármaco. La reflexología manual (RM) es una terapia complementaria no invasiva y segura que a través de una presión directa sobre puntos específicos del cuerpo afecta mecanismos mentales, emocionales y psicológicos. Luego de la aplicación de presión en los puntos de estrés disminuyen la ansiedad y la actividad del sistema nervioso simpático. Objetivo: Estudiar el efecto de la reflexología manual en discapacidad mental previo al abordaje odontológico. **Materiales y Métodos** Se incluyeron 10 pacientes con discapacidad mental (DM) y alteraciones conductuales (AC) entre 19 y 26 años y un nivel de ansiedad entre 1 y 2 de la escala de Frankl, del Área Discapacidad, CLAPAR 2, FOUBA. Familiares y pacientes firmaron el consentimiento informado. Se realizaron 5 sesiones de RM en un ambiente sensorial adaptado. Se utilizó el método de Ingham para aplicar masajes en las manos. Los pacientes recibieron 2 minutos de masaje de reflexología en 3 puntos. Se tomaron parámetros vitales (presión arterial (PA) y frecuencia respiratoria (FR) en cada sesión). Para las variables ordinales se utilizaron las medianas (Frankl). Para el análisis estadístico se utilizó el test de ANOVA (PA y FR). **Resultados** Los pacientes con DM y AC modificaron de 1 a 3 en la escala de Frankl en la 3ra sesión de RM, y los de diagnóstico de esquizofrenia severa 5 sesiones para disminuir su ansiedad. Los parámetros vitales se mantuvieron en valores normales y luego de la RM se observó una disminución no significativa de la presión arterial sistólica y diastólica (118.7±5.2 y 81.8.±5.1;115.5±6.4 y 79.9±6.2) ($p<0.21$) y de la frecuencia respiratoria (19.40±1.9 y 18.78±1.4) ($p<0.22$) previo y última sesión, respectivamente en el 80% de los pacientes. No se observaron eventos adversos. **Conclusión/es** Este estudio preliminar mostró que la RM puede ser beneficiosa en la reducción de la ansiedad en los pacientes con DM y AC. La RM es fácil de usar, económica y no necesita instrumentos, ni dispositivos especiales. Se sugiere utilizar estas intervenciones para mejorar la calidad de la atención y reducir la ansiedad de los pacientes previo a los diferentes abordajes odontológicos.

155
ID 159

ALTERACIÓN DE LA LONGITUD DE CONTRACCIÓN MUSCULAR Y ESTRUCTURALES EN MÚSCULO MASETERO POR ANESTÉSICOS LOCALES

*Carolina de la Cal, Daniel Eduardo Di Croce, Delia Takara.
Cátedra de Biofísica y Bioestadística.FOUBA.

Objetivo/s Identificar cambios en la longitud de contracción muscular y estructurales del músculo masetero (MM) de rata por anestésicos locales respecto a controles en ausencia del agente anestésico. **Materiales y Métodos** Se utilizaron ratas Wistar macho adultas que fueron separadas en: grupo Control (C) sin ningún tratamiento. El resto de los grupos fue anestesiado intramuscularmente (IM) en la pata posterior con Xilazina 2% (0,05 ml) y Ketamina 50 mg/ml (0,1 ml/100g peso de rata). El grupo Control Anestesia (CA) no recibió ningún otro tratamiento. Los otros grupos, además se inyectaron con solución fisiológica (SF) o Prilocaína (Pri), Mepivacaína (Mepi), Carticaína (Carti) 0.1ml en concentración 0.3M o Carragenina 1% (Carr), IM en el MM. Las ratas fueron sacrificadas por dislocación cervical a la hora post tratamiento. Se realizó la fijación de muestras para microscopía electrónica (ME). Se determinó la longitud de la contracción muscular, el número de mitocondrias por campo y el tamaño mitocondrial en todos los grupos estudiados. Los resultados obtenidos fueron evaluados mediante ANOVA de 1 vía y test de comparaciones múltiples de Tukey ($p<0.05$). **Resultados** La contracción muscular se expresó como distancia entre línea Z y línea Z en µm: se observó una disminución muy significativa ($p< 0.001$) en todos los grupos con respecto al control (2.45±0.16), siendo la Carr el grupo que presentó mayor contracción (1.39 ± 0.03). El número de mitocondrias por campo evidenció menor cantidad en el grupo tratado con Carti, presentando una diferencia de $p=0.002$ en comparación con los grupos C, Carr y Mepi; no observándose diferencia con los demás grupos. La Prilo presentó el tamaño mitocondrial mayor (2.04 µm ± 0.42µm) con una diferencia de $p<0.001$ con respecto a los demás grupos (C:1.10±0.33; CA:0.61±0.30; SF:0.56±0.13; Mepi:1.19±0.23; Carti:0.36±0.11; Carr:0.39±0.14). Se observó en las ME de los músculos tratados contracción muscular y cambios estructurales que alterarían a los MM. **Conclusión/es** Los resultados sugieren que los anestésicos locales estudiados además de generar contracción muscular producen diferentes cambios estructurales en los MM.

156
ID 359

ROL DE CB1 EN EL MECANISMO ANALGÉSICO DEL PARACETAMOL A NIVEL DEL NÚCLEO TRIGEMINAL.

*Mariela C. Canzobre[1,2], Alejandra Paganelli[2], Hugo Rios[2].
1. Catedra de Histología y Embriología. FOUBA. 2. Instituto de Biología Celular y Neurociencias “Prof. E. De Robertis “, Facultad de Medicina, UBA.

Objetivo/s Analizar a nivel del subnúcleo caudal del trigémino (Vc), el rol del receptor canabinoide CB1 en la vía analgésica del paracetamol luego de una inflamación pulpar en ratas. **Materiales y Métodos** 15 ratas Wistar de 50 días, divididas en un grupo Control (GC), y 2 experimentales (GE1) y (GE2). Para generar la inflamación pulpar en GE1 y GE2 se realizó la exposición del cuerno pulpar mesial en el primer molar inferior izquierdo y se selló con cemento de fosfato. A las 48hs postinflamatorias, el grupo GE2 fue tratado con paracetamol por vía oral (300mg/kg) en 3 tomas (cada 4 horas) durante 2 días. Todos los animales se sacrificaron a los 4 días y sus encéfalos fueron procesados para inmunofluorescencia. Se utilizaron los anticuerpos primarios CB1r, Calbindina D28K y Hoechst. Los tests estadísticos empleados fueron Prueba T pareada y ANOVA de dos vías. **Resultados** La expresión del receptor CB1 fue localizada en somas de neuronas de proyección (lamina I) y neuronas modulatorias (lamina II). La administración de paracetamol (GE2) genera un aumento significativo ($p<0,05$) de células CB1r positivas/área en la lámina I ipsilateral (6+0,6) vs contralateral (3,5+0,3) y respecto a GE1 (2,6+0,2) y CT (3,7+0,3). Al analizar la proteína calbindina D28K en las láminas superficiales, el grupo GE2 no mostró cambios respecto al control, mientras que en el lado ipsilateral de GE1 el aumento fue significativo (4,3+0,5) vs contralateral (2,4+0,4) y respecto a GE2 (3+0,2) y CT (3,3+0,6). **Conclusión/es** Según nuestro modelo, ante la administración de paracetamol el receptor canabinoide CB1 muestra cambios plásticos con un aumento de su expresión en neuronas de proyección. Es decir que, podría ejercer un efecto inhibitorio y de esta manera disminuir la transmisión nociceptiva ascendente, como se demuestra al analizar la expresión de neuronas calbindina positivas en la lámina I del Vc

157
ID 273

MELATONINA PROMUEVE EL REMODELADO ÓSEO EN LA OSTEONECROSIS PROVOCADA POR ÁCIDO ZOLEDRÓNICO EN RATAS

*Mabel Abigail Hernández[1,2], Sebastian Fontana[3], Agata Rita Carpentieri[2,4].
1. Cátedra de Anatomía, Facultad de Odontología, UNC. 2. INICSA-UNC. CONICET. 3. Cátedra de Histología, Facultad de Odontología, UNC. 4. Cátedra de Química Biológica, Facultad de Odontología, UNC.

Objetivo/s Los bifosfonatos, utilizados en patologías como osteoporosis o metástasis óseas, predisponen al desarrollo de osteonecrosis mandibular asociada a medicamentos (ONMAM). Como posible opción terapéutica para la ONMAM se propuso a la melatonina (MEL), que además de sus efectos cronobiológicos, es capaz de estimular el remodelado óseo. El objetivo de este trabajo es estudiar mediante análisis histológicos e histomorfométricos, los efectos de la MEL en un modelo de ONMAM. **Materiales y Métodos** Se utilizaron ratas Wistar hembras (n=14) de 30 días, divididas en 3 grupos: 1) CT (n= 2), inyectadas con solución fisiológica 2) AZ (n= 6) inyectadas (ip) con ácido zoledrónico (AZ, 50 µg/kg de peso corporal) semanalmente, durante 60 días; 3) AZ+MEL (n= 6) tratadas con AZ similar al segundo grupo conjuntamente con MEL (sc, 10mg/kg de peso corporal) 3 veces por semana. A los treinta días, se realizó extracción del primer molar inferior. A los 60 días se realizó eutanasia y se extrajeron las mandíbulas para su análisis histológico. Se determinó histomorfométricamente el volumen alveolar total (VAT), la altura de la tabla vestibular (hV), la altura de la tabla lingual (hL) y la densidad ósea promedio (DO). Los datos se analizaron estadísticamente (ANOVA, $p<0.05$). **Resultados** Macroscópicamente se detectó ausencia de cicatrización y con tejido óseo expuesto en animales del grupo AZ, mientras que en el grupo AZ+MEL se observó cicatrización normal. La media ± desviación estándar de los parámetros histomorfométricos estadísticamente significativos fueron: VAT: CT= (3.74±0.1) mm2; AZ= (1.76±0.4) mm2*; AZ+MEL= (2.69±0.83) mm2 y DO: CT= (73.90±0.007) %; AZ= (64.37±0.06) %*; AZ+MEL= (70.83±0.07) %. **Conclusión/es** La administración de MEL acercó los parámetros medidos, a los valores encontrados en los casos CT. Esto podría indicar un efecto promotor de MEL sobre el remodelado óseo y preventivo de los efectos nocivos de AZ, postulando a la MEL como una nueva opción terapéutica para patologías donde estén involucradas fallas en el metabolismo óseo.

158
ID 251

EVALUACIÓN INMUNOHISTOQUÍMICA DE LESIONES ODONTOGÉNICAS DE CÉLULAS FANTASMAS.

*Lucas Polti, María Luisa Paparella.
Cátedra de Anatomía Patológica- FOUBA

Objetivo/s Evaluar el perfil inmunohistoquímico de las lesiones odontogénicas de células fantasmas. **Materiales y Métodos** Se incluyeron 8 casos de quiste odontogénico calcificante (QOC) y 3 casos de tumor dentinogénico de células fantasmas (TDCF) provenientes del archivo del Laboratorio de Patología Quirúrgica de la Cátedra de Anatomía Patológica-FOUBA-. Se analizaron los caracteres histopatológicos y expresiones inmunohistoquímicas de los anticuerpos: AE1-AE3, p63, Vimentina, CD68, S100, CD1a, Beta-catenina. Se estimó el índice de proliferación celular con Ki67. **Resultados** AE1-AE3 resultó positivo en todos los casos (QOC y TDCF) en el epitelio ameloblástico/ameloblastomatoso y en las células fantasmas. p63 fue positivo en 1 caso de TDCF a nivel de la proliferación epitelial. Vimentina fue positivo en 5 casos de QOC y 2 casos de TDCF en las células fantasmas. CD68 resultó positivo focal, de intensidad heterogénea, en células fantasmas de todos los casos. S100 se expresó en 6 casos de QOC en las células fantasmas, en 3 de ellos también en el revestimiento epitelial, y en 2 casos de TDCF a nivel de las células fantasmas y en la proliferación epitelial. CD1a resultó negativo. Beta-catenina resultó positivo en todos los casos a nivel del epitelio con marcación nuclear, citoplasmática y de membrana. Las células de transición hacia las células fantasmas mostraron positividad citoplasmática y de membrana, focal y heterogénea; y las células fantasmas solo mostraron positividad de membrana, focal y débil, en 4 casos de QOC y en los 3 TDCF. La expresión de Ki67 fue menor al 1% en el 90% de los casos. **Conclusión/es** Los QOC y TDCF son lesiones odontogénicas raras con caracteres histopatológicos heterogéneos que presentan células fantasmas, las cuales no son exclusivas de estas entidades, pero si determinantes en el diagnóstico. Se reporta por primera vez la expresión de CD68 en las células fantasmas de QOC y TDCF. Se describe el patrón de expresión de Beta-catenina en las células fantasmas, observándose una pérdida gradual de la expresión coincidiendo con el proceso de diferenciación terminal aberrante de estas células. Las células fantasmas presentan un perfil inmunohistoquímico muy variable, siendo necesario realizar estudios futuros, incrementando el número de casos, para profundizar y establecer la génesis de estas células.

159
ID 267

OSTEOPOROSIS INDUCIDA POR GLUCOCORTICOIDES: ROL MEDIADOR DEL OSTEOCITO EN HUESO ALVEOLAR Y TIBIA.

*Juliana Rodriguez, Debora Ruth Tasat, Carola Betina Bozal.
Cátedra de Histología y Embriología, FOUBA.

Objetivo/s La administración crónica de glucocorticoides (GC) provoca osteoporosis secundaria (GIO: glucocorticoid-induced osteoporosis) con disminución de la formación ósea vinculada a apoptosis de osteoblastos y osteocitos e incremento en la expresión de esclerostina. Sin embargo, se desconoce si en hueso alveolar los osteocitos responden análogamente. Previamente (IADR, 2020) hemos demostrado que la administración crónica de GCs provoca alteraciones en el sistema lacuno canalicular osteocitario en el hueso alveolar de la rata. El objetivo del presente trabajo fue estudiar histológica e inmunohistoquímicamente el efecto de la administración crónica de GCs sobre la respuesta de los osteocitos (Ot) de hueso alveolar y de tibia mediante la determinación de apoptosis (TUNEL y Caspasa 3) y la expresión de esclerostina. **Métodos** Para ello, 12 ratas Wistar macho de 100±10 gr se dividieron en dos grupos: Control (C) y GC. Los animales recibieron 7 mg/kg de dexametasona (GC) o solución salina (C) vía IM 1 vez por semana durante 5 semanas. Luego de la eutanasia, se extrajeron maxilares inferiores y tibias y se procesaron histológicamente para la obtención de cortes orientados para realizar: tinción con H&E, detección de apoptosis por TUNEL y Caspasa 3 y, marcación de SOST/esclerostina. Se evaluaron: actividad ósea, espesor cortical y porcentajes de osteocitos TUNEL+(Ot TUNEL+%), Caspasa 3+(Ot caspasa+%) y esclerostina+(Ot SOST/esclerostina+%). Los datos se analizaron estadísticamente mediante el test T de Student ($p<0.05$). **Resultados** En tibia, en el grupo GC se observó una disminución en el espesor cortical (µm) C:356±35; GC:236±35)($p<0.05$) con un incremento en Ot TUNEL+% (C:11.9±5.7; GC:45.6±8.6)($p<0.05$). En hueso alveolar, en el grupo GC se observó una disminución en la formación ósea (C:56.5±12.7; GC:32±2.7)($p<0.05$) con un aumento en la resorción (C:5.4±2.2; GC:16.6±5.2)($p<0.05$), una tendencia al aumento en el Ot TUNEL+% ($p>0.05$) e incremento de Ot Caspasa 3+% (C: 9±3.6; GC:18.1±8)($p<0.05$). El Ot SOST/esclerostina+% no mostró diferencias significativas entre grupos. **Conclusión/es** Nuestros resultados sugieren que el efecto deletéreo de los GCs sobre el hueso alveolar también se asocia a la apoptosis de los osteocitos mientras que la esclerostina parece no tener un rol preponderante en la patogénesis de la GIO.

160
ID 367

TRABAJO RETIRADO

161
ID 365

ÁCIDOS GRASOS DIETARIOS N-3 E INFLAMACIÓN EN LA CARCINOGÉNESIS LINGUAL EN RATONES.

*Barbara Agustina Luciano[1], Costantino Evangelina[1], Combina Herrera Cesar Nicolas[1], Cremonezzi David[2], Pasqualini María Eugenia[3], Actis Adriana Beatriz[3].
1. Cátedra B de Anatomía, Facultad de Odontología, UNC. 2. Cátedra de Biología Celular, Histología y Embriología, Facultad de Ciencias Médicas, UNC. 3. Instituto de Investigaciones en Ciencias de la Salud (INICSA) – CONICET – UNC.

Objetivo/s Analizar la relación entre ácidos grasos (AG) dietarios n-3 y la inflamación durante el proceso de inducción química de tumores en la mucosa lingual de ratones. **Materiales y Métodos** 72 ratones BALB/c machos, de 7-8 semanas de edad, fueron asignados a dos grupos dietarios: chía (GCh; n=36) y control (GC; n=36). Los animales recibieron una dieta semiblanda con aceites de chía (AG n-3) y de soja (AG n-6), respectivamente, como fuente lipídica (6%). Se indujeron tumores linguales mediante la aplicación tópica de 4-nitroquinolina1-óxido (4NQO) durante 16 semanas. Seis animales de cada grupo fueron sacrificados a las 8, 24, 32, 40, 50 y 60 semanas para obtener muestras de mucosa lingual y de sangre. Las muestras de tejido fueron coloreadas con hematoxilina y eosina para analizar los cambios histopatológicos y cuantificar linfocitos (fotografías y grilla ad-hoc, programa Power Point-2016; dos observadores). En plasma, se determinaron citoquinas tales como interleuquina (IL)-6 y factor de necrosis tumoral (TNF) (test de ELISA). Se empleó un modelo de distribución gamma ($p \leq 0,05$) para las comparaciones entre grupos. **Resultados** Se encontraron carcinomas de células escamosas en el 16,6% de los animales en GC a las 32 y 40 semanas, mientras que no se detectaron tumores en GCh en ese tiempo. A 50 y 60 semanas se hallaron carcinomas en 100% de los animales de GC y 16% y 33,3% en GCh, respectivamente. No se detectaron tumores a las 8 y 24 semanas. Las concentraciones medias (pg/mL), por grupo dietario, de IL-6 fueron 71,09±47,02 (GC) y 19,94±12,84 (GCh) y las de TNF fueron 45,40±12,81 (GC) y 26,13±11 (GCh). Los niveles de las dos citoquinas fueron mayores en GC que en GCh (IL-6 $p=0,05$; TNF $p=0,08$). Se encontraron 90,51±38,29 linfocitos en GC y 65,63±22,96 en GCh, diferencia que fue estadísticamente significativa ($p=0,004$). **Conclusión/es** Los AG dietarios n-3 ejercen una acción antiinflamatoria durante la inducción química de tumores en mucosa lingual de ratones.

162
ID 364

PREVALENCIA DE LESIONES ESTOMATOLÓGICAS EN DOS PERÍODOS DE ESTUDIO. ANÁLISIS DE PATOLOGÍAS INFECCIOSAS.

*Adrián Allende, Ricardo Caciva, Belardinelli Paola, Robledo Graciela, Liandro María Fernanda, Bachmeier Evelin, Chaguri Guadalupe, Valdez Jesica, Rosana Morelatto, Silvia Adriana López de Blanc.
Cátedras de Estomatología A y B Dpto Patología Bucal FO UNC.

Objetivo/s Describir y analizar la prevalencia de patologías infecciosas en pacientes que atendidos en Estomatología B FO UNC, en dos períodos de tiempo. **Materiales y Métodos** Se incluyeron 12465 historias clínicas correspondientes a 18 años. Se estudiaron: dos períodos: Período I (P I): 1995-2003 y Período II (P II) 2009-2017, según se explicitó en trabajo 362. Se analizó la distribución de las patologías infecciosas según edad y sexo, haciendo un análisis detallado de las infecciones micóticas, bacterianas y virales. Se aplicó test chi cuadrado. **Resultados** Las patologías infecciosas constituyeron el 25,5% y el 19% de las consultas en PI y PII respectivamente. En relación al tipo u origen de la infección: en PI las más frecuentes fueron las micóticas (64%), mientras en el PII bajaron a un 31,5%; por otro lado, las virales de un 33% en PI ascendieron a un 48,5% en PII. Dentro de las patologías de origen micótico, las candidiasis crónicas fueron las más frecuentes, mientras que el herpes y las lesiones por virus de papiloma humano (VPH) las predominantes entre las virales. Entre las bacterianas y luego de las infecciones de origen dentario se destaca la sífilis que registró 15 casos en PI a 24 en PII; un análisis detallado de las características particulares de esta infección de transmisión sexual fue presentado en saio 2018. En el período II la distribución de patologías por décadas, muestra diferencias significativas predominando las afecciones micóticas, particularmente la candidiasis crónica, en la 5ta, 6ta y 7ma, mientras las virales y bacterianas predominaron en la 2da, 3ra y 4ta décadas ($p<0,05$). Las patologías infecciosas mostraron una importante variabilidad en el tiempo, predominando las virales en el período más reciente. Las políticas públicas deben continuar apuntando a difundir conductas saludables ajustadas a las diferentes realidades regionales.

163
ID 229

VIRUS PAPILOMA HUMANO (HPV) EN CARCINOMAS ESCAMOSOS DE LA MUCOSA BUCAL.

*Nathalie Amaya Londoño[1], Rita M Correa[2], Laura Leguina[3], Gabriela Acosta Haab[3], María A Picconi[2], María L Paparella[1].
1. Cátedra de Anatomía Patológica, Laboratorio Patología Quirúrgica. FOUBA. 2. Instituto Nacional de Enfermedades Infecciosas INEI-ANLIS Malbrán, Servicio Virus Oncogénicos, Laboratorio Nacional y Regional de Referencia de HPV OPS/OMS. 3. Hospital Municipal de Oncología Marie Curie, Servicio de Anatomía Patológica.

Objetivo/s El objetivo de este trabajo es evaluar la presencia del virus papiloma humano (HPV) en carcinomas de células escamosas de la mucosa bucal convencionales (CCEC) y subtipos infrecuentes (CCEI). **Materiales y Métodos** Se incluyeron 105 muestras biópsicas (71 CCEC y 34 CCEI) provenientes del archivo del Laboratorio de Patología Quirúrgica de la Cátedra de Anatomía Patológica-FOUBA-. Se evaluaron caracteres histopatológicos e inmunohistoquímicos y datos clínicos disponibles. La detección y genotipificación de HPV se realizó en el Laboratorio Nacional y Regional de Referencia de HPV (INEI-ANLIS Malbrán) mediante PCR BSGp5+/6+ combinada con hibridación reversa en membrana para la identificación de 36 genotipos de alto (HPV-AR) y bajo grado (HPV-BR) oncogénico. En las muestras HPV positivas se evaluó la sobreexpresión de la proteína p16 por técnica inmunohistoquímica, la misma se efectuó en el Servicio de Anatomía Patológica del Hospital Municipal Marie Curie, utilizando el anticuerpo anti p16 clon VENTANA CINtec p16 anti-p16INK4a (E6H4) a través de plataforma automatizada Ventana. **Resultados** El HPV se detectó en 12 casos (11,4%): 4 CCEC (3 semidiferenciado, 1 diferenciado) y 8 CCEI (3 verrugoso, 2 basaloide, 1 cuniculatum, 1 acantolítico, 1 adenoescamoso). La inmunomarcación para p16 fue negativa en los CCEC y positiva en 4/8 casos (50 %) de CCEI (2 basaloide: HPV16 y HPV18, 1 verrugoso: HPV56, 1 cuniculatum: HPV33). La media de edad de los casos HPV positivos, independientemente del subtipo, fue de 63 años (40-80 años), 11/12 casos (92%) fueron varones, y la localización prevalente fue reborde alveolar 5/11 casos (45%), seguida de cara ventral de lengua y piso de boca 4/11 casos (36%). **Conclusión/es** La frecuencia de detección de ADN de HPV en CCE encontrada es similar a la descripta en la literatura. La mayor detección en los CCEI es un dato de interés que requiere profundizar su estudio. La presencia de HPV-AR asociada a la sobreexpresión de p16 observada en el 50% de CCEI podría sugerir una posible asociación etiológica de estos virus con la lesión. Los datos obtenidos constituyen una contribución regional a los escasos reportes existentes. El rol del HPV en la carcinogénesis de la mucosa bucal es incierto, futuros estudios son necesarios para avanzar en el conocimiento de la carcinogénesis de la mucosa bucal.

164
ID 167

ANÁLISIS DEL FITNESS EN RESPUESTA AL ESTRÉS EN CANDIDA DUBLINIENSIS

*Verónica Angeles Dubois[1,2], Ewa Ksiezopolska[1,3], Laura Alejandra Gliosca[2], Susana Liliana Molgatini[2], Toni Gabaldón[1,3].
1. Institute for Research in Biomedicine (IRB Barcelona), Mechanisms of Disease Program, The Barcelona Institute of Science and Technology, Baldiri Reixac 10, 08028 Barcelona, Spain. 2. Cátedra de Microbiología y Parasitología, FOUBA. 3. Barcelona Supercomputing Centre (BSC-CNS), Life Sciences Department, Jordi Girona 29, 08034 Barcelona, Spain.

Objetivo/s Evaluar el fitness de Candida dubliniensis (Cd) mediante curvas de crecimiento ante la presencia de diferentes estresores. **Materiales y Métodos** Se estudiaron 33 cepas de Cd aisladas de 27 sitios periodontales de 12 pacientes HIV seropositivos/HAART. Se inocularon 500 µL de YPD caldo en placas de 96 deep-well a partir de una colonia de cada cepa. Los cultivos se incubaron overnight en agitación con glass-beads (37ºC, 200 rpm). Posteriormente se realizaron diluciones 3:200 µL de cada cultivo en agua bidestilada. 3 µL de cada dilución fueron sembrados en spots utilizando platemaster-Gilson® sobre placas de YPD agar suplementadas con 13 diferentes estresores: Cloruro de sodio (NaCl), peroxido de hidrogeno (H_2O_2), Calcofluor White (CFW), dodecilsulfato sódico (SDS), Congo Red (CR), ditiotreitol (DTT), Fluconazol (FZL), Anidulafungina (ANI), sorbitol, glicerol, etanol, en diferentes concentraciones, pH 4 y 8. La incubación fue a 37ºC y el crecimiento se registró fotográficamente con escaner Epson Perfection V600® cada 15 minutos durante 24 hs. Candida glabrata CBS138, Candida albicans CBS5314 y Candida dubliniensis CBS7987 fueron utilizadas como cepas controles. Se construyeron curvas de crecimiento y se determinó el área bajo la curva (nAUC) a partir del procesamiento informático de las imágenes. Todos las cepas fueron referenciadas al crecimiento en YPD agar (fAUC=nAUCestres/nAUCypd) y al crecimiento de la cepa WT de referencia Candida dubliniensis CBS7987 (rAUC=fAUCcepa/fAUCwt). El procesamiento de los datos se realizó en Google Colaboratory (Colab). **Resultados** Del total de cepas analizadas 33 (100%): 5/33 (15.15%) presentaron disminución o ausencia de crecimiento en CFW, DTT, SDS, pH4, pH8 y glicerol; 9/33 (27.27%) en etanol y NaCl; 10/33 (30.30%) en H_2O_2. El total de las cepas 33/33 (100%) desarrollaron en sorbitol. Todas las cepas presentaron inhibición del 50% a concentraciones de 2 µg/ml de Fluconazol y 0.25 µg/ml de Anidulafungina. Las variantes estructurales (SVs) que avalan estos cambios en la expresión fenotípica se encuentran en etapa de experimentación. **Conclusión/es** Los estresores probados modularon el crecimiento de las cepas de Cd. Solo 5 de las 33 cepas presentaron disminución/ausencia del crecimiento a las 24hs ante los 13 diferentes estresores ensayados.

165
ID 362

ESTUDIO DE TRASTORNOS ORALES POTENCIALMENTE MALIGNOS (TOPM) DURANTE DOS PERÍODOS

*Silvia Adriana López de Blanc, Belardinelli Paola, Caciva Ricardo, Robledo Graciela, Bachmeier Evelin, Chaguri Guadalupe, Valdez Jesica, Morelatto Rosana.
Estomatología B Dpto Patología Bucal FO UNC

Objetivo/s Analizar las características de los TOPM en dos períodos: 1995- 2003 (PI) y 2009- 2017 **Materiales y Métodos** Se recopilaron un total 12465 historias clínicas de pacientes atendidos en Estomatología "B" (FOUNC) en los dos períodos antes mencionados: 8004 para el PI y de 4461 en el PII. Se excluyeron aquellas incompletas y/o duplicadas. Se clasificaron según criterios del consenso OMS 2020 y se analizó la distribución de los TOPM según edad, sexo, consumo de tabaco y de alcohol y el diagnóstico estomatológico. Se aplicó test chi cuadrado y OR. **Resultados** Tanto en el PI como en el PII, predominó el sexo femenino con un 63 y un 62% respectivamente; la edad promedio fue de 41 y 56 años, en PI y PII y un rango de 3 meses a 96 años en ambos períodos. Los TOPM constituyeron el 18% (PI) y el 15,5% (PII) de las consultas. Los más prevalentes fueron la leucoplasia (L) 631(45%) en el PI y el liquen oral junto a las lesiones liquenoides orales (LO y LLO) en el PII n:164 (47%), y en 3er lugar las queilitis en ambos períodos con un 24 y un 18% respectivamente. En cuanto a la distribución por sexo en la leucoplasia, predominó el masculino (76%) mientras en el LO-LLO el femenino (72%). En relación a los al consumo de tabaco éste fue más frecuente en las leucoplasias (92 y 96%) ($p<0,05$), el resto de los TOPM superaron la media de consumo de la población estudiada que fue del 49% en ambos períodos. **Conclusión/es** La fuerte asociación del consumo de tabaco con TOPM nos alerta y preocupa. Se hace necesario continuar con la concientización de la población sobre sus efectos nocivos sobre la salud en general y de la boca en particular.

166
ID 292

ESTUDIO PROSPECTIVO DE TRATAMIENTO ORTODÓNCICO CON AVANCE MANDIBULAR.

*Maria Sol Poladian, Marina Iglesias, Mahmood Ahmadi, Alejandra Folco
Cátedra Ortodoncia, FOUBA.

Objetivo/s El aparato AdvanSync, es un propulsor mandibular, indicado para tratamiento de Clases II que permite avanzar la mandíbula y remodelar las arcadas dentarias, para corregir la oclusión a Clase I molar y canina, mientras el paciente lleva brackets en ambas arcadas. Objetivo: Comparar parámetros cefalométricos pre y post tratamiento con propulsor, para evaluar las modificaciones producidas y la corrección de la clase II. **Materiales y Métodos** Se incluyeron 8 pacientes que concurrieron a la cátedra de Ortodoncia de la FOUBA y firmaron su consentimiento informado, clase II dentaria molar y canina, de ambos sexos entre 12 y 16 años de edad, con dentición permanente completa, Clase II canina y molar y overjet mayor a 5 mm. Se excluyeron: pacientes con trastornos articulares, enfermedad periodontal, caries no tratadas o historial de enfermedades sistémicas. Se trataron con AdvanSync y ortodoncia autoligable sistema DAMON. Se evaluaron los estudios cefalométricos pre y post tratamiento. Los resultados fueron tratados estadísticamente con Prueba T para datos apareados **Resultados** La convexidad Facial, disminuyó en todos los pacientes, promedio: -2,77 mm. SD 1,95mm. La profundidad Facial aumentó 5,44° SD 4,55° y la profundidad maxilar disminuyó 2.55°, SD 1,34° en todos los casos con diferencia estadísticamente significativa ($p<0.05$). En el cefalograma de Mc Namara, La longitud maxilar aumentó 3.44mm SD 1,42 y la longitud mandibular aumentó más aún: 5.22mm SD 2,38 ($p<0.05$). Análisis de Wits: disminuyó en todos los casos, prom -1,88 sd 1,16. ($p<0.05$) y el IMPA, aumentó en promedio 5,44mm SD 4,55 mm. con diferencia estadísticamente significativa entre inicial y final ($p<0.05$). **Conclusión/es** La clase II esqueletal disminuye, con avance mandibular y retroceso maxilar por remodelación ósea. La longitud del maxilar superior se incrementa significativamente por crecimiento de los pacientes, pero en mayor medida lo hace la longitud mandibular mejorando la relación sagital. Como efecto secundario se produce volcamiento del sector anteroinferior.

167 ID 314

EVALUACIÓN CONE BEAM DE PACIENTES TRATADOS CON ORTODONCIA AUTOLIGABLE INTERACTIVA

*Mahmood Ahmadi[1], Matías de Luque[2], Diego Vazquez[3], Andrea de Laurentiis[4], Alejandra Folco[1].
1. Cátedra de Ortodoncia FOUBA. 2. Cátedra de Diagnóstico por imágenes FOUBA. 3. Cátedra de Fisiología FOUBA.

Objetivo/s La expansión transversal de los maxilares con ortodoncia permite la reubicación de las piezas dentarias por remodelación alvéolo-dentaria. El sistema de autoligado interactivo es un tratamiento ortodóncico que permite con baja fricción y baja fuerza recuperar la arcada dental natural en pacientes con apiñamiento dental. Comparar la relación de incisivos y caninos con su cortical de la cresta alveolar vestibular en tomografías pre y post alineación y nivelación de pacientes tratados con ortodoncia autoligante semiactiva. **Materiales y Métodos** Participaron 11 pacientes de ambos sexos de entre 12 y 36 años con apiñamiento dentario moderado a severo tratados con sistema CCO de la Cátedra de Ortodoncia de la FOUBA. Firmaron consentimiento informado y asentimiento del menor. Fueron tratados con sistema CCO de bracketsautoligantes y arcos termoelásticos de Níquel titanio (Sentalloy y Bioforce 20x20). Se comparó el promedio de la distancia entre el límite amelocementario (LAC) en el cenit y la cortical vestibular de la cresta alveolar para incisivos y caninos en ambos maxilares. Se empleó un equipo tomográfico PlanmecaPromax 3D max., Caracteristicas de la adquisición: Fov de 13cm., Voxel de 200 µm. software Romexis, con plano de orientación basado en estructuras anatómicas que permitan una correcta visualización del panorexis. Los caninos retenidos o ectópicos se excluyeron. Datos registrados en excell y analizados con Software GraphPadPrism5.00 (Student T test). **Resultados** La diferencia entre antes y después del alineamiento y nivelación de la distancia entre LAC y cortical vestibular de cada pieza dentaria en mm fue: 1.3=0.22±0.05; 1.2=0.18±0.01; 1.1=0.21±0.04; 2.1=0.2±0.03; 2.2=0.18±0.02; 2.3=0.11±0.02; 4.3=0.14±0.01; 4.2=0.22±0.03; 4.1=0.17±0; 3.1= 0.18±0.01; 3.2=0.17±0.04; 3.3= 0.15±0.02 sin diferencias estadísticamente significativas ($p<0.05$). El aumento de la distancia implica disminución de la altura de la cortical. **Conclusión/es** La altura de la tabla vestibular disminuyó menos de 0.25 mm en todas las piezas dentarias luego de la alineación y nivelación con el sistema de brackets de autoligado interactivo en pacientes con apiñamiento dentario moderado y severo y no mostró cambios significativos

168 ID 288

POLIMORFISMOS GENÉTICOS DE MMP Y TIEMPO DE APARICIÓN DE DIENTES TEMPORALES

*Lívia Azeredo Alves Antunes, Barbara Alves da Fonseca, Dalila Ferreira Silvano de Moura, Thais de Oliveira Fernandes, Leonardo dos Santos Antunes.
Universidad Federal Fluminense, Programa de Posgrado en Odontología

Objetivo/s Los factores genéticos se han relacionado con el retraso en la erupción de los dientes permanentes, sin embargo, en los dientes primarios, este es un tema aún por investigar. Los modelos animales han demostrado que las metaloproteinasas de matriz (MMPs) juegan un papel esencial en la erupción dental. Este estudio tuvo como objetivo evaluar la asociación entre los polimorfismos genéticos de un solo nucleótido (SNP) en las MMPs y el tiempo de erupción de los dientes primarios (TEDP). **Materiales y Métodos** Esta investigación transversal incluyó niños no emparentados (5 a 36 meses) de ambos sexos de guarderías públicas en Nova Friburgo, Río de Janeiro, Brasil. La evaluación de TEDP se realizó mediante un examen oral que definió erupción dental tardía (EDTa), erupción dental temprana (EDTe) y erupción dental normal (EDN) de acuerdo con la cronología propuesta en un estudio anterior realizado en la misma área geográfica y base social. Se recogió ADN genómico de células orales (saliva). La PCR en tiempo real (Agilent Technologies, Stratagene Mx3005P) utilizando reactivos de mezcla maestra Taqman PCR y ensayo SNP (Applied Biosystems) evaluó los SNP en MMP2 (rs243847), MMP3 (rs522616), MMP9 (rs17576), MMP20 (rs1711437), rs1784418). Se utilizó la prueba de chi-cuadrado para comparar las distribuciones de genotipos en los modelos codominante, dominante y recesivo entre los grupos considerando $p<0,05$. **Resultados** De los 288 niños incluidos (edad media 25,16 meses), el 20,5% presentaba EDTa y el 36,1% EDTe. El género no influyó en el TEDP ($p>0,05$). La distribución genotípica de los SNP evaluados no se asoció con EDTa o EDTe. El gen MMP3 rs522616 estaba en el límite ($p = 0,062$), pero no puede considerarse un gen candidato de riesgo para EDTa o EDTe. **Conclusión/es** Los polimorfismos genéticos de los SNP en las MMPs evaluados en esta investigación científica no se relacionaron con el tiempo de erupción de los dientes temporales.

169
ID 319

DESARROLLO DE ARCADAS CON ORTODONCIA AUTOLIGABLE PASIVA VS INTERACTIVA. ESTUDIO CLÍNICO.

*Mahmood Ahmadi[1], Andrea de Laurentiis[2], Diana Calabrese[1], Marina Iglesias[1], Sandra Benitez Rogé[1], Alejandra Folco[1].
1. Cátedra de Ortodoncia FOUBA. 2. Cátedra de Fisiología FOUBA

Objetivo/s La remodelación alvéolo-dentaria con ortodoncia autoligante, produce desarrollo transversal de las arcadas. En etapas iniciales, ambos sistemas presentan baja fricción (brackets autoligantes) y baja fuerza (arcos de activación térmica). Comparar la distancia entre piezas homólogas superiores e inferiores iniciales y post alineación de pacientes tratados con ortodoncia autoligante Pasiva (Damon) e Interactiva (CCO). **Materiales y Métodos** Participaron 22 pacientes de ambos sexos, entre 12 y 36 años, con apiñamiento dentario moderado a severo. 11 tratados con Sistema DAMON 3 MX (Ormco) (GRUPO AP) y 11 con Sistema CCO (Dentsply)(GRUPO AI), pertenecientes a la Cátedra de Ortodoncia de la FOUBA. Ambos grupos estudiados, participan de proyectos aprobados por comité de Ética de la FOUBA y firmaron consentimiento informado. Se aplicó Prueba T apareada entre inicial y post alineación de cada grupo y Prueba T no apareada entre los grupos AP y AI ($p<0.05$.) **Resultados** En maxilar superior la distancia varió en promedio y error para el AP: entre las piezas 1PM: 3.79 +0.45; 2 PM: 3.77+0.55; 1M: 0.94.+ 0.45: 2M: -0.76+ 3.31 y para el GRUPO AI: 1PM: 2,61+0.45: 2PM 2,39+0,48; 1M: 0.25+ 0.50 y 2M: -1,39 +3.31. (Prueba T apareada $p<0.05$ en todos los casos diferencia entre inicial y post alineación). En maxilar inferior la distancia varió en promedio y error para el AI: entre las piezas 1PM: 1.70 +0.64; 2 PM: 2.41+0.39; 1M: 0.66.+ 0.43: 2M: -0.07+ 0.99 y para el GRUPO AI: 1PM: 2,30+0.48: 2PM 2,69+0,75; 1M: 1.22+ 0.33 y 2M: 0,32 +0.51. (Prueba T apareada p0.05). **Conclusión/es** El tratamiento de alineación dentaria con Sistema de autoligado, en arcadas con apiñamiento moderado a severo aumenta el diámetro transversal de las arcadas sin diferencia estadísticamente significativa entre Pasivo e Interactivo con desarrollo transversal fundamentalmente en el sector premolar y no muestra aumento significativo a nivel de los molares.

170
ID 295

ENSEÑANZA DE FARMACOLOGÍA MEDIADA POR TECNOLOGÍA EN CONTEXTO DE PANDEMIA

*Vanesa Alejandra Merhar[1], Gonzalo Emmanuel Quinteros Villarruel[1], Daniela Passafaro[1], María Belén Benítez[1], Alejandra Karina De Couto Pita[1], Carlos Fernando Mendez[1,2].
1. Cátedra de Farmacología. 2. CONICET.

Objetivo/s El Aislamiento Social Preventivo y Obligatorio dispuesto para contener la pandemia de COVID-19 exigió una reformulación de las actividades educativas. Objetivo: El rediseño del curso de grado de Farmacología en la FOUBA tuvo como metas incluir al 100% de los inscriptos y permitir cursar el 100% de la materia para no alterar el plan de carrera de los estudiantes. **Materiales y Métodos** Se seleccionaron 3 herramientas tecnológicas: 1) Microsoft Teams como interfase principal; 2) un campus virtual basado en la plataforma Moodle y 3) Google Forms de la suite educativa de Google. En Teams se desarrollaron las actividades sincrónicas con un formato de aulas y salas virtuales de trabajos prácticos a realizar con materiales y contenidos disponibles en el campus virtual y Google Forms se utilizó para las evaluaciones y encuestas. Al finalizar el curso se encuestó a los estudiantes, a fines de valorar su grado de satisfacción y aceptación la metodología empleada. **Resultados**La matrícula inicial del año 2021 analizada por test de Student´s fue significativamente mayor ($p<0,05$) a la media histórica de cursantes (346 vs 246□25,8), aunque la cantidad de alumnos no aprobados en pandemia no difirió significativamente del promedio de los tres años anteriores: 21,1 y 22,5 vs 27,6% para 2020, 2021 y media 2017-2019, respectivamente. La reformulación del campus virtual potenció su funcionalidad pasando a funcionar como una plataforma de acceso a contenidos de producción propia en diversos formatos incluyendo videocasts y un canal de podcasts en la plataforma Spotify. Las encuestas (n=187/346) revelan disponibilidad (88,5%) de 1 o 2 dispositivos propios con conexión (96%) para actividades remotas y un 81% de aprobación a cursar materias en modo virtual. **Conclusión/es** La pandemia impuso la virtualización de la enseñanza con un modelo mediado por tecnología, que en el caso de la Cátedra de Farmacología pudo implementarse en tan solo 2 semanas. Nuestros resultados demuestran una muy alta disponibilidad de conexión remota por parte de los alumnos, con elevados niveles de adaptación a la metodología empleada y satisfacción por los resultados obtenidos. Para el personal docente, el proceso permitió experimentar y desarrollar metodologías que coexisten ahora en el retorno al modelo presencial.

171
ID 366

IMPLICANCIAS ÉTICAS DE PRÁCTICAS CLÍNICAS ODONTOLÓGICAS DESDE LA PERSPECTIVA DE ESTUDIANTES.

Lila Susana Cornejo, Irma Moncunill, Pablo Cristian Gigena, *Marcela Inés Bella.
Facultad de Odontología, UNC

Objetivo/s El odontólogo como profesional de la salud, para responder en forma integral a las necesidades sociales, debe disponer, no sólo de "un saber saber" y un "saber hacer", sino también de un "saber ser", en el desempeño profesional. La formación universitaria aporta al desarrollo moral en el que se afianza la práctica profesional. En el presente trabajo nos propusimos conocer la percepción de estudiantes, sobre las implicancias éticas de las prácticas clínicas odontológicas durante su formación de grado. **Materiales y Métodos** Desde un abordaje cualitativo se indagó sobre situaciones o experiencias vivenciadas por estudiantes durante el trayecto formativo de la práctica clínica odontológica, en que se hayan planteado conflictos o dilemas éticos y aspectos relacionados. Se realizaron entrevistas en profundidad a estudiantes que durante 2018, cursaban el ciclo profesional de la carrera de odontología de la UNC. **Resultados** El análisis de la información realizado por el método comparativo constante puso en evidencia que durante algunas prácticas clínicas se presentan situaciones de implicancia ética, que se resuelven frecuentemente, sin sustento teórico ni metodológico, de manera fortuita priorizando la exigencia académica. **Conclusión/es** La capacitación docente en el área de bioética y organización curricular centrada en el sujeto, podría fortalecer una formación integral, reflexiva, que incluya competencias para tomar decisiones basadas en saberes éticos.

172
ID 296

ESTRATEGIAS DE AUTORREGULACIÓN DEL APRENDIZAJE EN CONTEXTOS VIRTUALES DE CURSANTES DE ODONTOLOGÍA

*Glenda Rossi[1,2], Pablo Salgado[1,2,3], Aldo Squassi[1,2], Graciela Klemonskis[1,2].
1. Cátedra de Odontología Preventiva y Comunitaria, FOUBA. 2. Instituto de Investigaciones en Salud Pública, UBA. 3. Cátedra de Microbiología y Parasitología, FOUBA.

Objetivo/s Comparar las estrategias de autorregulación del aprendizaje en contextos virtuales de estudiantes cursantes de diferentes años de la carrera de odontología en el marco de la educación remota de emergencia 2020. **Materiales y Métodos** Participaron estudiantes de 5 asignaturas de la carrera de odontología FOUBA (N=1514). Se aplicó el instrumento de aprendizaje autorregulado (Berridi Ramirez R et al, 2017). Con 25 reactivos de escala Likert (1 a 5). Dimensiones: D1) Estrategias de planeación y control en contextos virtuales de aprendizaje (CVA); D2) Atribuciones motivacionales en CVA; D3) Trabajo colaborativo con compañeros; D4) Apoyo del asesor en las tareas. Para comparar las dimensiones, se calculó el porcentaje relativo en relación con el puntaje máximo. Análisis estadístico: Se agruparon los subconjuntos de estudiantes en 3 grupos (G): G3 asignatura de último año de la carrera. G2 de asignaturas intermedias G1 de primer año de la carrera. Se utilizo la prueba de ANOVA y test de Tukey como post-hoc. Para comparar el peso relativo de las dimensiones, se aplicó ANOVA de medidas repetidas. Para comparar las frecuencias entre los reactivos y los subconjuntos de estudiantes se analizaron con Tests de X2 y comparación de proporciones con post-hoc de Bonferroni. **Resultados** La tasa global de respuesta del cuestionario fue del 37%. Los puntajes de cada grupo (media±DS - %) en las 4 dimensiones fueron: D1) G3=39,2±5,6 - 78,5%; G2=38,8±6,1 - 77,6%; G1= 36,7±5,7 - 73,1%. D2) G3= 14,4±5,2 - 57,4%; G2=15,5±5,1 - 61,9%; G1= 14,8±5,6 - 59,3%. D3) G3= 22,8±3,1- 91,2%; G2= 21,2±4,3 - 84,7%; G1= 18,9±6,5 – 76,3% D4) G3=15,5±4,5 – 61,9%; G2=15,8±4,6 - 63,1%; G1=16,4±4,0 – 65,8%. Se observaron diferencias significativas entre grupos en D1 (p=0,014) entre G1 y G3 y D3 (p<0,001) en los tres grupos. Se observa un peso relativo mayor de D3 para los tres grupos (p<0,001). G1 y G3 se diferenciaron (p<0,05) en 5 de los 10 reactivos de D1 y en la totalidad de los reactivos de D3. **Conclusión/es** Los estudiantes de primer año reportaron haber desarrollado menos estrategias de planeación y control. Para trabajo colaborativo se observa que va aumentando desde las asignaturas iniciales a las asignaturas del último año de la carrera.

173
ID 363

ESTUDIO DE CASO: LA CLÍNICA AMPLIADA EN EL CUIDADO DE SALUD BUCAL.

*Marcela Inés Bella, Pablo Cristian Gigena, Lila Susana Cornejo, Elena Hilas, Natalia Agüero, Irma Moncunill.
Facultad de Odontología, UNC

Objetivo/s En el marco del proyecto SECYT-UNC, Validación y evaluación de estrategias y protocolos para la producción del cuidado en salud bucal en comunidades escolares de contextos vulnerables de la ciudad de Córdoba, surge el interrogante ¿Existe apropiación de estrategias de la Clínica Ampliada en las prácticas de los odontólogos participantes del proyecto? Reconocer la apropiación de estrategias de la clínica ampliada implementada en un escenario escolar por parte de los operadores clínico-odontológicos. **Materiales y Métodos** Desde un enfoque cualitativo de investigación se realizó un Estudio de Caso sobre intervenciones clínicas en la salud bucal, desarrolladas en la escuela María del Transito Cabanillas de la Provincia de Córdoba, durante el año 2019, para indagar sobre las estrategias de la clínica ampliada que emergen en las prácticas desarrolladas por profesionales formados en el modelo, a partir de la reflexión de la propia práctica en el contexto de intervención. Se utilizaron distintas técnicas de investigación- con registro escrito- y diferentes fuentes para observar el mismo fenómeno, a los fines de triangular los datos. Las técnicas aplicadas en distintos momentos del acto clínico fueron: entrevistas semi-estructuradas; frases sobre la percepción de la situación clínica significada por odontólogos operadores y por pacientes participantes, dibujos a tema de los escolares, observaciones y registro de campo, durante el proceso de trabajo en la comunidad escolar. Los investigadores analizaron los datos de cada técnica en forma individual y conjunta. Posteriormente se procedió a su triangulación **Resultados** El análisis de la información permitió identificar recurrencias, construcciones de significados e interpretaciones que se subsumieron en categorías que caracterizan a la clínica ampliada; conocimientos sobre la estructura y organización familiar; escucha en la interacción; actitudes ante la ansiedad; fortaleza para el trabajo en equipo en contexto escolar. **Conclusión/es** Los resultados muestran avances en el proceso de apropiación por parte de los odontólogos del equipo de investigación de una práctica enmarcada en la clínica ampliada y compartida en el contexto escolar.

174
ID 341

CARIOLOGÍA EN EL CURRÍCULO DE LAS FACULTADES DE ODONTOLOGÍA DE LA REPÚBLICA ARGENTINA

*Silvia Medici[1,2], Ana Laura Sorazabal[1,2], Sofía Ali[3], María Barrionuevo[4], Noemi Bordoni[1,2], Juana Cardozo[3], Analia Cucchi[5], Luciana D'Eramo[1,2], Jorge Escandriolo[6], Pablo Fontanetti[7], Shirley Garcia[8], Rodrigo Giacaman[9], Adriana Lombardo[10], Alejandra Mardenlli[11], Carla Masoli[10], Patricia Mulbany[12], Lía Pereira[13], Silvia Pérez[4], Mariana Preliasco[11], Glenda Rossi[1,2], Luciana Sánchez[14], Aldo Squassi[1,2], Jorgelina Ulloque[15], Patricia Vaculik[3], Verónica Ventrera[4], Carolina Zelarrayán[16], Fabiana Carletto Körber[17].
1. Cátedra de Odontología Preventiva y Comunitaria, FOUBA. 2. Instituto de Investigaciones en Salud Pública, UBA. 3. Universidad Nacional del Nordeste, Facultad de Odontología, GID Salud Bucal y Epidemiología. 4. Universidad Nacional de Cuyo, Facultad de Odontología, Cátedra Preclínica de Operatoria Dental. 5. Universidad Maimónides, Carrera de Odontología, Cariología y Periodontología. 6. Universidad Adventista del Plata, Facultad de Ciencias de la Salud, Licenciatura en Odontología. 7. Metodología de la Investigación en Ciencias de la Salud, FO-UNC. 8. Universidad Abierta Interamericana, Facultad de Medicina y Ciencias de la Salud, Carrera de Odontología, Clínica y Cirugía Integrada Niño y Adolescente III. 9. Universidad de Talca, Facultad de Odontología, Departamento de Rehabilitación Buco Maxilofacial, Unidad de Cariología. 10. Universidad del Salvador/Asociación Odontológica Argentina, Cátedra de Cariología. Escuela de Odontología. 11. Universidad Nacional de Rosario, Facultad de Odontología, Clínica de Operatoria Dental. 12. Universidad Nacional de Río Negro, Escuela de Salud y Desarrollo Humano. Carrera de Odontología. 13. Universidad Abierta Interamericana, Facultad de Medicina y Ciencias de la Salud, Carrera de Odontología, Clínica y Cirugía Integrada Niño y Adolescente I y II. 14. Universidad Católica Argentina, Facultad de Ciencias Médicas, Carrera de Odontología. 15. Universidad Católica de Córdoba, Facultad de Ciencias de la Salud, Carrera de Odontología. 16. Universidad Nacional de Tucumán, Facultad de Odontología, Cátedra Técnica de Operatoria Dental. 17. Universidad Nacional de Córdoba, Facultad de Odontología, Cátedra de Odontopediatría A.

Objetivo/s Analizar los contenidos de cariología enunciados para el nivel de grado en las facultades/escuelas de odontología públicas y privadas de la República Argentina. **Materiales y Métodos** Se realizó un estudio para analizar los contenidos de cariología incorporados en el nivel de grado. Fueron invitados, por nota formal, decanos/secretarios académicos y representantes con aval institucional de las 20 unidades académicas donde se desarrolla la Carrera de Odontología. Se confeccionó un cuestionario (formulario Google) con 10 preguntas de respuesta cerrada y 4 de respuesta abierta tendiente a la identificación y ordenamiento de los contenidos en la carrera **Resultados** Se recibieron respuesta de 13 unidades académicas: 7 públicas y 6 privadas. El 84,6% respondió que los contenidos de cariología están adecuadamente incorporados en el currículo, mientras que el 92,3% es impartido en varias asignaturas. Se exploraron los objetivos de aprendizaje dentro de los planes de estudio; los resultados en las asignaturas básicas fueron: Enfoque de riesgo 92,3%; Decisiones de manejo no operatorio de caries 92,3%; Decisiones de manejo operatorio 76,9%, Odontología Basada en la Evidencia 84,6% y Análisis de determinantes sociales 84,6%. Los resultados en las asignaturas clínicas fueron: Enfoque de riesgo, Decisiones de manejo operatorio mínimamente invasivo/no operatorio de caries, Cariologia en Salud Pública y Análisis de determinantes sociales 100% de las Unidades Académicas y Odontología Basada en la evidencia 84.6%. El 100% se mostró de acuerdo en participar en la elaboración de un consenso. **Conclusión/es** Los contenidos de cariología en el nivel de grado de las facultades/escuelas de odontología públicas y privadas de la República Argentina se distribuyen en forma variada en cada currículo, con énfasis en diferentes objetivos de aprendizaje. De acuerdo con la información relevada los dominios contenidos en los currículos internacionales están presentes en la gran mayoría de las universidades argentinas.

ÍNDICE DE AUTORES

Acosta Haab G	163
Acosta Jofre MS	5
Acosta S	137
Actis AB	161
Adler I	10, 143
Aguas S	143
Agüero DE	71,74,76
Agüero N	173
Agüero Romero A	14, 64
Aguilar Porta M	99
Ahmadi M	62, 140, 166, 167,169
Aisenberg R	65, 67, 69, 72, 73, 83
Alaminos M	97, 98
Alba P	112, 115
Alberdi J	35
Alberti Cancelo V	147
Albertinazzi L	15
Albiero A	115
Albiero E	112, 115
Alfie N	10, 117, 118, 121, 123
Ali S	174
Allamprese S	79
Allende A	162
Almeida Magalhães I	8
Altamura G	124
Alurralde PI	138, 139
Alvaredo G	9
Alvarez A	70
Álvarez B	28
Alvarez M	154
Alvarez S	133
Alves Antunes L	8, 168
Alves da Fonseca B	168
Amaro E	56, 61
Amaya Londoño N	17, 163
Anagua Y	151
Anaise CA	87, 119
Anchava J	124, 125, 139
Andrada C	94
Andrade Borges da Silva E	38
Anton A	70
Antona ME	68, 91
Antoniuk A	34
Aragon HN	71, 74, 76
Arario S	7, 34, 65, 67, 83, 144

Arbuco S	124
Arcuri A	80
Arcuri M	80
Aredes J	27, 31
Arias C	13, 144
Armada M	154
Arrebola AG	138
Arrigo F	7, 34, 144
Astrauskas JI	20, 22, 86
Astudillo L	61
Audrey Rocha Valadas L	1, 148
Avallone L	138
Avendaño ME	82, 88
Ávila J	112
Azcona V	65, 67, 69, 72, 83
Azcurra AI	2, 33
Azeredo Alves Antunes L	8, 38, 168
Babino L	55, 128
Bachmeier E	106, 109, 162, 165
Badino P	104
Báez V	37
Baggini C	55
Balsamo MF	77
Bander M	61
Barbieri van Haaster MM	110
Barcalcel NB	20, 22, 86
Barembaum SR	2, 33
Barrionuevo M	174
Basal R	56, 61
Bava E	128
Belardinelli P	162, 165
Bella MI	48, 171, 173
Bello J	13
Beltrán EO	45
Benes M	70
Benítez L	72
Benítez MB	85, 87, 90, 170
Benitez Rogé S	169
Bentivenga N	56, 61
Beraldi J	65, 67, 69, 72, 73, 83
Berchialla G	35
Bertolino M	55, 125
Bevk C	73
Biagini ST	88
Bianchi ML	154

Bidevich N	82
Bielli MV	75
Biondi AM	126, 127, 130, 131, 132
Blanco Villalba M	77
Blasetti N	80
Boaventura Dubovik A	16
Bojanich ML	32
Bojaminsky S	139, 141
Boldrini M	150
Bonanno MS	82, 88
Bontá H	110
Bordoni N	26, 147, 174
Borrillo G	56, 61
Bouchoux M	85, 90
Bove Visuara G	30
Boyer P	64
Bozal C	142, 159
Bozzini C	18, 64, 68, 107
Bracamonte C	43, 54
Brain Lascano L	93
Bramajo M	77
Brandizzi D	70
Braschi SM	52
Briem Stamm AD	13, 144
Brito Graciela N	76
Brunotto M	100
Brusca MI	77
Buffa A	151
Buldo M	123
Burelli MP	99
Busamia B	115
Butler T	56, 61
Cabalén MB	93
Cabirta ML	10, 39, 41, 42, 68, 117, 118, 121, 123
Caciva R	162, 165
Caicedo Proaño DA	130, 131
Calabrese D	169
Caló G	21, 23
Calvo S	75
Cano V	48
Canzobre MC	156
Capogrossi I	32
Carabajal M	147
Cardoso Bezerra Sávio J	15
Cardozo J	174

Carletto Körber F	5, 45, 174
Carlomagno Y	154
Carosi MJ	7, 34, 41, 144
Carpentieri AR	24, 157
Carranza P	26
Casadoumecq AC	13, 25
Casal Coleta de Barros M	114
Casanovas N	48
Castilho T	8
Castillo B	32
Castillo Gdel V	32
Castillo V	51
Castrillón ME	112, 115
Castro Escalante A	154
Castro Graziani Y	129
Cataldo A	28
Cavalieri J	62
Ceccenaro B	134
Celia Armando C	108
Centeno V	12
Cestari Fagundes T	15
Chafrat V	30
Chaintiou Piorno R	25
Chervaz C	65, 67, 69, 73, 83
Chiaramoni N	145
Chiarello E	124
Cifuentes T	7, 65, 67, 69, 73, 83
Cohen SA	146, 151
Collet AM	89
Combina Herrera CN	161
Condis G	49
Conte CP	57
Contreras I	58
Copello MN	49
Corcos L	37
Cornejo C	4, 9, 50, 53, 148, 149
Cornejo LS	5, 48, 171, 173
Corominola P	41, 120
Correa RM	163
Cortes A	45
Cortese S	126, 127, 130, 131, 132
Costantino E	161
Cremonezzi D	161
Crespo M	129, 142

Cucchi A	174
Cutini PH	66
Cutrera C	50, 53
D'Eramo L	1, 21, 23, 47, 146, 147, 151, 174
Darrigran L	80
Davison MR	26, 88
Davison R	82
De Caso C	39
de Castro Oliveira L	15
De Couto Pita A	85, 87, 90, 145, 170
De Gaetano S	61
De La Cal C	113, 152, 155
De Laurentiis A	84, 140, 167, 169
de Lima Nascimento TR	95
De Luca M	72, 75
De Lucca R	68, 88
de Luque M	167
de Oliveira Fernandes T	168
de Souza e Silva Ramos F	15
Deery	45
Dell´Angélica F	90
Delvechio CM	89
Denninghoff V	10, 143
Di Bastiano S	59, 60
Di Croce DE	152, 155
Di Pietro S	13
Diaz M	143
Dmytrenko G	84
Doga L	21, 23
Domingo MG	11
Dorado G	98
Doratti P	61
dos Santos Antunes L	168
Douglas GVA	45
Dubersarsky CG	106, 109
Dubois VA	164
Duque C	15
Duran C	120
Echaide M	154
Echeverría N	80
Elizondo E	43, 54
Elverdin JC	18, 20, 22, 79, 113
Escalante Vila MF	47
Escandriolo Nackauzi J	63, 174
Escudero Cantcheff C	43, 54

Escudero E	56, 61
Fabiano P	21
Farah C	129
Farias MA	44
Felipe PG	57
Fernández Alemán JE	25
Fernandez A	48
Fernandez I	153
Fernández Iriarte MA	13
Fernandez M	135, 136
Fernandez Solari JJ	18, 20, 22, 79, 86
Ferrante A	139
Ferrary T	19, 154
Ferreira Monteiro A	68, 91
Ferreira Silvano de Moura D	168
Ferrer B	97, 98, 102
Ferreyra Mariani EG	109
Ferronato Soto A	114
Feser G	78
Filsinger AJ	12, 100
Flores T	151
Folco A	62, 140, 166, 167, 169
Fontana S	24, 157
Fontanetti P	11, 12, 174
Fraga Soares Bombonatti J	95
Fragola MV	151
Franchisena M	48
Francia A	153
Freschi V	49
Fresno C	10, 143
Fridman D	132
Friedman SM	68, 91
Frosasco CL	11
Fuks J	135
Funosas ER	78
Fusaro L	105
Gabaldón T	164
Gaiteri M	49
Gallará R	12
Galli F	143
Garay Avendaño LK	17
Garcia Blanco M	81
García Cuerva Cuerva JM	14, 16
García Escalante AS	130, 131
García Gonzalo A	116

García M	128,129, 142
Garcia S	174
Garcias Hespanhol F	38
Garrofé A	101, 103, 105
Gartner S	35
Giacaman R	174
Giglio P	32, 48, 171, 173
Giménez del Arco ML	118
Gimenez J	80
Girardi M	32
Giraudo C	48
Glanzmann P	78
Gliosca L	21, 23, 50, 53, 149, 164
Gobbi C	112, 115
Gomes Moraes V	38
Gómez A	7, 34, 65, 67, 69, 72, 73, 83, 118, 144
Gómez MV	99
González Bugallo C	151
Gonzalez D	19, 110
Gonzalez E	148
González Ittig RE	5
Gonzalez S	49
Granado MA	51
Grenón M	92
Grimoldi C	78
Grunberg K	104
Grunstadt C	146
Gualtieri A	34, 37, 81, 117, 118, 120, 123
Guanzini M	134
Guitelman I	133, 137
Gutiérrez C	28
Hansen A	77
Harada L	143
Hauk V	21, 23
Heredia GD	69
Heredia-Veloz D	25
Hernández MA	157
Hilas E	173
Ibañez JC	66
Ienco M	129, 134
Iglesias ME	14, 16
Iglesias M	62, 140, 166, 169
Incahuanaco L	58
Irazuzta ML	32
Ittig M	5, 112

Iturre S	51
Iturreria R	75
Jaime G	13
Jara P	1, 146
Jaraj A	70
Jewtuchowicz V	77
Jiménez MG	5
Joison A	52
Jones ME	65, 67, 69, 72, 83
Jorrat MM	71
Juárez Rolando PA	108
Klemonskis G	4, 6, 9, 29, 172
Kohan J	96
Kreiner M	111, 153
Kremer Mau	92
Ksiezopolska E	164
Labarta Alicia B	116
Lacerra C	104
Lara B	21, 23
Lauriola L	94
Lazo S	56, 61
Lazzati R	4, 46
Lee CM	107
Lee LT	41, 118
Leguina L	163
Lei MA	101, 103
Lemos Barboza A	96
Lenarduzzi A	41, 123
Leone E	62
Levalle MJ	80
Levy T	135, 136
Leyes C	4
Lezón C	64, 94
Lia Mondelli RF	95
Liandro MF	162
Lidani R	114
Lipovich A	151
Llorrente C	96
Loiacono R	87, 119
Lombardo A	174
Lonzo R	6
López de Blanc SA	162, 165
Lopez ME	71, 74, 76
López R	51
López-Lozano T	104

Loureiro I	21
Loyola González P	43, 54
Luciano BA	161
Lujan R	43, 54
Macchi R	36, 119
Machado V	153
Macri EV	68, 91
Mageste DT	114
Malheiros BM	114
Mangeaud A	39, 42
Marcarian L	94
Mardenlli A	174
Marengo A	48
Mariño G	151
Martignon S	45
Martin A	45
Martin G	35, 39, 42
Martínez JE	5
Martinez K	127, 133, 137
Martínez LD	32
Martinez MdelP	107
Martinez P	41
Martinez RM	102
Martinez S	68, 117
Mascolo G	104
Masoli C	174
Massa F	111, 153
Massheimer VL	66
Mattar de Amoêdo Campos Velo M	95
Matyus V	135
Maurizio M	43, 54
Mayocchi KA	80, 96
Mayocchi RM	80, 96
Mayumi Omoto E	15
Mazzeo MA	106, 109
Mazzola I	93
Medici S	44, 174
Medina MM	57
Mejía Abad DC	130, 131
Melian K	124, 125
Menan A	70
Mendel N	135, 136
Mendez Bovio ME	63
Mendez C	46, 85, 87, 90, 145, 170

Mendoza V	42
Mengia PD	65, 67, 69, 72, 83
Mercado C	146
Merhar V	85, 87, 90, 145, 170
Migueles A	117, 121, 122
Miklaseusky E	10
Miksztowicz V	68
Milani AJ	8
Millán N	141
Miño A	55
Mirotti G	66
Mohn C	18, 20, 22
Moine L	106
Molgatini S	23, 50, 53, 149, 164
Molina G	93
Molina M	80
Molina MJ	105
Moncunill I	171, 173
Montes Chañi E	58
Morelatto R	63, 162, 165
Morón M	112, 115
Mourelle Martinez MR	5
Moya M	133, 137
Mucci F	18
Mugnolo C	35, 39
Muiño AC	143
Mulbany P	174
Murdolo PE	57
Nart L	46, 73, 75
Nastri L	120
Navarro A	51
Neput F	117, 118, 123
Newton JT	45
Nieto M	148
Novoa S	21
Nuñez T	81
Ochotorena A	84
Olguin S	70
Oliveira Da Silva de Pacheco S	58
Olmedo DG	11, 99
Ontivero L	102
Oña JA	45
Orman B	19, 110, 154
Ortiz AO	97
Ortolani A	142

Orzuza R	84
Ossola CA	20, 22, 79, 86, 113
Oviedo S	43, 54
Oyhanart S	142
Pacheco F	58
Páez R	51
Paganelli A	156
Paitan Rodriguez JL	73
Paleo MA	61
Palma SD	97, 102
Panetta VC	87
Pantyrer M	128
Paparella ML	17, 158, 163
Pasoz F	56, 61
Pasqualini ME	161
Passafaro D	170
Pastorino P	27, 31
Paulazo C	112, 115
Pavan V	134, 138, 141
Pazos X	9, 29
Peccoud SM	43, 54
Pedemonte Z	4
Pena E	153
Peralta C	151
Pereira L	174
Pérez E	11
Perez Leiros C	21, 23
Pérez MB	146, 147, 151
Pérez Rodríguez P	117, 121
Pérez S	174
Picasso C	64
Picca M	1, 36, 93, 101, 103, 105, 119, 148
Picconi MA	163
Pilone L	61
Pin Viso N	149
Pinasco LB	87
Pintos P	64
Pitts NB	45
Plavnik LM	12
Poladian MS	166
Pollicina LM	57
Polo MF	57
Polti L	158
Ponce F	48
Ponce R	12

Porta DJ	106, 109
Preliasco M	26, 82, 88, 174
Prenitune S	141
Puia SA	25, 81
Punto M	120
Quinteros Villarruel GE	19, 170
Quiroga RP	116
Quiroga VE	73, 75
Radica E	78
Radica M	78
Raimundo Zemborain C	13
Ramos C	91
Rannelucci LR	13, 144
Renou S	11, 99, 122, 123
Reynoso AE	75
Rhys K	58, 63, 112, 115
Ricardo M	59
Rios H	156
Rivoira MA	106, 109
Robledo G	162, 165
Robledo S	34
Rocamundi MR	52
Rodas J	20, 22, 79, 86
Rodrigues dos Santos V	15
Rodriguez A	97
Rodriguez C	146
Rodríguez DA	113
Rodriguez IA	97, 98, 102, 104
Rodriguez J	159
Rodriguez MA	98
Rodriguez PA	10, 25, 34, 36, 39, 41, 42, 87, 116, 117, 118, 119, 120, 121, 122, 123, 143
Roitman M	36, 119
Rosa Figueroa EA	112
Rossi G	29, 172, 174
Rotemberg E	111
Rudzinsky J	154
Rugani N	43, 54
Rugolo G	107
Ruiz Mazzon R	114
Safuri MF	138
Sainz Aja M	93
Saizar MA	25
Salas A	49
Salazar J	13, 144
Salduna S	39

Salgado P	1, 4, 6, 7, 9, 27, 29, 31 41, 47, 65, 67, 69, 72, 73, 83, 144, 146, 147, 148, 150, 151, 172
Sanchez Ga	44, 89, 121, 152
Sanchez Ge	97
Sánchez L	174
Sanchez ML	146, 147, 151
Sanchis S	72, 75
Sandoval MJ	66
Santillan ME	41
Santos Antunes L	38, 168
Sararols V	56, 61
Savia A	124
Savio V	112, 115
Saya B	146
Scaramucci T	15
Scatena MG	2, 32, 33
Sciarrota A	37
Seijo M	82
Serrano V	61
Sezin M	66
Sherar S	154
Sierra L	41
Silva Guimarães L	38
Simon LM	71, 76
Siragusa C	123
Sirimarco K	80
Sisca Jara Y	1
Sobrero C	104
Socolovsky JA	2, 33
Sorazabal AL	47, 148, 174
Sorbera Ferrer L	102, 104
Soria Roger A	109
Spina M	56, 61
Squassi A	1, 4, 6, 7, 9, 21, 23, 27, 29, 31, 46, 47, 50, 53, 145, 146, 147, 148, 149, 150, 151, 172, 174
Steffanini C	49
Steimetz T	91
Suarez S	61
Tajes T	47
Takara D	155
Tapia Repetto G	28
Tartacovsky H	14, 16
Tasat DR	159
Teixeira Obeid A	95
Telechea CR	13
Tenaglia CN	42

Terrizzi AR	107
Ticchi AJ	84
Tirao G	10
Toma A	121, 152
Tomas LJ	57
Tomas PM	57
Toral M	27, 31
Torassa D	97
Toscano MA	126
Trigo Humaran MM	14, 16, 75
Troncoso G	18, 20, 22, 86
Turón P	143
Ulloque J	52, 174
Urdapilleta M	99
Uría MS	116
Vacaflor A	35, 39
Vaculik P	174
Vanoni V	59
Vazquez D	7, 34, 62, 65, 67, 69, 72, 73, 75, 83, 118, 144, 167
Vazquez FR	45
Vazquez MC	117, 123
Vazquez Mosquera AP	24
Vega MS	151
Ventrera V	174
Ventura F	46, 145
Vera MM	32
Vera NS	5
Vera V	48
Vijandi VR	57
Villavicencio-Caparo E	25
Villegas Padilla KM	17
Villegas S	151
Visconti MP	37
Wietz FM	106, 109
Won KK	96
Wuscovi LF	71, 74, 76
Yorio M	115
Zago V	91
Zaiden S	94
Zalazar R	151
Zelarrayán C	174
Zemel M	59, 60
Zeni Coronel EM	82, 88
Zeni SN	82, 88
Ziem J	48

Zingoni CM	87
Zorrilla IM	32

NUEVA IMAGEN*

ULTRA COREGA

MAX FIJACIÓN + SELLADO

FIJACIÓN MÁS FUERTE* + BLOQUEA HASTA 5 VECES MÁS PARTÍCULAS DE COMIDA**

Lea atentamente las instrucciones de uso. Ante la menor duda consulte a su odontólogo y/o farmacéutico.
*Nueva imagen, mismo producto que Ultra Corega Máximo Sellado. **Dentro de la gama de productos Corega. *Vs. Sin adhesivo.